



UNIVERSIDAD VERACRUZANA
INSTITUTO DE INGENIERÍA

"SOLUCIÓN A PROBLEMAS DE TORSIÓN POR EL MÉTODO DE ELEMENTO FINITO"



P R E S E N T A :

GILBERT FRANCISCO TORRES MORALES .

H. VERACRUZ, VER.

JULIO DE 1999

Tesis de Maestría



UNIVERSIDAD VERACRUZANA INSTITUTO DE INGENIERIA

H. Veracruz, Ver., a 17 de Mayo de 1999
DI300/99

Al candidato al Grado:

ING. GILBERT FRANCISCO TORRES MORALES
P R E S E N T E:

En atención a su solicitud relativa, me es grato transcribir a Usted a continuación el tema que aprobado por esta Dirección propuso el Dr. Bonifacio C.A. Peña Pardo, para que lo desarrolle como tesis, para obtener el Grado de Maestro en Ingeniería de Estructuras:

TEMA:

"SOLUCION A PROBLEMAS DE TORSION POR EL METODO DE ELEMENTO FINITO"

- I.- Introducción
II.- Fundamento de Elasticidad
III.- Teoría Clásica de Torsión
IV.- Elemento Finito
V.- Tratamiento del problema de torsión por el método de elemento finito
VI.- Programa de Cómputo para resolver problemas de torsión
VII.- Conclusiones
VIII.- Apéndices
IX.- Bibliografía

Sin otro particular, me es grato quedar de Usted como su atento y seguro servidor.

ATENTAMENTE
“LIS DE VERACRUZ: ARTE, CIENCIA, LUZ”

DR. ENRIQUE A. MORALES GONZALEZ
DIRECTOR

EMG/mcm*

Tesis de Maestría

A mis padres Rubén Torres Lagunes y Evangelina Morales de Torres con agradecimiento y cariño, en especial a mi madre por sus consejos y apoyo incondicional a todos mis proyectos, con lo que ha hecho de muchos de mis sueños una realidad.

A mis hermanos Rubén A. Torres Morales y Ana Luisa Torres Morales con mucho cariño.

Al Dr. Bonifacio C. A. Peña Pardo por su amistad, paciencia y apoyo demostrados siempre, en especial durante la dirección de esta tesis.

SOLUCIÓN A PROBLEMAS DE TORSIÓN POR EL MÉTODO DE ELEMENTO FINITO.

ÍNDICE

INTRODUCCIÓN



I.- FUNDAMENTOS DE ELASTICIDAD.

- 1.1.- Estado general de esfuerzos.
- 1.2.- Tensor de esfuerzo.
- 1.3.- Fuerzas de cuerpo y de superficie.
- 1.4.- Equilibrio del elemento.
- 1.5.- Desplazamiento, deformación.
- 1.6.- Estado general de deformaciones.
- 1.7.- Ley de Hooke.

II.- TEORÍA CLÁSICA DE TORSIÓN.

- 2.1.- Introducción .
- 2.2.- Torsión en miembros de sección circular.
- 2.3.- Torsión de barras prismáticas.
- 2.4.- Barras de sección transversal elíptica.
- 2.5.- Barras de sección transversal triangular.
- 2.6.- Analogía de la membrana.
- 2.7.- Torsión de barras de sección rectangular estrecha .
- 2.8.- Torsión de barras de sección rectangular.
- 2.9.- Torsión de perfiles laminados .

Tesis de Maestría

III.- ELEMENTO FINITO.

- 3.1.- Introducción .
- 3.2.- Solución de problemas de valores de frontera.
 - 3.2.1- Método de las diferencias finitas.
 - 3.2.2- Método variacional.
 - 3.2.3- Método de residuos ponderados.
 - Método de colocación.
 - Método de subdominio.
 - Método de Galerkin.
 - Método de mínimos cuadrados.
- 3.3.- Formulaciones por energía potencial.
- 3.4.- Método de elemento finito.
- 3.5.- Elementos bidimensionales.
 - 3.5.1.- Elemento triangular.
 - 3.5.2.- Elemento rectangular.
- 3.6.- Diferentes sistemas de coordenadas.
 - 3.6.1.- Sistemas de coordenadas locales.
 - 3.6.2.- Sistemas de coordenadas naturales.
 - Coordenadas de área.
 - 3.6.3.- Integración en diferentes sistemas de coordenadas.
- 3.7.- Ecuación continua de interpolación o aproximación.

IV.- TRATAMIENTO DEL PROBLEMA DE TORSIÓN POR EL MÉTODO DE ELEMENTO FINITO

- 4.1.- Ecuaciones de campo bidimensionales.
 - 4.1.1.- Ecuación diferencial para la torsión.
 - 4.1.2.- Ecuaciones integrales para las matrices de elemento.
 - 4.1.3.- Matrices de elemento.
 - Elementos triangulares.
 - Elementos rectangulares.
- 4.2.- Aplicación del método de elemento finito a un problema de torsión.
 - 4.2.1. Teoría general .
 - 4.2.2. Solución por elemento finito de la torsión de una barra rectangular.
 - Componentes de esfuerzo cortante.
 - Evaluación del momento torsionante.

Tesis de Maestría

V.- PROGRAMA DE CÓMPUTO PARA RESOLVER PROBLEMAS DE TORSIÓN.

- 5.1.- Programa de cómputo para problemas de campo bidimensionales.
- 5.2.- Descripción del programa (TOR.EXE).
 - 5.2.1.-Subrutinas.
 - Subrutinas de generación de malla.
 - Subrutinas que grafican la malla.
- 5.3.- Solución de problemas clásicos de torsión con ayuda de programa de computadora (TOR.EXE).
 - 5.3.1.-Sección rectangular.
 - 5.3.2.-Sección circular.
 - 5.3.3.-Sección elíptica.
 - 5.3.4.-Sección triangular equilátera.
 - 5.3.5.-Sección rectangular estrecha.
 - 5.3.6.-Sección "I" perfiles laminados.

CONCLUSIONES.

APÉNDICES :

- A.- Datos de entrada para programa "TOR.EXE".
- B.- Listado de programa "TOR".

BIBLIOGRAFÍA.

INTRODUCCIÓN :

El estudio del problema de torsión por el método de elemento finito, resulta de gran interés ya que durante los sismos destructivos recientes, la torsión y sus efectos han sido evidentes en los elementos estructurales. El efecto de torsión en los elementos estructurales cuando es causado indirectamente por otros fenómenos es de gran complejidad, por lo que resulta de interés aislar y estudiar el problema desde sus fundamentos teóricos y formulaciones clásicas, así como implementar el método de elemento finito a este problema, con lo que se obtiene una solución numérica aproximada de precisión aceptable.

El objetivo del presente trabajo es implementar el método de elemento finito al problema de torsión. El método de elemento finito es un método numérico que permite modelar un proceso de la naturaleza con ayuda de una computadora, todos los fenómenos en la naturaleza pueden ser descritos en términos de ecuaciones algebraicas, diferenciales o integrales, que relacionan valores de interés del fenómeno, a este proceso se le conoce como *formulación matemática del proceso físico*, esta formulación es presentada en los dos primeros capítulos; en el capítulo uno se discute el planteamiento de las ecuaciones de elasticidad, en las que se fundamentan las teorías clásicas de torsión y en el capítulo dos se hace un recuento de los planteamientos clásicos de torsión y las soluciones analíticas que para las secciones más comunes se tiene, con esto tendremos una ecuación diferencial que describe el problema de torsión matemáticamente. El siguiente paso será el análisis numérico del modelo matemático.

Ocuparemos el método de elemento finito para resolver la ecuación diferencial que describe la torsión, específicamente la formulación integral de residuos ponderados y el método de Galerkin. El método de elemento finito en general aproxima un dominio geométrico mediante una colección de subdominios simples, llamados elementos finitos. Para cada elemento finito se obtienen funciones de aproximación, usando la idea básica de que cualquier función continua puede ser representada por una combinación de polinomios algebraicos, las funciones de aproximación son obtenidas usando conceptos de la teoría de interpolación y son por lo tanto llamadas funciones de interpolación. En el método de residuos ponderados, el número de funciones de ponderación es igual al número de coeficientes desconocidos, lo que nos lleva a un sistema de ecuaciones lineales para encontrar estos parámetros desconocidos, estos representan valores de un número finito de puntos preseleccionados llamados nodos, en la frontera y en el interior del elemento.

Tesis de Maestría

Los fundamentos de elemento finito y el tratamiento del problema de torsión por elemento finito, son tratados en los capítulos tres y cuatro de la siguiente forma; en el capítulo tres se presenta una introducción del método de elemento finito desde sus bases hasta los principios básicos que sirven para desarrollar el método hacia el problema de torsión; en el capítulo cuatro se trata el problema de torsión con el método de elemento finito, se plantean sus ecuaciones y se resuelve un ejemplo clásico sencillo paso a paso, ejemplificando la mecánica del método. A partir de lo anterior, en el capítulo cinco, se desarrolla un programa de cómputo fundamentado en los principios de elemento finito para resolver problemas de torsión, con el que podremos comparar la teoría clásica y el planteamiento por elemento finito, evaluando ejemplos clásicos de torsión; en este capítulo se resuelven dos o tres mallas de cada problema, se hace un resumen de los resultados y se grafican, con el objeto de observar la convergencia del método y aplicarlo para la solución de toda clase de elementos sometidos a torsión, posteriormente se presentan conclusiones y una sección de apéndice, donde en el apéndice A se indica la manera de hacer el archivo de datos para ocupar el programa "TOR.EXE" y en el apéndice B se presenta el listado del programa, posteriormente se hace referencia a la bibliografía consultada para éste trabajo.

CAPÍTULO I.

FUNDAMENTOS DE LA ELASTICIDAD.

1.1.- ESTADO GENERAL DE ESFUERZOS.

Las fuerzas que actúan sobre el contorno de un cuerpo, se transmiten por acción molecular al interior del cuerpo, debido a esto su influencia se manifiesta en todo éste. Considerando el cuerpo como un medio continuo y a las fuerzas externas como esfuerzos de superficie, su influencia se manifestará en esfuerzos locales en cada uno de los puntos internos del cuerpo. Las fuerzas internas responden a la aplicación de fuerzas externas tratando de mantener el equilibrio.

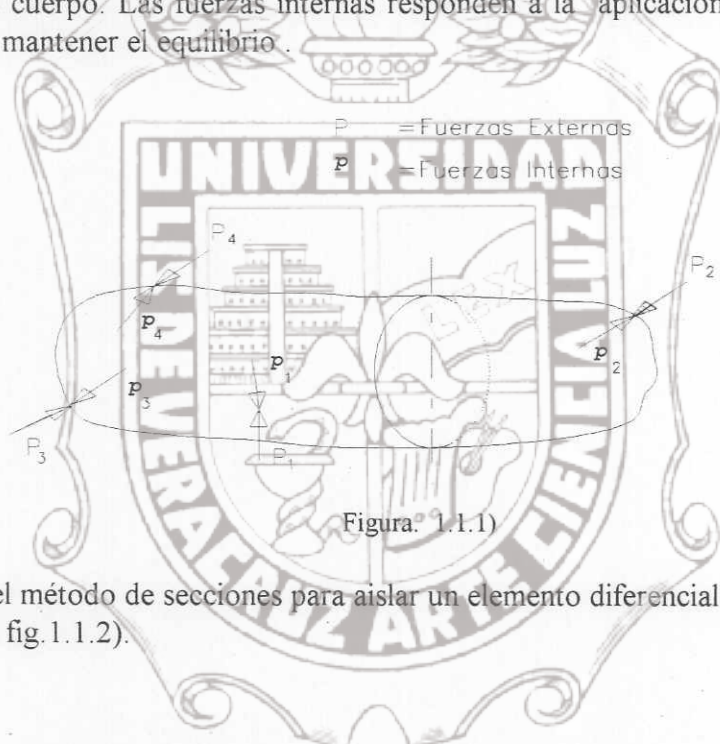


Figura. 1.1.1)

Aplicando el método de secciones para aislar un elemento diferencial y definir el concepto de esfuerzo fig. 1.1.2).

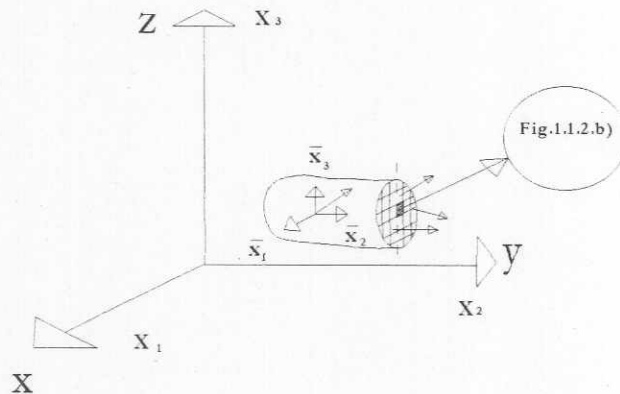


Figura. 1.1.2.a)

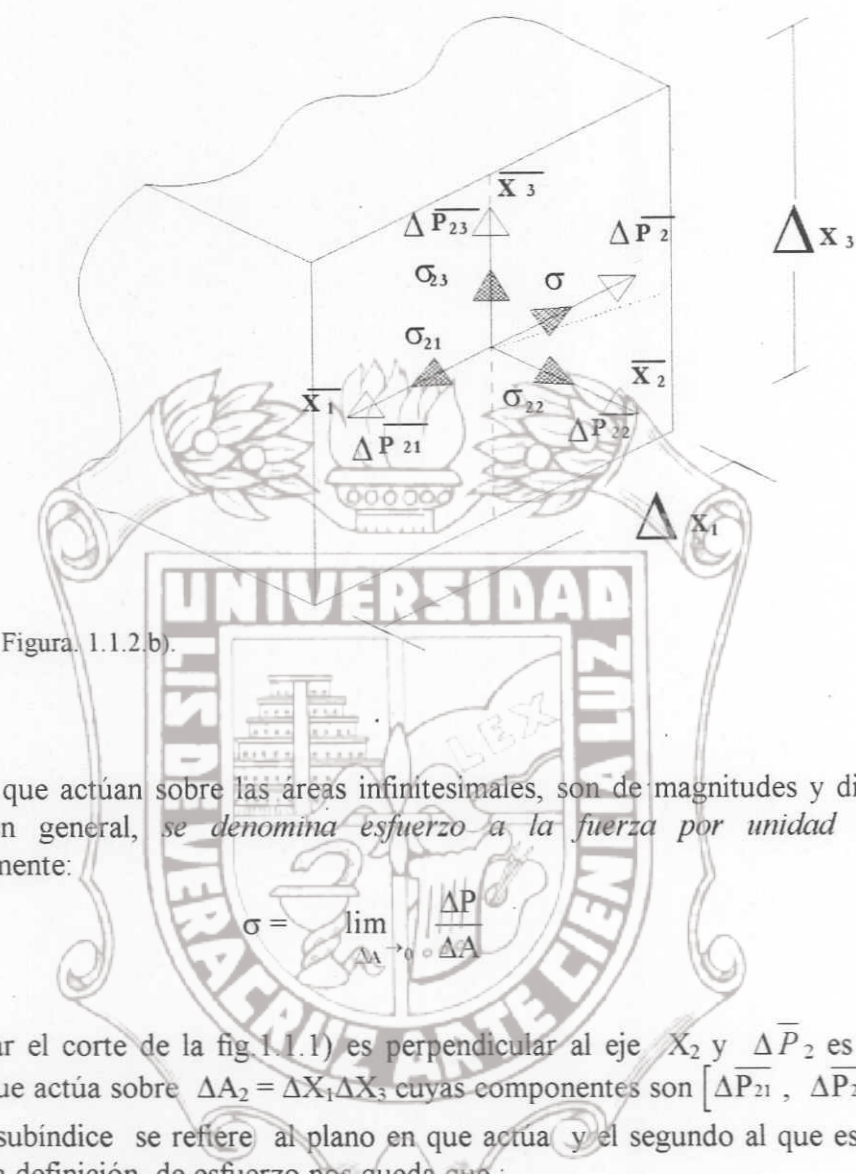


Figura. 1.1.2.b).

Las fuerzas que actúan sobre las áreas infinitesimales, son de magnitudes y direcciones variables, en general, se *denomina esfuerzo a la fuerza por unidad de área*, matemáticamente:

$$\sigma = \lim_{\Delta A \rightarrow 0} \frac{\Delta P}{\Delta A} \quad (1.1.1)$$

En particular el corte de la fig.1.1.1) es perpendicular al eje X_2 y $\Delta \bar{P}_2$ es la fuerza resultante que actúa sobre $\Delta A_2 = \Delta X_1 \Delta X_3$, cuyas componentes son $[\Delta \bar{P}_{21}, \Delta \bar{P}_{22}, \Delta \bar{P}_{23}]$, el primer subíndice se refiere al plano en que actúa y el segundo al que es paralelo. Aplicando la definición de esfuerzo nos queda que :

$$\sigma_{21} = \lim_{\Delta A_2 \rightarrow 0} \frac{\Delta \bar{P}_{21}}{\Delta A_2}, \quad \sigma_{22} = \lim_{\Delta A_2 \rightarrow 0} \frac{\Delta \bar{P}_{22}}{\Delta A_2}, \quad \sigma_{23} = \lim_{\Delta A_2 \rightarrow 0} \frac{\Delta \bar{P}_{23}}{\Delta A_2} \quad (1.1.2)$$

1.2.- TENSOR DE ESFUERZO.

Si al elemento diferencial anterior fig.1.1.2) se le hacen pasar 3 pares de planos paralelos y separados por distancias infinitesimales, nos resultaría un cubo de dimensiones infinitesimales, aislando del cuerpo y colocando un sistema de coordenadas locales en el punto de coordenadas (X_1, X_2, X_3) tendríamos (fig.1.2.1).

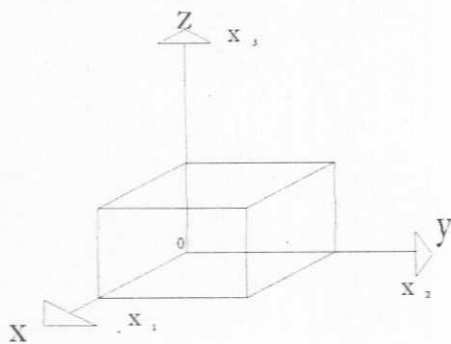


Figura 1.2.1)

Aplicando la definición de esfuerzo para el cubo infinitesimal en las demás caras tenemos:

$$\sigma_{ij} = \lim_{\Delta A_i \rightarrow 0} \frac{\Delta P_i}{\Delta A_i} \quad (1.2.1)$$

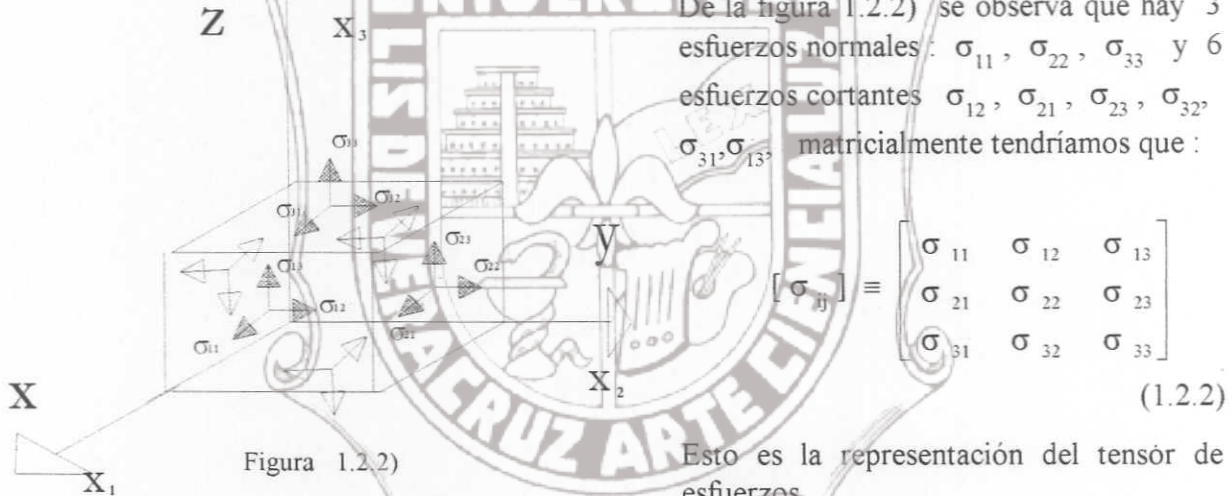


Figura 1.2.2)

De la figura 1.2.2) se observa que hay 3 esfuerzos normales: σ_{11} , σ_{22} , σ_{33} y 6 esfuerzos cortantes σ_{12} , σ_{21} , σ_{23} , σ_{32} , σ_{31} , σ_{13} , matricialmente tendríamos que :

$$[\sigma_{ij}] \equiv \begin{bmatrix} \sigma_{11} & \sigma_{12} & \sigma_{13} \\ \sigma_{21} & \sigma_{22} & \sigma_{23} \\ \sigma_{31} & \sigma_{32} & \sigma_{33} \end{bmatrix} \quad (1.2.2)$$

Esto es la representación del tensor de esfuerzos.

1.3.- FUERZAS DE CUERPO Y DE SUPERFICIE .

Los esfuerzos σ_{ij} varían a través del cuerpo y en su superficie deben estar en equilibrio con las fuerzas externas aplicadas en la superficie. En el mismo elemento diferencial, consideraremos el vector de fuerzas de cuerpo por unidad de volumen $\{x_i\}^T = [x_1, x_2, x_3]$, y en consideraciones no polares el vector de momentos de cuerpo por unidad de volumen $\{m_i\}^T = [m_1, m_2, m_3]$, ambos actuando en el centroide del elemento diferencial como se indica en la fig.1.3.1).

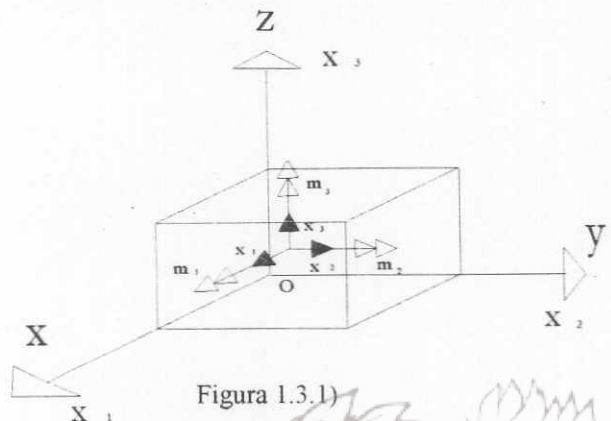


Figura 1.3.1)

Figura 1.3.1) Fuerzas y momentos de cuerpo por unidad de volumen actuando en el centro de gravedad de la figura

$$x_i = \rho (f_i - a_i) \quad (1.3.1)$$

en donde :

ρ = densidad o masa específica,
 f_i = la fuerza por unidad de masa en dirección x_i ,

a_i = la aceleración del elemento en la dirección x_i

Las fuerzas de superficie que actúan en la frontera del cuerpo las designaremos por $\{ \bar{x}_i \}^T = [\bar{x}_1, \bar{x}_2, \bar{x}_3]$, las fuerzas de superficie que deben satisfacer las condiciones de frontera para el punto i se observan en la fig.1.3.2).

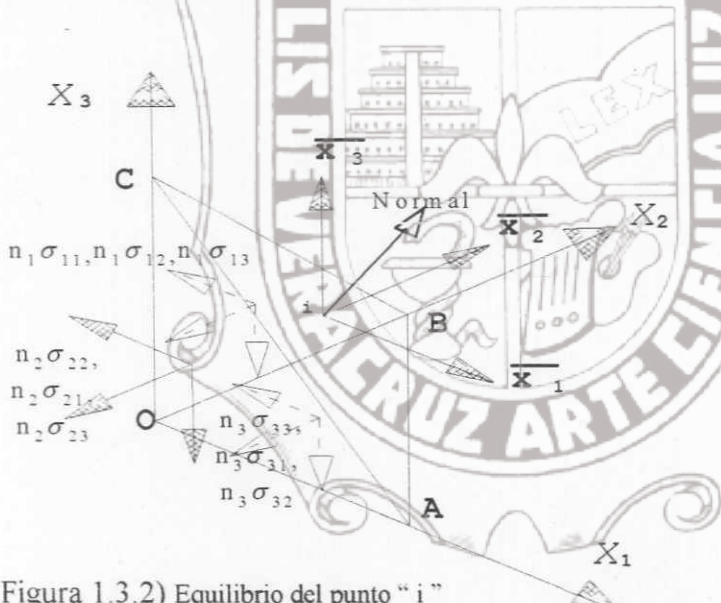


Figura 1.3.2) Equilibrio del punto "i" en la superficie.

Los esfuerzos varían de uno a otro punto del cuerpo y en su superficie deberán equilibrar a las fuerzas exteriores que actúan sobre la superficie del mismo. Las expresiones matemáticas de las condiciones de equilibrio relativos a la superficie, pueden obtenerse partiendo de lo siguiente. Los esfuerzos que actúan sobre las caras de un elemento cúbico vienen definidos por las componentes de esfuerzos, las tres componentes normales y las

seis tangenciales. Si en un punto cualquiera, se conoce estas componentes, podremos calcular mediante las ecuaciones de estática el esfuerzo que actúa sobre un plano de orientación arbitraria que pase por ese punto. Sea O un punto del cuerpo cargado y supongamos que se conocen los esfuerzos que actúan sobre los planos de coordenadas X_1X_2 , X_1X_3 , X_2X_3 . Para determinar el esfuerzo que actúa en otro plano cualquiera que pase por O , tracemos a distancia muy pequeña de ese punto, el plano ABC paralelo al dado, el cual formará con los planos coordinados un tetraedro elemental, ABCO. Como según se ha supuesto, los esfuerzos varían de manera continua en todo el volumen del cuerpo, el esfuerzo que actúa sobre el plano ABC, al acercarse éste al origen, el elemento se hace infinitésimo, tenderá a un límite, que es el esfuerzo correspondiente al plano paralelo al mismo por el punto O .

Al establecer las condiciones de equilibrio del tetraedro elemental se podrán despreciar las fuerzas de cuerpo. Así mismo, podremos dejar de lado la variación del esfuerzo en las caras del elemento, por ser de orden infinitesimal y suponer una distribución uniforme de esfuerzos, de forma que las fuerzas que actúan sobre el tetraedro, se determinarán, multiplicando las áreas de sus caras por las respectivas componentes de los esfuerzos. Si con D denotamos el área de la cara ABC, las áreas de las otras caras se obtienen proyectando D sobre los tres planos coordenados. Si N es la normal al plano ABC tenemos :

$$\cos(Nx) = l = n_1, \cos(Ny) = m = n_2, \cos(Nz) = n = n_3 \quad (1.3.2)$$

las áreas de las otras tres caras del tetraedro serán :

$$Dl = Dn_1, Dm = Dn_2, Dn = Dn_3.$$

Sean $\bar{x}_1, \bar{x}_2, \bar{x}_3$, las componentes de los esfuerzos que actúan en la cara ABC, paralelamente a los ejes respectivos. La componente según la dirección X_1 de la fuerza que actúa sobre dicha cara será $D \bar{x}_1$ y las componentes de las fuerzas que actúan en las tres caras del tetraedro, en la misma dirección será $-Dn_1\sigma_{11}, -Dn_2\sigma_{21}, -Dn_3\sigma_{31}$, y la fuerza de cuerpo será $1/3Dh\bar{x}_1$, donde h es la distancia normal del plano al origen, de manera que tendremos la siguiente ecuación de equilibrio del tetraedro

$$1/3 D h \bar{x}_1 + D \bar{x}_1 - Dn_1\sigma_{11} - Dn_2\sigma_{21} - Dn_3\sigma_{31} = 0$$

De manera análoga, proyectando las fuerzas sobre los ejes X_2 y X_3 se obtienen las otras dos ecuaciones de equilibrio y dividiendo luego ambos miembros de cada ecuación por el factor D y tomando límites cuando $h \rightarrow 0$; podremos escribir :

$$\begin{aligned} \bar{x}_1 &= \sigma_{11}n_1 + \sigma_{21}n_2 + \sigma_{31}n_3 \\ \bar{x}_2 &= \sigma_{12}n_1 + \sigma_{22}n_2 + \sigma_{32}n_3 \\ \bar{x}_3 &= \sigma_{13}n_1 + \sigma_{23}n_2 + \sigma_{33}n_3 \end{aligned} \quad (1.3.3)$$

Estas son las ecuaciones buscadas, ya que ellas nos permiten determinar las componentes que actúan en un plano cualquiera que pase por el punto O, de orientación definida por sus cosenos directores n_1, n_2, n_3 , siempre que sean conocidas las componentes del tensor de esfuerzos, en dicho punto. Se considera que las ecuaciones (1.3.3) y el tetraedro ABCO fig. 1.3.2) está dispuesto de manera que la cara ABC coincida con la superficie del cuerpo, estas ecuaciones son conocidas como *las ecuaciones de frontera*.

Del equilibrio de ABCO se obtiene en forma matricial :

$$\begin{bmatrix} \sigma_{11} & \sigma_{21} & \sigma_{31} \\ \sigma_{12} & \sigma_{22} & \sigma_{32} \\ \sigma_{13} & \sigma_{23} & \sigma_{33} \end{bmatrix} \begin{Bmatrix} n_1 \\ n_2 \\ n_3 \end{Bmatrix} = \begin{Bmatrix} x_1 \\ x_2 \\ x_3 \end{Bmatrix} \quad (1.3.3')$$

O

$$[\sigma_{ij}]^T \{ n_i \} = \{ x_j \} \quad (1.3.3'')$$

1.4.- EQUILIBRIO DEL ELEMENTO (dx_i) (ECUACIONES DE EQUILIBRIO).

Considerando el cubo representado en la figura 1.4.1), el cual además del estado general de esfuerzos que soporta, se encuentra sujeto a un sistema de fuerzas y momentos de cuerpo (fig.1.3.1), las fuerzas y momentos de cuerpo pueden representarse como :

$$F_{x_1} = x_1 dx_1 dx_2 dx_3, \quad F_{x_2} = x_2 dx_1 dx_2 dx_3, \quad F_{x_3} = x_3 dx_1 dx_2 dx_3 \\ M_{x_1} = m_1 dx_1 dx_2 dx_3, \quad M_{x_2} = m_2 dx_1 dx_2 dx_3, \quad M_{x_3} = m_3 dx_1 dx_2 dx_3$$

Las ecuaciones de equilibrio del elemento son :

$$\sum F_{x_i} = 0 \quad y \quad \sum M_{x_i} = 0 \quad (1.4.1)$$

Consideremos además que los esfuerzos varían de una cara a otra (opuesta) de acuerdo

con

$$\sigma_{ij}' = \sigma_{ij} + d\sigma_{ij} = \sigma_{ij} + \frac{\partial \sigma_{ij}}{\partial x_i} dx_i \quad (1.4.2)$$

donde

$$\sigma_{ij}' = \text{esfuerzo en la cara positiva del cubo}.$$

$$\sigma_{ij} = \text{esfuerzo correspondiente en la cara opuesta (-) del cubo}.$$

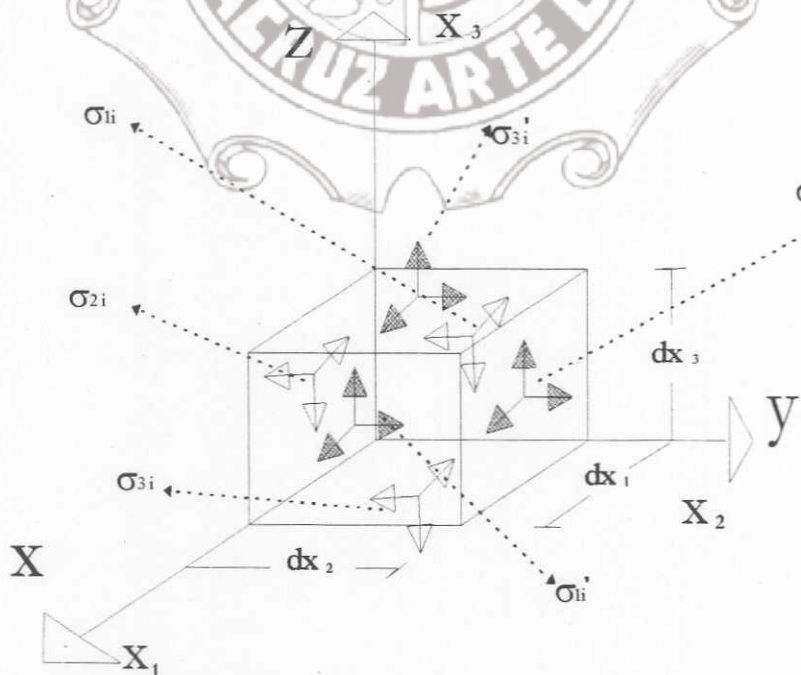


Figura. 1.4.1) Equilibrio de esfuerzos en el elemento dx_i (donde $\sigma_{li} = \sigma_{11}, \sigma_{12}, \sigma_{13}$, para $i=1,2,3$).

Tesis de Maestría

7

como el cubo se encuentra en equilibrio puede establecerse que $\sum Fx_i = 0$.

$$\sum Fx_1 = 0$$

$$\sigma'_{11} dx_2 dx_3 + \sigma'_{21} dx_1 dx_3 + \sigma'_{31} dx_1 dx_2 - \sigma_{11} dx_2 dx_3 - \sigma_{21} dx_1 dx_3 - \sigma_{31} dx_1 dx_2 + x_1 dx_1 dx_2 dx_3 = 0$$

Sustituyendo en la ecuación el valor de σ'_{11} y agrupando tendríamos:

$$(\sigma_{11} + d\sigma_{11} - \sigma_{11}) dx_2 dx_3 + (\sigma_{21} + d\sigma_{21} - \sigma_{21}) dx_1 dx_3 + (\sigma_{31} + d\sigma_{31} - \sigma_{31}) dx_1 dx_2 + x_1 dx_1 dx_2 dx_3 = 0$$

nos quedaría:

$$d\sigma_{11} dx_2 dx_3 + d\sigma_{21} dx_1 dx_3 + d\sigma_{31} dx_1 dx_2 + x_1 dx_1 dx_2 dx_3 = 0$$

de manera análoga, para las otras direcciones se tiene:

$$d\sigma_{12} dx_2 dx_3 + d\sigma_{22} dx_1 dx_3 + d\sigma_{32} dx_1 dx_2 + x_2 dx_1 dx_2 dx_3 = 0$$

$$d\sigma_{23} dx_1 dx_3 + d\sigma_{32} dx_1 dx_2 + d\sigma_{13} dx_3 dx_2 + x_3 dx_1 dx_2 dx_3 = 0$$

Además recordando que: $d\sigma_{ij} = \frac{\partial \sigma_{ij}}{\partial x_i} dx_i$ (1.4.3)

Lo cual, al sustituirse en las expresiones anteriores y dividiendo ambos miembros por $dx_1 dx_2 dx_3 = \text{Vol.}$

nos queda: $\frac{\partial \sigma_{11}}{\partial x_1} + \frac{\partial \sigma_{21}}{\partial x_2} + \frac{\partial \sigma_{31}}{\partial x_3} + x_1 = 0$ a) (1.4.4)

Análogamente para $\sum Fx_2 = 0$, $\sum Fx_3 = 0$, tenemos respectivamente:

$$\frac{\partial \sigma_{12}}{\partial x_1} + \frac{\partial \sigma_{22}}{\partial x_2} + \frac{\partial \sigma_{32}}{\partial x_3} + x_2 = 0 \quad b)$$

$$\frac{\partial \sigma_{13}}{\partial x_1} + \frac{\partial \sigma_{23}}{\partial x_2} + \frac{\partial \sigma_{33}}{\partial x_3} + x_3 = 0 \quad c)$$

Las 3 ecuaciones anteriores se conocen como ecuaciones de equilibrio para un punto del cuerpo. Por otra parte también se debe cumplir por equilibrio que $\sum Mx_i = 0$.

$$\sum Mx_1 = 0$$

$$(\sigma'_{23} dx_1 dx_3) \frac{d x_2}{2} - (\sigma'_{32} dx_1 dx_2) \frac{d x_3}{2} + (\sigma_{23} dx_1 dx_3) \frac{d x_2}{2} - (\sigma_{32} dx_1 dx_2) \frac{d x_3}{2} + m_1 dx_1 dx_2 dx_3 = 0$$

$$\text{se tiene de (1.4.2)} : \quad \sigma_{ij}' = \sigma_{ij} + d\sigma_{ij} = \sigma_{ij} + \frac{\partial \sigma_{ij}}{\partial x_i} dx_i$$

sustituyendo la expresión anterior para $i=2, j=3$ y $i=3, j=2$ tenemos :

$$[(\sigma_{23} + \frac{\partial \sigma_{23}}{\partial x_2} dx_2) dx_1 dx_3] \frac{dx_2}{2} - [(\sigma_{32} + \frac{\partial \sigma_{32}}{\partial x_3} dx_3) dx_1 dx_2] \frac{dx_3}{2} + \\ (\sigma_{23} dx_1 dx_3) \frac{dx_2}{2} - (\sigma_{32} dx_1 dx_2) \frac{dx_3}{2} + m_1 dx_1 dx_2 dx_3 = 0$$

dividiendo ambos miembros por $dx_1 dx_2 dx_3 = \text{vol}$, despreciando los diferenciales de segundo orden dx_i^2 y efectuando operaciones algebraicas, se obtiene :

$$\sigma_{23} - \sigma_{32} + m_1 = 0 \quad (1.4.5)$$

Análogamente para $\sum M_{x_2} = 0$ y $\sum M_{x_3} = 0$ tenemos respectivamente que :

$$\begin{aligned} \sigma_{31} - \sigma_{13} + m_2 &= 0 \\ \sigma_{12} - \sigma_{21} + m_3 &= 0 \end{aligned}$$

Las tres ecuaciones (1.4.5) junto con las otras tres (1.4.4) son las *ecuaciones de equilibrio en coordenadas rectangulares* y en su forma polar generalmente los momentos de cuerpo $m_i = 0$, estos sistemas forman un conjunto de seis ecuaciones con nueve incógnitas, por lo que se concluye que no es posible resolverlo por consideraciones de estática únicamente. Cuando los momentos de cuerpo son nulos el sistema (1.4.5) queda :

$$\sigma_{23} = \sigma_{32}, \quad \sigma_{31} = \sigma_{13}, \quad \sigma_{12} = \sigma_{21} \quad (1.4.5')$$

es decir el tensor de esfuerzos es simétrico $\sigma_{ij} = \sigma_{ji}$.

Con lo que las nueve incógnitas se reducen a seis. Expresando (1.4.4) en forma matricial se tiene:

$$\begin{bmatrix} \sigma_{11} & \sigma_{21} & \sigma_{31} \\ \sigma_{12} & \sigma_{22} & \sigma_{32} \\ \sigma_{13} & \sigma_{23} & \sigma_{33} \end{bmatrix} \begin{bmatrix} \frac{\partial}{\partial x_1} \\ \frac{\partial}{\partial x_2} \\ \frac{\partial}{\partial x_3} \end{bmatrix} + \begin{bmatrix} x_1 \\ x_2 \\ x_3 \end{bmatrix} = 0 \quad (1.4.4'')$$

O

$$[\sigma_{ij}] \left[\frac{\partial}{\partial x_i} \right] + \{x_j\} = 0$$

Usando notación índice (1.4.4) se representa

$$\sigma_{ij,i} + x_j = 0 \quad (1.4.4''')$$

en donde

$$\sigma_{ij,i} = \frac{\partial \sigma_{ij}}{\partial x_i}$$

Si usamos notación índice en las ecuaciones (1.4.5) tenemos:

$$\sigma_{ij} - \sigma_{ji} + m_k = 0 \quad (1.4.5''')$$

Si el problema consiste en determinar el estado de esfuerzo que se origina en un cuerpo sometido a la acción de fuerzas dadas, es necesario resolver las ecuaciones (1.4.4) de manera que la solución satisfaga las condiciones de límite o de borde (1.3.3). Es evidente que estas ecuaciones que contienen seis componentes de esfuerzo $\sigma_{...}, \tau$, no bastan para determinar estas cantidades, el problema es estáticamente indeterminado y para resolverlo se deberá proceder (como en el caso del estado plano de esfuerzo), haciendo intervenir a las deformaciones elásticas del cuerpo.

1.5.- DESPLAZAMIENTO, DEFORMACIÓN.

La deformación en un sólido se define como la intensidad del desplazamiento. Un cuerpo se puede deformar por cambios de temperatura y/o cargas externas, por ejemplo si un espécimen es sujeto a una fuerza P como se muestra en la fig. 1.5.1), si l_0 y l son la longitud inicial y final respectivamente bajo la carga P , el alargamiento será $\Delta l = l - l_0$.

El alargamiento por unidad de longitud ε es :

$$\varepsilon = \int_{l_0}^l \frac{dl}{l_0} = \frac{l - l_0}{l_0} = \frac{\Delta l}{l_0} \quad (1.5.1)$$

lo cual es llamado *deformación lineal*. Si consideramos un elemento plano de dimensiones elementales que pasa de un estado inicial (OABC) a un estado deformado (O'A'B'C') fig. 1.5.2), las deformaciones se clasificarán como longitudinales fig. 1.5.2.a), y angulares fig. 1.5.2.b).

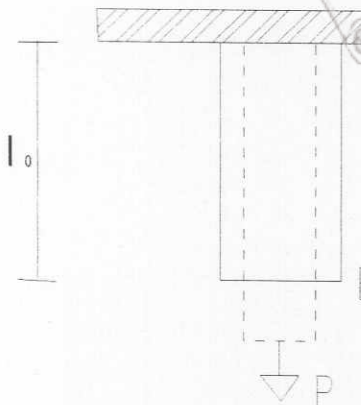


Figura 1.5.1. a)

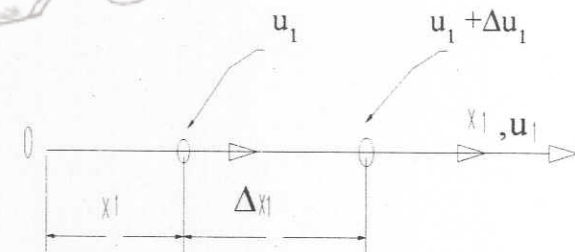
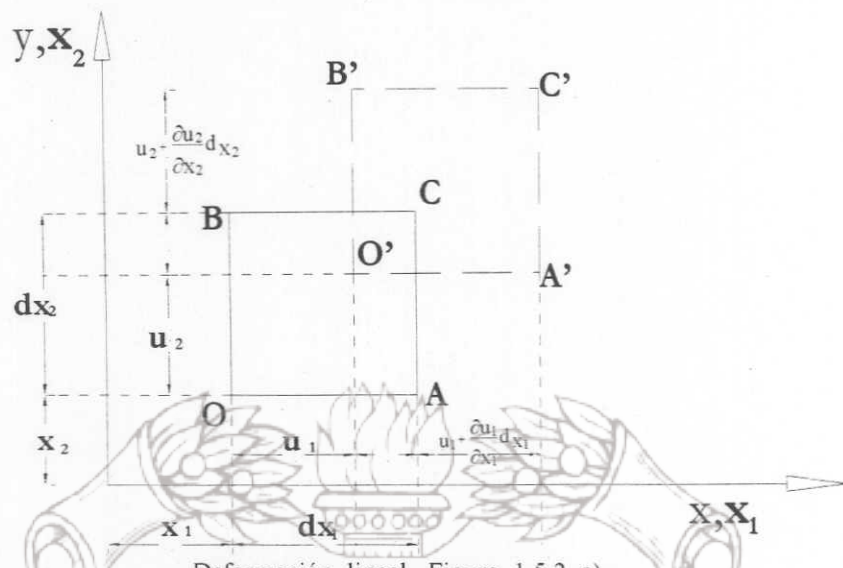


Figura 1.5.1. b)



Deformación lineal, Figura 1.5.2. a)

Si $\{u_i\}^T = [u_1, u_2, u_3]$ es el vector de desplazamientos en las direcciones X_1, X_2, X_3 , respectivamente, de acuerdo con la fig. 1.5.1.b) y fig. 1.5.2.a) y aplicando la definición de deformación lineal para desplazamientos muy pequeños tenemos matemáticamente que:

$$\epsilon_{11} = \lim_{\Delta x_1 \rightarrow 0} \frac{(OA' - OA)}{OA} \quad (1.5.1.a)$$

$$\epsilon_{22} = \lim_{\Delta x_2 \rightarrow 0} \frac{(OB' - OB)}{OB} \quad (1.5.1.b)$$

de (1.5.1.a) tenemos que

$$\begin{aligned} \epsilon_{11} &= \lim_{\Delta x_1 \rightarrow 0} \frac{\Delta l}{\Delta x_1} = \lim_{\Delta x_1 \rightarrow 0} \frac{(u_1 + \Delta u_1) - u_1}{\Delta x_1} = \frac{\partial u_1}{\partial x_1} = u_{1,1} \\ \epsilon_{11} &= \frac{\partial u_1}{\partial x_1} \equiv u_{1,1} \end{aligned} \quad (1.5.2)$$

partiendo de (1.5.1.b) :

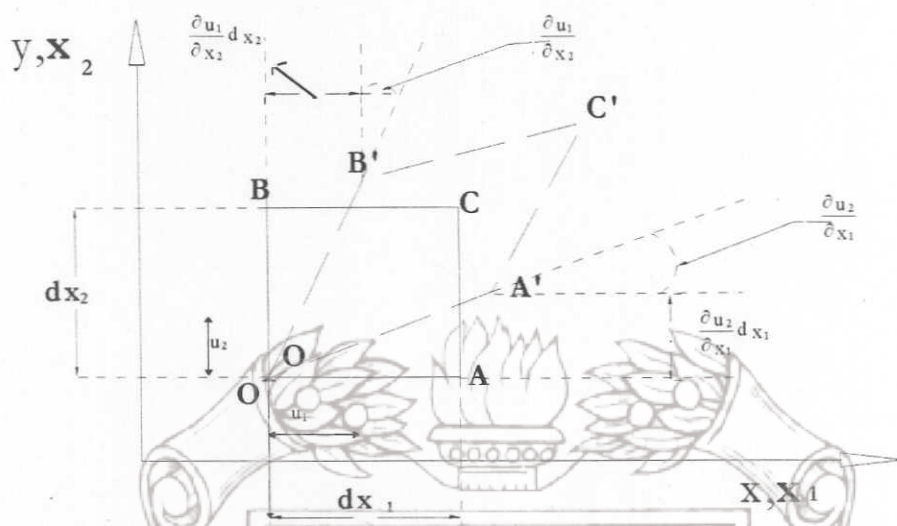
$$\epsilon_{22} = \lim_{\Delta x_2 \rightarrow 0} \frac{\Delta l}{\Delta x_2} = \lim_{\Delta x_2 \rightarrow 0} \frac{u_2 + \Delta u_2 - u_2}{\Delta x_2} = \frac{\partial u_2}{\partial x_2} = u_{2,2}$$

$$\epsilon_{22} = \frac{\partial u_2}{\partial x_2} \equiv u_{2,2} \quad b)$$

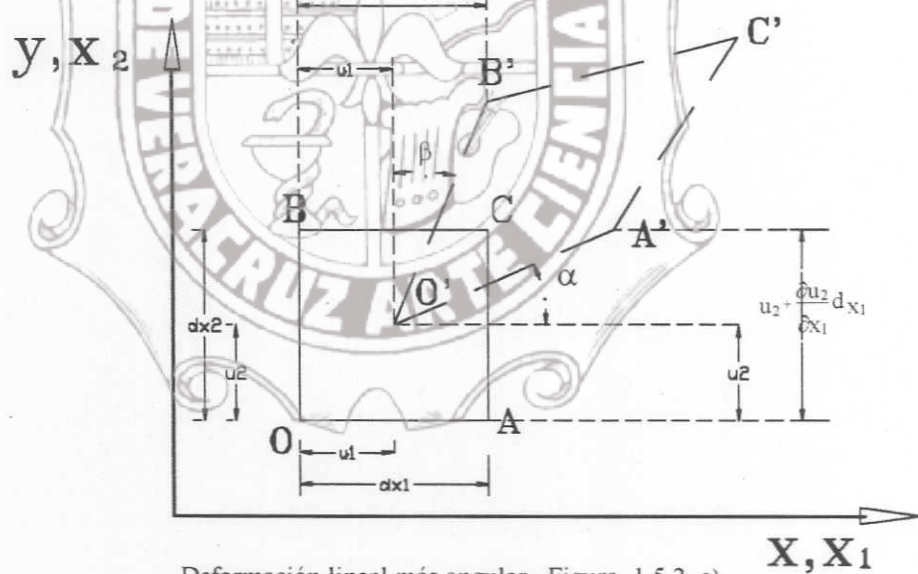
$$\text{similarmente} \quad \epsilon_{33} = \frac{\partial u_3}{\partial x_3} \equiv u_{3,3} \quad c)$$

esto es en general para $i=j$

$$\epsilon_{ij} = \frac{\partial u_i}{\partial x_j} \quad \forall i = j \quad (1.5.2')$$



Deformación angular, Figura 1.5.2. b)



Deformación lineal más angular, Figura 1.5.2. c)

Las deformaciones en X_1 y X_2 (X, Y) longitudinales respecto a las deformaciones angulares se definen por :

$$\gamma_{12} = \lim_{\substack{\Delta x_1 \rightarrow 0 \\ \Delta y \rightarrow 0}} [\angle BOA - \angle B'O'A'] = \lim_{\substack{\Delta x_1 \rightarrow 0 \\ \Delta y \rightarrow 0}} [\Pi/2 - \angle B'O'A'] \quad (1.5.3)$$

1.6.- ESTADO GENERAL DE DEFORMACIONES .

Considerando un cubo de dimensiones elementales, como en el estado general de esfuerzos fig. 1.2.2), puede representarse en forma general el tensor deformación, esto es:

$$\boldsymbol{\varepsilon}_{ij} = \begin{bmatrix} \varepsilon_{11} & \varepsilon_{12} & \varepsilon_{13} \\ \varepsilon_{21} & \varepsilon_{22} & \varepsilon_{23} \\ \varepsilon_{31} & \varepsilon_{32} & \varepsilon_{33} \end{bmatrix} \quad (1.6.1)$$

El cual siempre es simétrico en el caso de pequeñas deformaciones. De las mismas figuras y similarmente como se obtuvieron (1.5.2) se puede ver que para pequeños cambios de ángulo, la definición de deformación de cortante asociada con el plano X_1, X_2 , (figuras 1.5.2.) es :

$$\tan \alpha \approx \alpha = \frac{u_2 + \frac{\partial u_2}{\partial x_1} dx_1 - u_2}{dx_1} = \frac{\frac{\partial u_2}{\partial x_1}}{dx_1} = \frac{\partial u_2}{\partial x_1} \quad a) \quad (1.6.2)$$

$$\tan \beta \approx \beta = \frac{u_1 + \frac{\partial u_1}{\partial x_2} dx_2 - u_1}{dx_2} = \frac{\frac{\partial u_1}{\partial x_2}}{dx_2} = \frac{\partial u_1}{\partial x_2} \quad b)$$

Además: $\angle B'O'A' = [\Pi/2 - (\alpha + \beta)] = \Pi/2 - \left(\frac{\partial u_2}{\partial x_1} + \frac{\partial u_1}{\partial x_2} \right) \quad (1.6.3)$

sustituyendo (1.6.3) en (1.5.3) :

$$\begin{aligned} \gamma_{12} &= [\Pi/2 - (\Pi/2 - \left(\frac{\partial u_2}{\partial x_1} + \frac{\partial u_1}{\partial x_2} \right))] = \\ \gamma_{12} &= [\Pi/2 - \Pi/2 + \left(\frac{\partial u_2}{\partial x_1} + \frac{\partial u_1}{\partial x_2} \right)] = \\ \gamma_{12} &= \left(\frac{\partial u_2}{\partial x_1} + \frac{\partial u_1}{\partial x_2} \right) \quad (1.6.4) \end{aligned}$$

El miembro experimenta deformaciones de corte como se muestra en la fig.1.5.2.b), el ángulo recto AOB es reducido por la cantidad $\left(\frac{\partial u_2}{\partial x_1} + \frac{\partial u_1}{\partial x_2} \right)$, por lo que, para pequeños cambios de ángulo, la definición de deformación cortante asociada con al plano X_1, X_2 es:

$$\gamma_{12} = \gamma_{21} = \lim_{\substack{\Delta x_1 \rightarrow 0 \\ \Delta y \rightarrow 0}} [\angle BOA - \angle B'O'A'] = \frac{\partial u_1}{\partial x_2} + \frac{\partial u_2}{\partial x_1} \equiv u_{1,2} + u_{2,1} \quad a) \quad (1.6.5)$$

análogamente con los otros planos :

$$\gamma_{23} = \gamma_{32} = \frac{\partial u_2}{\partial x_3} + \frac{\partial u_3}{\partial x_2} \equiv u_{2,3} + u_{3,2} \quad b)$$

$$\gamma_{31} = \gamma_{13} = \frac{\partial u_3}{\partial x_1} + \frac{\partial u_1}{\partial x_3} \equiv u_{3,1} + u_{1,3} \quad c)$$

Como $\gamma_{12} = \gamma_{xy}$ es la deformación angular total, se define que la deformación tangencial sea la mitad de esta, esto es :

$$\epsilon_{12} = \epsilon_{xy} = \frac{1}{2} \gamma_{xy} = \frac{1}{2} \gamma_{12} \quad \therefore$$

$$\epsilon_{12} = \epsilon_{xy} = \frac{1}{2} \left(\frac{\partial u_2}{\partial x_1} + \frac{\partial u_1}{\partial x_2} \right) \quad \text{y en general}$$

$$\epsilon_{ij} = \frac{1}{2} \left(\frac{\partial u_j}{\partial x_i} + \frac{\partial u_i}{\partial x_j} \right) \quad (1.6.6)$$

$$\epsilon_{ij} = \begin{bmatrix} \frac{\partial u_1}{\partial x_1} & \frac{1}{2} \left(\frac{\partial u_2}{\partial x_1} + \frac{\partial u_1}{\partial x_2} \right) & \frac{1}{2} \left(\frac{\partial u_3}{\partial x_1} + \frac{\partial u_1}{\partial x_3} \right) \\ \frac{\partial u_2}{\partial x_2} & \frac{1}{2} \left(\frac{\partial u_3}{\partial x_2} + \frac{\partial u_2}{\partial x_3} \right) & \frac{\partial u_3}{\partial x_3} \\ \text{SIMET} & & \end{bmatrix} = \epsilon_{ji} \quad (1.6.7)$$

Examinando las ecuaciones deformación-desplazamiento (1.5.2) y (1.6.5) se observa que son seis ecuaciones que dependen solamente de tres desplazamientos u_1, u_2, u_3 , así las componentes de deformación no pueden expresarse de manera arbitraria en función de X, Y, Z, si no que habrá que satisfacer a determinadas relaciones que se deducen de (1.5.2) y (1.6.5). Por lo tanto seis ecuaciones independientes pueden desarrollarse relacionando a

$\epsilon_{11}, \epsilon_{22}, \epsilon_{33}, \gamma_{12}, \gamma_{23}$ y γ_{31} , ecuaciones conocidas como de compatibilidad. Se tiene que :

$$\epsilon_{11} = \frac{\partial u_1}{\partial x_1}; \quad \epsilon_{22} = \frac{\partial u_2}{\partial x_2}; \quad \gamma_{12} = \frac{\partial u_1}{\partial x_2} + \frac{\partial u_2}{\partial x_1}$$

Obteniendo segundas derivadas de ϵ_{ii} con respecto a los otros índices y para γ_{ij} con respecto a ambos índices tenemos:

$$\frac{\partial^2 \epsilon_{11}}{\partial x_2^2} = \frac{\partial^3 u_1}{\partial x_1 \partial x_2^2}; \quad \frac{\partial^2 \epsilon_{22}}{\partial x_1^2} = \frac{\partial^3 u_2}{\partial x_1^2 \partial x_2};$$

$$\frac{\partial^2 \gamma_{12}}{\partial x_1 \partial x_2} = \frac{\partial^3 u_1}{\partial x_1 \partial x_2^2} + \frac{\partial^3 u_2}{\partial x_1^2 \partial x_2}$$

de donde podemos verificar la siguiente relación :

$$\frac{\partial^2 \epsilon_{11}}{\partial x_2^2} + \frac{\partial^2 \epsilon_{22}}{\partial x_1^2} = \frac{\partial^2 \gamma_{12}}{\partial x_1 \partial x_2} = 2 \frac{\partial^2 \epsilon_{12}}{\partial x_1 \partial x_2} \quad (1.6.8)$$

Diferenciando ε_{12} con respecto a X_1 , X_3 y ε_{13} con respecto a X_2 , X_1 y sumándolos, tenemos:

$$\begin{aligned} 2 \left[\frac{\partial^2 \varepsilon_{12}}{\partial X_1 \partial X_3} + \frac{\partial^2 \varepsilon_{31}}{\partial X_2 \partial X_1} \right] &= \frac{\partial^2}{\partial X_1 \partial X_3} \left(\frac{\partial u_{11}}{\partial X_2} + \frac{\partial u_{21}}{\partial X_1} \right) + \frac{\partial^2}{\partial X_2 \partial X_1} \left(\frac{\partial u_{33}}{\partial X_1} + \frac{\partial u_{11}}{\partial X_3} \right) \\ &= 2 \frac{\partial^2}{\partial X_1 \partial X_3} \left(\frac{\partial u_{11}}{\partial X_1} \right) + \frac{\partial^2}{\partial X_1^2} \left(\frac{\partial u_{21}}{\partial X_3} + \frac{\partial u_{33}}{\partial X_2} \right) \\ &= 2 \left[\frac{\partial^2 \varepsilon_{11}}{\partial X_2 \partial X_3} + \frac{\partial^2 \varepsilon_{23}}{\partial X_1^2} \right] \end{aligned}$$

Despejando $\frac{\partial^2 \varepsilon_{11}}{\partial X_2 \partial X_3}$, resulta:

$$\frac{\partial^2 \varepsilon_{11}}{\partial X_2 \partial X_3} = \frac{\partial}{\partial X_1} \left(- \frac{\partial \varepsilon_{23}}{\partial X_1} + \frac{\partial \varepsilon_{31}}{\partial X_2} + \frac{\partial \varepsilon_{12}}{\partial X_3} \right)$$

O:

$$2 \frac{\partial^2 \varepsilon_{11}}{\partial X_2 \partial X_3} = \frac{\partial}{\partial X_1} \left(- \frac{\partial \gamma_{23}}{\partial X_1} + \frac{\partial \gamma_{13}}{\partial X_2} + \frac{\partial \gamma_{12}}{\partial X_3} \right) \quad (1.6.9)$$

similarmente se obtendrán las otras relaciones análogas a (1.6.8) y (1.6.9), el juego completo de seis ecuaciones es:

$$\begin{aligned} \frac{\partial^2 \varepsilon_{11}}{\partial X_2^2} + \frac{\partial^2 \varepsilon_{22}}{\partial X_1^2} &= \frac{\partial^2 \gamma_{12}}{\partial X_1 \partial X_2} \\ 2 \frac{\partial^2 \varepsilon_{11}}{\partial X_2 \partial X_3} &= \frac{\partial}{\partial X_1} \left(- \frac{\partial \gamma_{23}}{\partial X_1} + \frac{\partial \gamma_{13}}{\partial X_2} + \frac{\partial \gamma_{12}}{\partial X_3} \right) \\ \frac{\partial^2 \varepsilon_{11}}{\partial X_3^2} + \frac{\partial^2 \varepsilon_{33}}{\partial X_1^2} &= \frac{\partial^2 \gamma_{13}}{\partial X_1 \partial X_3} \\ 2 \frac{\partial^2 \varepsilon_{22}}{\partial X_1 \partial X_3} &= \frac{\partial}{\partial X_2} \left(\frac{\partial \gamma_{23}}{\partial X_1} - \frac{\partial \gamma_{13}}{\partial X_2} + \frac{\partial \gamma_{12}}{\partial X_3} \right) \\ \frac{\partial^2 \varepsilon_{22}}{\partial X_3^2} + \frac{\partial^2 \varepsilon_{33}}{\partial X_2^2} &= \frac{\partial^2 \gamma_{23}}{\partial X_2 \partial X_3} \\ 2 \frac{\partial^2 \varepsilon_{33}}{\partial X_1 \partial X_2} &= \frac{\partial}{\partial X_3} \left(\frac{\partial \gamma_{23}}{\partial X_1} + \frac{\partial \gamma_{13}}{\partial X_2} - \frac{\partial \gamma_{12}}{\partial X_3} \right) \end{aligned} \quad (1.6.10)$$

Siendo estas las ecuaciones de compatibilidad.

1.7.- LEY DE HOOKE .

La relación entre componentes de esfuerzo y deformación, ha sido establecida experimentalmente y se conoce bajo el nombre de la ley de Hooke.

Ley de Hooke en un estado uniaxial de esfuerzos:

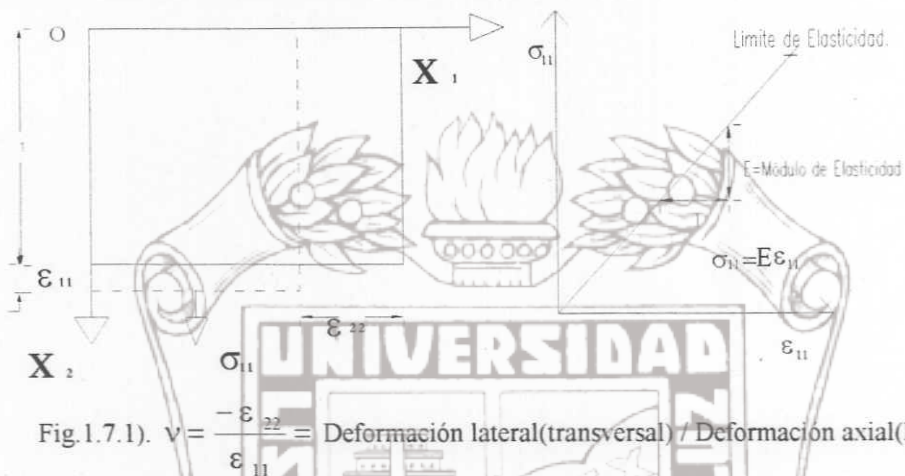


Fig.1.7.1). $v = -\frac{\epsilon_{22}}{\epsilon_{11}}$ Deformación lateral(transversal) / Deformación axial(longitudinal).

Si imaginamos un paralelepípedo (fig.1.7.1) rectangular infinitesimal, con sus aristas paralelas a los ejes coordenados, sometido a la acción de un esfuerzo normal $\sigma_x=\sigma_{11}$ distribuido uniformemente sobre dos caras opuestas. La magnitud de la deformación longitudinal estaría dada por la ecuación :

$$\epsilon_{11} = \frac{\sigma_{11}}{E} \quad \text{en donde } E = \text{Mod. de Elasticidad Longitudinal}. \quad (1.7.1)$$

La dilatación del elemento en la dirección X viene acompañada de contracciones

$$\text{laterales. } \epsilon_{22} = -v \frac{\sigma_{11}}{E} \quad ; \quad \epsilon_{33} = -v \frac{\sigma_{11}}{E} \quad (1.7.2)$$

en la cual v es conocido como el coeficiente de Poisson.

Si el elemento de la fig.1.7.1) es sometido a la acción de los esfuerzos normales σ_{11} , σ_{22} , σ_{33} , distribuidas uniformemente sobre sus caras, las componentes de la deformación resultante pueden obtenerse usando las ecuaciones (1.7.1) y (1.7.2), superponiendo las deformaciones producidas por cada uno de los tres esfuerzos, fig.1.7.2), considerando un estado triaxial llegando a él en tres etapas de cargas .

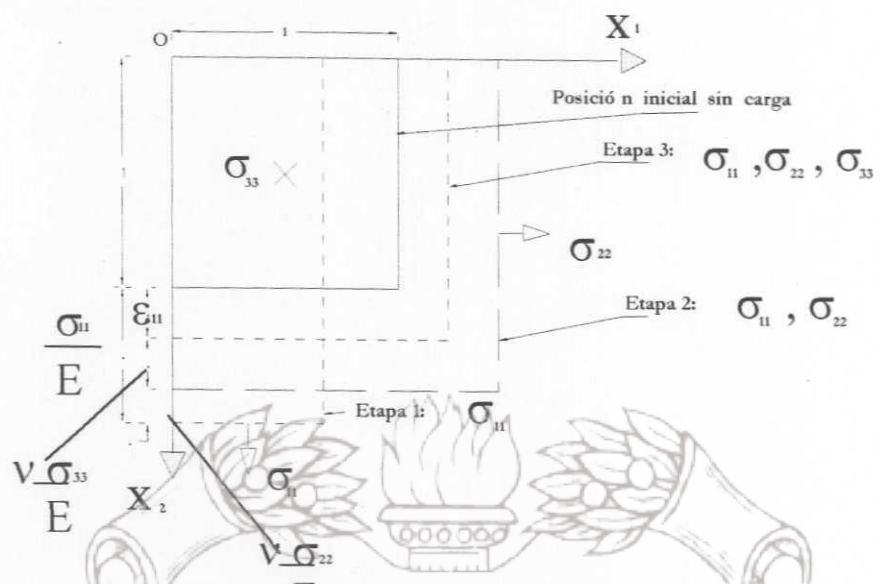


Fig. 1.7.2) Ley de Hooke en condiciones triaxiales.

Etapa 1: actuando σ_{11} , etapa 2: actuando σ_{11} y σ_{22} , etapa 3: actuando σ_{11} , σ_{22} y σ_{33} , se llega a las siguientes ecuaciones constitutivas:

$$\begin{aligned}\epsilon_{11} &= \frac{1}{E} \sigma_{11} - \frac{\nu}{E} \sigma_{22} - \frac{\nu}{E} \sigma_{33}, & \epsilon_{22} &= -\frac{\nu}{E} \sigma_{11} + \frac{1}{E} \sigma_{22} - \frac{\nu}{E} \sigma_{33}, \\ \epsilon_{33} &= -\frac{\nu}{E} \sigma_{11} - \frac{\nu}{E} \sigma_{22} + \frac{1}{E} \sigma_{33},\end{aligned}\tag{1.7.3}$$

factorizando $1/E$ de (1.7.3) tenemos.

$$\begin{aligned}\epsilon_{11} &= \frac{1}{E} (\sigma_{11} - \nu(\sigma_{22} + \sigma_{33})), & \epsilon_{22} &= \frac{1}{E} (\sigma_{22} - \nu(\sigma_{11} + \sigma_{33})) \\ \epsilon_{33} &= \frac{1}{E} (\sigma_{33} - \nu(\sigma_{11} + \sigma_{22}))\end{aligned}\tag{1.7.3'}$$

En las ecuaciones (1.7.3'), la relación entre deformaciones y esfuerzos está completamente definida mediante los parámetros E y ν . Estas constantes pueden ser usadas para definir la relación entre deformaciones y esfuerzos tangenciales.

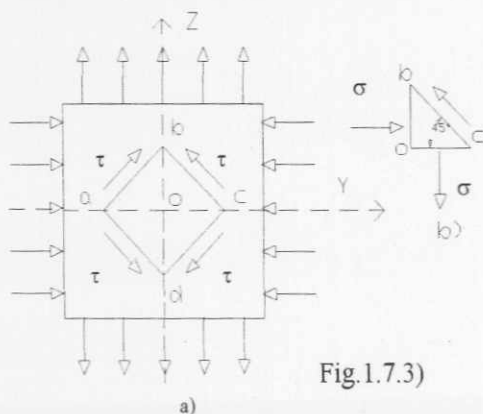


Fig. 1.7.3)

Consideramos el caso particular de deformación del paralelepípedo rectangular, sobre el cual :

$$\sigma_{33} = \sigma, \quad \sigma_{22} = -\sigma, \quad \sigma_{11} = 0$$

aislando un elemento abcd mediante planos paralelos el eje X que forman 45° con los ejes Y y Z (fig. 1.7.3) se puede ver, sumando las fuerzas paralelas y perpendiculares a bc, que la tensión normal sobre las caras de éste elemento es nula y que la tensión tangencial (τ) sobre la misma es :

$$\tau = 1/2 (\sigma_{33} - \sigma_{22}) = \sigma$$

Tal estado de tensión recibe el nombre de *Esfuerzo Cortante Simple*.

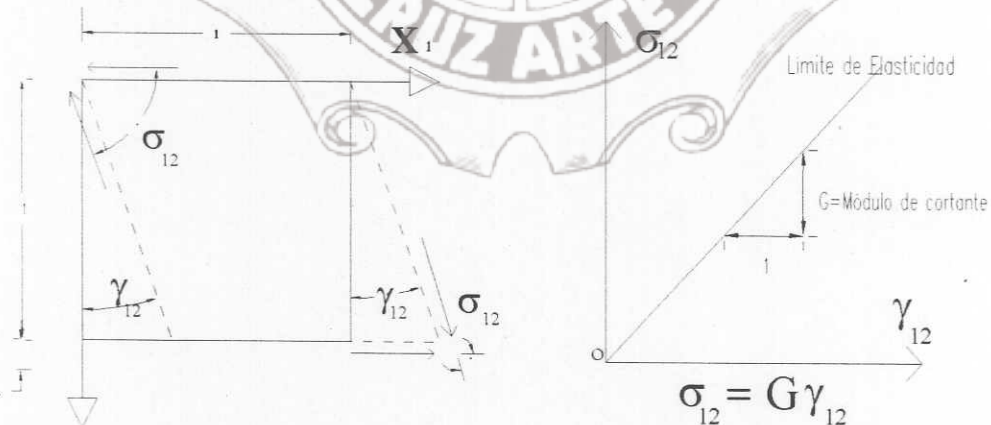
Sustituyendo el valor $\sigma_{11} = 0$, $\sigma_{33} = \sigma$, $\sigma_{22} = -\sigma$ en ε_{33} y ε_{22} de (1.7.3') tenemos :

$$\varepsilon_{33} = \frac{1}{E} (\sigma_{33} - \nu \sigma_{22}) = \frac{(1+\nu)\sigma}{E}, \quad \varepsilon_{22} = \frac{(1+\nu)\sigma}{E}$$

de lo anterior, tenemos que :

$$\gamma = 2 \frac{(1+\nu)\sigma}{E} = 2 \frac{(1+\nu)\tau}{E} \quad (1.7.4)$$

De esta forma, la relación entre la deformación tangencial y el esfuerzo tangencial está definida conociendo E y ν , existe una constante que relaciona la deformación angular y los esfuerzos de cortante, la podemos apreciar gráficamente en la figura siguiente.



X² Fig. 1.7.4) Ley de Hooke en un estado uniaxial de esfuerzos tangenciales (corte puro σ_{12}).

La constante definida en la fig. 1.7.4) se conoce como módulo de elasticidad tangencial o módulo de cortante G . Las constantes E , G y ν son experimentales y están relacionadas por:

$$G = E / (2(1+\nu)) \quad (1.7.5)$$

sustituyendo G en la ecuación (1.7.4) resulta :

$$\gamma = \frac{\tau}{G}$$

Si sobre todas las caras de un elemento actúan esfuerzos cortantes, como en el caso de la fig. 1.4.1), la deformación del ángulo formado por dos ejes coordenados cuales quiera, depende únicamente de las componentes de los esfuerzos paralelos a tales ejes y su valor es :

$$\begin{aligned} \gamma_{xy} &= \frac{I}{G} \tau_{xy}, & \gamma_{zy} &= \frac{I}{G} \tau_{yz}, & \gamma_{zx} &= \frac{I}{G} \tau_{zx} \\ \gamma_{12} &= \frac{1}{G} \sigma_{12}, & \gamma_{23} &= \frac{1}{G} \sigma_{23}, & \gamma_{31} &= \frac{1}{G} \sigma_{31} \end{aligned} \quad (1.7.6)$$

Las deformaciones longitudinales (1.7.3') y las deformaciones angulares (1.7.6) son independientes unas de otras y representan la ley de Hooke en condiciones triaxiales ó más correctamente las ecuaciones constitutivas para un sólido homogéneo e isotrópico. En consecuencia, el caso general de deformación producida por 3 esfuerzos normales y 3 tangenciales, se resuelven mediante la superposición de las deformaciones dadas por las ecuaciones (1.7.3') y (1.7.6), estas dan las componentes de las deformaciones en función de las componentes de los esfuerzos, esto lo podemos expresar matricialmente como:

$$\begin{bmatrix} \epsilon_{11} \\ \epsilon_{22} \\ \epsilon_{33} \\ \epsilon_{12} \\ \epsilon_{23} \\ \epsilon_{31} \end{bmatrix} = \frac{1}{E} \begin{bmatrix} 1 & -\nu & -\nu & 0 & 0 & 0 \\ -\nu & 1 & -\nu & 0 & 0 & 0 \\ -\nu & -\nu & 1 & 0 & 0 & 0 \\ 0 & 0 & 0 & 2(1+\nu) & 0 & 0 \\ 0 & 0 & 0 & 0 & 2(1+\nu) & 0 \\ 0 & 0 & 0 & 0 & 0 & 2(1+\nu) \end{bmatrix} \begin{bmatrix} \sigma_{11} \\ \sigma_{22} \\ \sigma_{33} \\ \sigma_{12} \\ \sigma_{23} \\ \sigma_{31} \end{bmatrix} \quad (1.7.7)$$

$$O \quad \{ \epsilon \} = [C] \{ \sigma \} \quad (1.7.8)$$

despejando $\{ \sigma \}$ de (1.7.8), se obtiene en forma matricial :

$$\begin{bmatrix} \sigma_{11} \\ \sigma_{22} \\ \sigma_{33} \\ \sigma_{12} \\ \sigma_{23} \\ \sigma_{31} \end{bmatrix} = \frac{E}{(1+\nu)(1-2\nu)} \begin{bmatrix} 1-\nu & \nu & \nu & 0 & 0 & 0 \\ \nu & 1-\nu & \nu & 0 & 0 & 0 \\ \nu & \nu & 1-\nu & 0 & 0 & 0 \\ 0 & 0 & 0 & \frac{(1-2\nu)}{2} & 0 & 0 \\ 0 & 0 & 0 & 0 & \frac{(1-2\nu)}{2} & 0 \\ 0 & 0 & 0 & 0 & 0 & \frac{(1-2\nu)}{2} \end{bmatrix} \begin{bmatrix} \epsilon_{11} \\ \epsilon_{22} \\ \epsilon_{33} \\ \epsilon_{12} \\ \epsilon_{23} \\ \epsilon_{31} \end{bmatrix} \quad (1.7.9)$$

o sea

$$\{ \sigma \} = [C]^{-1} \{ \epsilon \} \quad (1.7.10)$$

Se observa en las ecuaciones anteriores que sólo intervienen E y ν .

En un medio elástico lineal anisotrópico y aceptando el principio de superposición las ecuaciones (1.7.7), se expresan como :

$$\left\{ \begin{array}{c} \boldsymbol{\varepsilon}_{11} \\ \boldsymbol{\varepsilon}_{22} \\ \boldsymbol{\varepsilon}_{33} \\ \boldsymbol{\varepsilon}_{12} \\ \boldsymbol{\varepsilon}_{23} \\ \boldsymbol{\varepsilon}_{31} \end{array} \right\} = \left[\begin{array}{cccccc} C_{11} & C_{12} & C_{13} & C_{14} & C_{15} & C_{16} \\ C_{21} & C_{22} & C_{23} & C_{24} & C_{25} & C_{26} \\ C_{31} & C_{32} & C_{33} & C_{34} & C_{35} & C_{36} \\ C_{41} & C_{42} & C_{43} & C_{44} & C_{45} & C_{46} \\ C_{51} & C_{52} & C_{53} & C_{54} & C_{55} & C_{56} \\ C_{61} & C_{62} & C_{63} & C_{64} & C_{65} & C_{66} \end{array} \right] \left\{ \begin{array}{c} \boldsymbol{\sigma}_{11} \\ \boldsymbol{\sigma}_{22} \\ \boldsymbol{\sigma}_{33} \\ \boldsymbol{\sigma}_{12} \\ \boldsymbol{\sigma}_{23} \\ \boldsymbol{\sigma}_{31} \end{array} \right\} \quad (1.7.11)$$

Las ecuaciones constitutivas (1.7.11) tienen 36 constantes; sin embargo a través de consideraciones energéticas se demuestra que el número de constantes es 21 y que $C_{ij} = C_{ji}$ para $i \neq j$, son simétricas respecto a la diagonal principal. Todas las constantes C_{ij} deben determinarse experimentalmente. Se supone un material homogéneo, ejemplos de estos materiales son : concreto, concreto reforzado, madera, plástico reforzado con filamentos, fierro fundido, etc. Cuando se tiene tres direcciones ortogonales anisotrópicas, el material se dice que es ortotrópico y para estos materiales el número de constante se reduce sólo a nueve constantes independientes.

A veces es necesario tener las componentes de los esfuerzos expresados como función de las componentes de la deformación, esto se consigue de la siguiente manera, usando la notación

$$\begin{aligned} e &= \varepsilon_x + \varepsilon_y + \varepsilon_z = \varepsilon_{11} + \varepsilon_{22} + \varepsilon_{33} \\ \Theta &= \sigma_x + \sigma_y + \sigma_z = \sigma_{11} + \sigma_{22} + \sigma_{33} \end{aligned} \quad (1.7.12)$$

llegamos a la siguiente relación entre la dilatación cúbica "e" y la suma de los esfuerzos normales :

$$e = \frac{1-2v}{E} \Theta \quad (1.7.13)$$

Empleando las notaciones (1.7.12) y despejando σ_x , σ_y , σ_z de las ecuaciones (1.7.3'), obtenemos:

$$\sigma_x = \frac{vE}{(1+v)(1-2v)} e + \frac{E}{1+v} \varepsilon_x \quad , \quad \sigma_y = \frac{vE}{(1+v)(1-2v)} e + \frac{E}{1+v} \varepsilon_y \quad (1.7.14)$$

$$\sigma_z = \frac{vE}{(1+v)(1-2v)} e + \frac{E}{1+v} \varepsilon_z$$

usando la notación :

$$\lambda = \frac{vE}{(1+v)(1-2v)} \quad (1.7.15)$$

considerando (1.7.5) y las ecuaciones constitutivas (1.7.7) llegamos a :

$$\sigma_x = \lambda e + 2G\varepsilon_x, \quad \sigma_y = \lambda e + 2G\varepsilon_y, \quad \sigma_z = \lambda e + 2G\varepsilon_z \quad (1.7.16)$$

usando notación índice se escriben : $\sigma_{ij} = \lambda \delta_{ij} \varepsilon_{kk} + 2G \varepsilon_{ij}$ (i,j,k=1,2,3) (1.7.17)

donde $\delta_{ij} = 1$ para $i=j$ y $\delta_{ij} = 0$ para $i \neq j$, y $\varepsilon_{kk} = \varepsilon_{11} + \varepsilon_{22} + \varepsilon_{33} \equiv e$.

Desarrollando (1.7.17) se tiene :

para $i=1, j=1$	$\sigma_{11} = \lambda e + 2G\varepsilon_{11} \equiv \lambda e + 2G\varepsilon_1 = \sigma_x$
$i=2, j=2$	$\sigma_{22} = \lambda e + 2G\varepsilon_{22} \equiv \lambda e + 2G\varepsilon_2 = \sigma_y$
$i=3, j=3$	$\sigma_{33} = \lambda e + 2G\varepsilon_{33} \equiv \lambda e + 2G\varepsilon_3 = \sigma_z$
$i=1, j=2$	$\sigma_{12} = 2G\varepsilon_{12} \equiv 2G\varepsilon_{xy} = G\gamma_{xy} = \tau_{xy}$
$i=2, j=3$	$\sigma_{23} = 2G\varepsilon_{23} \equiv 2G\varepsilon_{yz} = G\gamma_{yz} = \tau_{yz}$
$i=3, j=1$	$\sigma_{31} = 2G\varepsilon_{31} \equiv 2G\varepsilon_{zx} = G\gamma_{zx} = \tau_{zx}$

(1.7.18)

Si en el sólido existe un incremento de temperatura ΔT , siendo α el coeficiente de expansión térmica las ecuaciones (1.7.7) quedan:

$$\begin{bmatrix} \varepsilon_{11} \\ \varepsilon_{22} \\ \varepsilon_{33} \\ \varepsilon_{12} \\ \varepsilon_{23} \\ \varepsilon_{31} \end{bmatrix} = \frac{1}{E} \begin{bmatrix} 1 & -v & -v & 0 & 0 & 0 \\ -v & 1 & -v & 0 & 0 & 0 \\ -v & -v & 1 & 0 & 0 & 0 \\ 0 & 0 & 0 & 2(1+v) & 0 & 0 \\ 0 & 0 & 0 & 0 & 2(1+v) & 0 \\ 0 & 0 & 0 & 0 & 0 & 2(1+v) \end{bmatrix} \begin{bmatrix} \sigma_{11} \\ \sigma_{22} \\ \sigma_{33} \\ \sigma_{12} \\ \sigma_{23} \\ \sigma_{31} \end{bmatrix} + \alpha \Delta T \begin{bmatrix} 1 \\ 1 \\ 1 \\ 0 \\ 0 \\ 0 \end{bmatrix} \quad (1.7.19)$$

CAPÍTULO II.

TEORÍA CLÁSICA DE TORSIÓN.

2.1.- INTRODUCCIÓN.

Estas cargas se presentan generalmente en forma de pares que hacen girar los miembros y producen esfuerzos cortantes. Los ejes circulares (flechas) son los miembros más comúnmente asociados con cargas de torsión y se presentan en muchas aplicaciones prácticas para ello, especialmente en el campo de diseño de máquinas. La torsión en elementos estructurales no es tan simple y las causas pueden ser muy diversas, la torsión puede ser resultado de acciones primarias o secundarias. La torsión primaria se debe a que la carga externa no puede ser resistida sino mediante torsión, en tales casos, es posible determinar la torsión requerida para mantener el equilibrio estático, este caso puede llamarse torsión de equilibrio, se trata principalmente de un problema de resistencia, debido a que la estructura, o sus componentes, se desploman si no se puede proporcionar resistencia torsional, se presenta generalmente por cargas aplicadas excéntricamente (un ejemplo simple serían los voladizos en una trabe). La torsión secundaria es originada como acción secundaria de requerimientos de continuidad en las estructuras estáticamente indeterminadas, (un ejemplo sería al iniciarse el pandeo de un miembro originalmente recto, sometido a solicitudes de otro tipo). Una introducción al tema de torsión, debe comenzar con el comportamiento elástico de las secciones simples, tales como las circulares, elípticas y las rectangulares que a continuación se presenta.

2.2. TORSIÓN EN MIEMBROS DE SECCIÓN CIRCULAR.

A partir del campo de los desplazamientos u_i , determinaremos los esfuerzos.

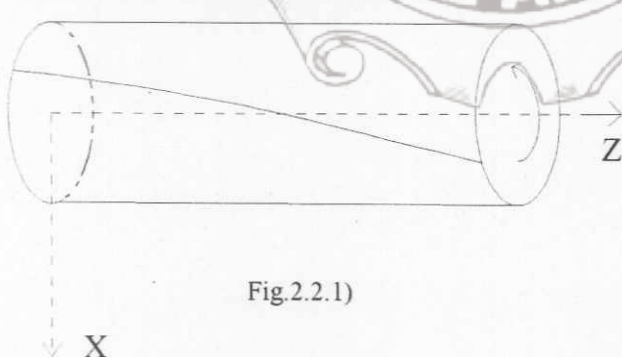


Fig.2.2.1)

Considerando un eje de longitud l de sección circular, con una de sus bases fijas en el plano x-y, torcido por la acción de pares de fuerza T que actúan en sus extremos, el eje se dice que está en torsión pura. La sección circular está sujeta a cargas de torsión, ya que estas fuerzas tangentes a la superficie, producen esfuerzos cortantes.

El producto de estas fuerzas cortantes por sus respectivas distancias al eje de la flecha producen momentos, que están situados a lo largo del eje-z, cuya suma (o resultante), es el par resistente, bajo la acción del esfuerzo torsionante, generará que el cilindro se deforme describiendo curvas helicoidales o en forma helicoidal.

Para investigar la torsión en los ejes, debemos conocer la relación entre el par aplicado y los esfuerzos internos producidos por ese par. Para establecer esa relación, se harán las siguientes suposiciones :

- a) A causa de la simetría de la sección es razonable suponer que la sección plana del cilindro antes de la deformación permanecerá plana después de ella.
- b) El diámetro de la flecha no cambia durante la carga.
- c) Los esfuerzos están en el rango elástico.
- d) Las deformaciones por cortante varían linealmente desde cero en el eje del miembro, hasta un máximo en las fibras extremas.

La observación y la verificación experimental comprueban que estas suposiciones están justificadas y que las secciones rectas giran como cuerpos rígidos alrededor del eje longitudinal.

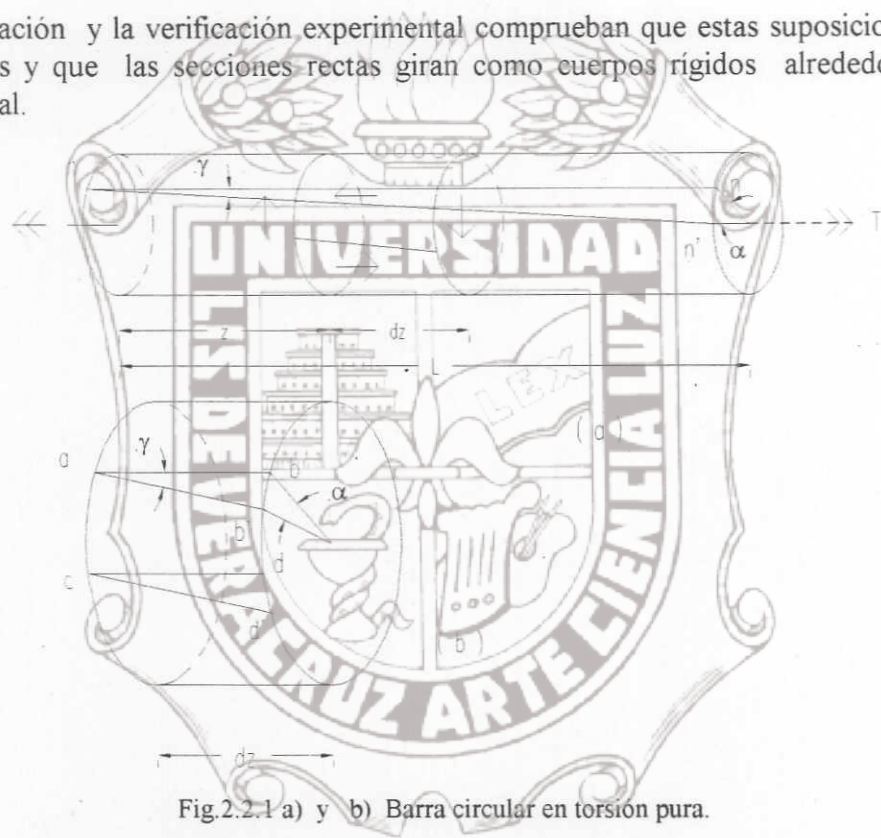


Fig.2.2.1 a) y b) Barra circular en torsión pura.

Durante la torsión de la barra habrá un giro o rotación alrededor del eje longitudinal de un extremo de la barra con respecto al otro. Por ejemplo, si consideramos fijo el extremo izquierdo de la barra, entonces el extremo derecho girará un ángulo α con respecto al extremo izquierdo (fig.2.2.1). Al mismo tiempo una recta longitudinal en la superficie de la barra, tal como la nn , girará un pequeño ángulo hasta las posición nn' . Debido a esta rotación, un elemento rectangular (abcd) en la superficie de la barra (tal como el mostrado en la fig.2.2.1.b) entre dos secciones transversales distantes dz , se deforma convirtiéndose en romboide ($ab'cd'$), tal elemento se muestra en la fig.2.2.1.b), donde una porción de la barra se ha aislado del resto de la misma. La configuración original de elemento se indica por abcd. Durante la torsión, la sección recta de la derecha gira con respecto a la cara opuesta y los puntos b y d se mueven hasta b' y d' , respectivamente. La longitud de los lados del elemento no cambia durante dicha rotación, pero los ángulos en sus vértices ya no serán de 90° .

Por lo tanto, vemos que el elemento está en un estado de cortadura pura, y la magnitud de la deformación de cortadura, γ es igual a la disminución del ángulo bac . Este es :

$$\gamma = \frac{bb'}{ab}$$

La distancia bb' es la longitud de un pequeño arco de radio r subtendido por el ángulo $d\alpha$, que es el ángulo de rotación de una sección recta con respecto a la otra. Así pues hallamos que $bb' = r d\alpha$. Además, la distancia ab es igual a dz , la longitud del elemento. Sustituyendo estas expresiones en la ecuación anterior, se obtiene:

$$\gamma = \frac{r d\alpha}{dz}$$

Cuando un árbol de máquina está sometido a torsión pura, la derivada $d\alpha/dz$ del ángulo de torsión es constante a lo largo de la barra. Esta constante representa el ángulo de torsión por unidad de longitud y se designará por θ . Por tanto, vemos que $\theta = \alpha/L$, donde L es la longitud del eje o árbol. Entonces, de la ecuación anterior se tiene que:

$$\gamma = r \theta = \frac{r \alpha}{L}$$

La suma de la rotación dependerá de la distancia de la sección desde la base $z=0$ y ya que las deformaciones son pequeñas es sensible de suponer que la suma de la rotación θ es proporcional a la distancia de la sección desde la base fija, generalizando $L = z$ y de $\theta = \alpha / L = \alpha / z$. Así,

$$\alpha = \theta z$$

donde θ como se dijo es el torque por unidad de longitud, esto es, el desplazamiento angular relativo de un par de secciones transversales separadas una distancia unitaria.

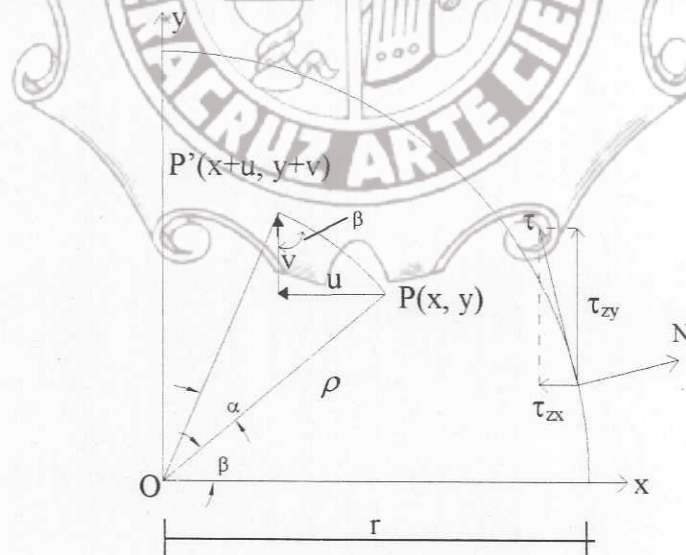


Fig. 2.2.2)

Si la sección transversal del cilindro permanece plana después de la deformación, entonces el desplazamiento w , a lo largo del eje z , es cero. Los desplazamientos u y v son fácilmente calculados, así, considerando cualquier punto $P(x,y)$ en la sección circular, el cual, antes de la deformación, ocupa la posición mostrada en la fig. 2.2.2).

Después de la deformación, el punto $P(x,y)$ acapará una nueva posición $P'(x+u, y+v)$. En términos de desplazamiento angular θ del punto P , nosotros tenemos:

$$u = \rho \cos(\beta+\alpha) - \rho \cos \beta \\ v = \rho \sin(\beta+\alpha) - \rho \sin \beta$$

Sustituyendo $\cos(\beta+\alpha)$ y $\sin(\beta+\alpha)$ por sus identidades trigonométricas y teniendo que β es el ángulo entre el radio vector ρ y el eje x de modo que $x = \rho \cos \beta$, $y = \rho \sin \beta$

$$u = x (\cos \alpha - 1) - y \sin \alpha \\ v = x \sin \alpha + y (\cos \alpha - 1)$$

y si el ángulo α es pequeño, podemos escribir

$$u = -\alpha y, \quad v = \alpha x,$$

toda vez que $\alpha = \theta z$, los desplazamientos en cualquier punto con coordenadas (x, y, z) , son:

$$u = -\theta z y, \quad v = \theta z x, \quad w = 0. \quad (2.2.1)$$

Los esfuerzos asociados con los desplazamientos anteriores están determinados por la ley de Hooke generalizada:

$$\tau_{ij} = \lambda \delta_{ij} u_{kk} + G (u_{ij} + u_{ji})$$

Por lo que :

$$\tau_{xx} = \tau_{yy} = \tau_{zz} = \tau_{xy} = 0, \quad \tau_{zy} = G \theta x, \quad \tau_{zx} = -G \theta y, \quad (2.2.2)$$

Estado de esfuerzos que satisface las ecuaciones de equilibrio (cuando no hay fuerzas de cuerpo actuando) y las ecuaciones de compatibilidad. Las primeras dos ecuaciones de borde (1.3.3) se satisfacen idénticamente y la última nos queda:

$$\tau_{zx} \cos(Nx) + \tau_{zy} \cos(Ny) = -G \theta y \cos(Nx) + G \theta x \cos(Ny) \equiv 0$$

para un cilindro circular de radio r , tenemos: $\cos(Nx) = x/r$ y $\cos(Ny) = y/r$, sustituyendo vemos que la ultima ecuación, también se satisface.

El único componente no nulo del par M producido por la distribución de esfuerzos (2.2.2) en el final del cilindro es M_z , el cual es fácilmente calculado, de esta manera,

$$M_z = \iint (x \tau_{zy} - y \tau_{zx}) dx dy = G \theta \iint (x^2 + y^2) dx dy = G \theta J_o \quad (2.2.3)$$

donde $J_o = \pi r^4/2$ es el momento polar de inercia de una sección circular de radio r . La fuerza resultante actuante en el extremo del cilindro desaparece y esto viene del principio de Saint-Venant, de que cualquiera que sea la distribución de fuerzas sobre el extremo del cilindro ocasiona un par de magnitud M_z , la distribución de esfuerzos alejados de los extremos del cilindro están esencialmente especificados por (2.2.2).

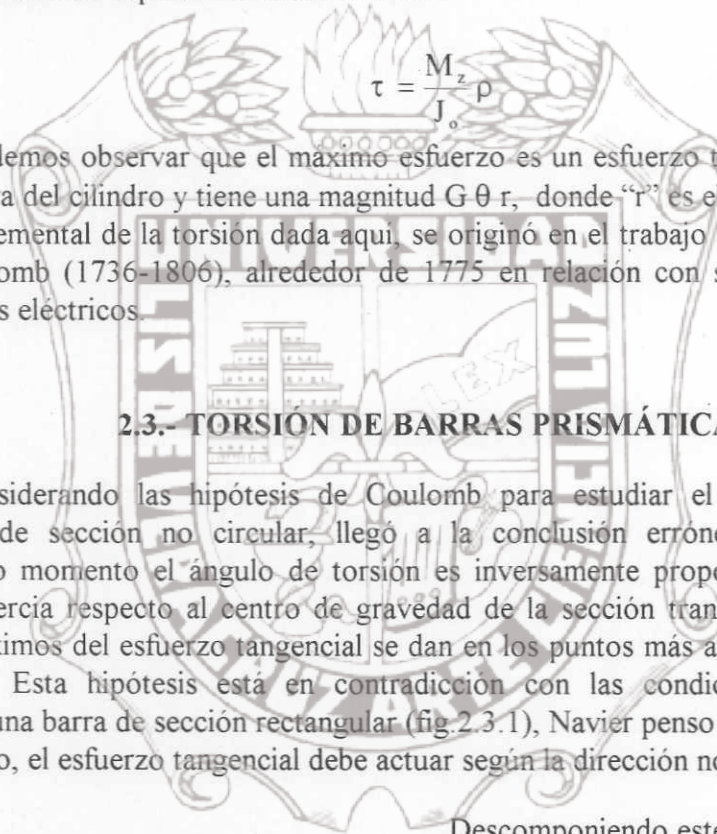
El vector de esfuerzos: $\tau = \tau_{xz} i + \tau_{yz} j + \tau_{zz} k = G\theta (-yi + xj)$
 actuando en un punto (x, y) , en cualquier sección transversal z constante, se sitúa en el
 plano de la sección y es normal al vector "r". La magnitud de τ es

$$\tau = \sqrt{\tau_{xz}^2 + \tau_{yz}^2} = G\theta \sqrt{x^2 + y^2} = G\theta \rho \quad (2.2.4)$$

De lo anterior tenemos que:

$$G\theta = \frac{\tau}{\rho} = \frac{M_z}{J_o}$$

Por lo que podemos expresar el esfuerzo como:



2.3.- TORSIÓN DE BARRAS PRISMÁTICAS.

Navier considerando las hipótesis de Coulomb para estudiar el caso de una barra prismática de sección no circular, llegó a la conclusión errónea de que para un determinado momento el ángulo de torsión es inversamente proporcional al momento polar de inercia respecto al centro de gravedad de la sección transversal y de que los valores máximos del esfuerzo tangencial se dan en los puntos más alejados del centro de la sección. Esta hipótesis está en contradicción con las condiciones de contorno. Tomando una barra de sección rectangular (fig. 2.3.1), Navier pensó que en todo punto A del contorno, el esfuerzo tangencial debe actuar según la dirección normal al radio OA .

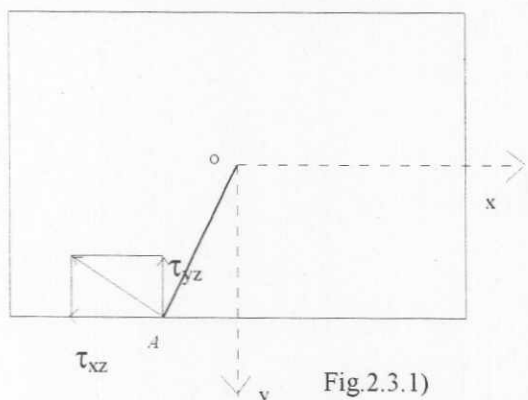
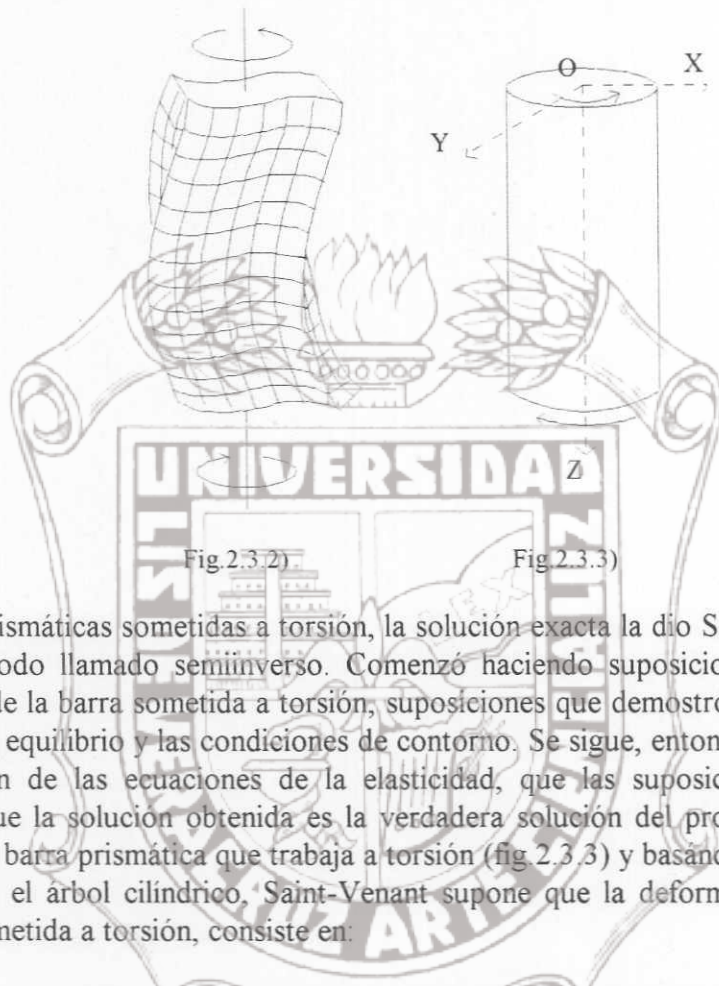


Fig. 2.3.1)

Descomponiendo este esfuerzo en sus dos componentes τ_{xz} y τ_{yz} es evidente que un esfuerzo complementario, igual a τ_{yz} actuará sobre la superficie lateral de la barra que circunda al punto A , lo cual está en contradicción con la hipótesis de que las caras laterales de la barra están libres de la acción de toda fuerza exterior, causada por los pares que actúan sobre los extremos de la barra.

Un experimento realizado con una barra rectangular (fig.2.3.2) muestra que las secciones transversales de la barra no permanecen planas al sufrir la torsión y que la distorsión de los elementos rectangulares de la superficie es máxima en el centro de los lados.



Para barras prismáticas sometidas a torsión, la solución exacta la dio Saint-Venant, quién ocupó el método llamado semiinverso. Comenzó haciendo suposiciones respecto a la deformación de la barra sometida a torsión, suposiciones que demostró cumplían con las ecuaciones de equilibrio y las condiciones de contorno. Se sigue, entonces, de la unicidad de la solución de las ecuaciones de la elasticidad, que las suposiciones hechas son correctas y que la solución obtenida es la verdadera solución del problema de torsión. Tomando una barra prismática que trabaja a torsión (fig 2.3.3) y basándose en la solución obtenida para el árbol cilíndrico, Saint-Venant supone que la deformación de la barra prismática sometida a torsión, consiste en:

- a) una rotación de las secciones transversales, como en el caso del árbol cilíndrico y
- b) un alabeo de las secciones transversales, igual para todas ellas.

Colocando el origen de coordenadas en un extremo de la barra (fig.2.3.3), tenemos que los desplazamientos correspondientes a la rotación de las secciones transversales son (ecuación 2.2.1):

$$u = -\theta zy \quad , \quad v = \theta zx \quad (2.3.1)$$

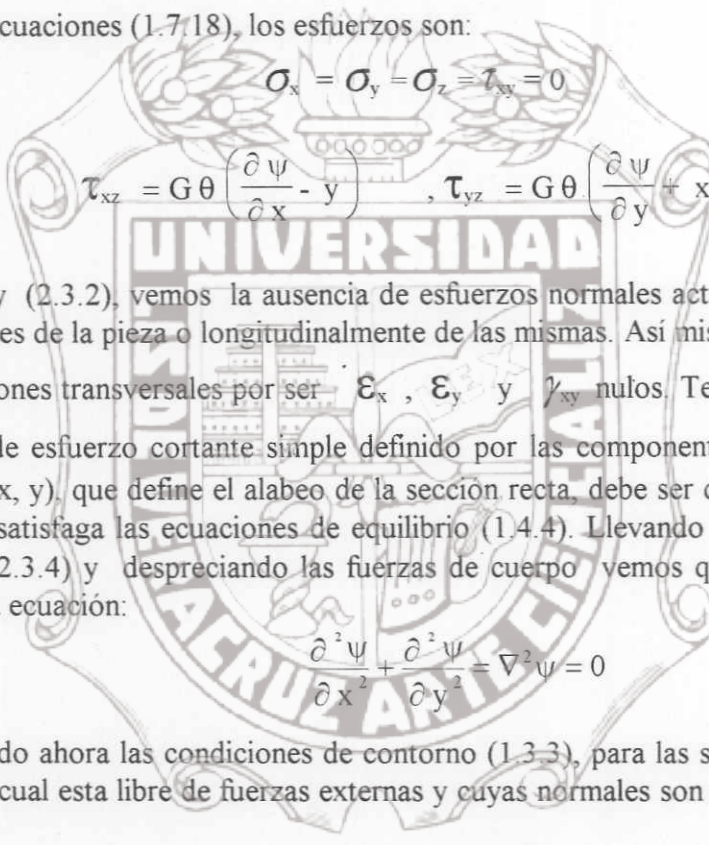
θz es el ángulo de rotación de la sección transversal distante z del origen.
Una función definirá el alabeo de las secciones transversales :

$$w = \theta \psi(x,y) \quad (2.3.2)$$

De los desplazamientos (2.3.1) y (2.3.2), calculamos las deformaciones mediante las ecuaciones (1.5.2) y (1.6.5):

$$\begin{aligned}\varepsilon_x &= \varepsilon_y = \varepsilon_z = \gamma_{xy} = 0 \\ \gamma_{xz} &= \frac{\partial w}{\partial x} + \frac{\partial u}{\partial z} = \theta \left(\frac{\partial \psi}{\partial x} - y \right) \\ \gamma_{yz} &= \frac{\partial w}{\partial y} + \frac{\partial v}{\partial z} = \theta \left(\frac{\partial \psi}{\partial y} + x \right)\end{aligned}\quad (2.3.3)$$

Según las ecuaciones (1.7.18), los esfuerzos son:



$$\begin{aligned}\sigma_x &= \sigma_y = \sigma_z = \tau_{xy} = 0 \\ \tau_{xz} &= G \theta \left(\frac{\partial \psi}{\partial x} - y \right), \quad \tau_{yz} = G \theta \left(\frac{\partial \psi}{\partial y} + x \right)\end{aligned}\quad (2.3.4)$$

De (2.3.1) y (2.3.2), vemos la ausencia de esfuerzos normales actuando entre las fibras longitudinales de la pieza o longitudinalmente de las mismas. Así mismo no hay distorsión de las secciones transversales por ser ε_x , ε_y y γ_{xy} nulos. Tenemos en todo punto un estado de esfuerzo cortante simple definido por las componentes τ_{xz} y τ_{yz} . La función $\psi(x, y)$, que define el alabeo de la sección recta, debe ser determinada ahora, de forma que satisfaga las ecuaciones de equilibrio (1.4.4). Llevando a estas ecuaciones la expresión (2.3.4) y despreciando las fuerzas de cuerpo vemos que la función ψ debe satisfacer la ecuación:

$$\frac{\partial^2 \psi}{\partial x^2} + \frac{\partial^2 \psi}{\partial y^2} = \nabla^2 \psi = 0 \quad (2.3.5)$$

Considerando ahora las condiciones de contorno (1.3.3), para las superficies laterales de la barra, la cual está libre de fuerzas externas y cuyas normales son perpendiculares al eje z , tenemos:

$$\bar{X} = \bar{Y} = \bar{Z} = 0 \quad \text{y} \quad \cos(Nz) = n = 0.$$

Las primeras dos ecuaciones de contorno se satisfacen idénticamente y la tercera resulta:

$$\tau_{xz} l + \tau_{yz} m = 0 \quad (2.3.6)$$

lo que significa que el esfuerzo tangencial resultante que actúa en la frontera, tiene por dirección la tangente a la frontera (fig.2.3.4). Esta condición debe ser satisfecha si sobre la superficie lateral de la barra no actúa ninguna fuerza.

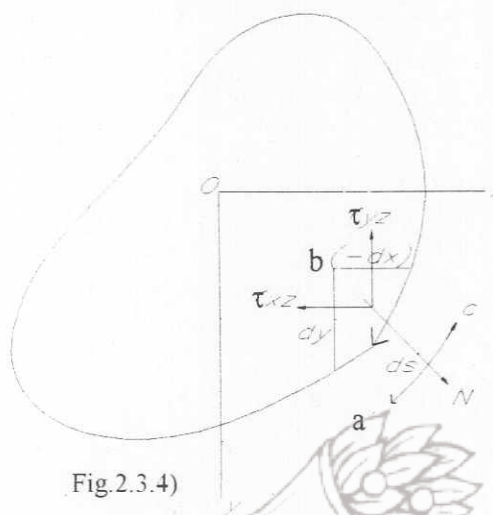


Fig.2.3.4)

Consideramos un elemento de arco abc del contorno y suponemos que "s" aumenta en la dirección de c hacia a , tenemos que :

$$l = \cos(Nx) = \frac{dy}{ds} \quad , \quad m = \cos(Ny) = -\frac{dx}{ds}$$

y (2.3.6) se convierte en :

$$\left(\frac{\partial \psi}{\partial x} - y \right) \frac{dy}{ds} - \left(\frac{\partial \psi}{\partial y} + x \right) \frac{dx}{ds} = 0 \quad (2.3.8)$$

Por lo tanto, todo problema de torsión se reduce a la determinación de una función ψ que satisfaga la ecuación (2.3.5) y las condiciones de contorno (2.3.8). Un procedimiento alternativo es simplificando la expresión de la condición de contorno, ya que:

$$\sigma_x = \sigma_y = \sigma_z = \tau_{xy} = 0$$

las ecuaciones de equilibrio se reducen a:

$$\frac{\partial \tau_{xz}}{\partial z} = 0, \quad \frac{\partial \tau_{yz}}{\partial z} = 0, \quad \frac{\partial \tau_{xz}}{\partial x} + \frac{\partial \tau_{yz}}{\partial y} = 0$$

ya que τ_{xz} y τ_{yz} son independientes de z , las dos ecuaciones primeras se satisfacen y de la tercera podemos expresar τ_{xz} y τ_{yz} de la forma:

$$\tau_{xz} = \frac{\partial \phi}{\partial y}, \quad \tau_{yz} = -\frac{\partial \phi}{\partial x} \quad (2.3.9)$$

donde $\phi(x,y)$ es llamada función de esfuerzos. Sustituyendo τ_{xz} y τ_{yz} tenemos:

$$\frac{\partial \phi}{\partial y} = G \theta \left(\frac{\partial \psi}{\partial x} - y \right), \quad \frac{\partial \phi}{\partial x} = -G \theta \left(\frac{\partial \psi}{\partial y} + x \right)$$

Para eliminar ψ , derivemos la primera expresión respecto a "y" y la segunda respecto a "x" y sumándolas encontramos que la función de esfuerzos debe satisfacer la ecuación:

$$\frac{\partial^2 \phi}{\partial x^2} + \frac{\partial^2 \phi}{\partial y^2} = -2G\theta = F \quad (2.3.11)$$

Sustituyendo las ecuaciones (2.3.9) en la condición de contorno (2.3.6) nos queda:

$$\frac{\partial \phi}{\partial y} \frac{dy}{ds} + \frac{\partial \phi}{\partial x} \frac{dx}{ds} = \frac{d\phi}{ds} = 0 \quad (2.3.13)$$

Esto nos indica que la función de esfuerzos ϕ debe ser constante a lo largo del contorno de la sección transversal. Si se trata de barras macizas, esta constante puede ser elegida arbitrariamente. *La determinación, entonces, de la distribución de esfuerzos en la sección transversal de una barra sometida a torsión, consiste en determinar la función ϕ que satisfaga la ecuación (2.3.11) y sea nula en el contorno.* Considerando las condiciones en los extremos de una barra sometida a torsión. Las normales a esas secciones extremas son paralelas al eje z. En consecuencia $l = m = 0$, $n = \pm 1$ y las ecuaciones de borde serán:

$$\bar{X} = \pm \tau_{xz}, \quad \bar{Y} = \pm \tau_{yz} \quad (2.3.14)$$

en las que el signo positivo deberá tomarse para el extremo de la barra cuya normal exterior tenga el sentido del eje positivo de las "z", como ocurre con el extremo inferior de la barra (fig.2.3.3). En los extremos las fuerzas tangenciales se distribuyen de igual manera que los esfuerzos tangenciales en las secciones transversales de la barra. La resultante de esas fuerzas es un par. Sustituyendo en las ecuaciones (2.3.14) los valores de (2.3.9) y observando que ϕ es cero en el contorno se obtiene:

$$\iint \bar{X} dx dy = \iint \tau_{xz} dx dy = \iint \frac{\partial \phi}{\partial y} dx dy = \int dx \int \frac{\partial \phi}{\partial y} dy = 0$$

$$\iint \bar{Y} dx dy = \iint \tau_{yz} dx dy = - \iint \frac{\partial \phi}{\partial x} dx dy = - \int dy \int \frac{\partial \phi}{\partial x} dx = 0$$

Por lo tanto la resultante de las fuerzas distribuidas sobre los extremos de la barra son cero y que estas fuerzas representan un par cuya magnitud es:

$$M_t = \iint (\bar{Y}x - \bar{X}y) dx dy = - \iint \frac{\partial \phi}{\partial x} x dx dy - \iint \frac{\partial \phi}{\partial y} y dx dy \quad (2.3.15)$$

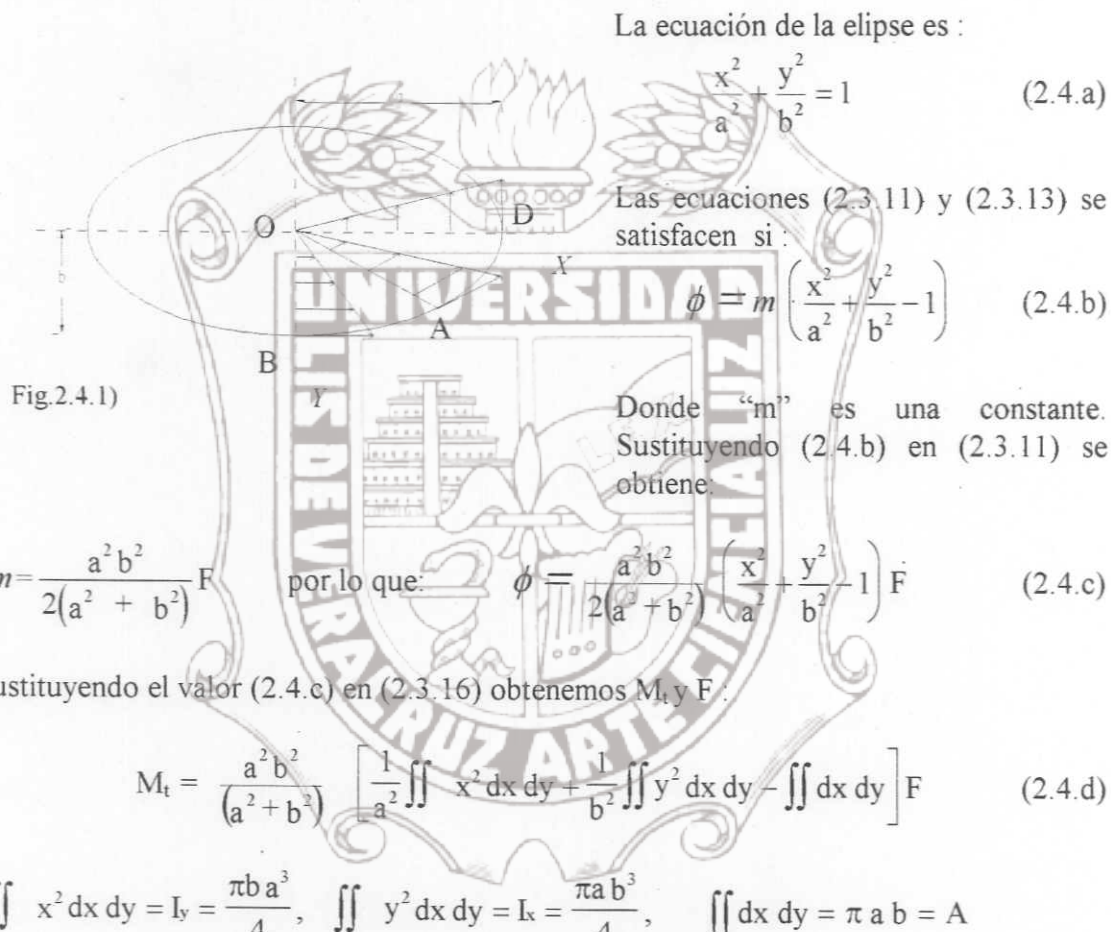
Teniendo en cuenta que $\phi=0$ en el contorno e integrando por partes tenemos:

$$M_t = 2 \iint \phi dx dy \quad (2.3.16)$$

cada una de las integrales del último miembro de las ecuaciones (2.3.15) contribuyen a la mitad del valor del par. Se tiene así, que una mitad del par es debida a la componente τ_{xz} y la otra a τ_{yz} .

2.4.- BARRAS DE SECCIÓN TRANSVERSAL ELÍPTICA.

De acuerdo con la sección anterior para determinar la distribución de esfuerzos en una barra sometida a torsión, se tiene que determinar una función ϕ que satisfaga la ecuación (2.3.11) y se anule en el contorno. Consideremos una barra cuya sección transversal es elíptica (fig.2.4.1).



sustituyendo resulta:

$$M_t = -\frac{\pi a^3 b^3}{2(a^2 + b^2)} F$$

despejando:

$$F = -\frac{2 M_t (a^2 + b^2)}{\pi a^3 b^3} \quad (2.4.e)$$

Por tanto (2.4.c) resulta:

$$\phi = -\frac{M_t}{\pi ab} \left(\frac{x^2}{a^2} + \frac{y^2}{b^2} - 1 \right) \quad (2.4.f)$$

Los esfuerzos se obtienen sustituyendo en (2.3.9) la función de esfuerzo ϕ :

$$\tau_{xz} = -\frac{2 M_t y}{\pi a b^3}, \quad \tau_{yz} = \frac{2 M_t x}{\pi a^3 b} \quad (2.4.1)$$

Las componentes de la tensión tienen una relación proporcional a y/x y por lo tanto constante a lo largo de cualquier radio tal como OA (fig.2.4.1). Esto significa que la tensión tangencial resultante a lo largo de un radio cualquiera OA, tiene una dirección constante que será evidentemente la de la tangente al contorno en el punto A. A lo largo del eje vertical OB la componente τ_{yz} de la tensión tangencial es nula y la tensión resultante es igual a τ_{xz} . A lo largo del eje horizontal OD la tensión tangencial resultante es igual a τ_{yz} . El esfuerzo máximo se produce en el contorno y puede demostrarse que este máximo se da en los extremos del eje menor de la elipse. Sustituyendo $y = b$ en la primera de las ecuaciones (2.4.1) obtenemos el valor absoluto de dicho máximo:

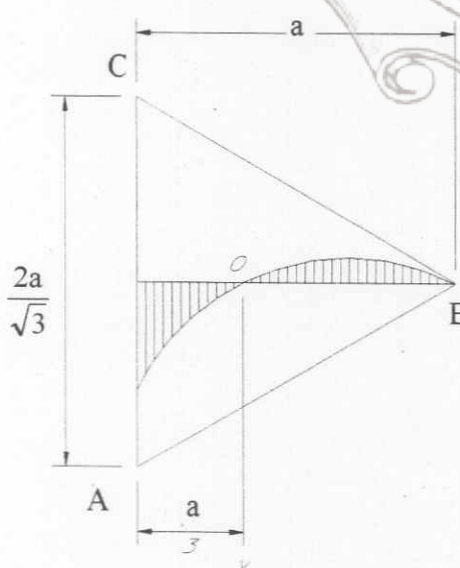
$$\tau_{\max.} = \frac{2 M_t}{\pi a b^2} \quad (2.4.2)$$

2.5.- BARRAS DE SECCIÓN TRANSVERSAL TRIANGULAR.

Considerando una barra de sección transversal triangular equilátera (fig.2.5.1), donde los vértices son los puntos A, B, C y las ecuaciones de las rectas que contienen los lados del triángulo son:

$$\text{para AB, } (x - \sqrt{3}y - \frac{2}{3}a) = 0, \text{ para BC, } (x + \sqrt{3}y - \frac{2}{3}a) = 0, \text{ y para AC, } (x + \frac{1}{3}a) = 0.$$

El producto de las 3 ecuaciones de los lados del triángulo, será la ecuación de contorno:



$$(x - \sqrt{3}y - \frac{2}{3}a)(x + \sqrt{3}y - \frac{2}{3}a)(x + \frac{1}{3}a) = 0$$

resultando el polinomio:

$$\left(\frac{1}{2}(x^2 + y^2) - \frac{1}{2a}(x^3 + 3xy^2) - \frac{2}{27}a^2 \right) = 0$$

Las ecuaciones (2.3.11) y (2.3.13) se satisfacen si :

$$\phi = \frac{F}{2} \left\{ \frac{1}{2}(x^2 + y^2) - \frac{1}{2a}(x^3 - 3xy^2) - \frac{2}{27}a^2 \right\}$$

Ya que $F = -2G\theta$ tenemos:

$$\phi = -G\theta \left(\frac{1}{2}(x^2 + y^2) - \frac{1}{2a}(x^3 - 3xy^2) - \frac{2}{27}a^2 \right) \quad (2.5.g)$$

Fig.2.5.1)

Sustituyendo ϕ en las ecuaciones (2.3.9) obtenemos las componentes de τ_{xz} y τ_{yz} .

Por razones de simetría a lo largo del eje x, $\tau_{xz} = 0$ y entonces obtenemos de (2.5.g):

$$\tau_{yz} = \frac{3G\theta}{2a} \left(\frac{2ax}{3} - x^2 \right) \quad (2.5.h)$$

En los puntos medios de los lados del triángulo se produce el esfuerzo máximo, de (2.5.h) encontramos que:

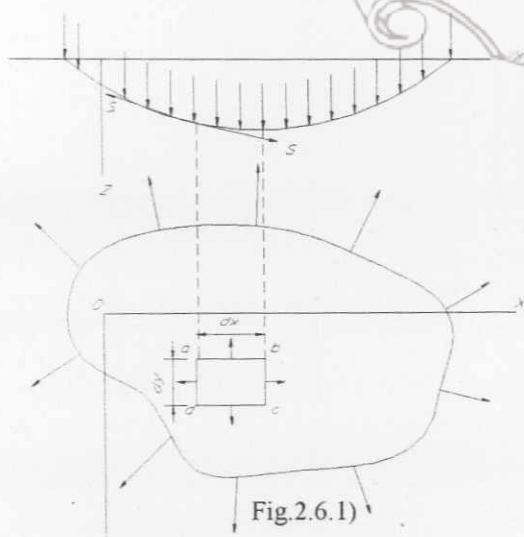
$$\tau_{\max} = \frac{G\theta a}{2} \quad (2.5.k)$$

El esfuerzo tangencial en los vértices del triángulo es nulo (vease la fig.2.5.1). M_t lo encontramos sustituyendo (2.5.g) en la ecuación (2.3.16) :

$$M_t = \frac{G\theta a^3}{15 \cdot 3} = \frac{5}{3} \theta G I_p \quad (2.5.l)$$

2.6.- ANALOGÍA DE LA MEMBRANA.

L. Prandtl presentó una analogía entre la torsión y la deformación de una membrana, la cual ha resultado de gran utilidad para la solución de problemas de torsión, que no se pueden resolver matemáticamente en forma conveniente, esta analogía se conoce como "analogía de la membrana". Imaginemos una membrana homogénea (fig.2.6.1), tal como una película de jabón, formada y ligeramente estirada sobre un agujero, esta debe ser geométricamente semejante a la sección transversal de la barra en estudio. Debe mantenerse una ligera presión de aire por un lado de la membrana y los bordes se mantienen fijos sobre el contorno, por lo que esta es sometida a una tracción uniforme sobre sus bordes ("s"= la tensión uniforme por unidad de longitud de su contorno) y a una presión uniforme sobre su caras ("q"= la presión por unidad de área de la membrana).



Sobre los lados ad y bc del elemento infinitesimal abcd (fig.2.6.1), actúan esfuerzos de tensión, que cuando las flechas de la membrana son pequeñas, tienen una resultante hacia arriba cuyo valor es $-s(\partial^2 z / \partial x^2) dx dy$. De igual forma, las tensiones que actúan sobre los otros lados del elemento tienen por resultante $-s(\partial^2 z / \partial y^2) dx dy$ y la ecuación de equilibrio del elemento será:

$$q dx dy + s \frac{\partial^2 z}{\partial x^2} dx dy + s \frac{\partial^2 z}{\partial y^2} dx dy = 0$$

De donde:

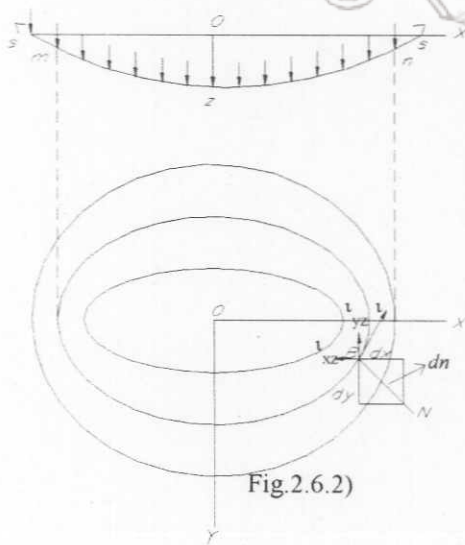
$$\frac{\partial^2 z}{\partial x^2} + \frac{\partial^2 z}{\partial y^2} = -\frac{q}{s} \quad (2.6.1)$$

La flecha de la membrana es cero en el contorno. Comparando la ecuación (2.6.1) y las condiciones de contorno para las flechas z de la membrana, con la ecuación (2.3.11) y la condición de contorno (2.3.13) para la función de tensión ϕ , se tiene que estos dos problemas son idénticos. Podemos entonces obtener de las flechas de la membrana los valores de ϕ sin más que sustituir la cantidad $-(q/s)$ de la ecuación (2.6.1) por la cantidad $F = -2 G \theta$ de la ecuación (2.3.11). Representando la superficie deformada de la membrana por curvas de nivel (fig.2.6.2) podemos obtener conclusiones importantes relativas a la distribución de esfuerzos en la torsión. Considerando un punto cualquiera B (fig.2.6.2) en la membrana, se observa que la flecha a lo largo de la curva de nivel que pasa por este punto es constante, por lo que: $\frac{\partial z}{\partial s} = 0$.

La correspondiente ecuación para la función de tensión ϕ es:

$$\frac{\partial \phi}{\partial s} = \left(\frac{\partial \phi}{\partial y} \frac{dy}{ds} + \frac{\partial \phi}{\partial x} \frac{dx}{ds} \right) = \tau_{xz} \frac{dy}{ds} + \tau_{yz} \frac{dx}{ds} = 0$$

Esta ecuación indica que la proyección de la resultante de la tensión tangencial en el punto B, sobre la normal N a la curva de nivel es cero y por lo tanto podemos concluir que la tensión tangencial en el punto B tiene la dirección de la tangente a la curva de nivel que pasa por ese punto. Si en la sección transversal de una barra sujeta a torsión se trazan curvas tales que la tensión tangencial resultante en cualquiera de sus puntos tenga la dirección de la tangente respectiva, dichas curvas serán llamadas líneas de tensión tangencial. Por lo tanto, las curvas de nivel de la membrana son las curvas de tensión tangencial de la sección transversal de la barra sometida a torsión.



la magnitud de la tensión resultante τ en B (fig.2.6.2) se obtiene proyectando sobre la tangente las componentes τ_{xz} y τ_{yz} . Por lo que:

$$\tau = \tau_{yz} \cos(N_x) - \tau_{xz} \cos(N_y)$$

Sustituyendo:

$$\tau_{xz} = \frac{\partial \phi}{\partial y}, \quad \tau_{yz} = -\frac{\partial \phi}{\partial x},$$

$$\cos(N_x) = \frac{dx}{dn}, \quad \cos(N_y) = \frac{dy}{dn}$$

Se obtiene:

$$\tau = - \left(\frac{\partial \phi}{\partial x} \frac{dx}{dn} + \frac{\partial \phi}{\partial y} \frac{dy}{dn} \right) = - \frac{d\phi}{dn}$$

Así, la magnitud de la tensión tangencial en B viene dada por la pendiente máxima de la membrana en ese punto. Basta simplemente con sustituir q/s por $2G\theta$ en la expresión de la pendiente. De este hecho, se deduce que los máximos esfuerzos tangenciales actúan en los puntos en los que las curvas de nivel están muy próximas unas a otras. La ecuación (2.3.16) nos permite establecer que el doble del volumen limitado por la membrana deformada y el plano xy (fig.2.6.2) representa el par de torsión siempre que q/s es sustituido por $2G\theta$.

2.7.- TORSIÓN DE BARRAS DE SECCIÓN RECTANGULAR ESTRECHA.

Ocupando la analogía con la membrana se encuentra una solución sencilla del problema de torsión de una barra de sección rectangular estrecha. Despreciando el efecto de los lados cortos del rectángulo y suponiendo que la membrana, ligeramente deformada, toma una forma cilíndrica (fig.2.7.1), podremos obtener la flecha de la membrana mediante la fórmula elemental de la parábola, que corresponde a la curva de equilibrio de un hilo uniformemente cargado (fig.2.7.1.b):

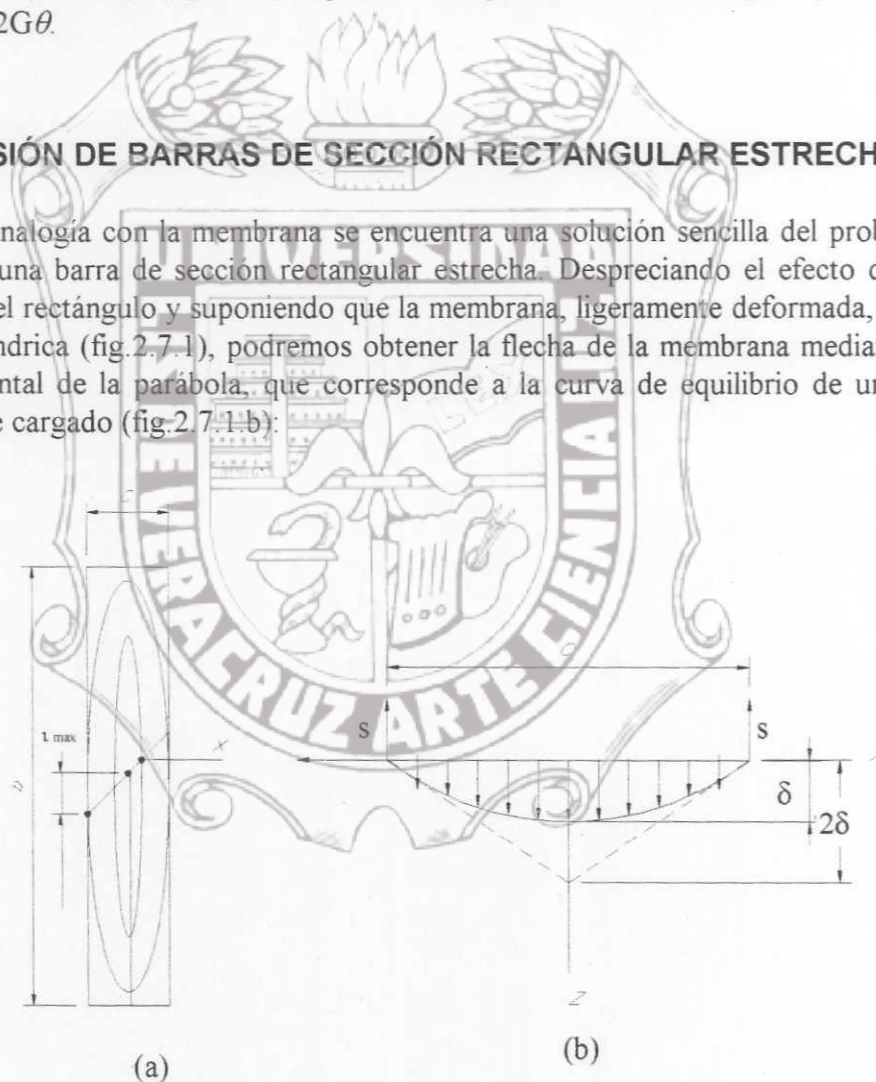


Fig.2.7.1)

$$\delta = \frac{qc^2}{8s} \quad (2.7.a)$$

De acuerdo a las propiedades de la parábola, la pendiente máxima, que se presenta en el punto medio de los lados largos del rectángulo, es:

$$\frac{4\delta}{c} = \frac{qc}{2S} \quad (2.7.b)$$

Calculando como cilindro parabólico el volumen limitado por la membrana deformada y el plano xy , tenemos:

$$V = \frac{2}{3} c \delta b = \frac{qbc^3}{12S} \quad (2.7.c)$$

Aplicando la analogía de la membrana y sustituyendo q/S por $2G\theta$ en (2.7.b) y (2.7.c) se obtiene:

$$\tau_{max} = cG\theta, \quad M_t = \frac{1}{3} bc^3 G \theta \quad (2.7.d)$$

$$\theta = \frac{M_t}{\frac{1}{3} bc^3 G} \quad (2.7.1) \quad \tau_{max} = \frac{M_t}{\frac{1}{3} bc^2} \quad (2.7.2)$$

La curva de deflexión parabólica (fig. 2.7.1.b), es:

$$Z = \frac{4\delta}{c^2} \left(\frac{c^2}{4} - x^2 \right)$$

y la pendiente de la membrana en cualquier punto es:

$$\frac{dz}{dx} = -\frac{8\delta x}{c^2} = -\frac{q}{S}x$$

en la barra sometida a torsión, el esfuerzo correspondiente es:

$$\tau_{yz} = 2G\theta x$$

2.8.- TORSIÓN DE BARRAS DE SECCIÓN RECTANGULAR.

Empleando nuevamente la analogía de la membrana, el problema para secciones rectangulares se reduce a la determinación de las flechas de una membrana rectangular, como la representada en la fig. 2.8.1). Estas flechas deben de satisfacer la ecuación (2.6.1) y ser cero en el contorno.

$$\frac{\partial^2 z}{\partial x^2} + \frac{\partial^2 z}{\partial y^2} = -\frac{q}{S} \quad (2.8.a)$$

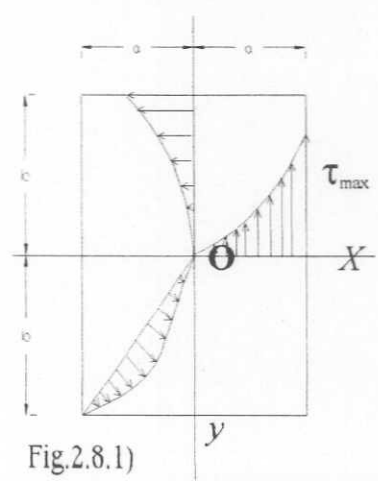


Fig.2.8.1)

La condición de la simetría con respecto al eje "y" y las condiciones de contorno en los lados $x = \pm a$ del rectángulo, quedan satisfechas si se expresa z de la forma de una serie,

$$z = \sum_{n=1,3,\dots}^{\infty} b_n \cos \frac{n\pi x}{2a} Y_n \quad (2.8.b)$$

donde b_1, b_3, \dots son coeficientes constantes e Y_1, Y_3, \dots son funciones de y solamente.

Sustituyendo (2.8.b) en la ecuación (2.8.a) y observando que el segundo miembro de esta ecuación puede ser desarrollado en serie:

$$-\frac{q}{S} = -\sum_{n=1,3,\dots}^{\infty} \frac{q}{S} \frac{4}{n\pi} (-1)^{\frac{n-1}{2}} \cos \frac{n\pi x}{2a} \quad (2.8.c)$$

Para la determinación de Y_n tenemos la siguiente ecuación:

$$Y_n'' - \frac{n^2\pi^2}{4a^2} Y_n = -\frac{q}{S} \frac{4}{n\pi b_n} (-1)^{\frac{n-1}{2}} \quad (2.8.d)$$

$$Y_n = A \operatorname{sen} \frac{n\pi y}{2a} + B \cosh \frac{n\pi y}{2a} + \frac{16qa^2}{S n^3 \pi^3 b_n} (-1)^{\frac{n-1}{2}} \quad (2.8.e)$$

La constante A , debe ser cero por la simetría de la superficie deformada de la membrana respecto al eje x . La constante B es determinada de la condición de que la flecha de la membrana sea nula para $y = \pm b$, es decir, $(Y_n)_y = \pm b = 0$ lo que da:

$$Y_n = \frac{16qa^2}{S n^3 \pi^3 b_n} (-1)^{\frac{n-1}{2}} \left[1 - \frac{\cosh(n\pi y / 2a)}{\cosh(n\pi b / 2a)} \right] \quad (2.8.f)$$

La expresión general, según (2.8.b), de la superficie deformada de la membrana será:

$$Z = \frac{16qa^2}{S\pi^3} \sum_{n=1,3,5,\dots}^{\infty} \frac{1}{n^3} (-1)^{\frac{n-1}{2}} \left[1 - \frac{\cosh(n\pi y / 2a)}{\cosh(n\pi b / 2a)} \right] \cos \frac{n\pi x}{2a}$$

La función de esfuerzo se obtiene sustituyendo q/S por $2G\theta$:

$$\phi = \frac{32G\theta a^2}{\pi^3} \sum_{n=1,3,5,\dots}^{\infty} \frac{1}{n^3} (-1)^{\frac{n-1}{2}} \left[1 - \frac{\cosh(n\pi y / 2a)}{\cosh(n\pi b / 2a)} \right] \cos \frac{n\pi x}{2a} \quad (2.8.g)$$

A partir de (2.3.9) se obtienen las componentes del esfuerzo:

$$\tau_{yz} = -\frac{\partial \phi}{\partial x} = \frac{16G\theta a}{\pi^2} \sum_{n=1,3,5,\dots}^{\infty} \frac{1}{n^2} (-1)^{\frac{n-1}{2}} \left[1 - \frac{\cosh(n\pi y / 2a)}{\cosh(n\pi b / 2a)} \right] \operatorname{sen} \frac{n\pi x}{2a} \quad (2.8.h)$$

El esfuerzo tangencial máximo suponiendo que $b > a$, correspondiente a la mayor pendiente de la membrana, se da en los puntos medios de los lados largos $x = \pm a$ del rectángulo.

Sustituyendo $x = a$, $y = 0$ en (2.8.h) obtenemos:

$$\tau_{\max} = \frac{16G\theta a}{\pi^2} \sum_{n=1,3,5,\dots}^{\infty} \frac{1}{n^2} \left[1 - \frac{1}{\cosh(n\pi b/2a)} \right]$$

ya que:

$$1 + \frac{1}{3^2} + \frac{1}{5^2} + \dots = \frac{\pi^2}{8}$$

tenemos:

$$\tau_{\max} = 2G\theta a - \frac{16G\theta a}{\pi^2} \sum_{n=1,3,5,\dots}^{\infty} \left[\frac{1}{n^2 \cosh(n\pi b/2a)} \right] \quad (2.8.1)$$

El τ_{\max} para cualquier valor particular de b/a , se calcula con suficiente exactitud, ya que la serie del segundo miembro converge con gran rapidez para b/a . En el caso de un rectángulo muy estrecho, por ejemplo b/a resulta muy grande, por lo cual podemos despreciar la sumatoria de (2.8.1). Tenemos entonces $\tau_{\max} = 2G\theta a$ lo que coincide con la primera de las ecuaciones (2.7.d) de la sección (2.7). Si la sección es cuadrada $a=b$ y de la ecuación (2.8.1):

$$\begin{aligned} \tau_{\max} &= 2G\theta a \left\{ 1 - \frac{8}{\pi^2} \left[\frac{1}{\cosh(\pi/2)} + \frac{1}{9 \cosh(3\pi/2)} + \dots \right] \right\} \\ \tau_{\max} &= 2G\theta a \left\{ 1 - \frac{8}{\pi^2} \left[\frac{1}{2.509} + \frac{1}{9(55.67)} + \dots \right] \right\} = 1.31G\theta a \end{aligned} \quad (2.8.2)$$

En general se tiene:

$$\tau_{\max} = k 2 G \theta a \quad (2.8.3)$$

En donde k es un factor numérico que depende de b/a . Diversos valores de este factor son dados en la tabla 2.8.1). El momento torsionante M_t se calculará ahora en función del ángulo específico de torsión θ . Usando para ello la ecuación (2.3.16) obtenemos:

$$\begin{aligned} M_t &= 2 \int_{-a-b}^{a+b} \int_0^b \phi dx dy = \frac{64G\theta a^2}{\pi^3} \int_{-a-b}^{a+b} \left\{ \sum_{n=1,3,5,\dots}^{\infty} \frac{1}{n^3} (-1)^{\frac{n-1}{2}} \left[1 - \frac{\cosh(n\pi y/2a)}{\cosh(n\pi b/2a)} \right] \cos \frac{n\pi x}{2a} \right\} dx dy = \\ &= \frac{32G\theta(2a)^3(2b)}{\pi^4} \sum_{n=1,3,5,\dots}^{\infty} \frac{1}{n^4} - \frac{64G\theta(2a)^4}{\pi^5} \sum_{n=1,3,5,\dots}^{\infty} \frac{1}{n^5} \tanh \frac{n\pi b}{2a} \end{aligned}$$

ya que:

$$\frac{1}{1} + \frac{1}{3^4} + \frac{1}{5^4} + \dots = \frac{\pi^4}{96}$$

$$\text{Tenemos: } M_t = \frac{1}{3} G \theta (2a)^3 (2b) \left(1 - \frac{192}{\pi^5} \frac{a}{b} \sum_{n=1,3,5,\dots}^{\infty} \frac{1}{n} \tanh \frac{n\pi b}{2a} \right) \quad (2.8.4)$$

M_t puede ser calculado fácilmente para cualquier valor de la relación a/b , ya que la serie en el segundo miembro converge rápidamente. En el caso de un rectángulo estrecho

tenemos que: $\tanh \frac{n\pi b}{2a} = 1$

$$\text{y } M_t = \frac{1}{3} G \theta (2a)^3 (2b) \left(1 - 0,630 \frac{a}{b} \right) \quad (2.8.5)$$

$$a=b \text{ en la sección cuadrada y (2.8.4) da } M_t = 0,1406 G \theta (2a)^4 \quad (2.8.6)$$

El momento M_t puede ser representado en general por la ecuación:

$$M_t = k_1 G \theta (2a)^3 (2b) \quad (2.8.7)$$

donde k_1 es un factor numérico cuyo valor depende de la relación b/a . Diversos valores de este factor son dados en la tabla 2.8.1). Sustituyendo el valor de θ dado por la ecuación (2.8.7) en la ecuación (2.8.3) obtenemos el esfuerzo tangencial máxima en función del momento de torsión:

$$\tau_{\max} = \frac{M_t}{k_2 (2a)^2 (2b)} \quad (2.8.8)$$

k_2 es un factor numérico cuyo valor viene indicado en la tabla siguiente:

b/a	k	k_1	k_2
1,0	0,675	0,1406	0,208
1,2	0,759	0,166	0,219
1,5	0,848	0,196	0,231
2,0	0,930	0,229	0,246
2,5	0,968	0,249	0,258
3	0,985	0,263	0,267
4	0,997	0,281	0,282
5	0,999	0,291	0,291
10	1,000	0,312	0,312
∞	1,000	0,333	0,333

Tabla 2.8.1)

2.9.- TORSIÓN DE PERFILES LAMINADOS.

El estudio de la torsión de secciones formadas por aceros laminados, como perfiles U, L, C e I, se tratará como un caso particular para barras de sección rectangular estrecha. Si la sección transversal es de espesor constante, como en la fig.2.9.1), el ángulo de torsión se obtiene con suficiente exactitud a partir de la ecuación (2.7.1), haciendo en ella b igual a la longitud desarrollada de la fibra media de la sección, es decir, $b=2a-c$. Para una sección en U (fig.2.9.1.b), se obtiene con cierta aproximación el ángulo de torsión considerando para las alas un espesor medio, descomponiendo la sección transversal en tres rectángulos y sustituyendo en la ecuación (2.7.1) bc^3 por $b_1 c_1^3 + 2b_2 c_2^3 c$, lo que significa que la rigidez torsional de la pieza es igual a la suma de las rigideces de los tres rectángulos. Se tiene entonces :

$$\theta = \frac{3M_t}{(b_1 c_1^3 + 2b_2 c_2^3)c} \quad (2.9.a)$$

El esfuerzo en los puntos del contorno, situados a distancia considerable de los vértices de la sección transversal, lo podemos calcular usando, la ecuación correspondiente a un rectángulo alargado y tomar:

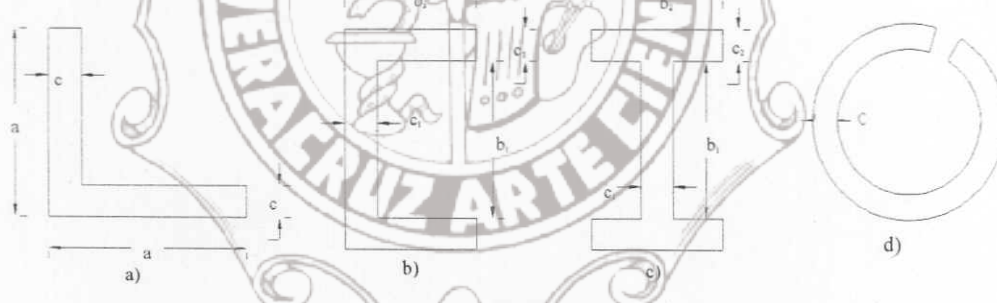


Fig.2.9.1)

De la ecuación (2.9.a) tendremos, para las alas de perfil :

$$\tau = \frac{3M_t c_2}{b_1 c_1^3 + 2b_2 c_2^3} \quad (2.9.b)$$

Estas ecuaciones pueden ser usadas para una viga de sección I (fig.2.9.1.c). En los ángulos entrantes se produce una considerable concentración de esfuerzos cuya magnitud depende del radio de las curvas de transición.

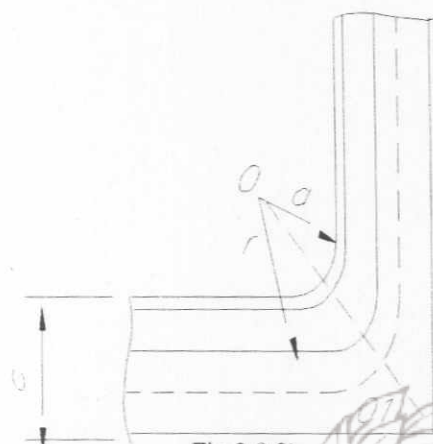


Fig. 2.9.2)

Para las tensiones existentes en tales puntos, un valor aproximado puede obtenerse mediante la analogía de la membrana. Consideremos una sección transversal angular, de espesor constante c (fig. 2.9.2) y sea a el radio en la transición que corresponde al ángulo entrante. Suponiendo que la superficie de la membrana en la bisectriz OO_1 , es aproximadamente una superficie de revolución de eje perpendicular al plano de la figura en O y empleando coordenadas polares, la ecuación (2.6.1) de la superficie deformada de la membrana se transforma en:

$$\frac{d^2 z}{dr^2} + \frac{1}{r} \frac{dz}{dr} = -\frac{q}{S} \quad (2.9.c)$$

La pendiente de la membrana nos da el esfuerzo tangencial al sustituir q/S por $2G\theta$ en la expresión (2.9.c), por lo que obtendremos la siguiente ecuación para el esfuerzo tangencial:

$$\frac{d\tau}{dr} + \frac{1}{r} \tau = -2G\theta \quad (2.9.d)$$

Para los puntos de las alas del ángulo, situados a considerable distancia de las esquinas, donde la membrana tiene una superficie aproximadamente cilíndrica, la ecuación correspondiente será:

$$\frac{d\tau}{dn} = -2G\theta \quad (2.9.e)$$

Donde “n” es la normal al contorno. Llamando τ_1 al esfuerzo en el borde, la ecuación (2.9.e) previamente obtenida para el caso de un rectángulo alargado $\tau_1 = G\theta c$. Usando ésta y empleando la ecuación (2.9.d) nos lleva a:

$$\frac{d\tau}{dr} + \frac{1}{r} \tau = -2 \frac{\tau_1}{c} \quad (2.9.d')$$

Integrando, tenemos:

$$\tau = \frac{A}{r} - \frac{\tau_1 r}{c} \quad (2.9.f)$$

Donde A es una constante de integración. Para la determinación de la misma, supongamos que el esfuerzo tangencial se anula en el punto O_1 , distante $c/2$ del contorno (fig. 2.9.2). Según (2.9.f) se tendrá

$$\frac{A}{a + (c/2)} - \frac{\tau_1 [a + (c/2)]}{c} = 0 \quad y \quad A = \frac{\tau_1}{c} \left(a + \frac{c}{2} \right)^2$$

Sustituyendo en (2.9.f) y tomando $r = a$ obtenemos: $\tau_{\max} = \tau_1 \left(1 + \frac{c}{4a} \right)$ (2.9.g)

CAPÍTULO III.

ELEMENTO FINITO.

3.1.- INTRODUCCIÓN.

El método de elemento finito es un procedimiento numérico para obtener solución a muchos de los problemas encontrados en el análisis ingenieril. Este tiene dos subdivisiones primarias. La número uno utiliza elementos discretos para obtener los desplazamientos en las articulaciones y las fuerzas en los miembros de un marco estructural. La segunda usa elementos continuos para obtener soluciones aproximadas como para trasferencia de calor, mecánica de fluidos y problemas de mecánica de sólidos. La formulación, usando elementos discretos, es referida como el análisis matricial de estructuras y producen resultados idénticos a los del análisis clásico de marcos estructurales. El segundo enfoque es el verdadero método de elemento finito. Este produce valores aproximados de los parámetros deseados en puntos específicos llamados nodos. Un programa general de computadora de elemento finito; es capaz de resolver ambos tipos de problemas y el nombre "método de elemento finito" es frecuentemente usado para denotar ambas formulaciones, con elementos discretos y con continuos. El método de elemento finito aplica conceptos matemáticos para producir un sistema de ecuaciones lineales o no lineales. El número de ecuaciones es usualmente muy grande y requiere el poder de cálculo de una computadora, el método tiene poco valor práctico sin una computadora. No es posible documentar el origen exacto del método de elemento finito ya que los conceptos básicos envuelven un periodo de 150 o más años. El método que nosotros conocemos hoy en día es el resultado de varios artículos publicados en los 40's y 50's que extiende el análisis matricial de estructuras para cuerpos continuos tales como los de Hrenikoff (1941), Courant(1943), Argyris y Kelsey (1960), y Turner, Clough, Martin, and Topp (1956). El término "Elemento finito" fue usado por primera vez por Clough (1960) en un artículo titulado "The finite element in plane stress analysis" en donde la técnica fue presentada para análisis plano de esfuerzos, implicando el uso directo de metodología estándar aplicable a sistemas discretos desde un punto de vista computacional. La exploración espacial de los 60's proporcionó recursos para investigaciones básicas las cuales colocaron al método en bases matemáticas firmes y estimuló el desarrollo de programas de computadora, implementando el método con múltiples propósitos. El diseño de aviones, misiles, cápsulas espaciales y similares proporcionó áreas de aplicación. Aunque el origen del método es vago, sus ventajas son claras. El método es fácilmente aplicable a objetos de forma irregular compuestos de diferentes materiales y teniendo condiciones de frontera variadas. Eso es aplicable para problemas dinámicos y estáticos, así como a problemas que envuelven materiales con propiedades no lineales. El método de elemento finito es la base de muchos programas de diseño asistidos por computadora. El incremento en el uso de diseño asistido por computadora hace imperativo el conocimiento de como el método de elemento finito trabaja.

3.2.- SOLUCIÓN DE PROBLEMAS DE VALORES DE FRONTERA.

Un camino para resolver cualquier problema físico gobernado por ecuaciones diferenciales es obtener su solución analítica, sin embargo, hay muchas situaciones, donde la solución analítica es difícil de obtener. La región en consideración puede ser irregular, esto es, que matemáticamente sea imposible de describir la frontera. La configuración puede estar compuesta de diferentes y diversos materiales, cuyas regiones sean matemáticamente difíciles de describir. Problemas que envuelven materiales anisotrópicos son usualmente difíciles de resolver analíticamente, así como problemas cuya relación esfuerzo-deformación o bien cuando se estudian grandes deformaciones contienen términos no lineales. Los métodos numéricos pueden ser usados para obtener una solución aproximada cuando la solución analítica no puede ser desarrollada. Todas las soluciones numéricas, producen puntos de valores discretos, para un juego de parámetros independientes. El procedimiento de solución completo es repetido cada vez que estos parámetros cambian. Las soluciones numéricas aproximadas son, por mucho, preferibles que la no solución analítica del problema. Los valores calculados nos dan información importante acerca de procesos físicos aun cuando ellos estén discretizados en puntos. Hay varios procedimientos para obtener una solución numérica para una ecuación diferencial, los métodos pueden ser separados dentro de 3 grupos básicos: (1) El método de las diferencias finitas, (2) El método variacional y (3) El método de residuos ponderados.

3.2.1.- MÉTODO DE LAS DIFERENCIAS FINITAS.

El método de diferencias finitas, aproxima las derivadas en la ecuación diferencial, usando la aproximación de diferencias finitas. Este método es útil, para resolver problemas de transferencia de calor, mecánica de fluidos, y trabaja bien para regiones bidimensionales con fronteras paralelas a ejes de coordenadas. El método, sin embargo es complicado cuando las regiones tienen fronteras curvas o irregulares y esto hace difícil el escribir programas generales para dicho método.

3.2.2.- MÉTODO VARIACIONAL.

La aproximación variacional envuelve la integral de una función que produce un número. Cada nueva función produce un nuevo número, la función que produce el número más pequeño tiene la propiedad adicional de satisfacer una ecuación diferencial específica. Por ejemplo:

$$\Pi = \int_0^L \left[\frac{D}{2} \left(\frac{dy}{dx} \right)^2 - Qy \right] dx \quad (3.2.1)$$

El valor numérico de Π puede ser calculado dada una ecuación específica $y=f(x)$. Los cálculos de variaciones muestran, sin embargo, que la ecuación particular $y=g(x)$, la cual produce el valor numérico más bajo para Π , es la solución de la ecuación diferencial.

$$D \frac{d^2y}{dx^2} + Q = 0 \quad (3.2.2)$$

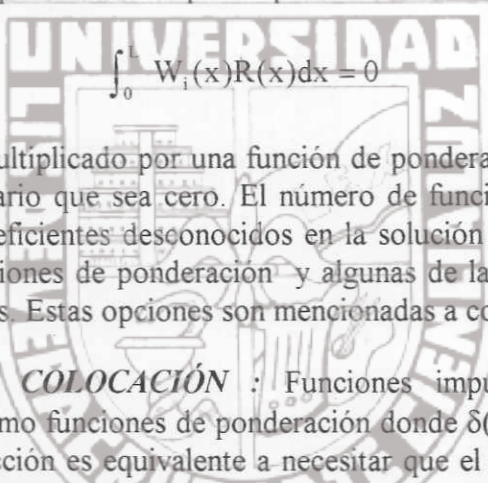
Con las condiciones de frontera $y(0) = y_0$ e $y(L) = y_L$. La función de prueba que da el mínimo valor de Π es la solución aproximada. El método variacional es la base para muchas formulaciones de elemento finito, pero tiene una gran desventaja, no es aplicable a ecuaciones diferenciales que contengan términos en primeras derivadas.

3.2.3.- MÉTODO DE RESIDUOS PONDERADOS.

El método de los residuos ponderados también envuelve una integral. En este método, una solución aproximada es sustituida dentro de la ecuación diferencial. Ya que la solución aproximada no satisface la ecuación, resulta un término residual o de error, suponiendo que $y=h(x)$ es una solución aproximada de (3.2.2) sustituyendo da:

$$D \frac{d^2 h(x)}{dx^2} + Q \neq 0 \quad (3.2.3)$$

a esta diferencia la llamaremos *residuo R(x)*, ya que $y=h(x)$ no satisface la ecuación. El método de residuos ponderados requiere que


$$\int_0^L W_i(x)R(x)dx = 0 \quad (3.2.4)$$

El residuo $R(x)$ es multiplicado por una función de ponderación $W_i(x)$, y la integral del producto es necesario que sea cero. El número de funciones de ponderación es igual al número de coeficientes desconocidos en la solución aproximada. Hay varias opciones para las funciones de ponderación y algunas de las más populares les han sido asignados nombres. Estas opciones son mencionadas a continuación.

MÉTODO DE COLOCACIÓN : Funciones impulso $W_i(x)=\delta(x-x_i)$ son seleccionadas como funciones de ponderación donde $\delta(x)$ es la función delta de Dirac. Esta selección es equivalente a necesitar que el residuo desaparezca en puntos específicos. El número de puntos seleccionados es igual al número de coeficientes indeterminados en la solución aproximada.

MÉTODO DE SUBDOMINIO: Cada función de ponderación es seleccionada como unitaria, $W_i(x)=1$, sobre una región específica. Esto es equivalente a necesitar que la integral del residuo desaparezca sobre un intervalo de la región. El número de intervalos de integración iguala el número de coeficientes indeterminados en la solución aproximada.

MÉTODO DE GALERKIN : El método de Galerkin usa la misma función para $W_i(x)$ que fue usada en la ecuación de aproximación es decir $W_i(x)=h(x)$. Este enfoque es la base del método de elemento finito para problemas que envuelven términos en primeras derivadas. El método de Galerkin es usado para desarrollar las ecuaciones de elemento finito para el problema discutido en este trabajo.

MÉTODO DE MÍNIMOS CUADRADOS : El método de mínimos cuadrados, utiliza el residuo como la función de peso o ponderación y obtiene un nuevo término de error definido por :

$$E_r = \int_0^L [R(x)^2] dx \quad (3.2.5)$$

Este error es minimizado con respecto al coeficiente desconocido en la solución aproximada. El método de los mínimos cuadrados ha sido utilizado para formulaciones de elemento finito, pero no es tan popular como el método de Galerkin y la aproximación variacional. *El método Variacional y el método de Residuos Ponderados cada uno envuelve una integral. Estos métodos pueden ser agrupados bajo el encabezado de formulaciones integrales.*

3.3.- FORMULACIONES POR ENERGÍA POTENCIAL .

La solución de problemas de mecánica de sólidos, los cuales incluyen la solución de problemas de elasticidad de dos y tres dimensiones, así como placas y estructuras de cascarones, pueden ser enfocados de varias formas. El enfoque clásico es la formulación de las ecuaciones diferenciales gobernantes y obtener la solución analítica. Esto no se puede hacer en muchos problemas debido a la dificultad en describir matemáticamente la geometría estructural o las condiciones de frontera. Una alternativa popular al enfoque clásico es un procedimiento numérico basado en el principio del mínimo de la energía potencial, el cual establece que: *Las ecuaciones de desplazamientos que satisfacen la compatibilidad interna, las condiciones de frontera y que también satisfacen las ecuaciones de equilibrio, hacen la energía potencial un mínimo en un sistema estable.* Es decir que los desplazamiento en la posición de equilibrio ocurren tal que la energía potencial de un sistema estable es un valor mínimo.

El principio anterior implica lo siguiente:

- 1.-Escribir las ecuaciones de desplazamiento para cada miembro.
- 2.-Incorporar las condiciones de frontera para que las ecuaciones de desplazamiento cumplan todas las condiciones de apoyo.
- 3.-Escribir una ecuación para la energía potencial interna del sistema estructural en términos de los desplazamientos desconocidos.
- 4.-Minimizar la energía potencial con respecto a los desplazamientos indeterminados dentro de las ecuaciones de desplazamiento.

El seguir los cuatro pasos anteriores nos lleva a un sistema de ecuaciones de equilibrio que se resuelven para los desplazamientos de los nudos. Una vez que los desplazamientos son conocidos las fuerzas internas y los momentos en cada miembro pueden ser calculadas.

3.4.- MÉTODO DE ELEMENTO FINITO .

El método de elemento finito es un procedimiento numérico para resolver problemas físicos gobernados por una ecuación diferencial o un teorema de energía. Este tiene dos características que lo distingue de otros procedimientos numéricos.

- 1.- El método utiliza una formulación integral, que genera un sistema de ecuaciones algebraicas.
- 2.- El método usa funciones continuas de discretización para aproximar la cantidad o cantidades desconocidas.

La segunda característica distingue al método de elemento finito de otros procesos numéricos que utilizan formulación integral. El método de elemento finito usa una función continua, pero una con sólo suficiente continuidad en las derivadas, para permitir que las integrales puedan ser evaluadas. Una ecuación compuesta de varios segmentos lineales puede ser usada como una ecuación de aproximación.

En el método de elemento finito pueden considerarse los siguientes cinco pasos básicos.

1. - *Discretizar la región.* Esto incluye localización y numeración de nudos, también como la especificación de sus valores de coordenadas.
2. - *Especificar la ecuación de aproximación.* El orden de la aproximación, lineal o cuadrática, debe de ser especificado y las ecuaciones deben ser escritas en términos de los valores nodales desconocidos. Una ecuación es escrita para cada elemento
3. - *Desarrollar el sistema de ecuaciones.* Cuando usamos el método de Galerkin, las funciones de ponderación para cada valor nodal desconocido es definido y la integral de residuo ponderado es evaluada. Esto genera una ecuación para cada valor nodal desconocido. En la formulación de energía potencial, la energía potencial del sistema es escrita en términos de los desplazamientos nodales y entonces es minimizada. Esto da una ecuación para cada uno de los desplazamientos.
4. - *Resolver el sistema de ecuaciones.*
5. - *Calcular las cantidades de interés.* Estas cantidades son usualmente relacionadas a la derivada de los parámetros.

3.5.- ELEMENTOS BIDIMENSIONALES.

Una ventaja primaria del método de elemento finito es el caso, el cual puede ser generalizado para resolver problemas bidimensionales compuestos de diferentes materiales y teniendo fronteras irregulares. La discusión de los problemas bidimensionales comienza considerando los elementos lineal triangular y bilineal rectangular, así como las funciones de interpolación y un sistema adecuado de coordenadas.

El elemento lineal triangular (fig. 3.5.1a) tiene lados rectos y nodos en cada esquina. La ecuación de interpolación para una cantidad escalar es:

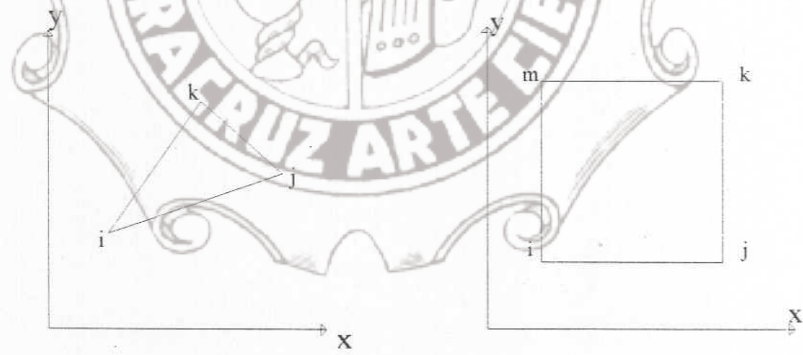
$$\phi = \alpha_1 + \alpha_2 x + \alpha_3 y \quad (3.5.1)$$

El cual es un polinomio lineal completo ya que éste contiene un término constante y todos los posibles términos lineales, normalmente, x e y . Como resultado, el elemento triangular puede tomar cualquier orientación y satisfacer los requerimientos de continuidad envolviendo elementos adyacentes.

El elemento rectangular bilineal (fig. 3.5.1b) tiene lados rectos y nodos en cada esquina. La ecuación de interpolación para una cantidad escalar es:

$$\phi = \alpha_1 + \alpha_2 x + \alpha_3 y + \alpha_4 xy \quad (3.5.2)$$

Esta ecuación contiene sólo uno de tres posibles términos de segundo orden, xy . El rectángulo no puede tener una orientación arbitraria ya que los términos x^2 y y^2 no están presentes. Los lados del rectángulo deben permanecer paralelos al sistema coordenado $x-y$.



(a)

(b)

Figura 3.5.1. El elemento triangular lineal y el elemento rectangular bilineal.

3.5.1.- ELEMENTO TRIANGULAR:

El elemento lineal triangular mostrado en la figura 3.5.2) tiene lados rectos y tres nodos, uno en cada esquina, una nomenclatura uniforme de los nudos es un requisito. Los valores nodales de ϕ son Φ_i , Φ_j y Φ_k , considerando las coordenadas (X_i, Y_i) , (X_j, Y_j) , y (X_k, Y_k) .

De lo anterior se tendrían las condiciones nodales:

$$\begin{aligned}\phi &= \Phi_i, & \text{en} & \quad x=X_i, y=Y_i \\ \phi &= \Phi_j, & \text{en} & \quad x=X_j, y=Y_j \\ \phi &= \Phi_k, & \text{en} & \quad x=X_k, y=Y_k\end{aligned}\quad (3.5.3)$$

y el polinomio de interpolación para el elemento triangular :

$$\phi = \alpha_1 + \alpha_2 x + \alpha_3 y \quad (3.5.4)$$

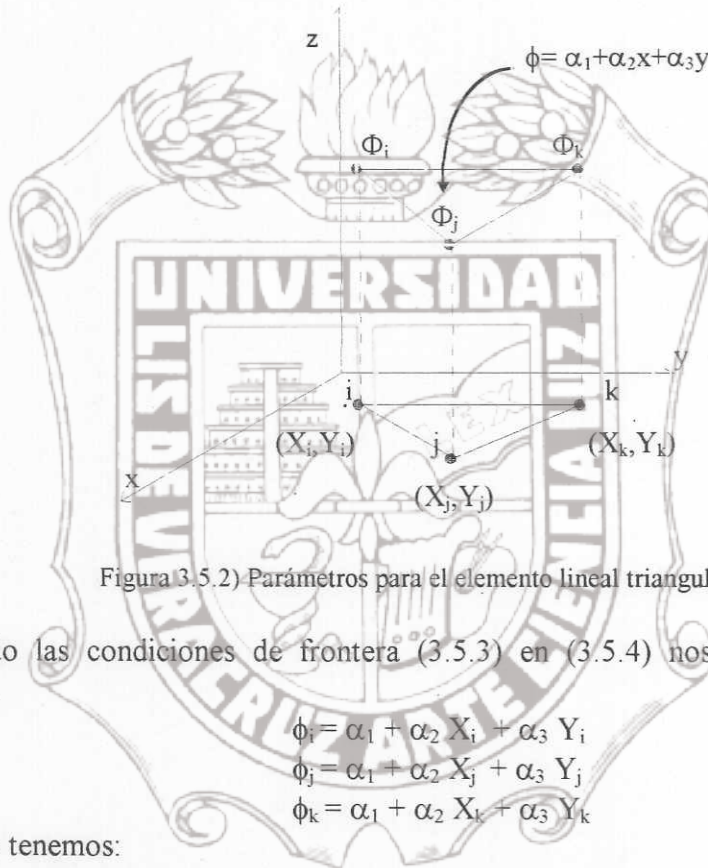


Figura 3.5.2) Parámetros para el elemento lineal triangular.

Sustituyendo las condiciones de frontera (3.5.3) en (3.5.4) nos lleva al sistema de ecuaciones.

$$\begin{aligned}\Phi_i &= \alpha_1 + \alpha_2 X_i + \alpha_3 Y_i \\ \Phi_j &= \alpha_1 + \alpha_2 X_j + \alpha_3 Y_j \\ \Phi_k &= \alpha_1 + \alpha_2 X_k + \alpha_3 Y_k\end{aligned}\quad (3.5.5)$$

resolviendo tenemos:

$$\begin{aligned}\alpha_1 &= \frac{1}{2A} \left[(X_j Y_k - X_k Y_j) \Phi_i + (X_k Y_i - X_i Y_k) \Phi_j + (X_i Y_j - X_j Y_i) \Phi_k \right] \\ \alpha_2 &= \frac{1}{2A} \left[(Y_j - Y_k) \Phi_i + (Y_k - Y_i) \Phi_j + (Y_i - Y_j) \Phi_k \right] \\ \alpha_3 &= \frac{1}{2A} \left[(X_k - X_j) \Phi_i + (X_i - X_k) \Phi_j + (X_j - X_i) \Phi_k \right]\end{aligned}$$

donde el determinante :

$$\begin{vmatrix} 1 & X_i & Y_i \\ 1 & X_j & Y_j \\ 1 & X_k & Y_k \end{vmatrix} = 2A \quad (3.5.6)$$

siendo A el área del triángulo .

Sustituyendo para α_1 , α_2 y α_3 en (3.5.4) y rearreglando, produce una ecuación para ϕ en términos de las tres funciones de interpolación y Φ_i , Φ_j , Φ_k que es:

$$\phi = N_i \Phi_i + N_j \Phi_j + N_k \Phi_k. \quad (3.5.7)$$

Donde: $N_i = \frac{1}{2A} [a_i + b_i x + c_i y] \quad (3.5.8)$

$$N_j = \frac{1}{2A} [a_j + b_j x + c_j y] \quad (3.5.9)$$

$$N_k = \frac{1}{2A} [a_k + b_k x + c_k y] \quad (3.5.10)$$

y

$$a_i = X_j Y_k - X_k Y_j, \quad b_i = Y_j + Y_k \quad y \quad c_i = X_k - X_j$$

$$a_j = X_k Y_i - X_i Y_k, \quad b_j = Y_k - Y_i \quad y \quad c_j = X_i - X_k$$

$$a_k = X_i Y_j - X_j Y_i, \quad b_k = Y_i - Y_j \quad y \quad c_k = X_j - X_i$$

La cantidad escalar ϕ se relaciona a los valores nodales por un grupo de funciones de interpolación que son lineales en x e y , esto significa que los gradientes $\frac{\partial \phi}{\partial x}$ y $\frac{\partial \phi}{\partial y}$ son constantes dentro del elemento, por ejemplo:

$$\frac{\partial \phi}{\partial x} = \frac{\partial N_i}{\partial x} \Phi_i + \frac{\partial N_j}{\partial x} \Phi_j + \frac{\partial N_k}{\partial x} \Phi_k \quad (3.5.11)$$

pero:

$$\frac{\partial N_\beta}{\partial x} = \frac{b_\beta}{2A} \quad \beta = i, j, k.$$

por lo tanto:

$$\frac{\partial \phi}{\partial x} = \frac{1}{2A} [b_i \Phi_i + b_j \Phi_j + b_k \Phi_k] \quad (3.5.12)$$

Ya que b_i , b_j , y b_k son constantes (éstos son fijados una vez que las coordenadas nodales son especificadas) y Φ_i , Φ_j y Φ_k son independientes de las coordenadas espaciales, las derivadas tienen un valor constante. Un gradiente constante dentro de cualquier elemento significa que muchos pequeños elementos tienen que ser usados para aproximar precisamente un cambio rápido.

3.5.2.- ELEMENTO RECTANGULAR :

El elemento bilineal rectangular tiene una longitud de $2b$ y una altura de $2a$. Los nodos son etiquetados i, j, k y m con el nodo i siempre en la esquina inferior izquierda. El elemento y el sistema de coordenadas son mostrados en la figura 3.5.3).

Las ecuaciones de interpolación (3.5.2) son escritas en términos de coordenadas locales s y t , hay al menos tres opciones con:

$$\phi = \alpha_1 + \alpha_2 s + \alpha_3 t + \alpha_4 st \quad (3.5.13)$$

Siendo ésta la más útil, las otras elecciones reemplazarán el término st por s^2 o t^2 . La ecuación (3.5.13) es usada ya que ϕ es lineal en s a lo largo de cualquier línea de constante t y lineal en t a lo largo de cualquier línea de constante s , por estas propiedades, el elemento es frecuentemente llamado bilineal. La ecuación (3.5.13) es escrita relativa a un sistema de coordenadas locales, cuyo origen es en el nodo i ya que la función de forma es fácilmente evaluada en este marco de referencia. Otro popular sistema de coordenadas es el qr , el cual tiene su origen localizado en el centro del elemento (fig. 3.5.3). Los coeficientes $\alpha_1, \alpha_2, \alpha_3$, y α_4 en (3.5.13) son obtenidos usando los valores nodales de ϕ y las coordenadas nodales (en el sistema st) para generar cuatro ecuaciones.

Estas ecuaciones son:

$$\begin{aligned}\Phi_i &= \alpha_1 \\ \Phi_j &= \alpha_1 + (2b) \alpha_2 \\ \Phi_k &= \alpha_1 + (2b) \alpha_2 + (2a) \alpha_3 + (4ab) \alpha_4 \\ \Phi_m &= \alpha_1 + (2a) \alpha_3\end{aligned} \quad (3.5.14)$$



Figura 3.5.3)

$$N_j = \frac{s}{2b} \left(1 - \frac{t}{2a}\right), \quad N_k = \frac{st}{4ab}, \quad N_m = \frac{t}{2a} \left(1 - \frac{s}{2b}\right) \quad (3.5.17)$$

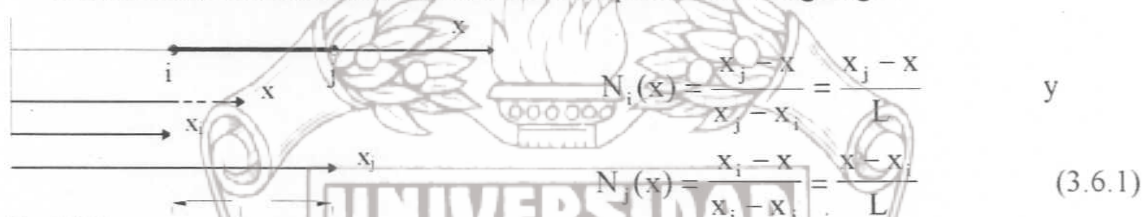
Las funciones de interpolación para el elemento rectangular bilineal tienen propiedades similares a las que posee el elemento triangular, cada función de interpolación varía linealmente a lo largo de los bordes entre su nodo y los dos nodos adyacentes, por ejemplo, N_i varía linealmente a lo largo de los lados ij y mi, cada función de interpolación es también cero a lo largo de los lados donde su nodo no toca, por ejemplo, N_i es cero a lo largo de los lados jk y km. La variación lineal de ϕ a lo largo de un borde del elemento rectangular y un borde del elemento triangular significa que estos dos elementos son compatibles y pueden ser adyacentes uno con otro.

3.6.- DIFERENTES SISTEMAS DE COORDENADAS .

Todas las soluciones de elemento finito requieren la evaluación de integrales, algunas de estas son fácilmente evaluadas mientras que otras son muy difíciles y muchas son imposibles de evaluar analíticamente, por lo que se requiere emplear técnicas numéricas. Las dificultades asociadas con la evaluación de una integral puede frecuentemente ser disminuida cambiando las variables de integración, esto nos lleva a escribir la integral en un nuevo sistema de coordenadas.

3.6.1.- SISTEMAS DE COORDENADAS LOCALES :

Considerando las funciones lineales de interpolación de Lagrange :



$$N_i(x) = \frac{x_j - x}{x_j - x_i} = \frac{x_j - x}{L} \quad (3.6.1)$$

$$N_j(x) = \frac{x_i - x}{x_j - x_i} = \frac{x - x_i}{L}$$

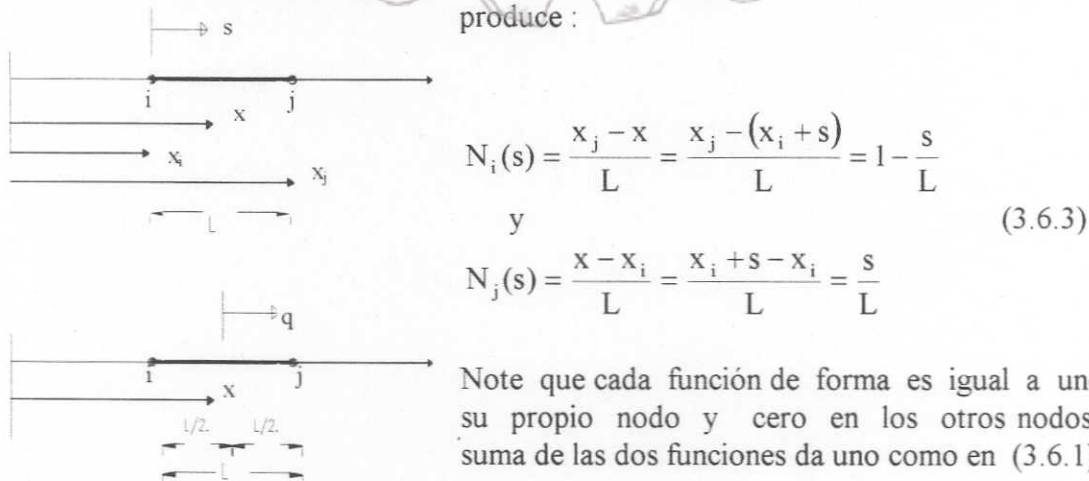
Fig.3.6.1)

que son para elementos en los cuales el origen del sistema de coordenadas está a la izquierda del nodo i (fig.3.6.1), estas son ecuaciones generales válidas para todos los elementos lineales sin importar su localización. La desventaja de estas funciones de interpolación, mostradas arriba, es cuando evaluamos las integrales envolviendo productos de funciones de interpolación tales como :

$$\int_{x_i}^{x_j} N_i(x) N_j(x) dx \quad \text{o} \quad \int_{x_i}^{x_j} N_i^2(x) dx \quad (3.6.2)$$

La integración en (3.6.2) se simplifica considerablemente si seleccionamos un sistema de coordenadas adecuado, un sistema es el llamado sistema de coordenadas locales, los sistemas de coordenadas locales más comunes para elementos unidimensionales tienen el origen localizado en el nudo i o en el centro del elemento (fig.3.6.2).

La función de interpolación para un sistema de coordenadas localizado en el nudo i es obtenido de (3.6.1) reemplazando x por $x = x_i + s$, donde $0 < s < L$. Esta sustitución produce :



$$N_i(s) = \frac{x_j - x}{L} = \frac{x_j - (x_i + s)}{L} = 1 - \frac{s}{L} \quad (3.6.3)$$

$$N_j(s) = \frac{x - x_i}{L} = \frac{x_i + s - x_i}{L} = \frac{s}{L}$$

Note que cada función de forma es igual a uno en su propio nodo y cero en los otros nodos y la suma de las dos funciones da uno como en (3.6.1).

fig.3.6.2) Sistema local de coordenadas para elementos unidimensionales.

Las funciones de interpolación para un sistema coordenado localizado en el centro del elemento es obtenida de (3.6.1) reemplazando x por $x = x_i + (L/2) + q$, esta función de interpolación es : $N_j(q) = \left(\frac{1}{2} + \frac{q}{L}\right)$ y $N_i(q) = \left(\frac{1}{2} - \frac{q}{L}\right)$ (3.6.4)

donde $-L/2 < q < L/2$.

3.6.2.- SISTEMA DE COORDENADAS NATURALES:



Fig.3.6.3. Sistema de coordenadas naturales para elementos unidimensionales.

El sistema de coordenadas locales s y q puede ser convertido a un sistema de coordenadas naturales. Un sistema de coordenadas naturales es un sistema local que permite la especificación de un punto dentro del elemento para un número adimensional, cuya magnitud absoluta nunca excede la unidad. Comienza con la coordenada q en la fig.3.6.2) y forma la relación $q/(L/2)=2q/L=\xi$. La coordenada ξ varía de -1 a $+1$, fig.3.6.3a). La función de interpolación en (3.6.4) puede ser escrita en términos de ξ reemplazando q por $q=\xi L/2$. La nueva función de interpolación es :

$$N_i(\xi) = (1-\xi)/2 \quad y \quad N_j(\xi) = (1+\xi)/2 \quad (3.6.5)$$

Otro interesante sistema de coordenadas naturales consiste en un par de longitudes de relaciones, fig.3.6.3b), si s es la distancia desde el nodo i , entonces ℓ_1 y ℓ_2 son definidos como las relaciones

$$\ell_1 = \frac{L-s}{L} \quad y \quad \ell_2 = \frac{s}{L} \quad (3.6.6)$$

Este par de coordenadas no son independientes ya que: $\ell_1 + \ell_2 = 1$ (3.6.7)
La más importante característica de (3.6.6) y (3.6.7) es que ℓ_1 y ℓ_2 son idénticas a las funciones de interpolación definidas por (3.6.3).

COORDENADAS DE ÁREA.

Un sistema natural de coordenadas para el elemento triangular es obtenido definiendo tres relaciones de longitud L_1 , L_2 y L_3 mostrados en la fig.3.6.4a). Cada coordenada es la relación de la distancia perpendicular desde un lado s , a la altura h , del mismo lado, esto es ilustrado en la fig.3.6.4b). Cada coordenada es una longitud que varía entre cero y uno. Las líneas de constante L_1 son mostradas en la fig.3.6.4c). Cada una de estas líneas es paralela al lado del cual L_1 es medido.

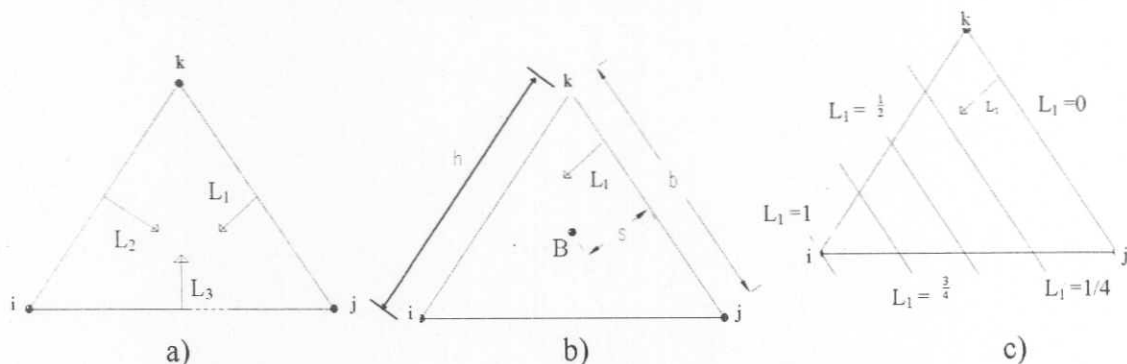


Fig.3.6.4. Tres áreas coordenadas para un elemento triangular.

Las coordenadas L_1 , L_2 , y L_3 son llamadas coordenadas de área ya que sus valores son la relación del área de una región subtriangular y el área del triángulo completo.

Considere un punto B como se muestra en la fig.3.6.5). El área completa del triángulo está dada por

$$A = \frac{bh}{2}$$

Considerando el área del triángulo sombreado (B, j, k) es:

$$A_1 = \frac{bs}{2} \quad (3.6.8)$$

Formando la relación A_1/A resulta:

$$\frac{A_1}{A} = \frac{s}{h} = L_1 \quad (3.6.9)$$

Figura 3.6.5. Un triángulo dividido en las áreas correspondiendo a las coordenadas de área

La coordenada de área L_1 es la relación del área sombreada en la fig.3.6.5) al total del área. Ecuaciones similares pueden ser escritas para L_2 y L_3 resultando:

$$L_2 = \frac{A_2}{A} \quad (3.6.10)$$

$$L_3 = \frac{A_3}{A} \quad (3.6.11)$$

ya que

$$A_1 + A_2 + A_3 = A, \quad , \quad L_1 + L_2 + L_3 = 1 \quad (3.6.12)$$

Una ecuación relacionando las tres coordenadas era de esperarse, ya que las coordenadas no son independientes. La localización de un punto, puede ser especificado usando dos de las coordenadas. Podemos determinar el área A_1 mediante un determinante de tercer orden:

$$A_1 = \frac{1}{2} \begin{vmatrix} 1 & x & y \\ 1 & X_j & Y_j \\ 1 & X_k & Y_k \end{vmatrix}$$

$$A_i = \frac{1}{2} [(X_j Y_k - X_k Y_j) + (Y_j - Y_k)x + (X_k - X_j)y] \quad (3.6.13)$$

Donde "x" y "y" son las coordenadas de B en la fig.3.6.5), sustituyendo (3.6.13) en (3.6.9) resulta

$$L_1 = \frac{1}{2A} [(X_j Y_k - X_k Y_j) + (Y_j - Y_k)x + (X_k - X_j)y] = N_i \quad (3.6.14)$$

La ecuación (3.6.14) es idéntica a (3.5.8) ; así

$$L_1 = N_i \quad (3.6.15)$$

Un análisis similar para L_2 y L_3 muestra que

$$L_2 = N_j \quad y \quad L_3 = N_k \quad (3.6.16)$$

Las coordenadas de área para elementos lineales triangulares son idénticas a las funciones de interpolación y los dos juegos de cantidades pueden ser intercambiadas. De la misma manera se pueden definir las coordenadas de volumen para un tetraedro sin que entremos en su obtención.

3.6.3.- INTEGRACIÓN EN DIFERENTES SISTEMAS DE COORDENADAS.

Las funciones de interpolación (3.6.3), (3.6.4), (3.6.5), (3.6.6), (3.6.15) y (3.6.16) son útiles sólo si se realiza un cambio en las variables de integración. La fórmula para el cambio de variable para el cálculo integral es:

$$\int_a^b f(x)dx = \int_{p_1}^{p_2} f(g(p)) \frac{d(g(p))}{dp} dp \quad (3.6.17)$$

Donde p es la nueva variable coordinada y $g(p)$ es la ecuación relacionando x y p , que es, $x = g(p)$. La interpretación de (3.6.17) relativa a los sistemas coordinados en la fig.3.6.2) es la siguiente. Para la coordenada s , donde $x = x_i + s$

$$\int_{x_i}^{x_j} f(x)dx = \int_{s_1}^{s_2} h(s) \frac{d(X_i + s)}{ds} ds = \int_0^L h(s)ds \quad (3.6.18)$$

Donde $h(s)$ es $f(x)$ escrita en términos de s . Los límites de integración fueron obtenidos sustituyendo x_i y x_j por x en $x = x_i + s$ y resolviendo para s .

Para la coordenada q , donde $x = x_i + L/2 + q$.

$$\int_{x_i}^{x_j} f(x)dx = \int_{q_1}^{q_2} r(q) \frac{d(X_i + L/2 + q)}{dq} dq = \int_{-L/2}^{L/2} r(q)dq \quad (3.6.19)$$

Donde $r(q)$ es $f(x)$ escrita en términos de q .

En coordenadas naturales el cambio de variables en la integral produce:

$$\int_{-L/2}^{L/2} r(q)dq = \int_{\xi_1}^{\xi_2} g(\xi) \frac{d(\xi L/2)}{d\xi} d\xi = \frac{L}{2} \int_{-1}^1 g(\xi)d\xi \quad (3.6.20)$$

Donde $g(\xi)$ es $r(q)$ escrita en términos de ξ .

La ventaja de la variable coordenada ξ son el -1 y +1 como límites de integración. La mayoría de los programas de computadora usan técnicas de integración numérica para evaluar los elemento matriciales. Un método de integración numérica usado en programas de elemento finito es el método Gauss-Legendre, el cual tiene los puntos de muestreo y coeficientes de ponderación definidos en el intervalo de -1, +1, la utilidad de estas coordenadas está asociada con la evaluación de las integrales del tipo de:

$$\int_0^L N_i^a(s)N_j^b(s)ds \quad (3.6.21)$$

Las cuales envuelven el producto de funciones de interpolación. Las coordenadas de relación de longitud resultan en una fórmula simple para evaluar una integral similar a (3.6.21). La regla de cambio de variable y las relaciones $N_i(s) = \ell_1$, $N_j(s) = \ell_2$, $s = L\ell_2$, y $ds/d\ell_2 = L$ nos dan:

$$\int_0^L N_i^a(s)N_j^b(s)ds = \int_0^1 \ell_1^a \ell_2^b L d\ell_2 \quad (3.6.22)$$

La integral en el lado derecho de (3.6.22) puede ser escrita usando (3.6.7) como:

$$L \int_0^1 (1 - \ell_2)^a \ell_2^b d\ell_2 \quad (3.6.23)$$

La integral (3.6.23) nos recuerda a la función beta $\beta(z, w)$, la cual esta definida como:

$$\beta(z, w) = \int_0^1 t^{z-1} (1-t)^{w-1} dt = \frac{\Gamma(z)\Gamma(w)}{\Gamma(z+w)} \quad (3.6.24)$$

Donde $\Gamma(n+1) = n!$, es la función gama o factorial generalizada.

Así

$$L \int_0^1 \ell_1^a \ell_2^b d\ell_1 = \frac{\Gamma(a+1)\Gamma(b+1)}{\Gamma(a+b+1+1)} = L \frac{a! b!}{(a+b+1)!} \quad (3.6.25)$$

La ecuación (3.6.25) es útil ya que en estados donde resulta una integral complicada, puede ser evaluada usando una ecuación la cual envuelve sólo longitud del elemento. Veamos ahora el efecto de estas simplificaciones utilizando la transformación de coordenadas. La utilidad de (3.6.18) y (3.6.19) viene a ser importante cuando son evaluadas integrales tales como:

$$\int_{x_i}^{x_j} N_i^2(x)dx$$

Usando la variable coordenada s , nosotros obtenemos:

$$\int_{x_i}^{x_j} N_i^2(x)dx = \int_0^L N_i^2(s)ds = \int_0^L \left(1 - \frac{s}{L}\right)^2 ds = \frac{L}{3}$$

Usando la coordenada q , nosotros obtenemos:

$$\int_{x_i}^{x_j} N_i^2(x)dx = \int_{-L/2}^{L/2} N_i^2(q)dq = \int_{-L/2}^{L/2} \left(\frac{1}{2} - \frac{q}{L}\right)^2 dq = \frac{L}{3}$$

La evaluación de un par de integrales ilustra la utilidad de (3.6.25). Comenzando con :

$$\int_{x_i}^{x_j} N_i^2(x)dx = \int_0^L N_i^2(s)ds$$

nos da :

$$\int_0^L N_i^2(s)ds = L \int_0^1 \ell_1^2 \ell_2^0 d\ell_2 = L \frac{2!0!}{(2+0+1)!} = \frac{L}{3}$$

otro ejemplo es :

$$\int_0^L N_i^3(s)N_j^1(s)ds = L \int_0^1 \ell_1^3 \ell_2^1 d\ell_2 = L \frac{3!1!}{(3+1+1)!} = \frac{L}{20}$$

Los sistemas de coordenadas, funciones de interpolación y límites de integración para los elementos unidimensionales son sumarizados en la tabla (3.6.1).

Tipo de sistema	Variable de coordenada	Funciones de Interpolación	Límites de integración
Global	x	$N_i = \frac{x_j - x}{L}$	x_i, x_j
Local	s	$N_i = 1 - \frac{s}{L}$	$0, L$
Local	q	$N_i = \left(\frac{1}{2} - \frac{q}{L}\right)$	$-\frac{L}{2}, \frac{L}{2}$
Natural	ξ	$N_i = \frac{1}{2}(1 - \xi)$	$-1, 1$
Natural	ℓ_2	$N_i = \ell_1$	$0, 1$

Tabla 3.6.1) Sistemas de coordenadas y límites de integración para los elementos unidimensionales.

Las ventajas de usar el sistemas de coordenadas de área es la existencia de una ecuación de integración que simplifica la evaluación de integrales de área, esta ecuación integral es relacionada a (3.6.25) y es :

$$\int_A L_1^a L_2^b L_3^c dA = \frac{a! b! c!}{(a+b+c+2)!} 2A \quad (3.6.26)$$

El uso de (3.6.26) puede ser ilustrado para la evaluación del producto de la función de interpolación

$$\int_A N_i(x,y) N_j(x,y) dA \quad (3.6.27)$$

sobre el área del triángulo, el área es :

$$\int_A N_i N_j dA = \int_A L_1^1 L_2^1 L_3^0 dA = \frac{1!1!0!}{(1+1+0+2)!} 2A = \frac{2A}{4!} = \frac{A}{12}$$

Las coordenadas de área L_1 y L_2 pueden ser sustituidas por N_i y N_j , respectivamente, ya que N_k no está en el producto, L_3 es incluida por el factorial cero, cero factorial es definido como uno.

La incorporación de condiciones de frontera o superficies de carga dentro de un análisis de elemento finito requiere la evaluación de una integral a lo largo de los bordes de un elemento. Esta integral es fácil de evaluar una vez que se sabe como se comportan en los bordes las coordenadas de área.

Considere un punto B en el lado ij (fig. 3.6.6), la coordenada L_3 es cero y L_1 es la relación del área sombreada por el área total. Definidas las coordenadas variables s , las cuales son paralelas al lado ij y medidas desde el nodo i. Si el punto de coordenada B es s , y la longitud del lado es b , entonces:

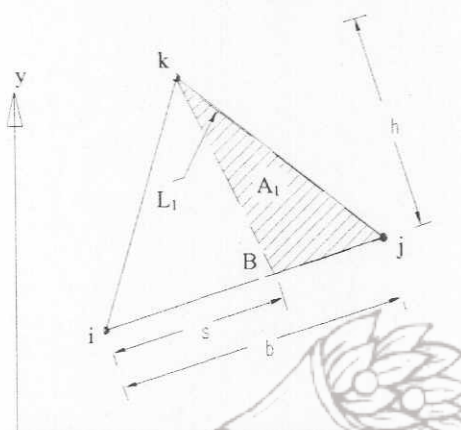


Figura 3.6.6) Las coordenadas de área para un punto en la frontera de un triángulo.

$$L_1 = \frac{2A_1}{2A} = \frac{2}{2bh} = \frac{b-s}{b} = 1 - \frac{s}{b} \quad (3.6.28)$$

el área coordenada L_2 es :

$$L_2 = \frac{s}{b} \quad (3.6.29)$$

El área coordenada L_1 y L_2 reduce las funciones de forma unidimensionales $N_i(s)$ y $N_j(s)$ definidas por (3.6.3). Usando las coordenadas naturales unidimensionales ℓ_1 y ℓ_2 , definidas por (3.6.6), las coordenadas de área resultan :

$$L_1 = \ell_1 \quad y \quad L_2 = \ell_2 \quad \text{lado } i \rightarrow j \quad (3.6.30)$$

las relaciones para los otros dos lados son :

$$L_2 = \ell_1 \quad y \quad L_3 = \ell_2 \quad \text{lado } j \rightarrow k \quad (3.6.31)$$

$$L_3 = \ell_1 \quad y \quad L_1 = \ell_2 \quad \text{lado } k \rightarrow i \quad (3.6.32)$$

La importancia de las relaciones (3.6.30), (3.6.31) y (3.6.32) es que cualquier integral en la frontera de un elemento triangular puede ser reemplazada por una integral lineal escrita en términos de s o ℓ_2 , tal que :

$$\int_{\Gamma} f(L_1, L_2, L_3) d\Gamma = \int_0^L g(s) ds = L \int_0^1 h(\ell_2) d\ell_2 \quad (3.6.33)$$

y evaluada usando la fórmula (3.6.25). La frontera de un elemento bidimensional es denotado por Γ .

Las ecuaciones de transformación entre los sistemas qr y st para el elemento rectangular son :

$$s=b+q \quad y \quad t=a+r$$

Sustituyendo las ecuaciones anteriores en (3.5.17) tenemos las funciones de interpolación en términos de q y r para el elemento rectangular.

$$N_i = \frac{1}{4} \left(1 - \frac{q}{b}\right) \left(1 - \frac{r}{a}\right), \quad N_j = \frac{1}{4} \left(1 + \frac{q}{b}\right) \left(1 - \frac{r}{a}\right) \quad (3.6.35)$$

$$N_k = \frac{1}{4} \left(1 + \frac{q}{b}\right) \left(1 + \frac{r}{a}\right), \quad N_m = \frac{1}{4} \left(1 - \frac{q}{b}\right) \left(1 + \frac{r}{a}\right)$$

Las funciones de interpolación definidas anteriormente son útiles ya que estas conducen a un sistema de coordenadas naturales que permiten convertir al rectángulo en un cuadrilátero general. El sistema de coordenadas naturales tiene las mismas ventajas observadas en el elemento triangular y la primordial es que es más conveniente para ambas integraciones analíticas y numéricas. El sistema de coordenadas naturales para los elementos rectangulares es mostrado en la fig.3.6.7) éste es localizado en el centro del elemento y las coordenadas son las relaciones de longitudes:

$$\xi = \frac{q}{b} \quad y \quad \eta = \frac{r}{a} \quad (3.6.34)$$

donde q y r son las coordenadas locales. Las funciones de forma (3.6.35) son fácilmente convertidas al sistema de coordenadas naturales. El resultado es :

$$N_i = \frac{1}{4} (1 - \xi)(1 - \eta), \quad N_j = \frac{1}{4} (1 + \xi)(1 - \eta) \quad (3.6.35')$$

$$N_k = \frac{1}{4} (1 + \xi)(1 + \eta), \quad N_m = \frac{1}{4} (1 - \xi)(1 + \eta)$$

Es claro que el rango de ξ y η máximo y mínimo es uno, esto es:

$$-1 \leq \xi \leq 1 \quad y \quad -1 \leq \eta \leq 1$$

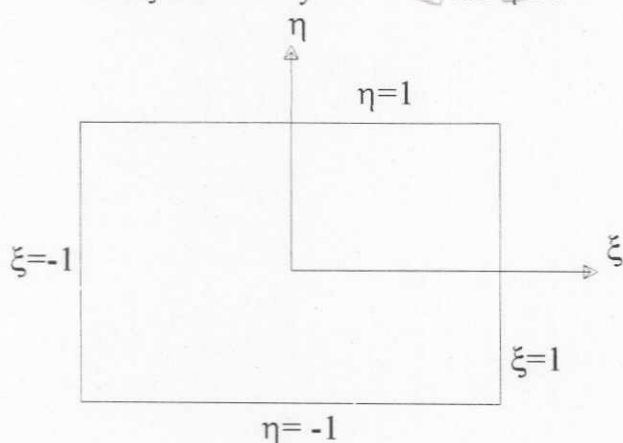


Figura 3.6.7) Un sistema natural de coordenadas para el elemento rectangular.

3.7.- ECUACIÓN CONTINUA DE INTERPOLACIÓN O APROXIMACIÓN.

Las ecuaciones de elemento para ϕ definidas por (3.5.7) o (3.5.16) pueden ser usadas para cualquier elemento triangular o rectangular especificando los valores numéricos de i, j y k o i, j, k y m . Cualquier nudo de un elemento puede ser nudo i . Utilizando un asterisco para distinguir éste de los otros nudos. El nodo i del elemento rectangular está siempre en el origen del sistema de coordenadas st .

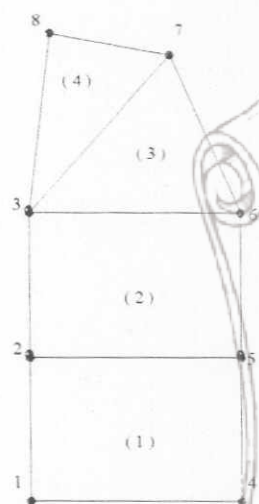


Figura 3.7.1) Una malla de cuatro elementos con sus nodos numerados.

Los datos nodales del elemento para la malla de cuatro elementos de la fig. 3.7.1 es :

e	i	j	k	m
1	1	4	5	2
2	2	5	6	3
3	3	6	7	
4	8	3	7	

La ecuación de interpolación para el elemento uno es :

$$\phi^{(1)} = N_1^{(1)} \Phi_1 + N_4^{(1)} \Phi_4 + N_5^{(1)} \Phi_5 + N_2^{(1)} \Phi_2 \quad (3.7.1)$$

Notese que el número de nodo del elemento no es consecutivo. Esto es un caso usual con elementos bidimensionales. Las funciones de interpolación en (3.5.17) son una función en coordenadas globales solo en el sentido que

$$2b = X_j - X_i = X_4 - X_1 \quad y \quad 2a = X_m - X_i = X_2 - X_1$$

La ecuación de interpolación para el elemento cuatro es

$$\phi^{(4)} = N_8^{(4)} \Phi_8 + N_3^{(4)} \Phi_3 + N_7^{(4)} \Phi_7 \quad (3.7.2)$$

La función de interpolación en (3.7.2) es una función de coordenadas globales y la especificación de i, j y k indica inmediatamente cual coordenada usar. Considere, por ejemplo $N_8^{(4)}$ usando (3.5.8) da:

$$N_8^{(4)} = \frac{1}{2A} (a_8^{(4)} + b_8^{(4)} + c_8^{(4)} y)$$

Donde:

$$a_8^{(4)} = X_3 X_7 - X_7 X_3, \quad b_8^{(4)} = Y_3 - Y_7, \quad c_8^{(4)} = X_7 - X_3$$

ya que $j=3$ y $k=7$. El área, A , es del elemento cuatro.

CAPÍTULO IV.

TRATAMIENTO DEL PROBLEMA DE TORSIÓN POR EL MÉTODO DE ELEMENTO FINITO.

4.1.- ECUACIONES DE CAMPO BIDIMENSIONALES.

La implementación del método de elemento finito puede desarrollarse siguiendo los tres pasos siguientes:

- 1) Establecer las propiedades de interpolación del elemento.
- 2) Evaluar las matrices de elemento.
- 3) Resolver el problema.

Hemos discutido las propiedades de dos elementos bidimensionales en las secciones anteriores y nuestro inmediato objetivo es la discusión de las matrices de elemento asociadas con la ecuación bidimensional de campo:

$$D_x \frac{\partial^2 \phi}{\partial x^2} + D_y \frac{\partial^2 \phi}{\partial y^2} - P\phi + Q = 0 \quad (4.1.1)$$

La ecuación (4.1.1) es aplicable a varios problemas físicos, entre los cuales encontramos problemas de mecánica de fluidos, transferencia de calor y por supuesto, el de torsión. Los coeficientes D_x , D_y , P y Q representan para cada problema coeficientes que definen propiedades particulares para cada problema. El objetivo en este capítulo será encontrar las ecuaciones integrales para las matrices de elemento y la evaluación de estas ecuaciones para los elementos triangular lineal y rectangular bilineal.

4.1.1.- ECUACION DIFERENCIAL PARA LA TORSIÓN .

La ecuación diferencial para la torsión de secciones es :

$$\frac{1}{G} \frac{\partial^2 \phi}{\partial x^2} + \frac{1}{G} \frac{\partial^2 \phi}{\partial y^2} + 2\theta = 0 \quad (4.1.2)$$

Donde G es el módulo de cortante del material y θ es el ángulo de torsión. La ecuación (4.1.2) podemos relacionarla con (4.1.1) haciendo $D_x=D_y=1/G$, $P=0$ y $Q=2\theta$. La variable ϕ es una función de esfuerzo y los esfuerzos cortantes dentro de la flecha son relacionados a las derivadas de ϕ con respecto a x e y .

4.1.2.- ECUACIONES INTEGRALES PARA LAS MATRICES DE ELEMENTO.

Las ecuaciones de elemento finito serán obtenidas usando la formulación Galerkin del método de residuos ponderados. La evaluación de la integral residual produce una ecuación de elemento que es aplicada de una manera recursiva para generar un sistema de ecuaciones lineales. El objetivo inmediato es encontrar las ecuaciones integrales que definen las matrices de elemento para el grupo de problemas asociados con la ecuación general (4.1.1).

La contribución de elemento al sistema de ecuaciones está dado por :

$$\{R^{(e)}\} = - \int_A [N]^T \left(D_x \frac{\partial^2 \phi}{\partial x^2} + D_y \frac{\partial^2 \phi}{\partial y^2} - P\phi + Q \right) dA \quad (4.1.11)$$

Donde $[N]$ es un vector renglón que contiene las funciones de interpolación.

Ya que la función de interpolación, $\phi(x,y)$, no tiene derivadas continuas entre los elementos, los términos en segundas derivadas de (4.1.11) deben de ser reemplazados por términos en primeras derivadas. Los términos en segundas derivadas de (4.1.11) pueden ser reemplazados aplicando la regla de producto para diferenciación. Considere :

$$\frac{\partial}{\partial x} ([N]^T \frac{\partial \phi}{\partial x}) = [N]^T \frac{\partial^2 \phi}{\partial x^2} + \frac{\partial [N]^T}{\partial x} \frac{\partial \phi}{\partial x} \quad (4.1.12)$$

diferenciando nos da :

$$\frac{\partial}{\partial x} ([N]^T \frac{\partial \phi}{\partial x}) = [N]^T \frac{\partial^2 \phi}{\partial x^2} + \frac{\partial [N]^T}{\partial x} \frac{\partial \phi}{\partial x} \quad (4.1.13)$$

despejando $[N]^T \frac{\partial^2 \phi}{\partial x^2}$ y sustituyéndolo en el primer término de (4.1.11) se tiene :

$$-\int_A [N]^T D_x \frac{\partial^2 \phi}{\partial x^2} dA = - \left[\int_A D_x \frac{\partial}{\partial x} \left([N]^T \frac{\partial \phi}{\partial x} \right) dA + \int_A D_x \frac{\partial [N]^T}{\partial x} \frac{\partial \phi}{\partial x} dA \right] \quad (4.1.14)$$

La primera integral del segundo miembro de (4.1.14) puede ser reemplazada por una integral al rededor de la frontera, usando el teorema de Green, por el cual cualquier función F , de x e y $[f(x, y)]$ de una integral doble puede reemplazarse por una integral simple, recordando la siguiente fórmula :

$$\iint \frac{\partial F}{\partial x} dx dy = \int F \cos \alpha ds$$

$$\iint \frac{\partial F}{\partial y} dx dy = \int F \sin\alpha ds$$

la integral simple se evalúa a lo largo de la frontera y α es el ángulo entre la normal y el eje de las x (Fig.2.3.4.).

Aplicando el teorema tenemos:

$$\int_A \frac{\partial}{\partial x} \left([N]^T \frac{\partial \phi}{\partial x} \right) dA = \int_{\Gamma} [N]^T \frac{\partial \phi}{\partial x} \cos\theta d\Gamma \quad (4.1.15)$$

Donde θ es el ángulo a la normal y Γ es el elemento de frontera. Sustituyendo (4.1.15) en (4.1.14) nos da la relación final para el término en segundas derivadas :

$$-\int_A D_x [N]^T \frac{\partial^2 \phi}{\partial x^2} dA = -\int_{\Gamma} D_x [N]^T \frac{\partial \phi}{\partial x} \cos\theta d\Gamma + \int_A D_x \frac{[N]^T \frac{\partial \phi}{\partial x}}{\partial x} dA \quad (4.1.16)$$

Análogamente para y encontramos :

$$-\int_A D_y [N]^T \frac{\partial^2 \phi}{\partial y^2} dA = -\int_{\Gamma} D_y [N]^T \frac{\partial \phi}{\partial y} \sin\theta d\Gamma + \int_A D_y \frac{[N]^T \frac{\partial \phi}{\partial y}}{\partial y} dA \quad (4.1.17)$$

sustituyendo (4.1.16) y (4.1.17) en (4.1.11) y agrupando términos resulta :

$$\begin{aligned} \{R^{(e)}\} &= -\int_{\Gamma} [N]^T \left(D_x \frac{\partial \phi}{\partial x} \cos\theta + D_y \frac{\partial \phi}{\partial y} \sin\theta \right) d\Gamma \\ &\quad + \int_A \left(D_x \frac{\partial [N]^T \frac{\partial \phi}{\partial x}}{\partial x} + D_y \frac{\partial [N]^T \frac{\partial \phi}{\partial y}}{\partial y} \right) dA \\ &\quad + \int_A P[N]^T \phi dA - \int_A Q[N]^T dA \end{aligned} \quad (4.1.18)$$

La ecuación (4.1.18) puede ser escrita en una forma final sustituyendo ϕ como la relación :

$$\phi = [N] \{\Phi^{(e)}\} \quad (4.1.19)$$

sustituyendo tenemos :

$$\begin{aligned} \{R^{(e)}\} &= -\int_{\Gamma} [N]^T \left(D_x \frac{\partial \phi}{\partial x} \cos\theta + D_y \frac{\partial \phi}{\partial y} \sin\theta \right) d\Gamma \\ &\quad + \left(\int_A \left(D_x \frac{\partial [N]^T \frac{\partial \phi}{\partial x}}{\partial x} + D_y \frac{\partial [N]^T \frac{\partial \phi}{\partial y}}{\partial y} \right) dA \right) \{\Phi^{(e)}\} \\ &\quad + \left(\int_A P[N]^T [N] dA \right) \{\Phi^{(e)}\} - \int_A Q[N]^T dA \end{aligned} \quad (4.1.20)$$

la cual tiene la forma general

$$\{R^{(e)}\} = \{I^{(e)}\} + \{k^{(e)}\}\{\Phi^{(e)}\} - \{f^{(e)}\} \quad (4.1.21)$$

donde

$$\{I^{(e)}\} = - \int_{\Gamma} [N]^T \left(D_x \frac{\partial \phi}{\partial x} \cos \theta + D_y \frac{\partial \phi}{\partial y} \sin \theta \right) d\Gamma \quad (4.1.22)$$

$$\{k^{(e)}\} = \int_A \left(D_x \frac{\partial [N]^T}{\partial x} \frac{\partial [N]}{\partial x} + D_y \frac{\partial [N]^T}{\partial y} \frac{\partial [N]}{\partial y} \right) dA \quad (4.1.23)$$

y

$$\{f^{(e)}\} = \int_A Q[N]^T dA \quad (4.1.24)$$

La variable ϕ en (4.1.22) no fue reemplazada ya que la cantidad :

$$D_x \frac{\partial \phi}{\partial x} \cos \theta + D_y \frac{\partial \phi}{\partial y} \sin \theta \quad (4.1.25)$$

ocurre, derivada de las condiciones de frontera, el problema de torsión es un problema único por que ϕ debe ser constante a lo largo del contorno de la sección transversal, por lo que este término se anula para el problema de torsión.

La primera integral en (4.1.23), puede ser escrita compactamente, definiendo :

$$[D] = \begin{bmatrix} D_x & 0 \\ 0 & D_y \end{bmatrix} \quad (4.1.26)$$

y el vector gradiente

$$\{gv\} = \begin{bmatrix} \frac{\partial \phi}{\partial x} \\ \frac{\partial \phi}{\partial y} \end{bmatrix} = \begin{bmatrix} \frac{\partial [N]}{\partial x} \\ \frac{\partial [N]}{\partial y} \end{bmatrix} \{\Phi^{(e)}\} = [B]\{\Phi^{(e)}\} \quad (4.1.27)$$

La traspuesta de $[B]$ está dada por :

$$[B]^T = \left[\frac{\partial [N]^T}{\partial x} \frac{\partial [N]^T}{\partial y} \right] \quad (4.1.28)$$

Si usamos (4.1.26), (4.1.27) y (4.1.28), tenemos que :

$$\int_A [B]^T [D][B] dA = \int_A \left(D_x \frac{\partial [N]^T}{\partial x} \frac{\partial [N]}{\partial x} + D_y \frac{\partial [N]^T}{\partial y} \frac{\partial [N]}{\partial y} \right) dA \quad (4.1.29)$$

La matriz de rigidez es usualmente escrita como :

$$[k^{(e)}] = \int_A [B]^T [D] [B] dA + \int_A P[N]^T [N] dA \quad (4.1.30)$$

y las integrales individuales son denotadas como $[k_D^{(e)}]$ y $[k_P^{(e)}]$ donde :

$$[k^{(e)}] = [k_D^{(e)}] + [k_P^{(e)}] \quad (4.1.31)$$

4.1.3.- MATRICES DE ELEMENTO :

ELEMENTOS TRIANGULARES.

Nuestro objetivo, por lo que resta del capítulo será evaluar las matrices para los elementos bidimensionales discutidos en el capítulo tres. La cantidad escalar ϕ es definida sobre una región triangular por :

$$\phi^{(e)} = [N_i \ N_j \ N_k] \{\Phi^{(e)}\} \quad (4.1.32)$$

donde

$$N_i = \frac{1}{2A} (a_i + b_i x + c_i y), \quad N_j = \frac{1}{2A} (a_j + b_j x + c_j y), \quad N_k = \frac{1}{2A} (a_k + b_k x + c_k y)$$

y los coeficientes a , b , y c , fueron definidos en el capítulo tres. El vector gradiente para estos elementos es :

$$\{gv\} = \begin{bmatrix} \frac{\partial N_i}{\partial x} & \frac{\partial N_j}{\partial x} & \frac{\partial N_k}{\partial x} \\ \frac{\partial N_i}{\partial y} & \frac{\partial N_j}{\partial y} & \frac{\partial N_k}{\partial y} \end{bmatrix} \{\Phi^{(e)}\} \quad (4.1.33)$$

$$\{gv\} = \frac{1}{2A} \begin{bmatrix} b_i & b_j & b_k \\ c_i & c_j & c_k \end{bmatrix} \{\Phi^{(e)}\} = [B]\{\Phi^{(e)}\} \quad (4.1.34)$$

Para (4.1.30) tenemos que la matriz $[B]$ está dada por (4.1.34) y $[D]$ por (4.1.26) la que consiste enteramente de constantes, ya que b_β , c_β , $\beta = i, j, k$ son constantes y D_x y D_y son coeficientes de materiales. La primera integral de (4.1.30) por lo tanto, es fácilmente evaluada. Esta integral resulta:

$$[k_D^{(e)}] = \int_A [B]^T [D] [B] dA = [B]^T [D] [B] \int_A dA$$

$$[k_D^{(e)}] = [B]^T [D] [B] A \quad (4.1.35)$$

Los productos matriciales produce :

$$[k_D^{(e)}] = \frac{D_x}{4A} \begin{bmatrix} b_i^2 & b_i b_j & b_i b_k \\ b_i b_j & b_j^2 & b_j b_k \\ b_i b_k & b_j b_k & b_k^2 \end{bmatrix} + \frac{D_y}{4A} \begin{bmatrix} c_i^2 & c_i c_j & c_i c_k \\ c_i c_j & c_j^2 & c_j c_k \\ c_i c_k & c_j c_k & c_k^2 \end{bmatrix} \quad (4.1.36)$$

La segunda integral de (4.1.30) envuelve las funciones de interpolación. Si asumimos que P es constante en el elemento. Esta integral es :

$$\begin{aligned} [k_P^{(e)}] &= \int_A P[N]^T [N] dA = P \int_A \begin{Bmatrix} N_i \\ N_j \\ N_k \end{Bmatrix} \begin{Bmatrix} N_i & N_j & N_k \end{Bmatrix} dA \\ &= P \int_A \begin{bmatrix} N_i^2 & N_i N_j & N_i N_k \\ N_i N_j & N_j^2 & N_j N_k \\ N_i N_k & N_j N_k & N_k^2 \end{bmatrix} dA \\ &= P \int_A \begin{bmatrix} L_1^2 & L_1 L_2 & L_1 L_3 \\ L_1 L_2 & L_2^2 & L_2 L_3 \\ L_1 L_3 & L_2 L_3 & L_3^2 \end{bmatrix} dA \end{aligned} \quad (4.1.37)$$

Ya que $N_i=L_1$, $N_j=L_2$, y $N_k=L_3$ para el triángulo lineal. Usando la fórmula (3.6.26) al evaluar cada integral produce :

$$[k_P^{(e)}] = \frac{PA}{12} \begin{bmatrix} 2 & 1 & 1 \\ 1 & 2 & 1 \\ 1 & 1 & 2 \end{bmatrix} \quad (4.1.38)$$

La matriz de elemento para el elemento triangular es la suma de (4.1.36) y (4.1.38). El vector de fuerza también envuelve las funciones de interpolación, y la evaluación de (4.1.24) es bastante similar a la evaluación de $[k_P^{(e)}]$, por lo que tenemos :

$$\int_A Q[N]^T dA = Q \int_A \begin{Bmatrix} N_i \\ N_j \\ N_k \end{Bmatrix} dA = Q \int_A \begin{Bmatrix} L_1 \\ L_2 \\ L_3 \end{Bmatrix} dA \quad (4.1.39)$$

Asumiendo que Q es constante en el elemento. Usando la ecuación integral (3.6.26) produce.

$$\{f^{(e)}\} = \frac{QA}{3} \begin{Bmatrix} 1 \\ 1 \\ 1 \end{Bmatrix} \quad (4.1.40)$$

ELEMENTO RECTANGULAR :

La evaluación de las matrices de elemento para el elemento rectangular, no es tan rápida como las de la sección previa, ya que cada coeficiente envuelve la integración de un polinomio sobre un área. Las integrales pueden ser evaluadas usando funciones de interpolación dadas por cualquiera de (3.5.17) o (3.6.35), aquí usaremos (3.5.17) por su similitud entre el sistema coordenado st y xy . Las funciones de interpolación en (3.5.17) fueron desarrolladas relativas al sistema coordenado st . Todas las integrales están definidas con relación al sistema xy . En particular, la matriz de gradiente $[B]$ tiene coeficientes relacionados a las derivadas de las funciones de interpolación con respecto a "x" e "y". La aplicación de esta ecuación para un elemento rectangular definido relativo al sistema coordenado st puede ser resumido como sigue. Ya que el sistema coordenado st es paralelo al sistema xy y la unidad de longitud en cualquiera de "s" o "t" es igual que una unidad de longitud en el "x" o "y".

$$\int_A f(x, y) dx dy = \int_A f(s, t) ds dt \quad (4.1.41)$$

Igualdades importantes son las relaciones entre las derivadas. La regla de la cadena nos da :



$$\frac{\partial N_\beta}{\partial x} = \frac{\partial N_\beta}{\partial s} \frac{\partial s}{\partial x}, \quad \frac{\partial N_\beta}{\partial y} = \frac{\partial N_\beta}{\partial t} \frac{\partial t}{\partial y} \quad (4.1.42)$$

Las funciones de interpolación (3.5.17) son:

$$N_i = 1 - \frac{s}{2b} - \frac{t}{2a} + \frac{st}{4ab}, \quad N_j = \frac{s}{2b} - \frac{st}{4ab},$$

$$N_k = \frac{st}{4ab}, \quad N_m = \frac{t}{2a} - \frac{st}{4ab}$$

La evaluación de $[k^{(e)}$] y $\{f^{(e)}$ } es ilustrada considerando una integral específica en cada caso.

Las integrales más fáciles son asociadas con $\{f^{(e)}$ }, el cual es :

$$\{f^{(e)}\} = \int_A Q[N]^T dA = \int_0^{2b} \int_0^{2a} Q \begin{Bmatrix} N_i \\ N_j \\ N_k \\ N_m \end{Bmatrix} dt ds \quad (4.1.44)$$

considerando el tercer coeficiente tenemos :

$$\int_0^{2b} \int_0^{2a} N_k dt ds = \int_0^{2b} \int_0^{2a} \frac{st}{4ab} dt ds = \int_0^{2b} \left[\frac{st^2}{8ab} \right]_0^{2a} ds = \int_0^{2b} \frac{as}{2b} ds = ab = \frac{A}{4} \quad (4.1.45)$$

las otras tres integrales producen el mismo resultado :

$$\{f^{(e)}\} = \frac{QA}{4} \begin{Bmatrix} 1 \\ 1 \\ 1 \\ 1 \end{Bmatrix} \quad (4.1.46)$$

La integral asociada con $[k_p^{(e)}]$ es :

$$[k_p^{(e)}] = \int_A P [N]^T [N] dA = \int_A P \begin{bmatrix} N_i^2 & N_i N_j & N_i N_k & N_i N_m \\ N_i N_j & N_j^2 & N_j N_k & N_j N_m \\ N_i N_k & N_j N_k & N_k^2 & N_k N_m \\ N_i N_m & N_j N_m & N_k N_m & N_m^2 \end{bmatrix} dA \quad (4.1.47)$$

Seleccionando el N_k término, obtenemos :

$$\int_0^{2b} \int_0^{2a} \left(\frac{st}{4ab} \right)^2 dt ds = \int_0^{2b} \int_0^{2a} \frac{s^2 t^2}{16a^2 b^2} dt ds = \frac{4ab}{9} = A \quad (4.1.48)$$

La matriz $[k_p^{(e)}]$ es :

$$[k_p^{(e)}] = \frac{PA}{36} \begin{bmatrix} 4 & 2 & 1 & 2 \\ 2 & 4 & 2 & 1 \\ 1 & 2 & 4 & 2 \\ 2 & 1 & 2 & 4 \end{bmatrix} \quad (4.1.49)$$

La evaluación de $[k_D^{(e)}]$ envuelve la derivada de las funciones de interpolación. La matriz de gradiente $[B]$ es:

$$[B] = \begin{bmatrix} \frac{\partial N_i}{\partial x} & \frac{\partial N_j}{\partial x} & \frac{\partial N_k}{\partial x} & \frac{\partial N_m}{\partial x} \\ \frac{\partial N_i}{\partial y} & \frac{\partial N_j}{\partial y} & \frac{\partial N_k}{\partial y} & \frac{\partial N_m}{\partial y} \end{bmatrix} \quad (4.1.50)$$

Usando la relación dada en (4.1.42) permite que $[B]$ sea escrita en términos de s y t . La diferenciación de las funciones de interpolación resulta :

$$[B] = \frac{1}{4ab} \begin{bmatrix} -(2a-t) & (2a-t) & t & -t \\ -(2b-s) & -s & s & (2b-s) \end{bmatrix} \quad (4.1.51)$$

El coeficiente en la primera fila y la primera columna de $[k_D^{(e)}]$ esta disponible después de la multiplicación de $[B]^T[D][B]$, este coeficiente es :

$$\frac{D_x}{16a^2b^2}(2a-t)^2 + \frac{D_y}{16a^2b^2}(2b-s)^2 \quad (4.1.52)$$

y la integral asociada es :

$$\int_0^{2b} \int_0^{2a} \frac{D_x}{16a^2b^2}(2a-t)^2 dt ds + \int_0^{2b} \int_0^{2a} \frac{D_y}{16a^2b^2}(2b-s)^2 dt ds \quad (4.1.53)$$

el cual integrando resulta:

$$\frac{D_x a}{3b} \frac{D_y b}{3a} \quad (4.1.54)$$

el resultado completo para $[k_D^{(e)}]$ es:

$$[k_D^{(e)}] = \frac{D_x a}{6b} \begin{bmatrix} 2 & 2 & -1 & 1 \\ -2 & 2 & 1 & -1 \\ -1 & 1 & 2 & -2 \\ 1 & -1 & -2 & 2 \end{bmatrix} + \frac{D_y b}{6a} \begin{bmatrix} 2 & 1 & -1 & -2 \\ 1 & 2 & -2 & -1 \\ -1 & -2 & 2 & 1 \\ -2 & -1 & 1 & 2 \end{bmatrix} \quad (4.1.55)$$

La matriz de rigidez de elemento $[k^{(e)}]$ para el elemento rectangular es la suma de (4.1.49) y (4.1.55). El vector de fuerzas está dado por (4.1.46).

4.2.- APLICACIÓN DEL MÉTODO DE ELEMENTO FINITO A UN PROBLEMA DE TORSIÓN DE SECCIONES.

Las matrices de elemento para el elementos triangular lineal y rectangular bilineal fueron evaluadas en la sección anterior. En esta sección se discute la aplicación de esta información, para obtener la solución numérica de un problema real. Calcularemos esfuerzos cortantes en un eje de acero rectangular sujeto a un momento torsionante.

4.2.1.- TEORÍA GENERAL.

Hay dos teorías para calcular los esfuerzos cortantes en una flecha sólida prismática sujeta a torsión. St. Venant desarrolló una teoría y L. Prandtl propuso la otra (capítulo 2). En este capítulo utilizaremos la teoría de Prandtl. Las componentes de esfuerzo de cortante en una barra prismáticas sujeta a un momento torsionante T sobre el eje Z puede ser calculada usando (2.3.9), donde $\phi(x, y)$ es una función de esfuerzo, la ecuación diferencial que rige es (4.1.2) con $D_x = D_y = 1$, $P=0$, $Q=2G\theta$ y $\phi = 0$ en la frontera.

Los parámetros físicos en (4.1.2) son el módulo de cortante, G (N/cm^2) y el ángulo de torsión por unidad de longitud, θ (rad/cm). La formulación de Prandtl, no aplica el momento torsionante T (N/cm), en las ecuaciones que rigen, en lugar de esto, T es calculado usando:

$$T = 2 \int_A \phi \, dA \quad (4.2.1)$$

ya que $\phi(x,y)$ es conocida.

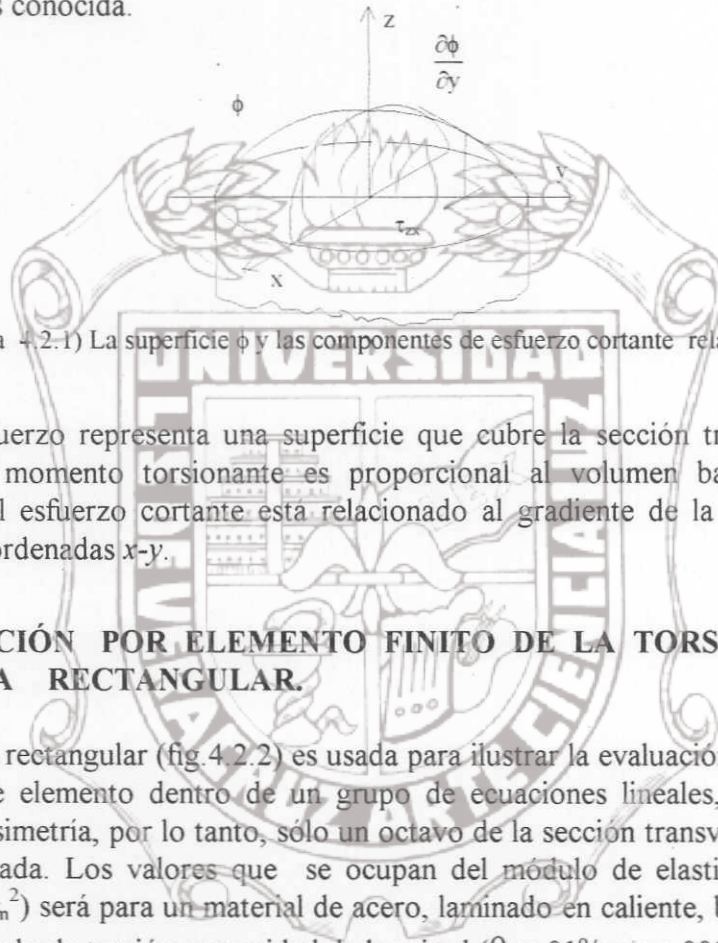


Figura 4.2.1) La superficie ϕ y las componentes de esfuerzo cortante relacionadas.

La función esfuerzo representa una superficie que cubre la sección transversal del eje (fig.4.2.1). El momento torsionante es proporcional al volumen bajo la superficie, mientras que el esfuerzo cortante está relacionado al gradiente de la superficie en las direcciones coordenadas $x-y$.

4.2.2.- SOLUCIÓN POR ELEMENTO FINITO DE LA TORSIÓN DE UNA BARRA RECTANGULAR.

La flecha rectangular (fig.4.2.2) es usada para ilustrar la evaluación y ensamblaje de las matrices de elemento dentro de un grupo de ecuaciones lineales, esta barra tiene cuatro ejes de simetría, por lo tanto, sólo un octavo de la sección transversal es necesaria para ser analizada. Los valores que se ocupan del módulo de elasticidad al cortante ($G=8 \times 10^6 \text{ N/cm}^2$) será para un material de acero, laminado en caliente, bajo contenido de carbón y el ángulo de torsión por unidad de longitud ($\theta = .01^\circ/\text{cm} = .00017453 \text{ rad/cm}$).

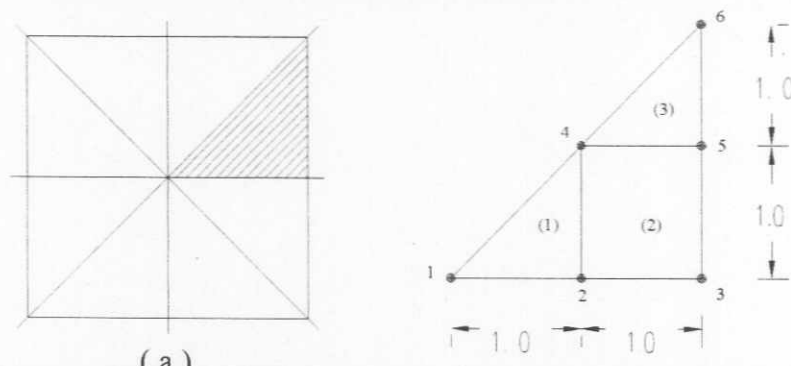


Figura 4.2.2) Elemento subdividido para la torsión de una barra cuadrada. La flecha es de $4 \times 4 \text{ cm}$, $G = 8(10^6) \text{ N}/\text{cm}^2$, $\theta = 0.01$ grados/ $\text{cm} = .0001745 \text{ rad}/\text{cm}$.

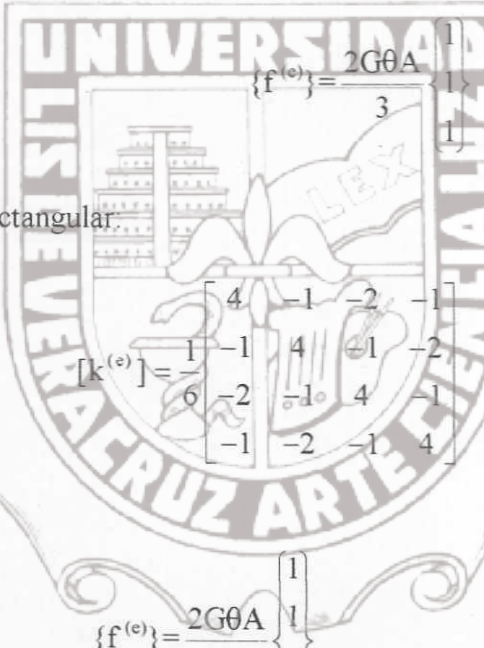
Esta porción de la sección se divide en tres elementos (figura 4.2.2) aunque estos tres elementos no son suficientes para obtener una respuesta aproximada, si son suficientes para ilustrar los cálculos. Los cálculos tienen tres dígitos significativos de aproximación. Los números de nudos por elemento son:

e	i	j	k	m
1	1	2	4	
2	2	3	5	4
3	4	5	6	

Los elementos 1 y 3 tienen la misma orientación y las mismas dimensiones; por lo tanto sus matrices son idénticas. Las matrices para el elemento triangular están dadas por (4.1.36) y (4.1.40) mientras que para el rectangular están dadas por (4.1.46) y (4.1.55). Las matrices para el elemento triangular son:

$$[k_D^{(e)}] = \frac{1}{4A} \begin{bmatrix} b_i^2 & b_i b_j & b_i b_k \\ b_i b_j & b_j^2 & b_j b_k \\ b_i b_k & b_j b_k & b_k^2 \end{bmatrix} + \frac{1}{4A} \begin{bmatrix} c_i^2 & c_i c_j & c_i c_k \\ c_i c_j & c_j^2 & c_j c_k \\ c_i c_k & c_j c_k & c_k^2 \end{bmatrix} \quad (4.2.2)$$

y

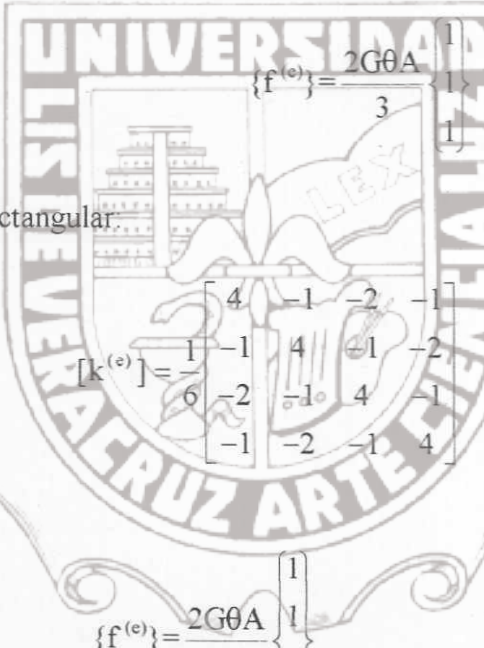


$$\{f^{(e)}\} = \frac{2G\theta A}{3} \begin{bmatrix} 1 \\ 1 \\ 1 \end{bmatrix} \quad (4.2.3)$$

y para el elemento rectangular:

$$[k^{(e)}] = \frac{1}{6} \begin{bmatrix} 4 & -1 & -2 & -1 \\ -1 & 4 & -1 & -2 \\ -2 & -1 & 4 & -1 \\ -1 & -2 & -1 & 4 \end{bmatrix} \quad (4.2.4)$$

y



$$\{f^{(e)}\} = \frac{2G\theta A}{4} \begin{bmatrix} 1 \\ 1 \\ 1 \\ 1 \end{bmatrix} \quad (4.2.5)$$

La ecuación (4.2.4) incorpora el hecho de que el elemento dos es cuadrado, $2a=2b$. Ahora valuaremos (4.2.2) para los elementos 1 y 3. El área del elemento triangular es $1/2$ y $4A^{(1)}=2$. Los coeficientes b y c son:

$$b_1^{(1)} = Y_2 - Y_4 = -1 \quad , \quad c_1^{(1)} = X_4 - X_2 = 0$$

$$b_2^{(1)} = Y_4 - Y_1 = 1 \quad , \quad c_2^{(1)} = X_1 - X_4 = -1$$

$$b_4^{(1)} = Y_1 - Y_2 = 0 \quad , \quad c_4^{(1)} = X_2 - X_1 = 1$$

Sustituyendo estos valores en (4.2.2) :

$$[k^{(1)}] = \frac{1}{2} \begin{bmatrix} 1 & -1 & 0 \\ -1 & 1 & 0 \\ 0 & 0 & 0 \end{bmatrix} + \frac{1}{2} \begin{bmatrix} 0 & 0 & 0 \\ 0 & 1 & -1 \\ 0 & -1 & 1 \end{bmatrix} \quad (4.2.6)$$

Sumando las 2 partes de las matrices :

$$[k^{(1)}] = \frac{1}{2} \begin{bmatrix} 1 & -1 & 0 \\ -1 & 2 & -1 \\ 0 & -1 & 1 \end{bmatrix} = [k^{(3)}] \quad (4.2.7)$$

El vector de fuerza de elemento $\{f^{(1)}\}$, es obtenido una vez que el parámetro $2G\theta$ se calcula, sustituyendo los valores dados en la figura 4.2.2) produce:

$$2G\theta = 2(8 \times 10^6)(0.01) \left(\frac{\pi}{180} \right) = 2792.$$

Sustituyendo $2G\theta = 2792$ y $A^{(1)} = 1/2$ en (4.2.3) :

$$\{f^{(1)}\}^T = [465 \ 465 \ 465] = \{f^{(3)}\}^T \quad (4.2.8)$$

La matriz de rigidez para el elemento dos está dada por (4.2.4) y el vector de fuerza por (4.2.5), sustituyendo, $A^{(2)} = 1$ y $2G\theta = 2792$, tenemos:

$$\{f^{(2)}\}^T = [698 \ 698 \ 698 \ 698] \quad (4.2.9)$$

Las matrices de elemento son resumidas a continuación. El número de nodo indica la fila y columna de $[K]$ y $\{F\}$ a los cuales se suma los coeficientes individuales.

$$[k^{(1)}] = \frac{1}{2} \begin{bmatrix} 1 & -1 & 0 \\ -1 & 2 & -1 \\ 0 & -1 & 1 \end{bmatrix}, \quad \{f^{(1)}\} = \begin{cases} 465 \\ 465 \\ 465 \end{cases} \quad (4.2.10)$$

$$[k^{(2)}] = \frac{1}{6} \begin{bmatrix} 2 & 3 & 5 & 4 \\ 4 & -1 & -2 & -1 \\ -1 & 4 & -1 & -2 \\ -2 & -1 & 4 & -1 \\ -1 & -2 & -1 & 4 \end{bmatrix}, \quad \{f^{(2)}\} = \begin{cases} 698 \\ 698 \\ 698 \\ 698 \end{cases} \quad (4.2.11)$$

$$\begin{matrix}
 & 4 & 5 & 6 \\
 \left[k^{(3)} \right] = \frac{1}{2} \begin{bmatrix} 1 & -1 & 0 \\ -1 & 2 & -1 \\ 0 & -1 & 1 \end{bmatrix}, \quad \left\{ f^{(3)} \right\} = \begin{bmatrix} 465 \\ 465 \\ 465 \end{bmatrix} & 4 \\
 & 5 & 6
 \end{matrix} \quad (4.2.12)$$

Adicionando las contribuciones de los elementos usando el método directo de rigidez resulta el sistema de seis ecuaciones siguiente.

$$\begin{bmatrix} 3 & -3 & 0 & 0 & 0 & 0 \\ -3 & 10 & -1 & -4 & -2 & 0 \\ 0 & -1 & 4 & -2 & -1 & 0 \\ 0 & -4 & -2 & 10 & -4 & 0 \\ 0 & -2 & -1 & -4 & 10 & -3 \\ 0 & 0 & 0 & 0 & -3 & 3 \end{bmatrix} \begin{Bmatrix} \Phi_1 \\ \Phi_2 \\ \Phi_3 \\ \Phi_4 \\ \Phi_5 \\ \Phi_6 \end{Bmatrix} = \begin{Bmatrix} 2790 \\ 6978 \\ 4188 \\ 9768 \\ 6978 \\ 2790 \end{Bmatrix} = \begin{Bmatrix} 0 \\ 0 \\ 0 \\ 0 \\ 0 \\ 0 \end{Bmatrix} \quad (4.2.13)$$

Los valores nodales Φ_3 , Φ_5 y Φ_6 están en la frontera y cada uno es cero, por lo tanto, las ecuaciones tres, cinco y seis son eliminadas y el sistema modificado de ecuaciones es

$$\begin{bmatrix} 3 & -3 & 0 \\ -3 & 10 & -4 \\ 0 & -4 & 10 \end{bmatrix} \begin{Bmatrix} \Phi_1 \\ \Phi_2 \\ \Phi_4 \end{Bmatrix} = \begin{Bmatrix} 2790 \\ 6978 \\ 9768 \end{Bmatrix} = \begin{Bmatrix} 0 \\ 0 \\ 0 \end{Bmatrix}$$

resolviendo resulta

$$\Phi_1 = 3462, \quad \Phi_2 = 2532 \quad \text{y} \quad \Phi_4 = 1989$$

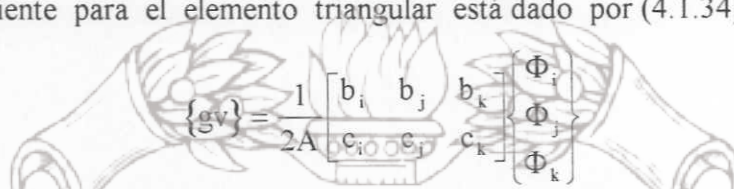
Gran parte de la solución radica en la determinación de los valores nodales, sin embargo, usualmente existe un juego de cantidades de elemento que deben ser calculadas una vez que los valores nodales son conocidos como las componentes del esfuerzo cortante y el momento torsionante, la evaluación de estas cantidades se discute a continuación.

COMPONENTES DE ESFUERZO CORTANTE.

Los gradientes de los parámetros nodales ϕ , son importantes ya que las componentes de los esfuerzos cortantes están relacionados a los gradientes por

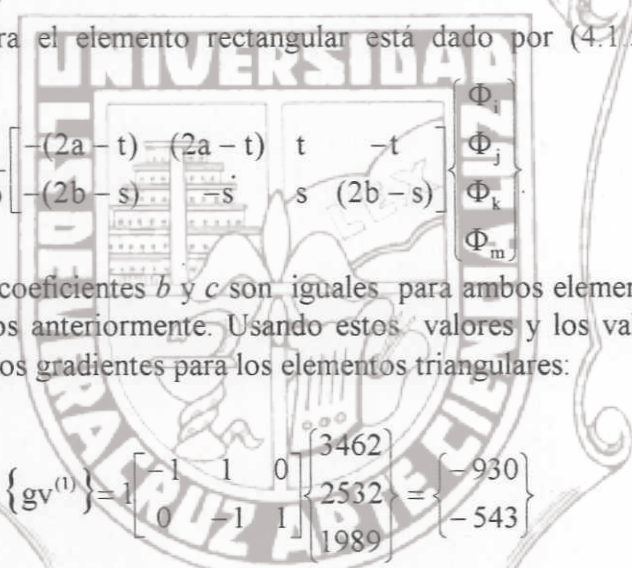
$$\tau_{zx} = \frac{\partial \phi}{\partial y} \quad \text{y} \quad \tau_{zy} = -\frac{\partial \phi}{\partial x} \quad (4.2.14)$$

El vector gradiente para el elemento triangular está dado por (4.1.34) como :



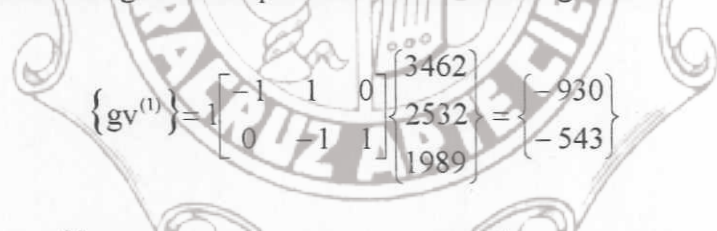
$$\{gv\} = \frac{1}{2A} \begin{bmatrix} b_i & b_j & b_k \\ c_i & c_j & c_k \end{bmatrix} \begin{Bmatrix} \Phi_i \\ \Phi_j \\ \Phi_k \end{Bmatrix} \quad (4.2.15)$$

El vector gradiente para el elemento rectangular está dado por (4.1.51) como :



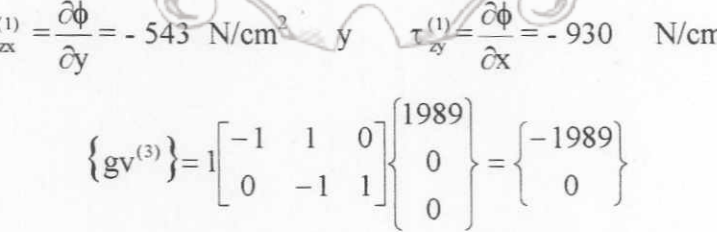
$$\{gv\} = \frac{1}{4ab} \begin{bmatrix} -(2a-t) & (2a-t) & t & -t \\ -(2b-s) & -s & s & (2b-s) \end{bmatrix} \begin{Bmatrix} \Phi_i \\ \Phi_j \\ \Phi_k \\ \Phi_m \end{Bmatrix} \quad (4.2.16)$$

El área así como los coeficientes b y c son iguales para ambos elementos triangulares y ellos fueron evaluados anteriormente. Usando estos valores y los valores calculados para Φ_i , encontramos los gradientes para los elementos triangulares:



$$\{gv^{(1)}\} = 1 \begin{bmatrix} -1 & 1 & 0 \\ 0 & -1 & 1 \end{bmatrix} \begin{Bmatrix} 3462 \\ 2532 \\ 1989 \end{Bmatrix} = \begin{Bmatrix} -930 \\ -543 \end{Bmatrix}$$

$$\tau_{zx}^{(1)} = \frac{\partial \phi}{\partial y} = -543 \text{ N/cm}^2 \quad \text{y} \quad \tau_{zy}^{(1)} = \frac{\partial \phi}{\partial x} = -930 \text{ N/cm}^2$$



$$\{gv^{(3)}\} = 1 \begin{bmatrix} -1 & 1 & 0 \\ 0 & -1 & 1 \end{bmatrix} \begin{Bmatrix} 1989 \\ 0 \\ 0 \end{Bmatrix} = \begin{Bmatrix} -1989 \\ 0 \end{Bmatrix}$$

$$\tau_{zx}^{(3)} = 0 \quad \text{y} \quad \tau_{zy}^{(3)} = 1989 \text{ N/cm}^2$$

Se calcularán las componentes de esfuerzo cortante en el elemento rectangular notando que los valores del gradiente no son constantes dentro del elemento rectangular y que en el nodo tres el valor de τ_{zy} es el mayor. Las coordenadas locales de los nodos son, para el nodo dos: $s=0$, $t=0$, tres: $s=2b$, $t=0$, cinco: $s=2b$, $t=2a$, cuatro: $s=0$, $t=2a$ y para el elemento se tendrá que $2a=2b=1$.

El vector gradiente para los nodos es :

$$\{g\Phi^{(2)}\} = 1 \begin{bmatrix} -1 & 1 & 0 & 0 \\ -1 & 0 & 0 & 1 \end{bmatrix} \begin{Bmatrix} \Phi_2 \\ \Phi_3 \\ \Phi_5 \\ \Phi_4 \end{Bmatrix}, \quad \tau_{zx}^{(2)} = -543 \quad \text{y} \quad \tau_{zy}^{(2)} = -2532 \text{ N/cm}^2$$

$$\{g\Phi^{(3)}\} = 1 \begin{bmatrix} -1 & 1 & 0 & 0 \\ 0 & -1 & 1 & 0 \end{bmatrix} \begin{Bmatrix} \Phi_2 \\ \Phi_3 \\ \Phi_5 \\ \Phi_4 \end{Bmatrix}, \quad \tau_{zx}^{(3)} = 0 \quad \text{y} \quad \tau_{zy}^{(3)} = -2532 \text{ N/cm}^2$$

$$\{g\Phi^{(5)}\} = 1 \begin{bmatrix} 0 & 0 & 1 & -1 \\ 0 & -1 & 1 & 0 \end{bmatrix} \begin{Bmatrix} \Phi_2 \\ \Phi_3 \\ \Phi_5 \\ \Phi_4 \end{Bmatrix}, \quad \tau_{zx}^{(5)} = -1989 \quad \text{y} \quad \tau_{zy}^{(5)} = 0 \text{ N/cm}^2$$

$$\{g\Phi^{(4)}\} = 1 \begin{bmatrix} 0 & 0 & 1 & -1 \\ -1 & 0 & 0 & 1 \end{bmatrix} \begin{Bmatrix} \Phi_2 \\ \Phi_3 \\ \Phi_5 \\ \Phi_4 \end{Bmatrix}, \quad \tau_{zx}^{(4)} = -1989 \quad \text{y} \quad \tau_{zy}^{(4)} = -543 \text{ N/cm}^2$$

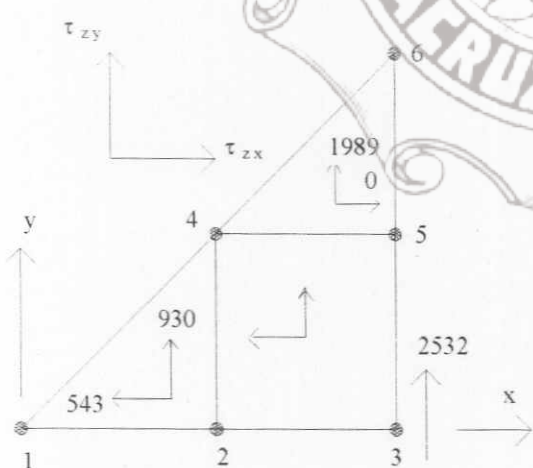


Figura 4.2.3) Los valores de esfuerzos cortantes para la flecha cuadrada

Los esfuerzos cortantes calculados anteriormente son mostrados en la fig.4.2.3). Los valores de esfuerzo cortante para cada elemento triangular son constantes dentro del elemento y asumidos en el centro del elemento. Hay al menos dos formas de mejorar los valores obtenidos de los esfuerzos para este ejemplo, la primera puede ser usando un gran número de elementos, ya que el tamaño de los elementos decrece, la existencia de un valor constante dentro de el elemento resulta más real. Un enfoque alternativo es el uso de elementos con más nudos y un polinomio de interpolación cuadrático o cúbico.

EVALUACIÓN DEL MOMENTO TORSIONANTE :

Otras cantidades de interés en el análisis de torsión en un miembro es el momento torsionante T definido en (4.2.1). Esta integral es equivalente a:

$$T = \sum_{e=1}^n 2 \int_{A^{(e)}} \phi^{(e)} dA \quad (4.2.17)$$

la integral

$$\int_{A^{(e)}} \phi^{(e)} dA$$

para el elemento triangular es:

$$\int_{A^{(e)}} \phi^{(e)} dA = \frac{A}{3} (\Phi_i + \Phi_j + \Phi_k) \quad (4.2.18)$$

y para el elemento rectangular

$$\int_{A^{(e)}} \phi^{(e)} dA = \frac{A}{4} (\Phi_i + \Phi_j + \Phi_k + \Phi_m) \quad (4.2.19)$$

El momento torsionante, T , es la suma de la contribución de los elementos:

$$T = T^{(1)} + T^{(2)} + T^{(3)} + \dots + T^{(n)}$$

la contribución de cada elemento es:

$$T^{(1)} = 2\left(\left(\frac{1}{2}\right)\left(\frac{1}{3}\right)(\Phi_1 + \Phi_2 + \Phi_4)\right) = (3462 + 2532 + 1989) = 7983$$

$$T^{(2)} = 2\left(\left(1\right)\left(\frac{1}{4}\right)(\Phi_2 + \Phi_3 + \Phi_5 + \Phi_4)\right) = 2260.5$$

$$T^{(3)} = (\Phi_4 + \Phi_5 + \Phi_6) = 663$$

$$\text{el momento torsionante resulta: } T = 7983 + 2260.5 + 663 = 10806.5 \text{ N.cm} \quad (4.2.20)$$

Este momento actúa en un octavo de la sección transversal. Así el momento torsionante total en la barra cuadrada es $8(10806.5) = 86452 \text{ N.cm}$, un momento de 86452 N.cm produce una torsión de 1° en la barra de acero de 100 cm de longitud. La aproximación de este resultado es cuestionable, por la tosquedad de la malla. A lo cual respondimos con un 89% del valor teórico de 50247 N.cm. El valor calculado del momento torsionante rara vez corresponde al aplicado ya que tenemos que suponer el ángulo de torsión θ . Los valores correctos de τ_{zx} , τ_{xy} , y θ son obtenidos escalando los valores calculados por la relación $T_{\text{actual}}/T_{\text{calculada}}$. Por ejemplo, suponiendo que el momento torsionante aplicado a la flecha en la figura 4.2.2) fue de 60000 N.cm. El ángulo verdadero de torsión es:

$$\theta_{\text{verdadero}} = \frac{T_{\text{actual}}}{T_{\text{calculada}}} \theta_{\text{asumido}} = \left(\frac{60000}{44676}\right)(0.01) = 0.0134 \text{ rad/cm} \quad (4.2.21)$$

Los valores de esfuerzo cortante son escalados en la misma forma. El valor más grande de τ_{zy} para el momento torsionante actual aplicado es:

$$\tau_{zy} = \left(\frac{T_{\text{act}}}{T_{\text{cal}}}\right) \tau_{zy} = \left(\frac{60000}{44676}\right)(2532) = 3400 \text{ N/cm}^2 \quad (4.2.22)$$

CAPÍTULO V.

PROGRAMA DE CÓMPUTO PARA RESOLVER PROBLEMAS DE TORSIÓN.

5.1- PROGRAMA DE CÓMPUTO.

El método de elemento finito envuelve por lo general un gran sistema de ecuaciones lineales y tiene un provecho limitado si no se dispone de una computadora. Un programa de computadora para resolver problemas de torsión escrito en fortran es discutido en esta sección. El programa contiene puntos de diagnóstico que localiza errores, además está acompañado por un programa de generación de malla y una subrutina la cual grafica la malla y los valores máximos de esfuerzo, además de generar archivos de almacenamiento de resultados y un archivo con el cual se puede, por medio de Autocad, generar la malla del problema para graficarla e imprimirla.

El programa de computadora TOR y sus subrutinas resolverá problemas para ecuaciones diferenciales bidimensionales, como:

$$D_x \frac{\partial^2 \phi}{\partial x^2} + D_y \frac{\partial^2 \phi}{\partial y^2} - P\phi + Q = 0 \quad (5.1)$$

El programa permite al usuario el análisis de mallas de elementos triangulares lineales y rectangulares bilineales. Los coeficientes D_x , D_y , P y Q pueden diferir entre elementos. Las ecuaciones (4.1.36) y (4.1.38) son usadas para $[k_D^{(e)}]$ y $[k_P^{(e)}]$ para los elementos triangulares mientras (4.1.49) y (4.1.55) son usados para los elementos rectangulares. Los vectores de fuerza están dados por (4.1.40) y (4.1.46). Los valores de gradiente son calculados usando (4.1.34) y (4.1.51).

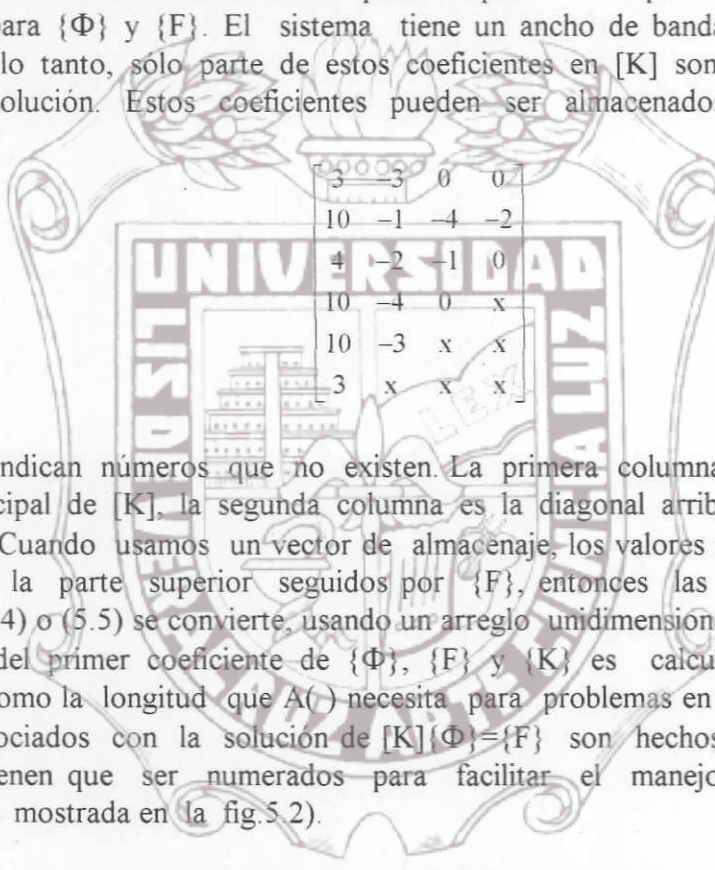
5.2.- DESCRIPCIÓN DEL PROGRAMA (TOR.EXE) .

El programa TOR.EXE está formado por un programa principal TOR y cuatro subrutinas principales ELSTMF, MODIFY, DCMPBD, y SLVBD, así como subrutinas de generación de malla MSH2DG, MSH2DR, CNCTVT, y subrutinas que grafican la malla: GRAFICA, VENTANA, MALLA. Los datos de entrada para TOR y MODIFY se describen en el apéndice A. Los valores numéricos de IN y IO están definidos al comienzo de cada programa y pueden ser cambiados. Este programa almacena los coeficientes de $\{\Phi\}$, $\{F\}$ y $\{K\}$ en un vector $\{A\}$ denotado por $A()$ en el programa. El almacenado vectorial elimina la necesidad para cambiar la dimensión de $[K]$ cada vez que un nuevo problema es resuelto.

El concepto de almacenaje puede ser ilustrado usando el sistema de ecuaciones:

$$\left[\begin{array}{cccccc} 3 & -3 & 0 & 0 & 0 & 0 \\ -3 & 10 & -1 & -4 & -2 & 0 \\ 0 & -1 & 4 & -2 & -1 & 0 \\ 0 & -4 & -2 & 10 & -4 & 0 \\ 0 & -2 & -1 & -4 & 10 & -3 \\ 0 & 0 & 0 & 0 & -3 & 3 \end{array} \right] \left\{ \begin{array}{l} \Phi_1 \\ \Phi_2 \\ \Phi_3 \\ \Phi_4 \\ \Phi_5 \\ \Phi_6 \end{array} \right\} = \left\{ \begin{array}{l} 175 \\ 436 \\ 262 \\ 611 \\ 436 \\ 175 \end{array} \right\} \quad (5.4)$$

El almacenaje convencional de este sistema puede requerir 48 espacios de memoria, 36 para $[K]$ y 6 para $\{\Phi\}$ y $\{F\}$. El sistema tiene un ancho de banda de cuatro y es simétrico, por lo tanto, sólo parte de estos coeficientes en $[K]$ son necesarios para obtener una solución. Estos coeficientes pueden ser almacenados en el arreglo rectangular:



$$\left[\begin{array}{ccccc} 3 & -3 & 0 & 0 & 0 \\ 10 & -1 & -4 & -2 & 0 \\ 4 & -2 & -1 & 0 & x \\ 10 & -4 & 0 & x & x \\ 10 & -3 & x & x & x \\ 3 & x & x & x & x \end{array} \right] \quad (5.5)$$

Donde las x indican números que no existen. La primera columna de (5.5) es la diagonal principal de $[K]$, la segunda columna es la diagonal arriba de la diagonal principal, etc. Cuando usamos un vector de almacenaje, los valores nodales $\{\Phi\}$ son localizados en la parte superior seguidos por $\{F\}$, entonces la matriz $[K]$ que aparecen en (5.4) o (5.5) se convierte, usando un arreglo unidimensional, en la fig.5.1). La ubicación del primer coeficiente de $\{\Phi\}$, $\{F\}$ y $\{K\}$ es calculado dentro del programa así como la longitud que A() necesita para problemas en particular. Todos los cálculos asociados con la solución de $[K]\{\Phi\}=\{F\}$ son hechos dentro de {A}. Los lados tienen que ser numerados para facilitar el manejo de datos. Esta numeración es mostrada en la fig.5.2).

$$A^T = \{\Phi_1, \Phi_1, \Phi_1, \Phi_1, \Phi_1, 175, 436, 262, 611, 436, 175, 3, 10, 4, 10, 10, 3, -3, -1, -2, -4, -3, 0, -4, 1, 0, 0, -2, 0\}$$

Fig.5.1) Almacenaje del sistema de ecuaciones en el vector A.

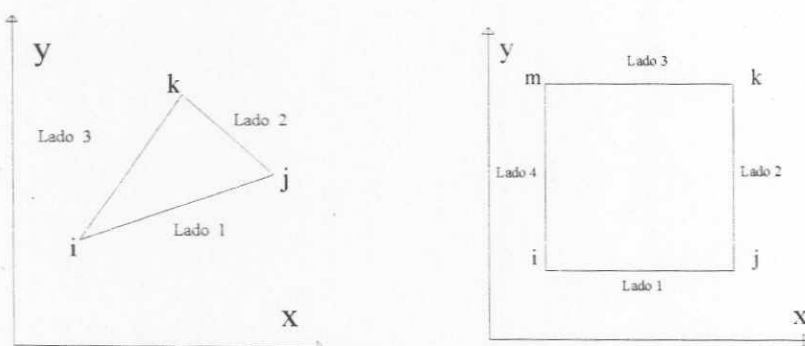


Figura 5.2) Procedimiento para denotar los lados de los elementos.

5.2.1.- SUBRUTINAS .

ELSTMF. La Subrutina ELSTMF evalúa la matriz de rigidez de elemento y el vector de fuerza usando la ecuación mencionada en la sección previa. Las matrices de elemento pueden ser impresas para permitir al usuario revisar los cálculos a mano.

MODIFY. Esta incorpora los valores nodales específicos dentro del sistema de ecuaciones usando el método de eliminación de renglones y la subrutina, también es usada para adherir puntos fuentes o valores directamente a $\{F\}$.

DCMPBD. Esta descompone la matriz global de rigidez $[K]$ en una forma triangular superior usando el método de eliminación Gausiana. Esta subrutina asume que $[K]$ es simétrica y sólo los elementos superiores de la diagonal principal son almacenados. Los coeficientes de $[K]$ son almacenados en un vector.

SLVBD. La Subrutina SLVBD es un programa compañero para DCMPBD. Esta subrutina descompone el vector global de fuerza, $\{F\}$, y resuelve el sistema de ecuaciones usando sustitución posterior. La solución del sistema de ecuaciones es separado en dos subrutinas para que estas puedan ser usadas para resolver problemas dependientes del tiempo, donde cada nuevo paso de tiempo requiere la descomposición de $\{F\}$ pero no requiere que $[K]$ sea convertido en una forma triangular superior.

SUBRUTINAS DE GENERACIÓN DE MALLA :

MSH2DG. La subrutina MSH2DG genera mallas para problemas con geometrías complicadas y se basa en líneas de nudos y de elementos para generar los elementos, ésta genera las coordenadas de los nodos y trabaja con CNCTVT la cual se encarga de los nodos en los elementos.

MSH2DR. Esta subrutina genera mallas para problemas con geometrías simples de formas rectangulares .

CNCTVT. Esta subrutina trabaja junto con MSH2DG, y se encarga de la distribución de los nodos en los elementos .

SUBRUTINAS QUE GRAFICAN LA MALLA :

GRÁFICA. Es una subrutina principal que controla datos y a las demás subrutinas de graficación.

VENTANA. Esta Subrutina crea una ventana que delimita el área a graficar.

MALLA. Ésta grafica la malla y en caso de que el problema cuente con menos de 10 elementos el número de nodo .

5.3.- SOLUCIÓN DE PROBLEMAS CLÁSICOS DE TORSIÓN CON AYUDA DE PROGRAMA DE COMPUTADORA (TOR.EXE).

En esta sección se resuelven algunos problemas clásicos de torsión con ayuda del programa TOR.EXE y se comparan con los valores teóricos. Los parámetros usados son los mismos ocupados en la sección 4.2.2. Se presenta el listado del archivo de datos de entrada y el de salida así como un resumen al final de cada sección.

5.3.1.- SECCIÓN RECTANGULAR.

La sección rectangular que se resolverá es de 4cm por 4cm, se tomará en cuenta la simetría de la sección para simplificar los cálculos, ocupando 1/8 de la sección; para la solución de este problema se prepararon tres mallas, donde la primera malla es de 3 elementos, 2 triangulares y uno rectangular, la segunda es de 66 nodos y 55 elementos entre rectangulares y triangulares, la tercera es de 231 nodos y 400 elementos triangulares, este ejemplo es igual que el de la sección 4.2.2., sólo que aquí se resuelve con ayuda del programa y se comprueban los resultados. Los archivos para el primer elemento son :

Archivo de datos de entrada, primer ejemplo, malla 1 :

SOLUCIÓN A PROB. DE TORSIÓN. (11SR.DAT) .

SECCIÓN RECTANGULAR, 6 NODOS, 3

ELEMENTOS (TRIANG. Y RECTANG.).

(1/8 ÁREA) .

6 3 1 0 1 1 0

1. 1. 0. 2790.

0. 1. 2. 1. 2. 2.

0. 0. 0. 1. 1. 2.

1 1 1 2 4 0

2 1 2 3 5 4

3 1 4 5 6 0

0

3

0.

5

0.

6

0.

0 0

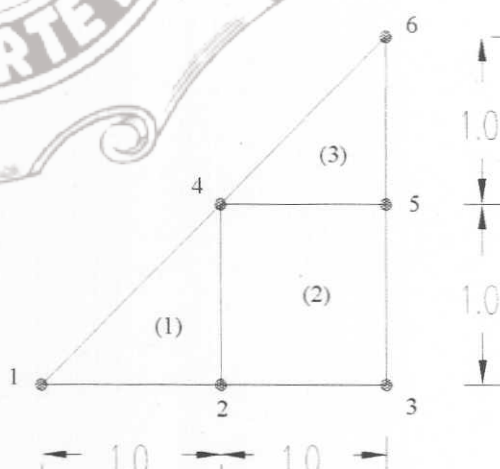


Fig. 5.3.1.1) Malla para la sección rectangular con 3 elementos y 6 nudos.

Tesis de Maestría

79

Archivo de salida, primer ejemplo malla 1:

SOLUCIÓN A PROB. DE TORSIÓN. (11SR.DAT).
SECCIÓN RECTANGULAR, 6 NODOS, 3 ELEMENTOS (TRIANG. Y RECTANG.).
(1/8 ÁREA).

NP = 6
NE = 3
ITYP = 1
IPLVL = 1
MESH = 0

COEFICIENTES DE ECUACIONES

MATERIAL

SET	DX	DY	P	Q
1	.10000E+01	.10000E+01	.00000E+00	.27900E+04

COORDENADAS NÓDALES

NODO	X	Y
1	.00000E+00	.00000E+00
2	.10000E+01	.00000E+00
3	.20000E+01	.00000E+00
4	.10000E+01	.10000E+01
5	.20000E+01	.10000E+01
6	.20000E+01	.20000E+01

DATOS DE LOS ELEMENTOS

NEL	NMTL	NUMERO	NODO
1	1	1	2 4
2	1	2	3 5
3	1	4	5 6

EL ANCHO DE BANDA ES 4 EN EL ELEMENTO 1

ELEMENTO 1

VECTOR DE FUERZA

	MATRIZ DE RIGIDEZ
.46500E+03	.50000E+00 - .50000E+00 .00000E+00
.46500E+03	-.50000E+00 .10000E+01 -.50000E+00
.46500E+03	.00000E+00 -.50000E+00 .50000E+00

ELEMENTO 2

VECTOR DE FUERZA

	MATRIZ DE RIGIDEZ
.69750E+03	.66667E+00 -.16667E+00 -.33333E+00 -.16667E+00
.69750E+03	-.16667E+00 .66667E+00 -.16667E+00 -.33333E+00
.69750E+03	-.33333E+00 -.16667E+00 .66667E+00 -.16667E+00
.69750E+03	-.16667E+00 -.33333E+00 -.16667E+00 .66667E+00

ELEMENTO 3

VECTOR DE FUERZA

	MATRIZ DE RIGIDEZ
.46500E+03	.50000E+00 -.50000E+00 .00000E+00
.46500E+03	-.50000E+00 .10000E+01 -.50000E+00
.46500E+03	.00000E+00 -.50000E+00 .50000E+00

VALORES NODALES CONOCIDOS DE PHI

3	.00000E+00
5	.00000E+00
6	.00000E+00

CANTIDADES CALCULADAS

VALORES NODALES DE PHI

1	.34617E+04	2	.25317E+04	3	.00000E+00
4	.19892E+04	5	.00000E+00	6	.00000E+00

ELEMENTO POSICIÓN TAU (ZX) TAU (ZY)

1	CENTRO	-.54250E+03	.93000E+03
2	NODO 2	-.54250E+03	.25317E+04
	CENTRO	-.27125E+03	.22604E+04
	NODO 5	.00000E+00	.19892E+04
3	CENTRO	.00000E+00	.19892E+04

VOL.BAJO(PHI) PARA LA SECCIÓN= .55843E+04
 ELEMENTO TAU(ZY) MAX ELEMENTO TAU(ZX) MAX VOL(PHI)
 2 .2532E+04 1 -.5425E+03 .5584E+04

Archivo de datos de entrada, primer ejemplo, malla 2:

SOLUCIÓN A PROB. DE TORSIÓN , (12SR.DAT).

SECCIÓN RECTANGULAR 66 NUDOS, 55 ELEMENTOS (RECTANG. Y TRIANG).
 (1/8 ÁREA).

66 55 1 0 1 0 0

1. 1. 0. 2790.

0.	.2	.4	.6	.8	1.	1.2	1.4	1.6	1.8	2.
	.2	.4	.6	.8	1.	1.2	1.4	1.6	1.8	2.
	.4	.6	.8	1.	1.2	1.4	1.6	1.8	2.	
		.6	.8	1.	1.2	1.4	1.6	1.8	2.	
		.8	1.	1.2	1.4	1.6	1.8	2.		
			1.	1.2	1.4	1.6	1.8	2.		
				1.	1.2	1.4	1.6	1.8	2.	
					2.	1.4	1.6	1.8	2.	
						1.4	1.6	1.8	2.	
							1.6	1.8	2.	

0.	0.	0.	0.	0.	0.	0.	0.	0.	0.	0.
.2	.2	.2	.2	.2	.2	.2	.2	.2	.2	.2
.4	.4	.4	.4	.4	.4	.4	.4	.4	.4	.4
.6	.6	.6	.6	.6	.6	.6	.6	.6	.6	.6
.8	.8	.8	.8	.8	.8	.8	.8	.8	.8	.8
1.	1.	1.	1.	1.	1.	1.	1.	1.	1.	1.
1.2	1.2	1.2	1.2	1.2	1.2	1.2	1.2	1.2	1.2	1.2
1.4	1.4	1.4	1.4	1.4	1.4	1.4	1.4	1.4	1.4	1.4
1.6	1.6	1.6	1.6	1.6	1.6	1.6	1.6	1.6	1.6	1.6
1.8	1.8	1.8	1.8	1.8	1.8	1.8	1.8	1.8	1.8	1.8
2.										

1	1	1	2	12	0
2	1	2	3	13	12
3	1	3	4	14	13
4	1	4	5	15	14
5	1	5	6	16	15
6	1	6	7	17	16
7	1	7	8	18	17
8	1	8	9	19	18
9	1	9	10	20	19
10	1	10	11	21	20
11	1	12	13	22	0
12	1	13	14	23	22
13	1	14	15	24	23
14	1	15	16	25	24
15	1	16	17	26	25
29	1	32	33	40	39
30	1	33	34	41	40
25	1	27	28	36	35
26	1	28	29	37	36
27	1	29	30	38	37
28	1	31	32	39	0
40	1	44	45	51	50
41	1	46	47	52	0
42	1	47	48	53	52
43	1	48	49	54	53
44	1	49	50	55	54

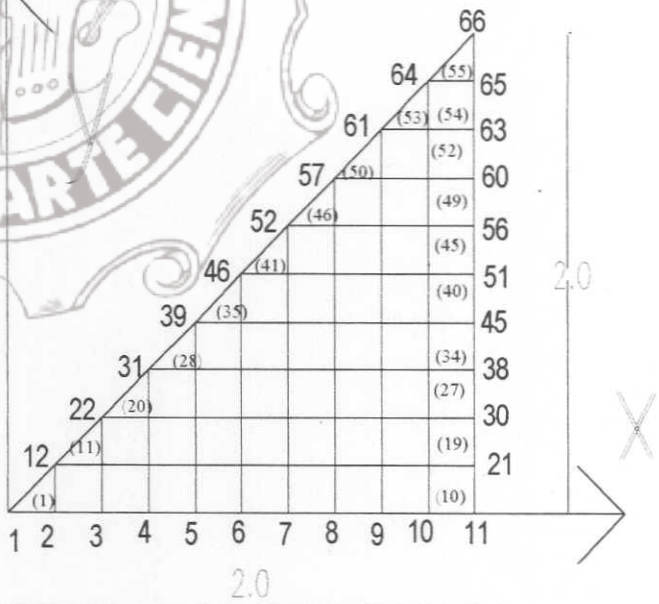


Fig. 5.3.1.2) Malla de 66 nudos y 55 elementos.

45 1 50 51 56 55
46 1 52 53 57 0
47 1 53 54 58 57
48 1 54 55 59 58
49 1 55 56 60 59
50 1 57 58 61 0
51 1 58 59 62 61
52 1 59 60 63 62
53 1 61 62 64 0
54 1 62 63 65 64
55 1 64 65 66 0
31 1 34 35 42 41
32 1 35 36 43 42
33 1 36 37 44 43
34 1 37 38 45 44
35 1 39 40 46 0
36 1 40 41 47 46
37 1 41 42 48 47
38 1 42 43 49 48
39 1 43 44 50 49
16 1 17 18 27 26
17 1 18 19 28 27
18 1 19 20 29 28
19 1 20 21 30 29
20 1 22 23 31 0
21 1 23 24 32 31
22 1 24 25 33 32
23 1 25 26 34 33
24 1 26 27 35 34
0
11 0. 21 0. 30 0. 38 0. 45 0. 51 0.
56 0. 60 0. 63 0. 65 0. 66 0.
0 0 0 0 0 0 0 0 0 0 0 0 0 0 0 0 0 0



Resumen de archivo de salida, primer ejemplo, malla 2 :

SOLUCIÓN A PROB. DE TORSIÓN , (12SR.DAT).

SECCIÓN RECTANGULAR 66 NUDOS, 55 ELEMENTOS (RECTANG. Y TRIANG.).
(1/8 ÁREA).

NP = 66
NE = 55
ITYP = 1
IPLVL = 0
MESH = 0

COEFICIENTES DE ECUACIONES MATERIAL

SET	DX	DY	P	Q
1	.10000E+01	.10000E+01	.00000E+00	.27900E+04

COORDENADAS NODALES

NODO	X	Y
1	.00000E+00	.00000E+00
10	.18000E+01	.00000E+00
11	.20000E+01	.00000E+00
20	.18000E+01	.20000E+00
21	.20000E+01	.20000E+00

Tesis de Maestría

82

22	.40000E+00	.40000E+00
52	.12000E+01	.12000E+01
53	.14000E+01	.12000E+01
57	.14000E+01	.14000E+01
58	.16000E+01	.14000E+01
66	.20000E+01	.20000E+01

DATOS DE LOS ELEMENTOS

NEL	NMTL	NÚMERO NODO			
1	1	1	2	12	
10	1	10	11	21	20
45	1	50	51	56	55
46	1	52	53	57	
55	1	64	65	66	

EL ANCHO DE BANDA ES 12 EN EL ELEMENTO 1

VALORES NODALES CONOCIDOS DE PHI

11	.00000E+00	56	.00000E+00
21	.00000E+00	60	.00000E+00
30	.00000E+00	63	.00000E+00
38	.00000E+00	65	.00000E+00
45	.00000E+00	66	.00000E+00
51	.00000E+00		

CANTIDADES CALCULADAS

VALORES NODALES DE PHI

1	.83012E+04	2	.32640E+04	3	.31818E+04
10	.70040E+03	11	.00000E+00	12	.32423E+04
46	.20244E+04	47	.17685E+04	48	.14473E+04
64	.17311E+03	65	.00000E+00	66	.00000E+00

ELEMENTO POSICIÓN

ELEMENTO	POSICIÓN	TAU (ZX)		TAU (ZY)
		CENTRO	NODO	
10	NODO 10	-.10850E+03		.18600E+03
	CENTRO	-.23206E+02		.35020E+04
	NODO 21	-.11603E+02		.34904E+04
45	NODO 50	-.00000E+00		.34788E+04
	CENTRO	-.30658E+03		.28784E+04
	NODO 56	-.00000E+00		.25718E+04
46	CENTRO	-.11337E+04		.13515E+04

VOL. BAJO (PHI) PARA LA SECCIÓN = .62491E+04

ELEMENTO	TAU (ZY) MAX	ELEMENTO	TAU (ZX) MAX	VOL (PHI)
10	.3502E+04	46	-.1134E+04	.6249E+04

Archivo de datos de entrada, primer ejemplo, malla 3 :

SOLUCIÓN A PROB. DE TORSIÓN, (16SR.DAT)

SECCIÓN RECTANGULAR, 231 NUDOS, 400 ELEMENTOS (TRIANG.)

(1/8 ÁREA)

231 400 1 0 1 0 2

1. 1. 0. 2790.

0 3

400 231

21

1	21	1	0.0	0.0	2.0	0.0	10
22	41	1	0.1	0.1	2.0	0.1	10
42	60	1	0.2	0.2	2.0	0.2	10
61	78	1	0.3	0.3	2.0	0.3	10
79	95	1	0.4	0.4	2.0	0.4	10
96	111	1	0.5	0.5	2.0	0.5	10
112	126	1	0.6	0.6	2.0	0.6	10

127	140	1	0.7	0.7	2.0	0.7	10															
141	153	1	0.8	0.8	2.0	0.8	10															
154	165	1	0.9	0.9	2.0	0.9	10															
166	176	1	1.0	1.0	2.0	1.0	10															
177	186	1	1.1	1.1	2.0	1.1	10															
187	195	1	1.2	1.2	2.0	1.2	10															
196	203	1	1.3	1.3	2.0	1.3	10															
204	210	1	1.4	1.4	2.0	1.4	10															
211	216	1	1.5	1.5	2.0	1.5	10															
217	221	1	1.6	1.6	2.0	1.6	10															
222	225	1	1.7	1.7	2.0	1.7	10															
226	228	1	1.8	1.8	2.0	1.8	10															
229	230	1	1.9	1.9	2.0	1.9	1															
231	232	1	2.0	2.0	0	0	1															
39																						
1	20	1	1	3	1	2	22															
21	39	1	1	3	2	23	22															
40	58	1	1	3	22	23	42															
59	76	1	1	3	23	43	42															
77	94	1	1	3	42	43	61															
95	111	1	1	3	43	62	61															
112	128	1	1	3	61	62	79															
129	144	1	1	3	62	80	79															
145	160	1	1	3	79	80	96															
161	175	1	1	3	80	97	96															
176	190	1	1	3	96	97	112															
191	204	1	1	3	97	113	112															
205	218	1	1	3	112	113	127															
219	231	1	1	3	113	128	127															
232	244	1	1	3	127	128	141															
245	256	1	1	3	128	142	141															
257	268	1	1	3	141	142	154															
269	279	1	1	3	142	155	154															
280	290	1	1	3	154	155	166															
291	300	1	1	3	155	167	166															
301	310	1	1	3	166	167	177															
311	319	1	1	3	167	178	177															
320	328	1	1	3	177	178	187															
329	336	1	1	3	178	188	187															
337	344	1	1	3	187	188	196															
345	351	1	1	3	188	197	196															
352	358	1	1	3	196	197	204															
359	364	1	1	3	197	205	204															
365	370	1	1	3	204	205	211															
371	375	1	1	3	205	212	211															
376	380	1	1	3	211	212	217															
381	384	1	1	3	212	218	217															
385	388	1	1	3	217	218	222															
389	391	1	1	3	218	223	222															
392	394	1	1	3	222	223	226															
395	396	1	1	3	223	227	226															
397	398	1	1	3	226	227	229															
399	399	0	0	3	227	230	229															
400	400	0	0	3	229	230	231															
0																						
21	0.	41	0.	60	0.	78	0.	95	0.	111	0.	126	0.	140	0.	153	0.	165	0.	176	0.	
186	0.	195	0.	203	0.	210	0.	216	0.	221	0.	225	0.	228	0.	230	0.	231	0.	0		
0																						
0	0	0	0	0	0	0	0	0	0	0	0	0	0	0	0	0	0	0	0	0	0	0

Fig. 5.3.1.3) Malla 3, de 231 nudos y 400 elementos.



Resumen de archivo de salida, primer ejemplo, malla 3 :

SOLUCIÓN A PROB. DE TORSIÓN, (16SR.DAT)
SECCIÓN RECTANGULAR, 231 NUDOS, 400 ELEMENTOS (TRIANG.)
(1/8 ÁREA)

NP = 231
NE = 400
ITYP = 1
IPLVL = 0
MESH = 2

COEFICIENTES DE ECUACIONES MATERIAL

SET	DX	DY	P	Q
1	.10000E+01	.10000E+01	.00000E+00	.27900E+04

COORDENADAS NODALES

NODO	X	Y
1	.00000E+00	.00000E+00
20	.19818E+01	.00000E+00
21	.20000E+01	.00000E+00
41	.20000E+01	.10000E+00
178	.12818E+01	.11000E+01
187	.12000E+01	.12000E+01
188	.13818E+01	.12000E+01

DATOS DE LOS ELEMENTOS

NEL	NMTL	NÚMERO NODO
1	1	1 2 22
20	1	20 21 41
328	1	185 186 195
329	1	178 188 187
400	1	229 230 231

EL ANCHO DE BANDA ES 22 EN EL ELEMENTO 1

ELEMENTO	POSICIÓN	TAU (ZX)	TAU (ZY)
1	CENTRO	-.23624E+02	.14976E+03
19	CENTRO	-.37388E-01	.36771E+04
20	CENTRO	.00000E+00	.37358E+04
21	CENTRO	-.12599E+03	.27488E+03
329	CENTRO	-.11240E+04	.13586E+04
400	CENTRO	.00000E+00	.57023E+03

VOL.BAJO (PHI) PARA LA SECCIÓN= .62656E+04

ELEMENTO	TAU (ZY) MAX	ELEMENTO	TAU (ZX) MAX	VOL (PHI)
20	.3736E+04	329	-.1124E+04	.6266E+04

Los valores teóricos, para la sección rectangular son obtenidos con las ecuaciones (2.8.3) para el esfuerzo máximo, (el cual se presenta en el punto medio de los lados) y la (2.8.6) para el momento torsionante, los valores finales del momento torsionante ocupando el programa se obtienen multiplicando por ocho el valor obtenido, ya que se ocupó un octavo del área total.

El valor que se ocupa del módulo de elasticidad al cortante ($G=8x(10^6)N/cm^2$) será para un material de acero, laminado en caliente, bajo contenido de carbón y el ángulo de torsión por unidad de longitud ($\theta = .01^\circ/cm = .00017453 \text{ rad}/\text{cm}$) son los mismos que se ocuparon para el ejemplo en detalle del mismo problema en la sección (4.2.2).

De lo anterior se tiene que:

$$\tau_{\max} = k_2 G \theta a = (.675)(2792)(2) = 3769.2 \text{ N/cm}^2$$

$$M_t = k_1 G \theta (2a)^3 (2b) = .1406(8x(10^6))(.0001745)(2)(2)^4 = 50247 \text{ N-cm.}$$

Resultados 11SR :

ELEMENTO	TAU (ZY) MAX	ELEMENTO	TAU (ZX) MAX	VOL (PHI)
2	.2532E+04	1	-.5425E+03	(.5584E+04)*8=44672

Resultados 12SR :

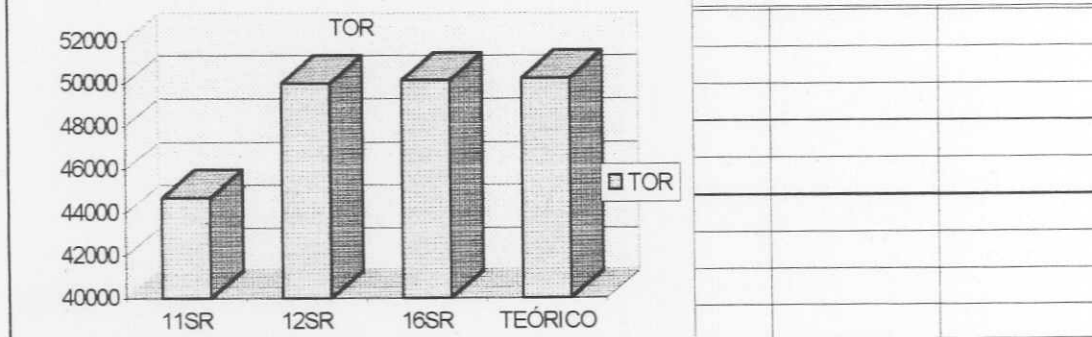
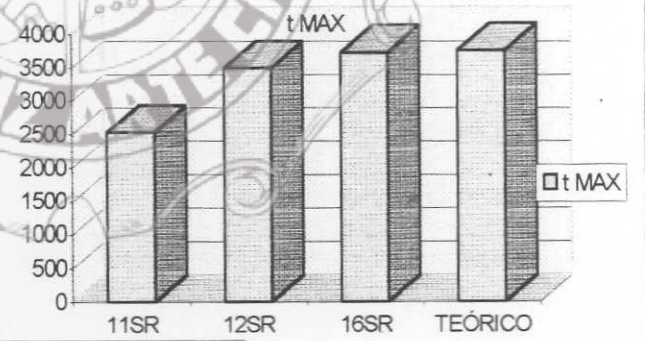
ELEMENTO	TAU (ZY) MAX	ELEMENTO	TAU (ZX) MAX	VOL (PHI)
10	.3502E+04	46	-.1134E+04	(.6249E+04)*8=49992

Resultados 16SR2 :

ELEMENTO	TAU (ZY) MAX	ELEMENTO	TAU (ZX) MAX	VOL (PHI)
20	.3736E+04	329	-.1124E+04	(.6266E+04)*8=50128

RESULTADOS SECCIÓN 5.3.1. SECCIÓN RECTANGULAR.

PROB.	t MAX	TOR
11SR	2532	44672
12SR	3502	49992
16SR	3736	50128
TEÓRICO	3762	50247



5.3.2.- SECCIÓN CIRCULAR.

La sección circular que se resolverá es de 3cm de radio, se tomará en cuenta la simetría de la sección para simplificar los cálculos, ocupando 1/12 de la sección, la primera malla es de 16 nodos y 12 elementos (triangulares y rectangulares), la segunda es de 49 nodos y 42 elementos (rectangulares y triangulares). En esta sección y en las subsecuentes sólo se presentará el archivo de datos y un resumen de los valores más importantes del archivo de resultados, ya que las corridas de las secciones siguientes generan mucha información acerca de los elementos (geometría y conectividad) y los resultados de los esfuerzos en cada elemento y al presentar todo hace un volumen de páginas no adecuado.

ARCHIVO DE DATOS, SEGUNDO EJEMPLO, MALLA 1 :

SOLUCIÓN A PROB. DE TORSIÓN. (SC1.DAT)
SECCIÓN CIRCULAR, 16 NODOS, 12 ELEMENTOS.

(1/12 ÁREA)

16	12	1	0	1	1	0	
1.	1.	0.	2790.				
0.	.866	1.732	2.5980762111	2.828427125	2.958039892	3.	
			2.5980762111	2.828427125	2.958039892		
			1.732	2.5980762111	2.828427125		
				2.5980762111			
0.	0.	0.	0.	0.	0.		
.5	.5	.5	.5	.5			
1.	1.	1.					
1.5							
1	1	1	2	8	0		
2	1	2	3	9	0		
3	1	3	4	10	9		
4	1	4	5	11	10		
5	1	5	6	12	11		
6	1	6	7	12	0		
7	1	8	9	13	0		
8	1	9	10	14	13		
9	1	10	11	15	14		
10	1	11	12	15	0		
11	1	13	14	16	0		
12	1	14	15	16	0		
0							
7	0.	12	0.	15	0.	16	0.
0	0	0	0	0	0	0	0

UNIVERSIDAD
VERACRUZ ARTE LÍNEAL



Fig. 5.3.2.1) Malla para el problema SC1.

RESUMEN DE RESULTADOS, SEGUNDO EJEMPLO, MALLA 1 :

COORDENADAS NODALES

NODO	X	Y
6	.29580E+01	.00000E+00
7	.30000E+01	.00000E+00
12	.29580E+01	.50000E+00
13	.17320E+01	.10000E+01
14	.25981E+01	.10000E+01
16	.25981E+01	.15000E+01

Tesis de Maestría

87

DATOS DE LOS ELEMENTOS
NEL NMTL NÚMERO NODO
6 1 6 7 12
11 1 13 14 16

VALORES NODALES CONOCIDOS DE PHI

7 .00000E+00
12 .00000E+00
16 .00000E+00

CANTIDADES CALCULADAS

VALORES NODALES DE PHI

6	.17357E+03	7	.00000E+00	12	.00000E+00
13	.35388E+04	14	.84320E+03	16	.00000E+00

ELEMENTO	POSICIÓN	TAU (ZX)	TAU (ZY)
6	CENTRO	-.34714E+03	.41366E+04
11	CENTRO	-.16864E+04	.31125E+04

VOL. BAJO (PHI) PARA LA SECCION = .14418E+05

ELEMENTO	TAU (ZY) MAX	ELEMENTO	TAU (ZX) MAX	VOL (PHI)
6	.4137E+04	11	-.1686E+04	.1442E+05

ARCHIVO DE DATOS, SEGUNDO EJEMPLO, MALLA 2 :

SOLUCIÓN A PROB. DE TORSIÓN. (SC2.DAT).

SECCIÓN CIRCULAR, 49 NODOS, 42 ELEMENTOS.

(1/12 ÁREA)

49 42 1 0 1 1 0
1. 1. 0. 2790

0. .433 .866 1.299 1.732 2.165 2.5980762111 2.727178029 2.828427125
2.90473751 2.958039892 2.989565186 3.
.433 .866 1.299 1.732 2.165 2.5980762111 2.727178029 2.828427125
2.90473751 2.958039892 2.989565186
.866 1.299 1.732 2.165 2.5980762111 2.727178029 2.828427125
2.90473751 2.958039892
1.299 1.732 2.165 2.5980762111 2.727178029 2.828427125
2.90473751
1.732 2.165 2.5980762111 2.727178029 2.828427125
2.165 2.5980762111 2.727178029
2.5980762111

0. 0. 0. 0. 0. 0. 0. 0. 0. 0. 0. 0.
.25 .25 .25 .25 .25 .25 .25 .25 .25 .25 .25 .25
.5 .5 .5 .5 .5 .5 .5 .5 .5 .5 .5 .5
.75 .75 .75 .75 .75 .75 .75 .75 .75 .75 .75 .75
1. 1. 1. 1. 1. 1. 1. 1. 1. 1. 1. 1.
1.25 1.25 1.25 1.25 1.25 1.25 1.25 1.25 1.25 1.25 1.25 1.25
1.5 1.5 1.5 1.5 1.5 1.5 1.5 1.5 1.5 1.5 1.5 1.5

1 1 1 2 14 0
2 1 2 3 15 14
3 1 3 4 16 15
4 1 4 5 17 16
5 1 5 6 18 17
6 1 6 7 19 18
7 1 7 8 20 19

| | | | | | |
|----|---|----|----|----|----|
| 8 | 1 | 8 | 9 | 21 | 20 |
| 9 | 1 | 9 | 10 | 22 | 21 |
| 10 | 1 | 10 | 11 | 23 | 22 |
| 11 | 1 | 11 | 12 | 24 | 23 |
| 12 | 1 | 12 | 13 | 24 | 0 |
| 13 | 1 | 14 | 15 | 25 | 0 |
| 14 | 1 | 15 | 16 | 26 | 25 |
| 15 | 1 | 16 | 17 | 27 | 26 |
| 16 | 1 | 17 | 18 | 28 | 27 |
| 17 | 1 | 18 | 19 | 29 | 28 |
| 18 | 1 | 19 | 20 | 30 | 29 |
| 19 | 1 | 20 | 21 | 31 | 30 |
| 20 | 1 | 21 | 22 | 32 | 31 |
| 21 | 1 | 22 | 23 | 33 | 32 |
| 22 | 1 | 23 | 24 | 33 | 0 |
| 23 | 1 | 25 | 26 | 34 | 0 |
| 24 | 1 | 26 | 27 | 35 | 34 |
| 25 | 1 | 27 | 28 | 36 | 35 |
| 26 | 1 | 28 | 29 | 37 | 36 |
| 27 | 1 | 29 | 30 | 38 | 37 |
| 28 | 1 | 30 | 31 | 39 | 38 |
| 29 | 1 | 31 | 32 | 40 | 39 |
| 30 | 1 | 32 | 33 | 40 | 0 |
| 31 | 1 | 34 | 35 | 41 | 0 |
| 32 | 1 | 35 | 36 | 42 | 41 |
| 33 | 1 | 36 | 37 | 43 | 42 |
| 34 | 1 | 37 | 38 | 44 | 43 |
| 35 | 1 | 38 | 39 | 45 | 44 |
| 36 | 1 | 39 | 40 | 45 | 0 |
| 37 | 1 | 41 | 42 | 46 | 0 |
| 38 | 1 | 42 | 43 | 47 | 46 |
| 39 | 1 | 43 | 44 | 48 | 47 |
| 0 | | | | | |

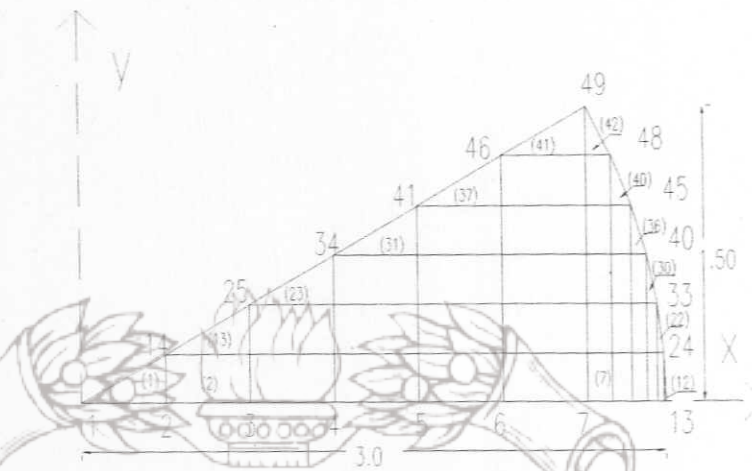
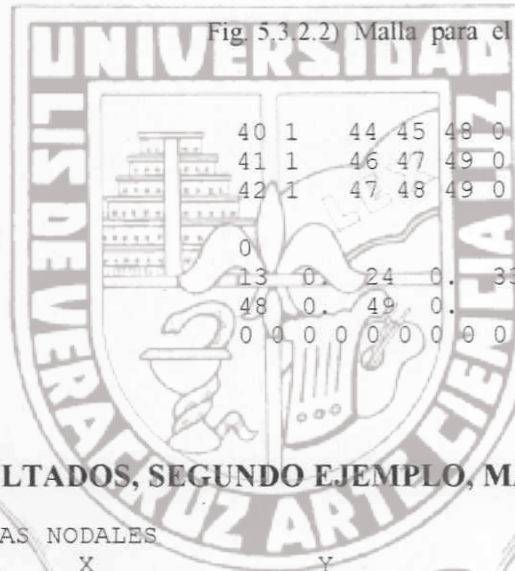


Fig. 5.3.2.2) Malla para el problema SC2



RESUMEN DE RESULTADOS, SEGUNDO EJEMPLO, MALLA 2:

COORDENADAS NODALES

| NODO | X | Y |
|------|------------|------------|
| 12 | .29896E+01 | .00000E+00 |
| 13 | .30000E+01 | .00000E+00 |
| 24 | .29896E+01 | .25000E+00 |
| 46 | .21650E+01 | .12500E+01 |
| 47 | .25981E+01 | .12500E+01 |
| 49 | .25981E+01 | .15000E+01 |

DATOS DE LOS ELEMENTOS

| NEL | NMTL | NÚMERO | NODO |
|-----|------|--------|-------|
| 12 | 1 | 12 | 13 24 |
| 41 | 1 | 46 | 47 49 |

EL ANCHO DE BANDA ES 14 EN EL ELEMENTO 1
VALORES NODALES CONOCIDOS DE PHI

13 .00000E+00 24 .00000E+00 49 .00000E+00

CANTIDADES CALCULADAS

VALORES NODALES DE PHI

| | | | | | |
|----|------------|----|------------|----|------------|
| 12 | .43551E+02 | 13 | .00000E+00 | 24 | .00000E+00 |
| 46 | .19284E+04 | 47 | .47120E+03 | 49 | .00000E+00 |

| ELEMENTO | POSICIÓN | TAU (ZX) | TAU (ZY) |
|---------------------------------|--------------|--------------|--------------|
| 12 | CENTRO | - .17420E+03 | .41736E+04 |
| 41 | CENTRO | - .18848E+04 | .33648E+04 |
| VOL.BAJO(PHI) PARA LA SECCIÓN = | | | .14696E+05 |
| ELEMENTO | TAU (ZY) MAX | ELEMENTO | TAU (ZX) MAX |
| 12 | .4174E+04 | 41 | - .1885E+04 |
| | | | VOL (PHI) |
| | | | .1470E+05 |

Los valores teóricos, son obtenidos usando las ecuaciones (2.2.4) para el esfuerzo máximo y la (2.2.3) para el momento torsiónante, los valores finales del momento torsionante, ocupando el programa se obtienen multiplicando por doce el valor obtenido, ya que se considero la simetría de la sección. El valor que se ocupa del módulo de elasticidad al cortante ($G=8 \times 10^6 \text{ N/cm}^2$) será para un material de acero, laminado en caliente, bajo contenido de carbono y el ángulo de torsión por unidad de longitud ($\theta = .01^\circ/\text{cm} = .00017453 \text{ rad/cm}$). De lo anterior se tiene que:

$$\tau_{\max} = G \theta r = (8 \times 10^6)(.0001745)(3) = 4188 \text{ N/cm}^2$$

$$M_t = G \theta J_0 = (8 \times 10^6)(.0001745)(\pi(3)^4/2) = 177,619.37 \text{ N-cm}$$

Resultados SC1:

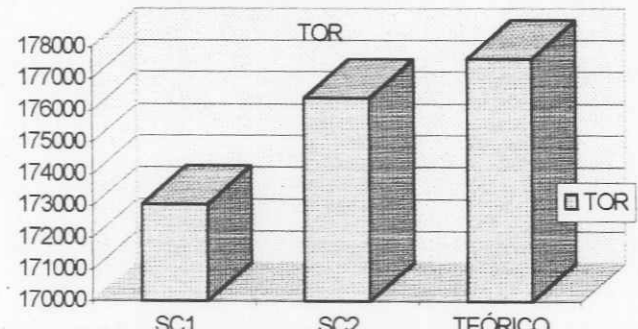
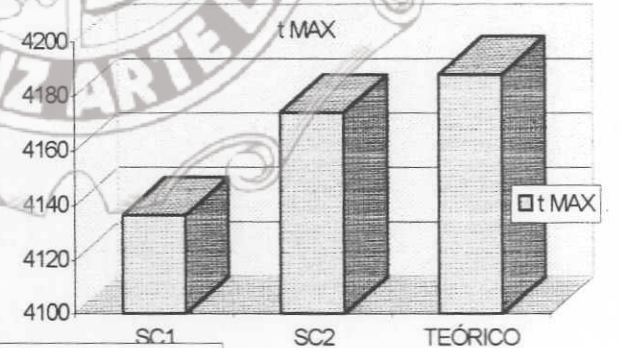
| ELEMENTO | TAU(ZY)MAX | ELEMENTO | TAU(ZX)MAX | VOL(PHI) |
|----------|------------|----------|-------------|-----------------------|
| 6 | .4137E+04 | 11 | - .1686E+04 | (.1442E+05)*12=173040 |

Resultados SC2:

| ELEMENTO | TAU(ZY)MAX | ELEMENTO | TAU(ZX)MAX | VOL(PHI) |
|----------|------------|----------|-------------|-----------------------|
| 12 | .4174E+04 | 41 | - .1885E+04 | (.1470E+05)*12=176400 |

RESULTADOS SECCIÓN 5.3.2 SECCIÓN CIRCULAR

| PROB. | t MAX | TOR |
|---------|-------|--------|
| SC1 | 4137 | 173040 |
| SC2 | 4174 | 176400 |
| TEÓRICO | 4188 | 177619 |



5.3.3.- SECCIÓN ELÍPTICA.

La sección elíptica que se resolverá es de 2cm de semieje mayor y 1.5 cm de semieje menor, se tomará en cuenta la simetría de la sección para simplificar los cálculos, ocupando 1/4 de la sección, la primera malla es de 10 elementos, entre triangulares y rectangulares y 15 nodos, la segunda es de 39 nodos y 49 elementos triangulares.



ARCHIVO DE DATOS (SE1.DAT), TERCER EJEMPLO, MALLA 1:

SOLUCIÓN A PROB. DE TORSIÓN , (SE1.DAT)
SECCIÓN ELÍPTICA, 15 NUDOS, 10 ELEMENTOS (TRIANG. Y RECTANG.)
(1/4 ÁREA)

```
15 10 1 0 1 0 0
1. 1. 0. 2790.
0. .5 1. 1.5 2. 0. .5 1. 1.5 0. .5 1. 0. .5 0.
0. 0. 0. 0. 0. .99216 .99216 .99216 .99216 1.299 1.299 1.299 1.4524
1.4524 1.5
1 1 1 2 7 6
2 1 2 3 8 7
3 1 3 4 9 8
4 1 4 5 9 0
5 1 6 7 11 10
6 1 7 8 12 11
7 1 8 9 12 0
8 1 10 11 14 13
9 1 11 12 14 0
10 1 13 14 15 0
0
5 0. 9 0. 12 0. 14 0. 15 0.
0 0 0 0 0 0 0 0 0 0 0 0 0 0 0 0
```

RESUMEN DE RESULTADOS, TERCER EJEMPLO, MALLA 1 :

COORDENADAS NODALES

| NODO | X | Y |
|------|------------|------------|
| 4 | .15000E+01 | .00000E+00 |
| 5 | .20000E+01 | .00000E+00 |
| 9 | .15000E+01 | .99216E+00 |
| 13 | .00000E+00 | .14524E+01 |
| 14 | .50000E+00 | .14524E+01 |
| 15 | .00000E+00 | .15000E+01 |

DATOS DE LOS ELEMENTOS

| NEL | NMTL | NÚMERO | NODO |
|-----|------|--------|-------|
| 4 | 1 | 4 | 5 9 |
| 10 | 1 | 13 | 14 15 |

VALORES NODALES CONOCIDOS DE PHI

| | |
|----|------------|
| 5 | .00000E+00 |
| 9 | .00000E+00 |
| 14 | .00000E+00 |
| 15 | .00000E+00 |

CANTIDADES CALCULADAS

VALORES NODALES DE PHI

| | | | | | |
|----|------------|----|------------|----|------------|
| 4 | .81041E+03 | 5 | .00000E+00 | 9 | .00000E+00 |
| 13 | .12318E+03 | 14 | .00000E+00 | 15 | .00000E+00 |

| ELEMENTO | POSICIÓN | TAU (ZX) | TAU (ZY) |
|----------|----------|-------------|------------|
| 4 | CENTRO | -.81682E+03 | .16208E+04 |
| 10 | CENTRO | -.25877E+04 | .24635E+03 |

VOL. BAJO (PHI) PARA LA SECCIÓN = .40120E+04

| ELEMENTO | TAU (ZY) MAX | ELEMENTO | TAU (ZX) MAX | VOL (PHI) |
|----------|--------------|----------|--------------|-----------|
| 4 | .1621E+04 | 10 | -.2588E+04 | .4012E+04 |

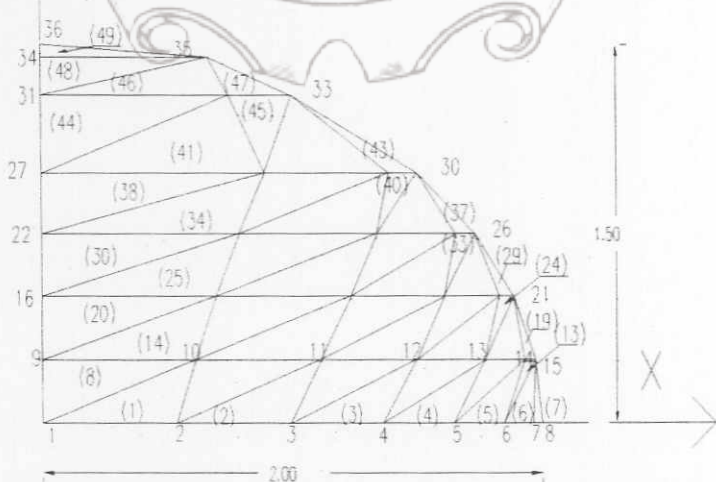


Fig. 5.3.3.2) Malla de problema SE2.

ARCHIVO DE DATOS (SE2.DAT), TERCER EJEMPLO, MALLA 2 :

SOLUCIÓN A PROB. DE TORSIÓN , (SE2.DAT)
SECCIÓN ELÍPTICA, 36 NUDOS, 49 ELEMENTOS (TRIANG.)
(1/4 ÁREA)

36 49 1 0 1 0 2
1. 1. 0. 2790.

0 3
49 36
8

| | | | | | | | |
|----|----|-------|-------|--------|---------------------------|--------|----|
| 1 | 8 | 1 | 0.0 | 0.0 | 2.0 | 0.0 | 16 |
| 9 | 15 | 1 | 0.0 | .25 | 1.9720 | .25 | 14 |
| 16 | 21 | 1 | 0.0 | .5 | 1.885618 | .5 | 12 |
| 22 | 26 | 1 | 0.0 | .75 | 1.732050 | .75 | 10 |
| 27 | 30 | 1 | 0.0 | .99216 | 1.5 | .99216 | 8 |
| 31 | 33 | 1 | 0.0 | 1.299 | 1.0 | 1.299 | 3 |
| 34 | 35 | 1 | 0.0 | 1.4524 | .5 | 1.4524 | 2 |
| 36 | 37 | 0 | 0.0 | 1.5 | 0. | 0. | 1 |
| 19 | | | | | | | |
| 1 | 6 | 1 1 3 | 1 2 | 10 | 41 42 1 1 3 27 28 | 32 | |
| 7 | 7 | 0 0 3 | 7 8 | 15 | 43 43 0 0 3 29 30 | 33 | |
| 8 | 13 | 1 1 3 | 1 10 | 9 | 44 45 1 1 3 27 32 | 31 | |
| 14 | 18 | 1 1 3 | 9 10 | 17 | 46 46 0 0 3 31 32 | 35 | |
| 19 | 19 | 0 0 3 | 14 15 | 21 | 47 47 0 0 3 32 33 | 35 | |
| 20 | 24 | 1 1 3 | 9 17 | 16 | 48 48 0 0 3 31 35 | 34 | |
| 25 | 28 | 1 1 3 | 16 17 | 23 | 49 49 0 0 3 34 35 | 36 | |
| 29 | 29 | 0 0 3 | 20 21 | 26 | 0 | | |
| 30 | 33 | 1 1 3 | 16 23 | 22 | 8 0. 15 0. 21 0. 26 0. | | |
| 34 | 36 | 1 1 3 | 22 23 | 28 | 30 0. 33 0. 35 0. 36 0. | | |
| 37 | 37 | 0 0 3 | 25 26 | 30 | 0 | | |
| 38 | 40 | 1 1 3 | 22 28 | 27 | 0 0 0 0 0 0 0 0 0 0 0 0 0 | | |

RESUMEN DE RESULTADOS, TERCER EJEMPLO, MALLA 2 :

COORDENADAS NODALES

| NODO | X | Y |
|------|------------|-------------|
| 6 | 18487E+01 | 0.00000E+00 |
| 14 | .19282E+01 | .25000E+00 |
| 15 | .19720E+01 | .25000E+00 |
| 34 | .00000E+00 | .14524E+01 |
| 35 | .66667E+00 | .14524E+01 |
| 36 | .00000E+00 | .15000E+01 |

DATOS DE LOS ELEMENTOS

| NEL | NMTL | NÚMERO | NODO |
|-----|------|--------|-------|
| 13 | 1 | 6 | 15 14 |
| 49 | 1 | 34 | 35 36 |

EL ANCHO DE BANDA ES 10 EN EL ELEMENTO 1

VALORES NODALES CONOCIDOS DE PHI

| | | | | | |
|----|------------|----|------------|----|------------|
| 15 | .00000E+00 | 35 | .00000E+00 | 36 | .00000E+00 |
|----|------------|----|------------|----|------------|

CANTIDADES CALCULADAS

VALORES NODALES DE PHI

| | | | | | |
|----|------------|----|------------|----|------------|
| 6 | .26869E+03 | 14 | .82651E+02 | 15 | .00000E+00 |
| 34 | .12693E+03 | 35 | .00000E+00 | 36 | .00000E+00 |

Tesis de Maestría

93

| ELEMENTO | POSICIÓN | TAU (ZX) | TAU (ZY) |
|----------|----------|--------------|------------|
| 13 | CENTRO | - .14485E+03 | .18861E+04 |
| 49 | CENTRO | - .26667E+04 | .19040E+03 |

| | | |
|---------------|-------------------|---------------------------------|
| VOL.BAJO(PHI) | PARA LA SECCIÓN = | .45964E+04 |
| ELEMENTO | TAU (ZY) MAX | ELEMENTO TAU (ZX) MAX VOL (PHI) |
| 13 | .1886E+04 | 49 -.2667E+04 .4596E+04 |

Los valores obtenidos del programa de computadora se presentaron anteriormente y los valores teóricos son obtenidos usando las ecuaciones (2.4.2) para el esfuerzo máximo y la (2.4.d) para el momento torsiónante. Los valores que se ocupan del módulo de elasticidad al cortante ($G=8 \times 10^6 \text{ N/cm}^2$) será para un material de acero, laminado en caliente, bajo contenido de carbón y el ángulo de torsión por unidad de longitud ($\theta = .01^\circ/\text{cm} = .00017453 \text{ rad/cm}$). De lo anterior se tiene que:

$$M_t = -\frac{\pi a^3 b^3}{2(a^2 + b^2)} F = 18,932.49397, \quad \tau_{\max} = \frac{2 M_t}{\pi a b^2} = 2,678.4$$

Resultados de SE1:

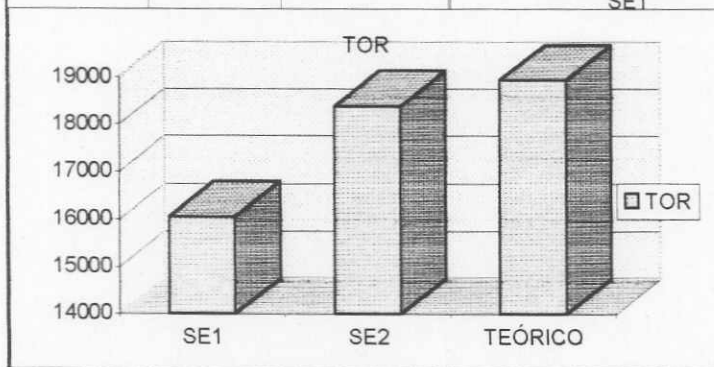
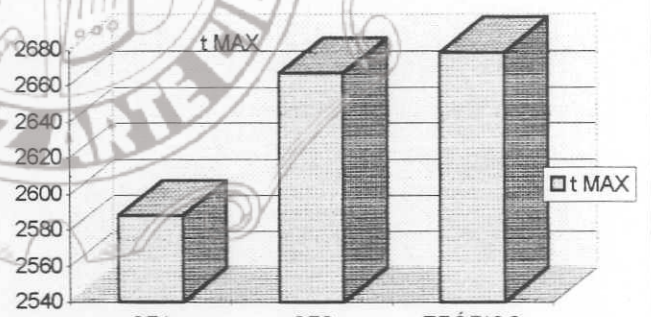
| ELEMENTO | TAU(ZY)MAX | ELEMENTO | TAU(ZX)MAX | VOL(PHI) |
|----------|------------|----------|------------|---------------------|
| 4 | .1621E+04 | 10 | -.2588E+04 | (.4012E+04)*4=16048 |

Resultados de SE2:

| ELEMENTO | TAU(ZY)MAX | ELEMENTO | TAU(ZX)MAX | VOL(PHI) |
|----------|------------|----------|------------|---------------------|
| 13 | .1886E+04 | 49 | -.2667E+04 | (.4596E+04)*4=18384 |

RESULTADOS SECCIÓN 5.3.3. SECCIÓN ELÍPTICA.

| PROB. | t MAX | TOR |
|---------|-------|-------|
| SE1 | 2588 | 16048 |
| SE2 | 2667 | 18384 |
| TEÓRICO | 2678 | 18932 |



5.3.4.- SECCIÓN TRIANGULAR EQUILÁTERA.

La sección triangular equilátera que se resolverá es de 3cm por lado, se tomará en cuenta la simetría de la sección para simplificar los cálculos, ocupando 1/2 de la sección, la primera malla es de 21 elementos, entre triangulares y rectangulares y 28 nodos, la segunda es de 91 nodos y 144 elementos triangulares, la tercera es de 231 nodos y 400 elementos triangulares.

ARCHIVO DE DATOS, CUARTO EJEMPLO, MALLA 1 :

SOLUCIÓN A PROB. DE TORSIÓN. (41STE.DAT).

SECCIÓN TRIANGULAR EQUILÁTERA. 28 NUDOS, 21 ELEMENTOS.

ELEMENTOS RECTANG. Y TRIANG. (1/2 área)

28 21 1 0 1 0 0
1. 1. 0. 2790.

0. .433 .866 1.299 1.732 2.165 2.5980762111
.433 .866 1.299 1.732 2.165 2.5980762111
.866 1.299 1.732 2.165 2.5980762111
1.299 1.732 2.165 2.5980762111
1.732 2.165 2.5980762111
2.165 2.5980762111
2.5980762111

0. 0. 0. 0.
.25 .25 .25 .25 .25 .25
.5 .5 .5 .5 .5 .5
.75 .75 .75 .75
1. 1. 1.
1.25 1.25
1.5

1 1 1 2 8 0
2 1 2 3 9 8
3 1 3 4 10 9
4 1 4 5 11 10
5 1 5 6 12 11
6 1 6 7 13 12
7 1 8 9 14 0
8 1 9 10 15 14
9 1 10 11 16 15
10 1 11 12 17 16
11 1 12 13 18 17
12 1 14 15 19 0
13 1 15 16 20 19
14 1 16 17 21 20
15 1 17 18 22 21
16 1 19 20 23 0
17 1 20 21 24 23
18 1 21 22 25 24
19 1 23 24 26 0
20 1 24 25 27 26
21 1 26 27 28 0
0

1 0. 7 0. 8 0. 13 0. 14 0. 18 0. 19 0. 22 0. 23 0.
25 0. 26 0. 27 0. 28 0.
0 0

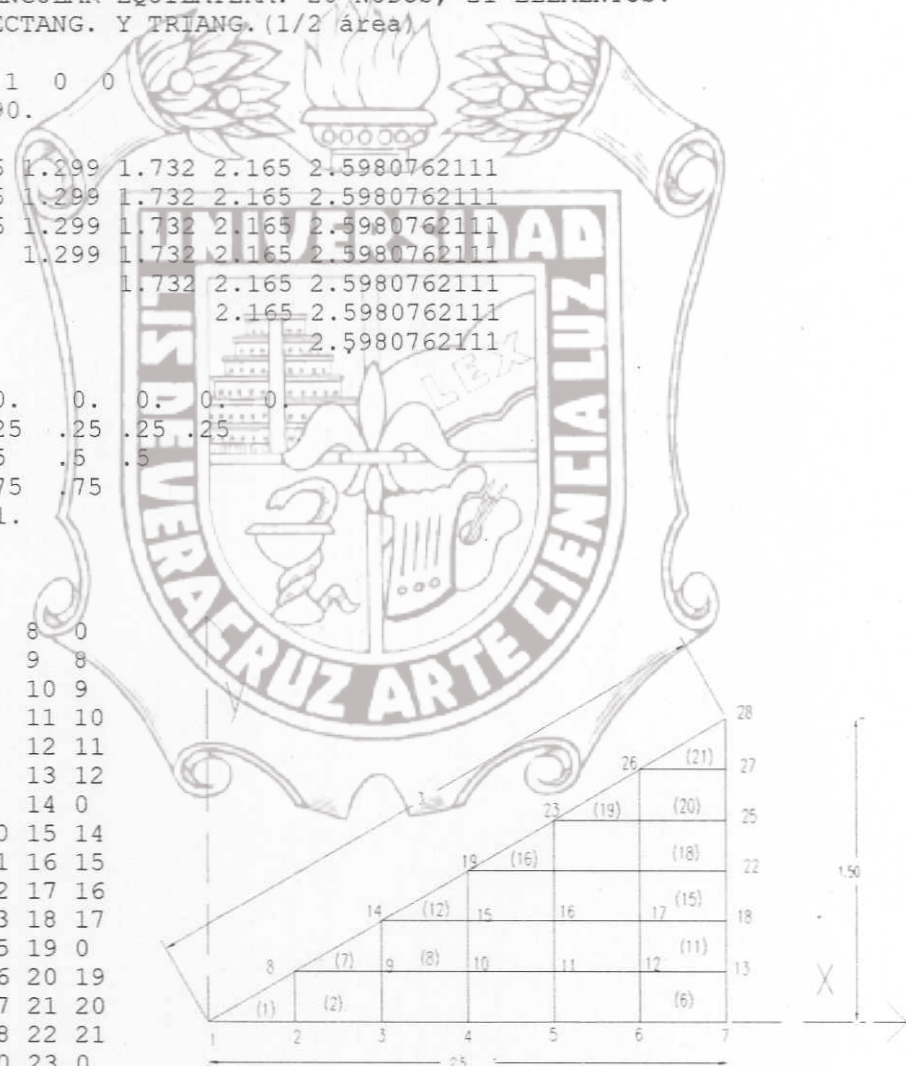


Fig. 5.3.4.1) Malla de problema 41STE.

RESUMEN DE RESULTADOS, CUARTO EJEMPLO, MALLA 1 (41STE) :

COORDENADAS NODALES

| NODO | X | Y |
|------|------------|------------|
| 6 | .21650E+01 | .00000E+00 |
| 7 | .25981E+01 | .00000E+00 |
| 12 | .21650E+01 | .25000E+00 |
| 14 | .86600E+00 | .50000E+00 |
| 15 | .12990E+01 | .50000E+00 |
| 19 | .12990E+01 | .75000E+00 |

DATOS DE LOS ELEMENTOS

| NEL | NMTL | NÚMERO | NODO |
|-----|------|--------|------|
| 6 | 1 | 6 | 7 |
| 12 | 1 | 14 | 15 |
| | | 15 | 19 |

EL ANCHO DE BANDA ES 8 EN EL ELEMENTO 1
VALORES NODALES CONOCIDOS DE PHI

| | |
|----|------------|
| 7 | .00000E+00 |
| 13 | .00000E+00 |
| 14 | .00000E+00 |
| 19 | .00000E+00 |

CANTIDADES CALCULADAS

VALORES NODALES DE PHI

| | | | | | |
|----|------------|----|------------|----|------------|
| 6 | .54921E+03 | 7 | .00000E+00 | 12 | .52782E+03 |
| 13 | .00000E+00 | 14 | .00000E+00 | 15 | .33553E+03 |
| 19 | .00000E+00 | | | | |

| ELEMENTO | POSICIÓN | TAU (ZX) | TAU (ZY) |
|----------|----------|-------------|-------------|
| 6 | NODO 6 | -.85579E+02 | .12682E+04 |
| | CENTRO | -.42789E+02 | .12435E+04 |
| 12 | NODO 13 | .00000E+00 | .12188E+04 |
| | CENTRO | -.13421E+04 | -.77491E+03 |

VOL. BAJO (PHI) PARA LA SECCIÓN = .11364E+04

| ELEMENTO | TAU (ZY) MAX | ELEMENTO | TAU (ZX) MAX | VOL (PHI) |
|----------|--------------|----------|--------------|-----------|
| 6 | .1268E+04 | 12 | -.1342E+04 | .1136E+04 |

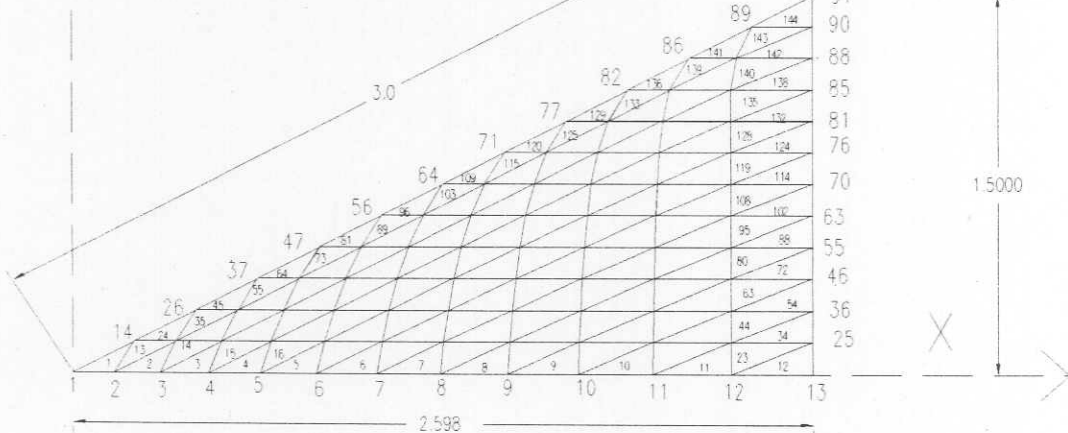


Fig. 5.3.4.2) Malla de problema 42STE.

Proyecto de Digitalización de Tesis

Responsable M. B. Alberto Pedro Lorandi Medina

Colaboradores: Estanislao Ferman García

M. B. Enrique Rodríguez Magaña

Tesis de Maestría

96

ARCHIVO DE DATOS, CUARTO EJEMPLO, MALLA 2 :

SOLUCIÓN A PROB. DE TORSIÓN , (42STE.DAT)
SECCIÓN TRIANGULAR EQUILÁTERA, 91 NUDOS, 144 ELEMENTOS (TRIANGULARES.)
(1/2 ÁREA)

91 144 1. 0 .1 0 2
1. 1. 0. 2790.
0 3
144 91
13
1 13 1 0.0 0.0 2.598 0.0 .5
14 25 1 0.2165 0.125 2.598 0.125 .5
26 36 1 0.433 .25 2.598 .25 .5
37 46 1 0.6495 .375 2.598 .375 .5
47 55 1 0.866 .5 2.598 .5 .5
56 63 1 1.0825 .625 2.598 .625 .5
64 70 1 1.299 .75 2.598 .75 .5
71 76 1 1.5155 .875 2.598 .875 .5
77 81 1 1.732 1.0 2.598 1.0 .5
82 85 1 1.9485 1.125 2.598 1.125 .5
86 88 1 2.165 1.25 2.598 1.25 .6
89 90 1 2.3815 1.375 2.598 1.375 1
91 92 1 2.598 1.5 0. 0. 1
23
1 12 1 1 3 1 2 14
13 23 1 1 3 2 15 14
24 34 1 1 3 14 15 26
35 44 1 1 3 15 27 26
45 54 1 1 3 26 27 37
55 63 1 1 3 27 38 37
64 72 1 1 3 37 38 47
73 80 1 1 3 38 48 47
81 88 1 1 3 47 48 56
89 95 1 1 3 48 57 56
96 102 1 1 3 56 57 64
103 108 1 1 3 57 65 64
109 114 1 1 3 64 65 71
115 119 1 1 3 65 72 71
120 124 1 1 3 71 72 77
125 128 1 1 3 72 78 77
129 132 1 1 3 77 78 82
133 135 1 1 3 78 83 82
136 138 1 1 3 82 83 86
139 140 1 1 3 83 87 86
141 142 1 1 3 86 87 89
143 143 0 0 3 87 90 89
144 144 0 0 3 89 90 91
0
1 0. 13 0. 14 0. 25 0. 26 0. 36 0. 37 0.
46 0. 47 0. 55 0. 56 0. 63 0. 64 0. 70 0.
71 0. 76 0. 77 0. 81 0. 82 0. 85 0. 86 0.
88 0. 89 0. 90 0. 91 0.
0 0

RESUMEN DE RESULTADOS, CUARTO EJEMPLO, MALLA 2 (42STE) :

COORDENADAS NODALES

| NODO | X | Y |
|------|------------|------------|
| 12 | .23093E+01 | .00000E+00 |
| 13 | .25980E+01 | .00000E+00 |
| 25 | .25980E+01 | .12500E+00 |
| 56 | .10825E+01 | .62500E+00 |
| 57 | .12268E+01 | .62500E+00 |
| 64 | .12990E+01 | .75000E+00 |

DATOS DE LOS ELEMENTOS

NEL NMTL NÚMERO NODO

| | | | | |
|----|---|----|----|----|
| 12 | 1 | 12 | 13 | 25 |
| 96 | 1 | 56 | 57 | 64 |

EL ANCHO DE BANDA ES 14 EN EL ELEMENTO 1

VALORES NODALES CONOCIDOS DE PHI

| | | | | | | | |
|----|------------|----|------------|----|------------|----|------------|
| 13 | .00000E+00 | 25 | .00000E+00 | 56 | .00000E+00 | 64 | .00000E+00 |
|----|------------|----|------------|----|------------|----|------------|

CANTIDADES CALCULADAS

VALORES NODALES DE PHI

| | | | | | | | |
|----|------------|----|------------|----|------------|----|------------|
| 12 | .41321E+03 | 13 | .00000E+00 | 25 | .00000E+00 | 56 | .00000E+00 |
| 64 | .00000E+00 | | | | | | |

ELEMENTO

12

96

POSICIÓN

CENTRO

CENTRO

TAU(ZX)

.00000E+00

-.14746E+04

TAU(ZY)

.14314E+04

-.85141E+03

VOL. BAJO (PHI) PARA LA SECCIÓN = -.11950E+04

| | | | | |
|----------|-------------|----------|-------------|-----------|
| ELEMENTO | TAU(ZY) MAX | ELEMENTO | TAU(ZX) MAX | VOL(PHI) |
| 12 | .1431E+04 | 96 | -.1475E+04 | .1195E+04 |

ARCHIVO DE DATOS, CUARTO EJEMPLO, MALLA 3 :

SOLUCIÓN A PROB. DE TORSIÓN, (43STE.DAT)

SECCIÓN TRIANGULAR EQUILATERA, 231 NUDOS, 400 ELEMENTOS (TRIANG.)

(1/2 AREA)

231 400 1 0 1 0 2

1. 1. 0. 2790.

0 3

400 231

21

| | | | | | | | |
|-----|-----|---|--------|-------|--------|-------|----|
| 1 | 21 | 1 | 0.0 | 0.000 | 2.5980 | 0.0 | 15 |
| 22 | 41 | 1 | 0.1299 | 0.075 | 2.5980 | 0.075 | 15 |
| 42 | 60 | 1 | 0.2598 | 0.150 | 2.5980 | 0.150 | 15 |
| 61 | 78 | 1 | 0.3897 | 0.225 | 2.5980 | 0.225 | 15 |
| 79 | 95 | 1 | 0.5196 | 0.300 | 2.5980 | 0.300 | 15 |
| 96 | 111 | 1 | 0.6495 | 0.375 | 2.5980 | 0.375 | 15 |
| 112 | 126 | 1 | 0.7794 | 0.450 | 2.5980 | 0.450 | 15 |
| 127 | 140 | 1 | 0.9093 | 0.525 | 2.5980 | 0.525 | 15 |
| 141 | 153 | 1 | 1.0392 | 0.600 | 2.5980 | 0.600 | 15 |
| 154 | 165 | 1 | 1.1691 | 0.675 | 2.5980 | 0.675 | 15 |
| 166 | 176 | 1 | 1.2990 | 0.750 | 2.5980 | 0.750 | 15 |
| 177 | 186 | 1 | 1.4289 | 0.825 | 2.5980 | 0.825 | 15 |
| 187 | 195 | 1 | 1.5588 | 0.900 | 2.5980 | 0.900 | 15 |
| 196 | 203 | 1 | 1.6887 | 0.975 | 2.5980 | 0.975 | 15 |
| 204 | 210 | 1 | 1.8186 | 1.050 | 2.5980 | 1.050 | 15 |
| 211 | 216 | 1 | 1.9485 | 1.125 | 2.5980 | 1.125 | 15 |
| 217 | 221 | 1 | 2.0784 | 1.200 | 2.5980 | 1.200 | 15 |

| | | | | | | | |
|-----|-----|---|--------|-------|--------|-------|----|
| 222 | 225 | 1 | 2.2083 | 1.275 | 2.5980 | 1.275 | 15 |
| 226 | 228 | 1 | 2.3382 | 1.350 | 2.5980 | 1.350 | 15 |
| 229 | 230 | 1 | 2.4681 | 1.425 | 2.5980 | 1.425 | 1 |
| 231 | 232 | 1 | 2.5980 | 1.500 | .0 | 0. | 1 |

39
 1 20 1 1 3 1 2 22
 21 39 1 1 3 2 23 22
 40 58 1 1 3 22 23 42
 59 76 1 1 3 23 43 42
 77 94 1 1 3 42 43 61
 95 111 1 1 3 43 62 61
 112 128 1 1 3 61 62 79
 129 144 1 1 3 62 80 79
 145 160 1 1 3 79 80 96
 161 175 1 1 3 80 97 96
 176 190 1 1 3 96 97 112
 191 204 1 1 3 97 113 112
 205 218 1 1 3 112 113 127
 219 231 1 1 3 113 128 127
 232 244 1 1 3 127 128 141
 245 256 1 1 3 128 142 141
 257 268 1 1 3 141 142 154
 269 279 1 1 3 142 155 154
 280 290 1 1 3 154 155 166
 291 300 1 1 3 155 167 166
 301 310 1 1 3 166 167 177
 311 319 1 1 3 167 178 177
 320 328 1 1 3 177 178 187
 329 336 1 1 3 178 188 187
 337 344 1 1 3 187 188 196 1 2 3 4 21
 345 351 1 1 3 188 197 196
 352 358 1 1 3 196 197 204
 359 364 1 1 3 197 205 204
 365 370 1 1 3 201 205 211
 371 375 1 1 3 205 212 211
 376 380 1 1 3 211 212 217
 381 384 1 1 3 212 218 217
 385 388 1 1 3 217 218 222
 389 391 1 1 3 218 223 222
 392 394 1 1 3 222 223 226
 395 396 1 1 3 223 227 226
 397 398 1 1 3 226 227 229
 399 399 0 0 3 227 230 229
 400 400 0 0 3 229 230 231

0
 21 0. 22 0. 41 0. 42 0. 60 0. 61 0. 78 0. 79 0. 95 0. 96
 0. 111 0. 112 0. 126 0. 127 0. 140 0. 141 0. 153 0. 154
 0. 165 0. 166 0. 176 0. 177 0. 186 0. 187 0. 195 0. 196
 0. 203 0. 204 0. 210 0. 211 0. 216 0. 217 0. 221 0. 222 0. 225
 0. 226 0. 228 0. 229 0. 230 0. 231 0.
 0
 0 0 0 0 0 0 0 0 0

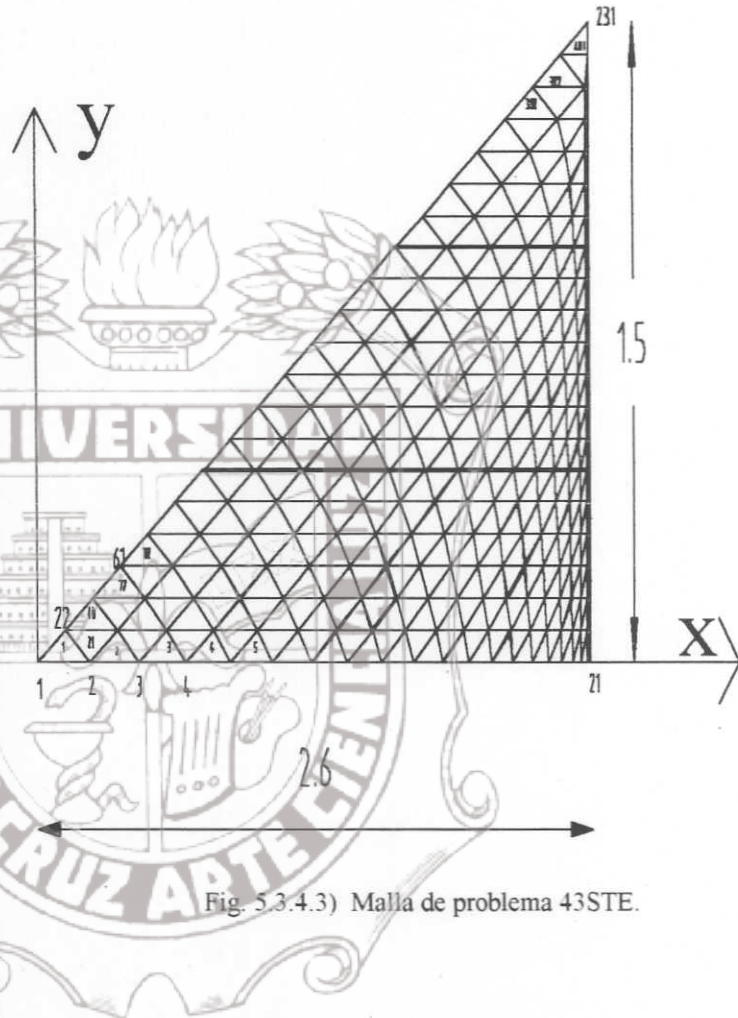


Fig. 5.3.4.3) Malla de problema 43STE.

RESUMEN DE RESULTADOS, CUARTO EJEMPLO, MALLA 3 (43STE) :

SOLUCIÓN A PROB. DE TORSIÓN, (43STE.DAT)

SECCIÓN TRIANGULAR EQUILATERA, 231 NUDOS, 400 ELEMENTOS (TRIANG.)
(1/2 ÁREA)

NP = 231
NE = 400
ITYP = 1
IPLVL = 0
MESH = 2

COEFICIENTES DE ECUACIONES

MATERIAL

| SET | DX | DY | P | Q |
|-----|------------|------------|------------|------------|
| 1 | .10000E+01 | .10000E+01 | .00000E+00 | .27900E+04 |

COORDENADAS NODALES

| NODO | X | Y |
|------|------------|------------|
| 1 | .00000E+00 | .00000E+00 |
| 2 | .24356E+00 | .00000E+00 |
| 20 | .25818E+01 | .00000E+00 |
| 40 | .25818E+01 | .75000E-01 |
| 41 | .25980E+01 | .75000E-01 |
| 155 | .14127E+01 | .67500E+00 |
| 166 | .12990E+01 | .75000E+00 |
| 167 | .15426E+01 | .75000E+00 |
| 230 | .25980E+01 | .14250E+01 |
| 231 | .25980E+01 | .15000E+01 |

DATOS DE LOS ELEMENTOS

| NEL | NMTL | NUMERO | NODO |
|-----|------|--------|---------|
| 1 | 1 | 1 | 2 22 |
| 2 | 1 | 2 | 3 23 |
| 39 | 1 | 20 | 41 40 |
| 40 | 1 | 22 | 23 42 |
| 290 | 1 | 164 | 165 176 |
| 291 | 1 | 155 | 167 166 |
| 399 | 1 | 227 | 230 229 |
| 400 | 1 | 229 | 230 231 |

| ELEMENTO | POSICION | TAU (ZX) | TAU (ZY) |
|----------|----------|-------------|-------------|
| 1 | CENTRO | -.25767E+03 | -.16399E+03 |
| 2 | CENTRO | -.20650E+03 | -.38941E+03 |
| 38 | CENTRO | -.91761E+00 | .17196E+04 |
| 39 | CENTRO | .36116E+00 | .17814E+04 |
| 291 | CENTRO | -.14357E+04 | -.79750E+03 |
| 292 | CENTRO | -.11973E+04 | -.55319E+03 |
| 389 | CENTRO | -.75952E+03 | -.17676E+03 |
| 390 | CENTRO | -.29269E+03 | .26354E+03 |

VOL.BAJO(PHI) PARA LA SECCIÓN= .12073E+04

| ELEMENTO | TAU (ZY) MAX | ELEMENTO | TAU (ZX) MAX | VOL (PHI) |
|----------|--------------|----------|--------------|-----------|
| 39 | .1781E+04 | 291 | -.1436E+04 | .1207E+04 |

Los valores teóricos, son obtenidos usando las ecuaciones (2.5.k), para el esfuerzo máximo y la (2.5.l) para el momento torsionante. El valor que se ocupa del módulo de elasticidad al cortante ($G=8 \times 10^6 \text{ N/cm}^2$) será para un material de acero, laminado en caliente, bajo contenido de carbón y el ángulo de torsión por unidad de longitud ($\theta = .01^\circ/\text{cm} = .00017453 \text{ rad/cm}$).

De lo anterior se tiene que:

$$\tau_{\max} = \frac{G\theta a}{2} = 1,812.158 \quad M_t = -\frac{G\theta a^4}{15\sqrt{3}} = 2,446.4135$$

Valores resultantes de la primera corrida con 41STE.DAT:

| ELEMENTO | TAU(ZY)MAX | ELEMENTO | TAU(ZX)MAX | VOL(PHI) |
|----------|------------|----------|------------|--------------------|
| 6 | .1268E+04 | 12 | -.1342E+04 | (.1136E+04)*2=2272 |

Valores resultantes de la segunda corrida con 42STE.DAT:

| ELEMENTO | TAU(ZY)MAX | ELEMENTO | TAU(ZX)MAX | VOL(PHI) |
|----------|------------|----------|------------|--------------------|
| 12 | .1431E+04 | 96 | -.1475E+04 | (.1195E+04)*2=2390 |

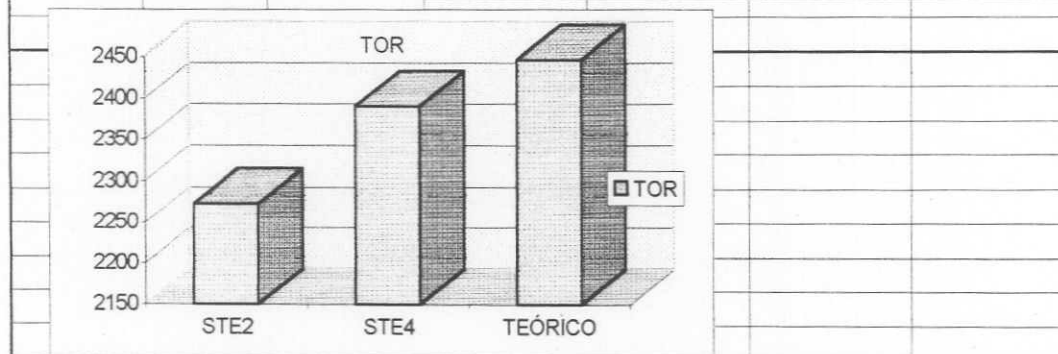
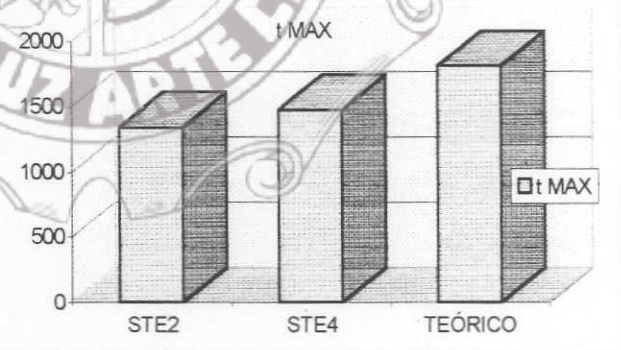
Valores resultantes de la segunda corrida con 43STE.DAT:

| ELEMENTO | TAU(ZY)MAX | ELEMENTO | TAU(ZX)MAX | VOL(PHI) |
|----------|------------|----------|------------|--------------------|
| 39 | .1781E+04 | 291 | -.1436E+04 | (.1207E+04)*2=2414 |

RESULTADOS SECCIÓN 5.3.4.

SECCION TRIANGULAR EQUILATERA.

| PROB. | t MAX | TOR |
|---------|-------|---------|
| STE2 | 1342 | 2272 |
| STE4 | 1475 | 2390 |
| TEÓRICO | 1812 | 2446.41 |



5.3.5.- SECCIÓN RECTANGULAR ESTRECHA.

La sección rectangular estrecha que se resolverá es de 11cm de base y 1 cm de altura, se aprovechará su simetría y se analizará, sólo la mitad de su sección, la primera malla es de 88 elementos, rectangulares y 115 nodos, la segunda es de 405 nodos y 352 elementos rectangulares, la tercera es de 252 nodos y 440 elementos triangulares.

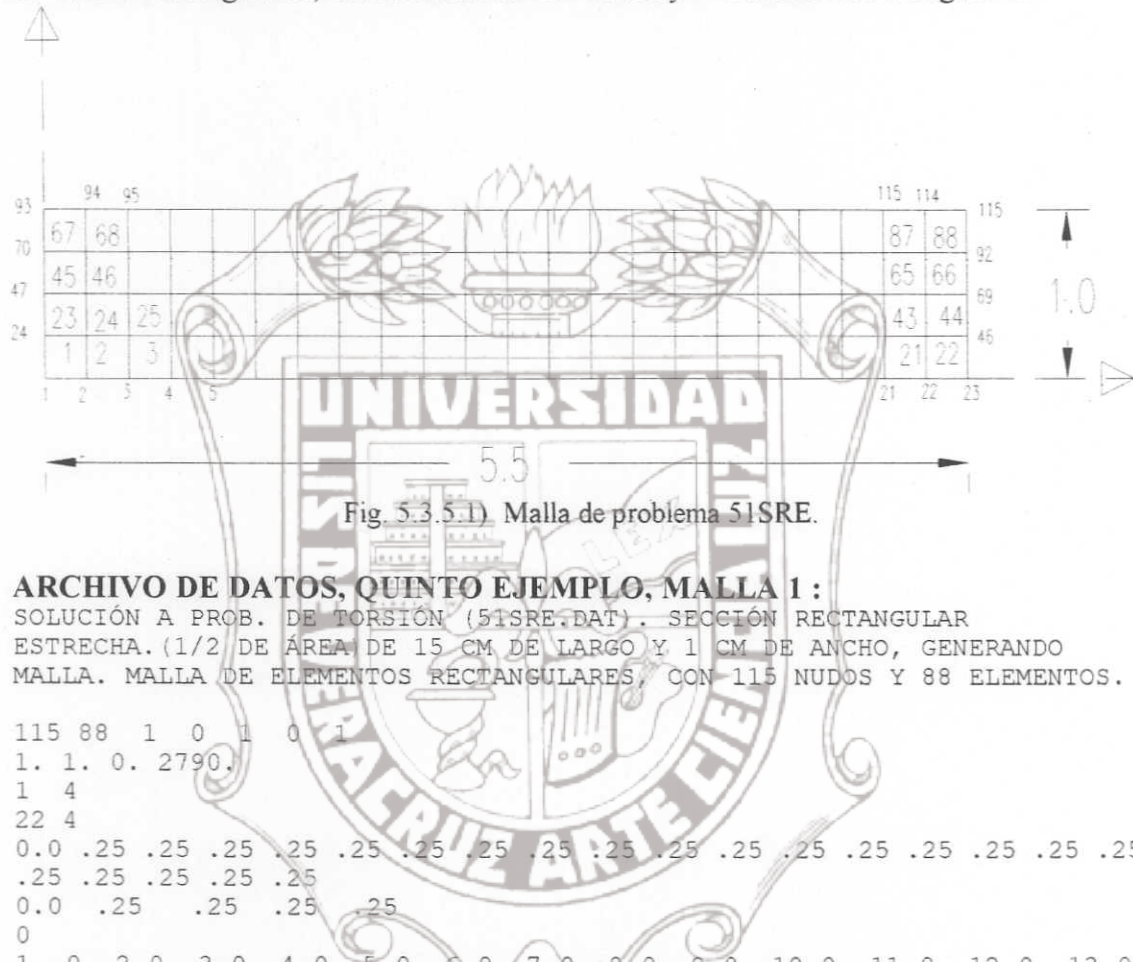


Fig. 5.3.5.1) Malla de problema 51SRE.

ARCHIVO DE DATOS, QUINTO EJEMPLO, MALLA 1:

SOLUCIÓN A PROB. DE TORSIÓN (51SRE.DAT). SECCIÓN RECTANGULAR ESTRECHA. (1/2 DE ÁREA DE 15 CM DE LARGO Y 1 CM DE ANCHO, GENERANDO MALLA. MALLA DE ELEMENTOS RECTANGULARES, CON 115 NUDOS Y 88 ELEMENTOS.

```

115 88 1 0 1 0 1
1. 1. 0. 2790.
1 4
22 4
0.0 .25 .25 .25 .25 .25 .25 .25 .25 .25 .25 .25 .25 .25 .25 .25 .25 .25
.25 .25 .25 .25 .25 .25 .25 .25 .25 .25 .25 .25 .25 .25 .25 .25 .25 .25
0.0 .25 .25 .25 .25
0
1 0. 2 0. 3 0. 4 0. 5 0. 6 0. 7 0. 8 0. 9 0. 10 0. 11 0. 12 0. 13 0.
14 0. 15 0. 16 0. 17 0.
18 0. 19 0. 20 0. 21 0. 22 0. 23 0. 46 0. 69 0. 92 0. 93 0. 94 0. 95 0.
96 0. 97 0. 98 0.
99 0. 100 0. 101 0. 102 0. 103 0. 104 0. 105 0. 106 0. 107 0. 108 0.
109 0. 110 0. 111 0. 112 0. 113 0. 114 0. 115 0.
0 0 0 0 0 0 0 0 0 0 0 0 0 0 0 0 0 0 0

```

RESUMEN DE RESULTADOS, QUINTO EJEMPLO, MALLA 1 (51SRE) :

COORDENADAS NODALES

| NODO | X | Y |
|------|------------|------------|
| 1 | .00000E+00 | .00000E+00 |
| 2 | .25000E+00 | .00000E+00 |
| 24 | .00000E+00 | .25000E+00 |
| 25 | .25000E+00 | .25000E+00 |
| 45 | .52500E+01 | .25000E+00 |
| 46 | .55000E+01 | .25000E+00 |
| 68 | .52500E+01 | .50000E+00 |
| 69 | .55000E+01 | .50000E+00 |

Tesis de Maestría

102

DATOS DE LOS ELEMENTOS

| NEL | NMTL | NÚMERO NODO | | | |
|-----|------|-------------|----|----|----|
| 1 | 1 | 1 | 2 | 25 | 24 |
| 44 | 1 | 45 | 46 | 69 | 68 |

EL ANCHO DE BANDA ES 25 EN EL ELEMENTO 1

VALORES NODALES CONOCIDOS DE PHI

| | |
|---|------------|
| 1 | .00000E+00 |
| 2 | .00000E+00 |

CANTIDADES CALCULADAS

VALORES NODALES DE PHI

| | | | |
|----|------------|----|------------|
| 1 | .00000E+00 | 2 | .00000E+00 |
| 24 | .26156E+03 | 25 | .26156E+03 |
| 45 | .16101E+03 | 46 | .00000E+00 |
| 68 | .19148E+03 | 69 | .00000E+00 |

| ELEMENTO | POSICIÓN | TAU (ZX) | TAU (ZY) |
|-----------------------------------|--------------|------------|---|
| 1 | NODO 1 | .10462E+04 | .00000E+00 |
| | CENTRO | .10462E+04 | .61035E-04 |
| | NODO 25 | .10462E+04 | .12207E-03 |
| 44 | NODO 45 | .16186E+03 | .60405E+03 |
| | CENTRO | .80928E+02 | .68498E-03 |
| | NODO 69 | .00000E+00 | .76591E+03 |
| VOL. BAJO (PHI) PARA LA SECCIÓN = | | .22592E+04 | |
| ELEMENTO 44 | TAU (ZY) MAX | .7659E+03 | ELEMENTO TAU (ZX) MAX 1 .1046E+04 VOL (PHI) .2259E+04 |

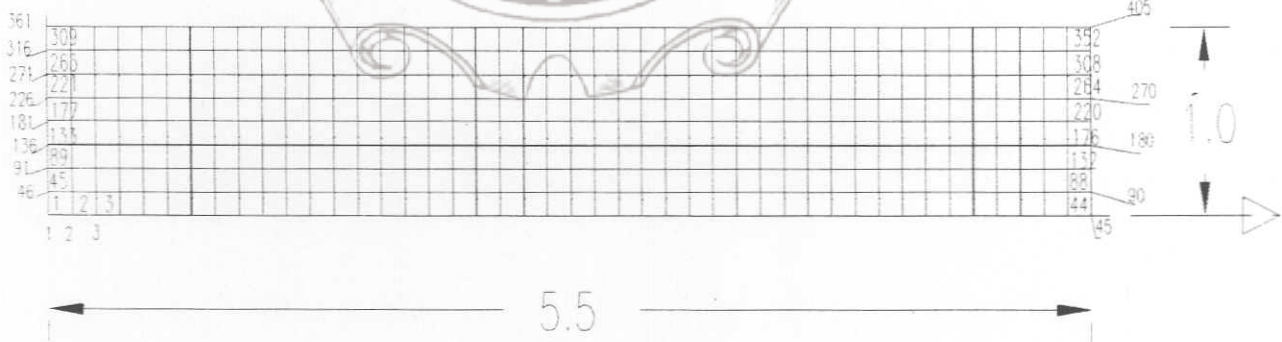


Fig. 5.3.5.2) Malla de problema 52SRE.

Tesis de Maestría

103

ARCHIVO DE DATOS, QUINTO EJEMPLO, MALLA 2 :

SOLUCIÓN A PROB. DE TORSIÓN (52SRE.DAT). SECCIÓN RECTANGULAR ESTRECHA. (1/2 DE ÁREA) DE 15 CM DE LARGO Y 1 CM DE ANCHO, GENERANDO MALLA. MALLA DE ELEMENTOS RECTANGULARES, CON 405 NUDOS Y 352 ELEMENTOS.

405 352 1 0 1 0 1

1. 1. 0. 2790.

1 4

44 8

0.0 .125 .125 .125 .125 .125 .125 .125 .125 .125 .125
.125 .125 .125 .125 .125 .125 .125 .125 .125 .125
.125 .125 .125 .125 .125 .125 .125 .125 .125 .125
.125 .125 .125 .125 .125 .125 .125 .125 .125 .125
.125 .125 .125 .125

0.0 .125 .125 .125 .125 .125 .125 .125 .125 .125 .125

0

1 0. 2 0. 3 0. 4 0. 5 0. 6 0. 7 0. 8 0. 9 0. 10 0. 11 0. 12 0. 13 0.
14 0. 15 0. 16 0. 17 0. 18 0. 19 0. 20 0. 21 0. 22 0. 23 0. 24 0. 25 0.
26 0. 27 0. 28 0. 29 0. 30 0. 31 0. 32 0. 33 0. 34 0. 35 0. 36 0. 37 0.
38 0. 39 0. 40 0. 41 0. 42 0. 43 0. 44 0. 45 0. 90 0. 135 0. 180 0.
225 0. 270 0. 315 0. 360 0. 361 0. 362 0. 363 0. 364 0. 365 0. 366 0.
367 0. 368 0. 369 0. 370 0. 371 0. 372 0. 373 0. 374 0. 375 0. 376 0.
377 0. 378 0. 379 0. 380 0. 381 0. 382 0. 383 0. 384 0. 385 0. 386 0.
387 0. 388 0. 389 0. 390 0. 391 0. 392 0. 393 0. 394 0. 395 0. 396 0.
397 0. 398 0. 399 0. 400 0. 401 0. 402 0. 403 0.
404 0. 405 0.

0 0

RESUMEN DE RESULTADOS, QUINTO EJEMPLO, MALLA 2 (52SRE.) :

COORDENADAS NODALES

| NODO | X | Y |
|------|------------|------------|
| 5 | .50000E+00 | .00000E+00 |
| 6 | .62500E+00 | .00000E+00 |
| 50 | .50000E+00 | .12500E+00 |
| 51 | .62500E+00 | .12500E+00 |
| 179 | .53750E+01 | .37500E+00 |
| 180 | .55000E+01 | .37500E+00 |
| 224 | .53750E+01 | .50000E+00 |
| 225 | .55000E+01 | .50000E+00 |

DATOS DE LOS ELEMENTOS

| NEL | NMTL | NÚMERO | NODO |
|-----|------|--------|-------------|
| 5 | 1 | 5 | 6 51 50 |
| 176 | 1 | 179 | 180 225 224 |

VALORES NODALES CONOCIDOS DE PHI

5 .00000E+00 6 .00000E+00 180 .00000E+00 225 .00000E+00

CANTIDADES CALCULADAS

VALORES NODALES DE PHI

| | | | | | |
|-----|------------|-----|------------|-----|------------|
| 4 | .00000E+00 | 5 | .00000E+00 | 6 | .00000E+00 |
| 49 | .15258E+03 | 50 | .15258E+03 | 51 | .15258E+03 |
| 178 | .17725E+03 | 179 | .10498E+03 | 180 | .00000E+00 |
| 223 | .18724E+03 | 224 | .11031E+03 | 225 | .00000E+00 |

| ELEMENTO | POSICIÓN | TAU (ZX) | TAU (ZY) |
|----------|----------|------------|-------------|
| 5 | NODO 5 | .12206E+04 | .00000E+00 |
| | CENTRO | .12206E+04 | -.61035E-04 |
| | NODO 51 | .12206E+04 | -.12207E-03 |
| 176 | NODO 179 | .42619E+02 | .83987E+03 |

Tesis de Maestría

104

| | | |
|----------|------------|------------|
| CENTRO | .21310E+02 | .86118E+03 |
| NODO 225 | .00000E+00 | .88249E+03 |

| | | | |
|---------------|----------------------|---------------------------------|--------------------|
| VOL.BAJO(PHI) | PARA LA SECCIÓN = | .23730E+04 | |
| ELEMENTO 176 | TAU(ZY)MAX .8825E+03 | ELEMENTO 5 TAU(ZX)MAX .1221E+04 | VOL(PHI) .2373E+04 |

ARCHIVO DE DATOS, QUINTO EJEMPLO, MALLA 3 :

SOLUCIÓN A PROB. DE TORSIÓN, (54SRE.DAT)
SECCIÓN RECTANGULAR ESTRECHA, 252 NUDOS, 440 ELEMENTOS(TRIANG.)

| | | | | | | | | |
|-----------------------|--------|--------|--------|--------|--------|-------|-----|-----|
| (1/4 área). | 101 | 120 | 1 | 1 | 3 | 43 | 65 | 64 |
| 252 440 1 0 1 0 2 | 121 | 140 | 1 | 1 | 3 | 64 | 65 | 86 |
| 1. 1. 0. 2790. | 141 | 160 | 1 | 1 | 3 | 64 | 86 | 85 |
| 0 3 | 161 | 180 | 1 | 1 | 3 | 85 | 86 | 107 |
| 440 252 | 181 | 200 | 1 | 1 | 3 | 85 | 107 | 106 |
| 12 | 201 | 220 | 1 | 1 | 3 | 106 | 107 | 128 |
| 1 21 1 0.0 0.000 | 221 | 240 | 1 | 1 | 3 | 106 | 128 | 127 |
| 22 42 1 0.0 0.025 | 241 | 260 | 1 | 1 | 3 | 127 | 128 | 149 |
| 43 63 1 0.0 0.05 | 261 | 280 | 1 | 1 | 3 | 127 | 149 | 148 |
| 64 84 1 0.0 0.1 | 281 | 300 | 1 | 1 | 3 | 148 | 149 | 170 |
| 85 105 1 0.0 0.15 | 301 | 320 | 1 | 1 | 3 | 148 | 170 | 169 |
| 106 126 1 0.0 0.20 | 321 | 340 | 1 | 1 | 3 | 169 | 170 | 191 |
| 127 147 1 0.0 0.25 | 341 | 360 | 1 | 1 | 3 | 169 | 191 | 190 |
| 148 168 1 0.0 0.30 | 361 | 380 | 1 | 1 | 3 | 190 | 191 | 212 |
| 169 189 1 0.0 0.35 | 381 | 400 | 1 | 1 | 3 | 190 | 212 | 211 |
| 190 210 1 0.0 0.40 | 401 | 420 | 1 | 1 | 3 | 211 | 212 | 233 |
| 211 231 1 0.0 0.45 | 421 | 440 | 1 | 1 | 3 | 211 | 233 | 232 |
| 232 252 1 0.0 0.5 | 0 | | | | | | | |
| 22 | 1 0. | 2 0. | 3 0. | 4 0. | 5 0. | 6 0. | | |
| 1 20 1 1 3 1 2 23 | 7 0. | 8 0. | 9 0. | 10 0. | 11 0. | 12 0. | | |
| 21 40 1 1 3 1 23 22 | 13 0. | 14 0. | 15 0. | 16 0. | 17 0. | | | |
| 41 60 1 1 3 22 23 44 | 18 0. | 19 0. | 20 0. | 21 0. | 42 0. | | | |
| 61 80 1 1 3 22 44 43 | 63 0. | 84 0. | 105 0. | 126 0. | 147 0. | | | |
| 81 100 1 1 3 43 44 65 | 168 0. | 189 0. | 210 0. | 231 0. | 252 0. | | | |
| | 0 | | | | | | | |

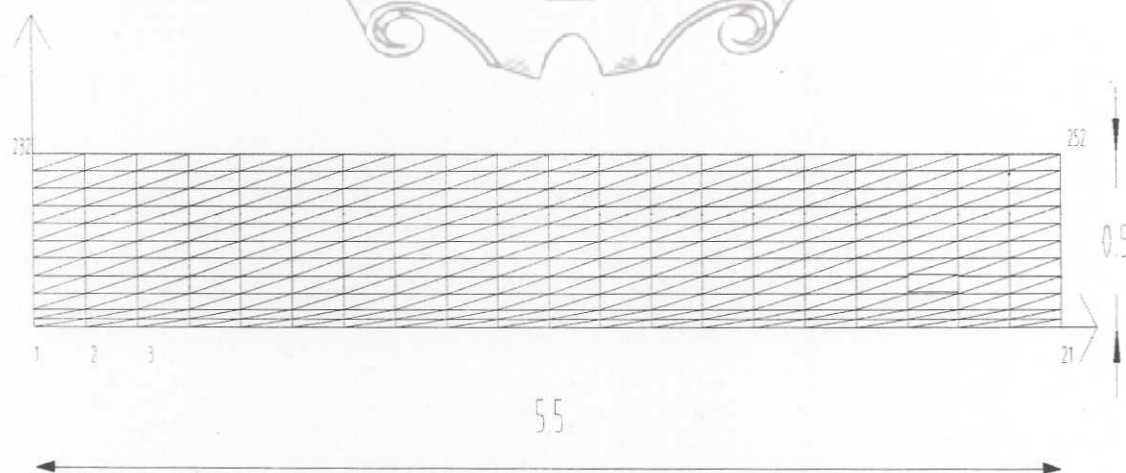


Fig. 5.3.5.3) Malla de problema 54SRE.

Tesis de Maestría

105

RESUMEN DE RESULTADOS, QUINTO EJEMPLO, MALLA 3 (54SRE.) :

SOLUCIÓN A PROB. DE TORSIÓN, (54SRE.DAT)

SECCIÓN RECTANGULAR ESTRECHA, 252 NUDOS, 440 ELEMENTOS (TRIANG.)
(1/4 área).

NP = 252
NE = 440
ITYP = 1
IPLVL = 0
MESH = 2

COEFICIENTES DE ECUACIONES MATERIAL

| SET | DX | DY | P | Q |
|-----|------------|------------|------------|------------|
| 1 | .10000E+01 | .10000E+01 | .00000E+00 | .27900E+04 |

COORDENADAS NODALES

| NODO | X | Y |
|------|------------|------------|
| 1 | .00000E+00 | .00000E+00 |
| 2 | .27500E+00 | .00000E+00 |
| 21 | .55000E+01 | .00000E+00 |
| 22 | .00000E+00 | .25000E-01 |
| 23 | .27500E+00 | .25000E-01 |
| 42 | .55000E+01 | .25000E-01 |
| 228 | .46750E+01 | .45000E+00 |
| 229 | .49500E+01 | .45000E+00 |
| 230 | .52250E+01 | .45000E+00 |
| 231 | .55000E+01 | .45000E+00 |
| 250 | .49500E+01 | .50000E+00 |
| 251 | .52250E+01 | .50000E+00 |
| 252 | .55000E+01 | .50000E+00 |

DATOS DE LOS ELEMENTOS

| NEL | NMPL | NUMERO | NODO |
|-----|------|--------|---------|
| 20 | 1 | 20 | 21 42 |
| 21 | 1 | 1 | 23 22 |
| 439 | 1 | 229 | 251 250 |
| 440 | 1 | 230 | 252 251 |

| ELEMENTO | POSICIÓN | TAU (ZX) | TAU (ZY) |
|----------|----------|------------|------------|
| 1 | CENTRO | .13566E+04 | .00000E+00 |
| 2 | CENTRO | .13582E+04 | .00000E+00 |
| 20 | CENTRO | .00000E+00 | .00000E+00 |
| 21 | CENTRO | .13624E+04 | .53303E+00 |
| 439 | CENTRO | .53541E+02 | .31661E+03 |
| 440 | CENTRO | .34210E+02 | .70756E+03 |

VOL.BAJO(PHI) PARA LA SECCIÓN= .11945E+04

| ELEMENTO | TAU (ZY) MAX | ELEMENTO | TAU (ZX) MAX | VOL (PHI) |
|----------|--------------|----------|--------------|-----------|
| 440 | .7076E+03 | 21 | .1362E+04 | .1194E+04 |

Los valores teóricos son obtenidos usando las ecuaciones (2.7.2) para el esfuerzo máximo y la (2.7.d) para el momento torsionante. El valor que se ocupa del módulo de elasticidad al cortante ($G=8 \times 10^6 \text{ N/cm}^2$) será para un material de acero, laminado en caliente, bajo contenido de carbón y el ángulo de torsión por unidad de longitud ($\theta = .01^\circ/\text{cm} = .00017453 \text{ rad/cm}$).

De lo anterior se tiene que:

$$M_t = -\frac{G\theta a^3 b}{3} = \frac{1396(1)^3(11)}{3} = 5118.66 , \quad \tau_{\max} = \frac{3 M_t}{a^2 b} = 1396$$

Valores resultantes de la primera corrida con 51SRE.DAT:

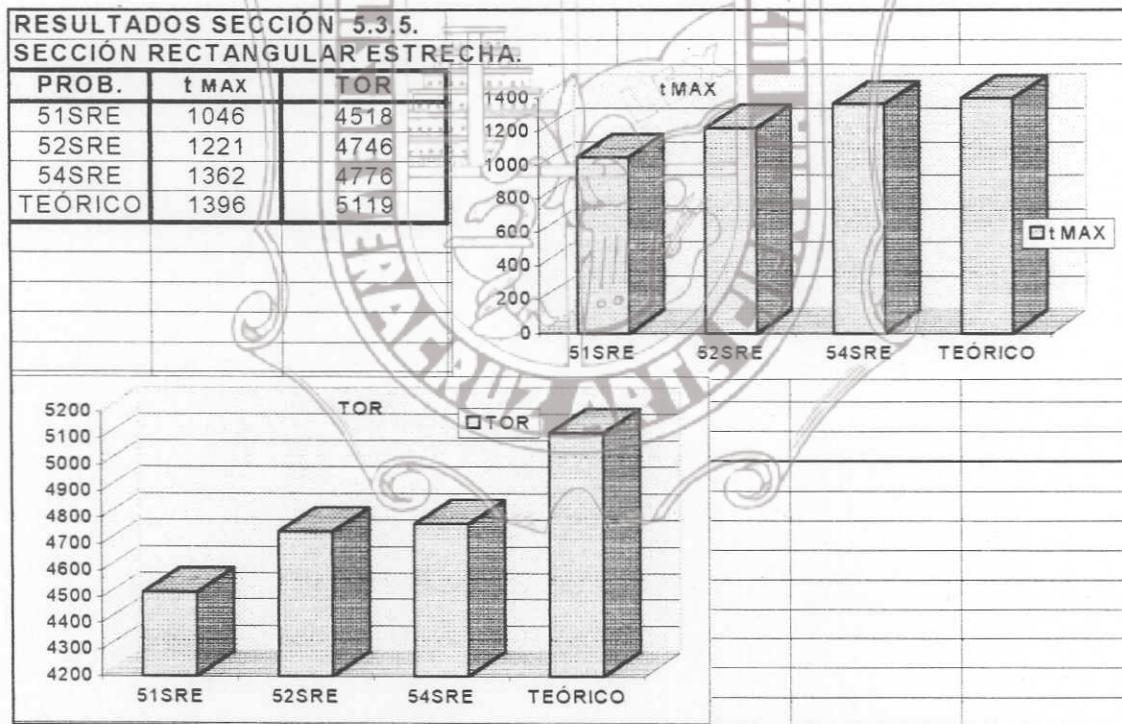
| ELEMENTO | TAU(ZY)MAX | ELEMENTO | TAU(ZX)MAX | VOL(PHI) |
|----------|------------|----------|------------|--------------------|
| 44 | .7659E+03 | 1 | .1046E+04 | (.2259E+04)*2=4518 |

Valores resultantes de la segunda corrida con 52SRE.DAT:

| ELEMENTO | TAU(ZY)MAX | ELEMENTO | TAU(ZX)MAX | VOL(PHI) |
|----------|------------|----------|------------|--------------------|
| 176 | .8825E+03 | 5 | .1221E+04 | (.2373E+04)*2=4746 |

Valores resultantes de la segunda corrida con 54SRE.DAT:

| ELEMENTO | TAU(ZY)MAX | ELEMENTO | TAU(ZX)MAX | VOL(PHI) |
|----------|------------|----------|------------|--------------------|
| 440 | .7076E+03 | 21 | .1362E+04 | (.1194E+04)*4=4776 |



5.3.6.- SECCIÓN " I " PERFILES LAMINADOS.

La sección I que se resolverá es de 11cm de base o patín y 1 cm de espesor tanto en alma como en patín, además de tener un peralte de 15 cm. Se aprovechará su simetría en el ejemplo dos y se analizará, sólo un cuarto de su sección, la primera malla es de 140 elementos, rectangulares y 213 nodos, la segunda es de 193 nodos y 140 elementos rectangulares.

ARCHIVO DE DATOS, SEXTO EJEMPLO, MALLA 1 :

SOLUCIÓN DE PROBLEMAS DE TORSIÓN POR ELEMENTO FINITO.

SECCIÓN Y. DE 15CM DE PERALTE , 11CM DE PATÍN Y 1CM DE ESPESOR,
GENERANDO MALLA .MALLA DE ELEMENTOS RECTANGULARES, CON 213 NUDOS Y 140
ELEMENTOS.

213 140 1 0 1 0 2

1. 1. 0. 2790.

1 4

140 213

31

1 23 1 0.0 0.0 11.0 .0 1 119 97

24 46 1 0.0 .5 11.0 .5 1 129 108

47 69 1 0.0 1.0 11.0 1.0 1 103 96

70 72 1 5.0 1.5 6.0 1.5 1 93 13

73 75 1 5.0 2.0 6.0 2.0 1

76 78 1 5.0 2.5 6.0 2.5 1

79 81 1 5.0 3.0 6.0 3.0 1

82 84 1 5.0 3.5 6.0 3.5 1

85 87 1 5.0 4.0 6.0 4.0 1

88 90 1 5.0 4.5 6.0 4.5 1

91 93 1 5.0 5.0 6.0 5.0 1

94 96 1 5.0 5.5 6.0 5.5 1

97 99 1 5.0 6.0 6.0 6.0 1

100 102 1 5.0 6.5 6.0 6.5 1

103 105 1 5.0 7.0 6.0 7.0 1

106 108 1 5.0 7.5 6.0 7.5 1

109 111 1 5.0 8.0 6.0 8.0 1

112 114 1 5.0 8.5 6.0 8.5 1

115 117 1 5.0 9.0 6.0 9.0 1

118 120 1 5.0 9.5 6.0 9.5 1

121 123 1 5.0 10.0 6.0 10.0 1

124 126 1 5.0 10.5 6.0 10.5 1

127 129 1 5.0 11.0 6.0 11.0 1

130 132 1 5.0 11.5 6.0 11.5 1

133 135 1 5.0 12.0 6.0 12.0 1

136 138 1 5.0 12.5 6.0 12.5 1

139 141 1 5.0 13.0 6.0 13.0 1

142 144 1 5.0 13.5 6.0 13.5 1

145 167 1 0.0 14.0 11.0 14.0 1

168 190 1 0.0 14.5 11.0 14.5 1

191 213 1 0.0 15.0 11.0 15.0 1

8

1 22 1 1 4 1 2 25 24

23 44 1 1 4 24 25 48 47

45 46 1 1 4 57 58 71 70

47 93 2 3 4 70 71 74 73

48 94 2 3 4 71 72 75 74

95 96 1 1 4 142 143 156 155

97 118 1 1 4 145 146 169 168

119 140 1 1 4 168 169 192 191

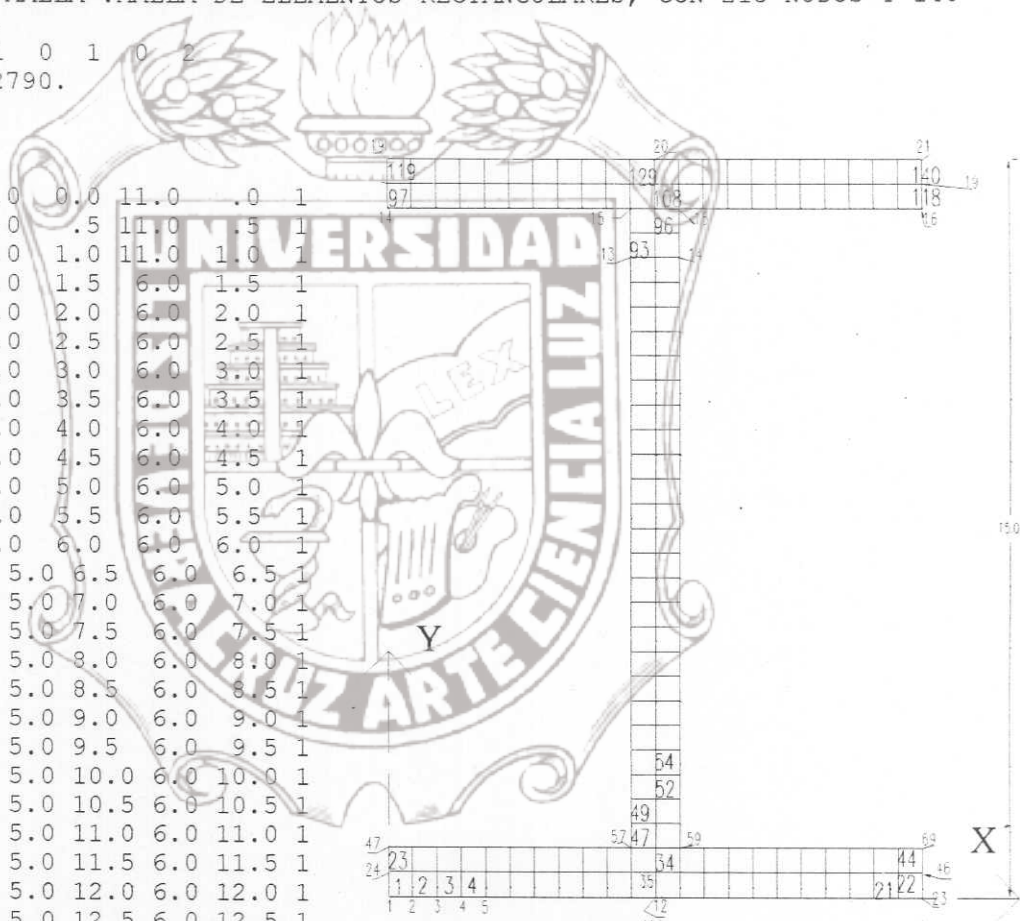


Fig. 5.3.6.1) Malla de problema 61SI.

Tesis de Maestría

108

0
1 0. 2 0. 3 0. 4 0. 5 0. 6 0. 7 0. 8 0. 9 0. 10 0. 11 0. 12 0. 13 0.
14 0. 15 0. 16 0. 17 0. 18 0. 19 0. 20 0. 21 0. 22 0. 23 0. 24 0. 46 0.
47 0. 48 0. 49 0. 50 0. 51 0. 52 0. 53 0. 54 0. 55 0. 56 0. 57 0. 59 0.
60 0. 61 0. 62 0. 63 0. 64 0. 65 0. 66 0. 67 0. 68 0. 69 0. 70 0. 72 0.
73 0. 75 0. 76 0. 78 0. 79 0. 81 0. 82 0. 84 0. 85 0. 87 0.88 0. 90 0.
91 0. 93 0. 94 0. 96 0. 97 0. 99 0. 100 0. 102 0. 103 0. 105 0. 106 0.
108 0. 109 0. 111 0. 112 0. 114 0. 115 0. 117 0. 118 0. 120 0. 121 0.
123 0. 124 0. 126 0. 127 0. 129 0. 130 0. 132 0. 133 0. 135 0. 136 0.
138 0. 139 0. 141 0. 142 0. 144 0. 145 0. 146 0. 147 0. 148 0. 149 0.
150 0. 151 0. 152 0. 153 0. 154 0. 155 0. 157 0. 158 0. 159 0. 160 0.
161 0. 162 0. 163 0. 164 0. 165 0. 166 0. 167 0. 168 0. 190 0. 191 0.
192 0. 193 0. 194 0. 195 0. 196 0. 197 0. 198 0. 199 0. 200 0. 201 0.
202 0. 203 0. 204 0. 205 0. 206 0. 207 0. 208 0. 209 0. 210 0. 211 0.
212 0. 213 0.
0
0 0



RESUMEN DE RESULTADOS, SEXTO EJEMPLO, MALLA 1:

COORDENADAS NODALES

| NODO | X | Y |
|------|------------|------------|
| 11 | .50000E+01 | .00000E+00 |
| 12 | .55000E+01 | .00000E+00 |
| 13 | .60000E+01 | .00000E+00 |
| 33 | .45000E+01 | .50000E+00 |
| 34 | .50000E+01 | .50000E+00 |
| 35 | .55000E+01 | .50000E+00 |
| 56 | .45000E+01 | .10000E+01 |
| 57 | .50000E+01 | .10000E+01 |
| 58 | .55000E+01 | .10000E+01 |
| 100 | .50000E+01 | .65000E+01 |
| 178 | .50000E+01 | .14500E+02 |
| 179 | .55000E+01 | .14500E+02 |
| 180 | .60000E+01 | .14500E+02 |
| 201 | .50000E+01 | .15000E+02 |
| 202 | .55000E+01 | .15000E+02 |
| 203 | .60000E+01 | .15000E+02 |

DATOS DE LOS ELEMENTOS

| NEL | NMTL | NÚMERO NODO |
|-----|------|-----------------|
| 11 | 1 | 11 12 35 34 |
| 12 | 1 | 12 13 36 35 |
| 33 | 1 | 34 35 58 57 |
| 129 | 1 | 178 179 202 201 |
| 130 | 1 | 179 180 203 202 |

EL ANCHO DE BANDA ES 25 EN EL ELEMENTO 1
VALORES NODALES CONOCIDOS DE PHI

| | |
|-----|------------|
| 11 | .00000E+00 |
| 12 | .00000E+00 |
| 56 | .00000E+00 |
| 57 | .00000E+00 |
| 201 | .00000E+00 |
| 202 | .00000E+00 |
| 203 | .00000E+00 |

Tesis de Maestría

109

CANTIDADES CALCULADAS

VALORES NODALES DE PHI

| | | | | | |
|-----|------------|-----|------------|-----|------------|
| 11 | .00000E+00 | 12 | .00000E+00 | 13 | .00000E+00 |
| 34 | .41727E+03 | 35 | .42392E+03 | 36 | .41727E+03 |
| 57 | .00000E+00 | 58 | .46430E+03 | 178 | .41727E+03 |
| 179 | .42392E+03 | 180 | .41727E+03 | 201 | .00000E+00 |
| 202 | .00000E+00 | 203 | .00000E+00 | | |

ELEMENTO POSICIÓN TAU (ZX) TAU (ZY)

| | | | |
|-----|----------|-------------|-------------|
| 11 | NODO 11 | .83454E+03 | .00000E+00 |
| | CENTRO | .84119E+03 | -.66464E+01 |
| | NODO 35 | .84784E+03 | -.13293E+02 |
| 12 | NODO 12 | .84784E+03 | .00000E+00 |
| | CENTRO | .84119E+03 | .66464E+01 |
| | NODO 36 | .83454E+03 | .13293E+02 |
| 33 | NODO 34 | -.83454E+03 | -.13293E+02 |
| | CENTRO | -.37689E+03 | -.47094E+03 |
| | NODO 58 | .80761E+02 | -.92860E+03 |
| 129 | NODO 178 | -.83454E+03 | -.13293E+02 |
| | CENTRO | -.84119E+03 | -.66464E+01 |
| | NODO 202 | -.84784E+03 | .00000E+00 |

VOL.BAJO(PHI) PARA LA SECCIÓN = .12295E+05

| ELEMENTO | TAU (ZY) MAX | ELEMENTO | TAU (ZX) MAX | VOL (PHI) |
|----------|--------------|----------|--------------|-----------|
| 33 | -.9286E+03 | 129 | -.8478E+03 | .1229E+05 |

ARCHIVO DE DATOS, SEXTO EJEMPLO, MALLA 2:

SOLUCIÓN A PROB. DE TORSIÓN (62SI.DAT) SECCIÓN I (1/4 DE ÁREA)
DE 15CM DE PERALTE , 11CM DE PATÍN Y 1CM DE ESPESOR, GENERANDO MALLA .
MALLA DE ELEMENTOS RECTANGULARES, CON 193 NUDOS Y 140 ELEMENTOS.

193 140 1 0 1 0 2

1. 1. 0. 2790.

1 4

140 193

31

| | | | | | | | |
|-----|-----|---|-----|------|-----|------|-----|
| 1 | 23 | 1 | 0.0 | 0.0 | 5.5 | 0 | 5.5 |
| 24 | 46 | 1 | 0.0 | .25 | 5.5 | .25 | 4.5 |
| 47 | 69 | 1 | 0.0 | .5 | 5.5 | .5 | 3.5 |
| 70 | 92 | 1 | 0.0 | .75 | 5.5 | .75 | 2.5 |
| 93 | 115 | 1 | 0.0 | 1.00 | 5.5 | 1.0 | 1 |
| 116 | 118 | 1 | 0.0 | 1.25 | .5 | 1.25 | 1 |
| 119 | 121 | 1 | 0.0 | 1.5 | .5 | 1.5 | 1 |
| 122 | 124 | 1 | 0.0 | 1.75 | .5 | 1.75 | 1 |
| 125 | 127 | 1 | 0.0 | 2.0 | .5 | 2.0 | 1 |
| 128 | 130 | 1 | 0.0 | 2.25 | .5 | 2.25 | 1 |
| 131 | 133 | 1 | 0.0 | 2.5 | .5 | 2.5 | 1 |
| 134 | 136 | 1 | 0.0 | 2.75 | .5 | 2.75 | 1 |
| 137 | 139 | 1 | 0.0 | 3.0 | .5 | 3.0 | 1 |
| 140 | 142 | 1 | 0.0 | 3.25 | .5 | 3.25 | 1 |
| 143 | 145 | 1 | 0.0 | 3.5 | .5 | 3.5 | 1 |
| 146 | 148 | 1 | 0.0 | 3.75 | .5 | 3.75 | 1 |
| 149 | 151 | 1 | 0.0 | 4.0 | .5 | 4.0 | 1 |
| 152 | 154 | 1 | 0.0 | 4.25 | .5 | 4.25 | 1 |
| 155 | 157 | 1 | 0.0 | 4.5 | .5 | 4.5 | 1 |
| 158 | 160 | 1 | 0.0 | 4.75 | .5 | 4.75 | 1 |

```

161 163 1 0.0 5.0 .5 5.0 1
164 166 1 0.0 5.25 .5 5.25 1
167 169 1 0.0 5.5 .5 5.5 1
170 172 1 0.0 5.75 .5 5.75 1
173 175 1 0.0 6.0 .5 6.0 1
176 178 1 0.0 6.25 .5 6.25 1
179 181 1 0.0 6.5 .5 6.5 1
182 184 1 0.0 6.75 .5 6.75 1
185 187 1 0.0 7.0 .5 7.0 1
188 190 1 0.0 7.25 .5 7.25 1
191 193 1 0.0 7.5 .5 7.5 1
8

```

```

1 22 1 1 4 1 2 25 24
23 44 1 1 4 24 25 48 47
45 66 1 1 4 47 48 71 70
67 88 1 1 4 70 71 94 93
89 89 0 0 4 93 94 117 116
90 90 0 0 4 94 95 118 117
91 139 2 3 4 116 117 120 119
92 140 2 3 4 117 118 121 120
0

```

```

1 0. 2 0. 3 0. 4 0. 5 0. 6 0. 7 0.
8 0. 9 0. 10 0. 11 0. 12 0. 13 0.
14 0. 15 0. 16 0. 17 0. 18 0. 19 0.
20 0. 21 0. 22 0. 23 0. 46 0. 69 0.
92 0. 95 0. 96 0. 97 0. 98 0. 99 0.
100 0. 101 0. 102 0. 103 0. 104 0.
105 0. 106 0. 107 0. 108 0. 109 0.
110 0. 111 0. 112 0. 113 0. 114 0.
115 0. 118 0. 121 0. 124 0. 127 0.
130 0. 133 0. 136 0. 139 0. 142 0.
145 0. 148 0. 151 0. 154 0. 157 0.
160 0. 163 0. 166 0. 169 0. 172 0.
175 0. 178 0. 181 0. 184 0. 187 0.
190 0. 193 0.
0 0 0 0 0 0 0 0 0 0 0 0 0

```

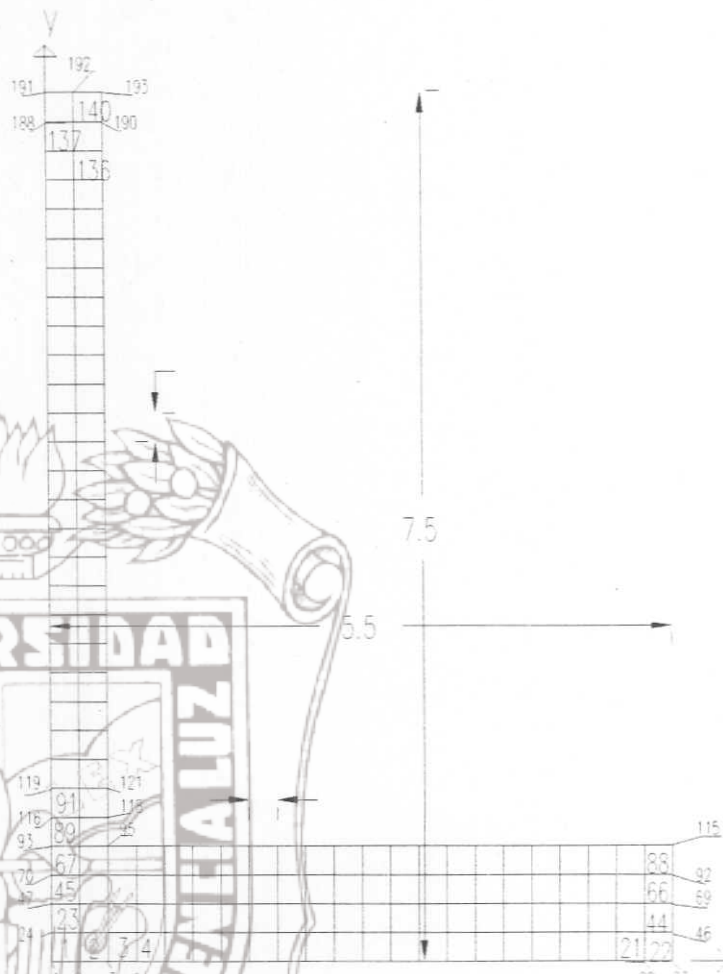


Fig. 5.3.6.2) Malla de problema 62SI.

RESUMEN DE DATOS, SEXTO EJEMPLO, MALLA 2 :

SOLUCIÓN A PROB. DE TORCIÓN (62SI.DAT) .SECCIÓN I (1/4 DE ÁREA)
DE 15CM DE PERALTE , 11CM DE PATÍN Y 1CM DE ESPESOR, GENERANDO MALLA .
MALLA DE ELEMENTOS RECTANGULARES, CON 193 NUDOS Y 140 ELEMENTOS.

NP = 193

NE = 140

ITYP = 1

IPLVL = 0

MESH = 2

COEFICIENTES DE ECUACIONES MATERIAL

| SET | DX | DY | P | Q |
|-----|------------|------------|------------|------------|
| 1 | .10000E+01 | .10000E+01 | .00000E+00 | .27900E+04 |

COORDENADAS NODALES

| NODO | X | Y |
|------|------------|------------|
| 1 | .00000E+00 | .00000E+00 |
| 2 | .42308E+00 | .00000E+00 |
| 24 | .00000E+00 | .25000E+00 |
| 25 | .40909E+00 | .25000E+00 |
| 71 | .35714E+00 | .75000E+00 |
| 72 | .70408E+00 | .75000E+00 |

Tesis de Maestría

111

| | | |
|-----|------------|------------|
| 94 | .25000E+00 | .10000E+01 |
| 95 | .50000E+00 | .10000E+01 |
| 117 | .25000E+00 | .12500E+01 |
| 118 | .50000E+00 | .12500E+01 |

DATOS DE LOS ELEMENTOS

| NEL | NMTL | NÚMERO NODO | | | |
|-----|------|-------------|----|-----|-----|
| 1 | 1 | 1 | 2 | 25 | 24 |
| 68 | 1 | 71 | 72 | 95 | 94 |
| 90 | 1 | 94 | 95 | 118 | 117 |

| ELEMENTO | POSICIÓN | TAU (ZX) | TAU (ZY) |
|----------|----------|-------------|------------|
| 1 | NODO 1 | .13850E+04 | .00000E+00 |
| | CENTRO | .13552E+04 | .17616E+02 |
| | NODO 25 | .18254E+04 | .35232E+02 |
| 68 | NODO 71 | -.22967E+03 | .44578E+03 |
| | CENTRO | -.85435E+03 | .89592E+03 |
| | NODO 95 | -.14790E+04 | .13461E+04 |
| 90 | NODO 94 | -.51416E+03 | .18680E+04 |
| | CENTRO | -.25708E+03 | .16109E+04 |
| | NODO 118 | .00000E+00 | .13538E+04 |

VOL.BAJO (PHI) PARA LA SECCIÓN= .40062E+04

| ELEMENTO | TAU (ZY) MAX | ELEMENTO | TAU (ZX) MAX | VOL (PHI) |
|----------|--------------|----------|--------------|-----------|
| 90 | .1868E+04 | 68 | -.1479E+04 | .4006E+04 |

Los valores teóricos son obtenidos usando las ecuaciones de la sección (2.10). El valor que se ocupa del módulo de elasticidad al cortante ($G=8 \times (10^6) \text{ N/cm}^2$) será para un material de acero, laminado en caliente, bajo contenido de carbono y el ángulo de torsión por unidad de longitud ($\theta = 0.01^\circ/\text{cm} = 0.00017453 \text{ rad/cm}$). De lo anterior se tiene que:

$$M_t = \frac{G\theta(2t^3b + c^3h)}{3} = \frac{1396(35)}{3} = 16,286.667,$$

$$\tau_{\max} = \frac{3Mt(t)}{(2t^3b + c^3h)} = 1396$$

Valores resultantes de la primera corrida con 61SI.DAT:

| ELEMENTO | TAU (ZY) MAX | ELEMENTO | TAU (ZX) MAX | VOL (PHI) |
|----------|--------------|----------|--------------|-----------|
| 33 | -.9286E+03 | 129 | -.8478E+03 | .1229E+05 |

Valores resultantes de la segunda corrida con 62SI.DAT:

| ELEMENTO | TAU (ZY) MAX | ELEMENTO | TAU (ZX) MAX | VOL (PHI) |
|----------|--------------|----------|--------------|-------------------------|
| 90 | .1868E+04 | 68 | -.1479E+04 | (.4006E+04) * 4 = 16024 |

Los resultados de las corridas del programa indican que los valores máximos de esfuerzos se encuentran en la unión entre alma y patín, estos valores aunque máximos, no se tomarán en cuenta en la comparación final, pues los valores máximos teóricos se calcularon para un máximo esperado en la mitad del patín sin tomar en consideración la concentración de esfuerzos en la unión patín-alma.

Los valores encontrados serán:

Valores resultantes de la primera corrida con 61SI.DAT:

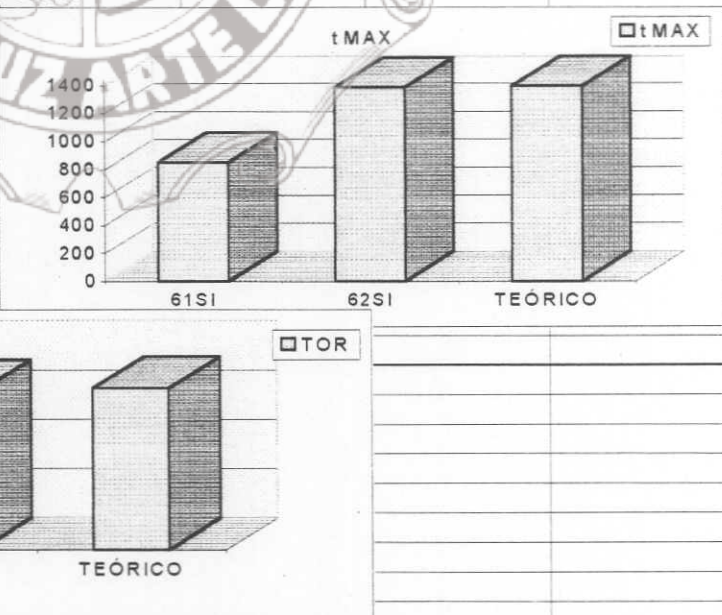
| ELEMENTO | POSICIÓN | TAU (ZX) | TAU (ZY) |
|----------|----------|--------------------|-------------|
| 11 | NODO 11 | .83454E+03 | .00000E+00 |
| | CENTRO | .84119E+03 | -.66464E+01 |
| | NODO 35 | .84784E+03 | -.13293E+02 |
| 12 | NODO 12 | .84784E+03 | .00000E+00 |
| | CENTRO | .84119E+03 | .66464E+01 |
| | NODO 36 | .83454E+03 | .13293E+02 |
| 129 | NODO 178 | -.83454E+03 | -.13293E+02 |
| | CENTRO | -.84119E+03 | -.66465E+01 |
| | NODO 202 | -.84784E+03 | .00000E+00 |
| 130 | NODO 179 | -.84784E+03 | .13293E+02 |
| | CENTRO | -.84119E+03 | .66465E+01 |
| | NODO 203 | -.83454E+03 | .00000E+00 |

Valores resultantes de la segunda corrida con 62SI.DAT:

| ELEMENTO | POSICIÓN | TAU (ZX) | TAU (ZY) |
|----------|----------|-------------------|------------|
| 1 | NODO 1 | .13850E+04 | .00000E+00 |
| | CENTRO | .13552E+04 | .17616E+02 |
| | NODO 25 | .13254E+04 | .35232E+02 |

RESULTADOS SECCIÓN 5.3.6.
SECCIÓN RECTANGULAR ESTRECHA.

| PROB. | t MAX | TOR |
|---------|-------|-------|
| 61SI | 848 | 12290 |
| 62SI | 1385 | 16024 |
| TEÓRICO | 1396 | 16287 |



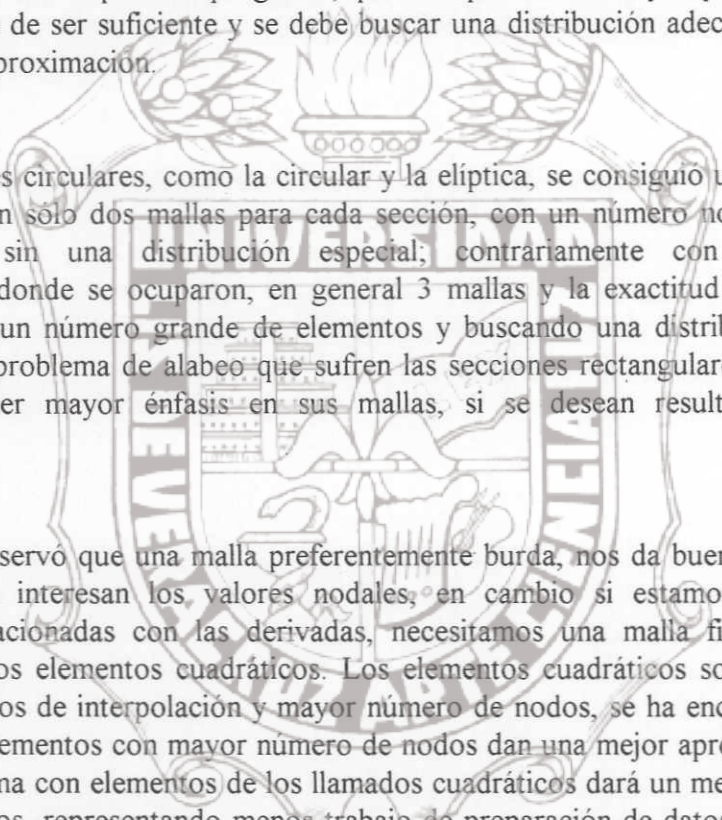
CONCLUSIONES :

En el presente trabajo se presentó el problema de torsión y su efecto en barras de diferentes tipos de secciones, el problema se expuso desde sus fundamentos hasta su tratamiento por el método de elemento finito, estos principios sirvieron para elaborar un programa de computadora, con el que se resolvieron las secciones más comunes; para cada una de éstas se elaboraron dos o tres mallas, cada una con diferente número de elementos y de nodos, obteniendo resultados aproximados que muestran como el método converge a la solución teórica, el método de elemento finito por su naturaleza ofrece la ventaja de mostrar un panorama general del problema, al dar resultados en los nodos de una malla que abarca toda la sección, con esto podemos apreciar como varían los esfuerzos en toda la sección.

Se comprobó que los esfuerzos máximos son detectados con precisión por el programa, como un ejemplo, en la sección "I" (sección 5.3.6), se localizaron las concentraciones de esfuerzo en la unión alma-patín, en general en todas las secciones sometidas a torsión los esfuerzos máximos coincidieron con los teóricos, una ventaja más de la solución por elemento finito.

La exactitud de los resultados, tanto de los esfuerzos, como del momento torsionante, dependen de muchos factores, pero se ha detectado que son factores importantes el número de elementos, el tipo de elementos, su distribución y el número de nodos. Por ejemplo en el problema de torsión en una sección rectangular (sección 5.3.1), la primera malla que se utilizó es de tres elementos, dos triangulares y uno rectangular, la segunda malla es de 55 elementos, 10 triangulares y 45 rectangulares, la tercera malla es de 400 elementos, todos triangulares, en la primera malla tenemos un error aproximado del 32% en el esfuerzo y 12% en el momento torsionante, en la segunda malla tenemos un error aproximado del 7% en el esfuerzo y 1% en el momento torsionante, con lo que se comprueba que con más elementos tenemos mejor aproximación, en la tercera malla encontramos un error aproximado del 0.69% en el esfuerzo y 0.23% en el momento torsionante, con lo que los valores son casi los teóricos, esto se consiguió, ocupando mas elementos, pero lo verdaderamente importante es la distribución de los elementos; distribuyéndolos de tal manera que elementos mas pequeños estén en la parte de la sección donde se necesitaba mayor exactitud, encontramos mejores resultados, con lo que concluimos que donde se necesita conocer con mas exactitud los valores que arroja el programa, se necesita poner énfasis en la distribución de los elementos, ocupando para esa zona menor distancia entre los nodos, lo que nos da elementos mas pequeños, resultando valores mas exactos.

También se observó que si aumentamos el número de elementos a una malla la cual ha dado resultados aceptables, por ejemplo la segunda malla del problema en la sección rectangular, la aproximación se incrementa poco, contrariamente con el trabajo de preparación de datos para el programa, por lo que se concluye que el número de elementos debe de ser suficiente y se debe buscar una distribución adecuada, lo que nos dará la mejor aproximación.



En las secciones circulares, como la circular y la elíptica, se consiguió una aproximación muy buena, con sólo dos mallas para cada sección, con un número no muy grande de elementos y sin una distribución especial; contrariamente con los problemas rectangulares, donde se ocuparon, en general 3 mallas y la exactitud buscada sólo se consiguió con un número grande de elementos y buscando una distribución adecuada, esto señala el problema de alabeo que sufren las secciones rectangulares, por lo que se tiene que poner mayor énfasis en sus mallas, si se desean resultados con buena aproximación.

También se observó que una malla preferentemente burda, nos da buenos resultados si solamente nos interesan los valores nodales, en cambio si estamos interesados en cantidades relacionadas con las derivadas, necesitamos una malla fina de elementos lineales o varios elementos cuadráticos. Los elementos cuadráticos son elementos con niveles más altos de interpolación y mayor número de nodos, se ha encontrado en otros trabajos que elementos con mayor número de nodos dan una mejor aproximación, por lo que un problema con elementos de los llamados cuadráticos dará un mejor resultado con pocos elementos, representando menos trabajo de preparación de datos. En éste trabajo se ocuparon elementos lineales y bilineales, por su simpleza, pero una futura mejora del programa, sería incorporar elementos cuadráticos, con lo que se mejorará la exactitud de los resultados, ocupando menor número de elementos.

APÉNDICE A. DATOS DE ENTRADA PARA PROGRAMA "TOR.EXE":

A).- TÍTULO :

Tres renglones de datos que describan el problema por resolver.

B).- PARÁMETROS :

- 1)- NP = Número de ecuaciones (número de nodos).
- 2)- NE = Número de elementos.
- 3)- NCOEF = Número de juegos de ecuaciones coeficientes 5 máximo.
- 4)- NDBC = Número de elemento con lados con condiciones de frontera.
- 5)- ITYP = Tipo de problema : 1)- torsión
- 6)- IPLVL = Impresión de matriz de rigidez y vector de carga para cada elemento.
 1) si 0) no.
- 7)- MESH = Tipo de Generación de malla .
 0)- No se desea generación de malla
 1)- Generación ortogonal en X y en Y, elementos simples ortogonales
 2)- Generación en líneas de nodos y elementos para malla mas complicados.

C).- COEFICIENTES DE LAS ECUACIONES :

(EL NUMERO DE JUEGOS DEBE SER = NCOEF).

- DX(I) = Propiedad del material en la dirección X.
DY(I) = Propiedad del material en la dirección Y.
P(I) = Coeficiente que multiplica a PHI en la ecuación diferencial.
Q(I) = Coeficiente constante en la ecuación diferencial.

D).- COORDENADAS DE LOS NODOS GENERACIÓN DE MALLA.

(SI MESH=0):

01).- COORDENADAS DEL ELEMENTO:

- DA)- Coordenadas en X de los nodos = XC().
DB)- Coordenadas en Y de los nodos = YC().

02).- DATOS DEL ELEMENTO:

- N = Número de elemento.
NMLT(N) = Entero que especifica el juego de ecuaciones.
NEL(N,1) = Número que corresponde al nodo I para este elemento.
NEL(N,2) = Número que corresponde al nodo J para este elemento.
NEL(N,3) = Número que corresponde al nodo K para este elemento.
NEL(N,4) = Número que corresponde al nodo M para este elemento.
(para el elemento rectangular NEL(N,4)=0).

(SI MESH = 1 o SI MESH = 2.)

IELTYP = Tipo de elemento.

0 = Triangulares.

1 = Rectangulares.

NPE = Nodos por elemento.

(SI MESH = 1)

- NX = Número de elementos en X.
NY = Número de elementos en Y.
X0,DX(I) = Coordenada global del primer nodo en X, y la longitud de
 espaciamiento de los elementos.
Y0,DY(I) = Coordenada global del primer nodo en Y, y la longitud de
 espaciamiento de los elementos en Y.

(SI MESH = 2)

NE = Número de elemento.
NP = Número de nodos.

NRECL = Número de líneas de nodos en la malla (respecto al eje X).

NOD1 = Primer nodo en la línea.
NODL = Último nodo en la línea.

NODINC = Incremento constante en el número de nodo en la línea .

X1 = Coordenada global X de NOD1.

Y1 = Coordenada global Y de NOD1.

XL = Coordenada global X de NODL.

YL = Coordenada global Y de NODL.

RATIO = La relación del primer elemento para el último elemento .

NRECEL = Número de líneas de elementos por ser leídos en la malla .

NEL1 = Primer elemento en la línea .

NELL = Último elemento en la línea.

IELINC = Incremento constante en el número de elemento en la linea .

NODINC = Incremento constante en el número de nodo en la linea .

NPÈ = Número de nodos en cada elementos .

NODE(I) = Arreglo de conectividad del primer elemento en el renglón.

Para elementos especiales que no sigue ninguna relación con las líneas de nodos y elementos, se puede meter uno por uno de estos elementos especiales.

E).- CONDICIONES DE FRONTERA.

(EL NÚMERO DE VALORES DEBE SER=NDBC)

IDBC(I,1) - Número de elemento con condiciones de frontera.

IDBC(I,2) - Lado del elemento con condiciones de frontera.

DBC(I,1) - (coeficiente m)*(longitud del lado).

DBC(I,2) - (coeficiente s)*(longitud del lado).

F) .- SUBRUTINA MODIFY.

ENTRADA PARA VALORES NODALES DE FUERZA .

PARA PROBLEMAS DE CAMPO:

IB - Número de nodo.

BV -Valor.

PARA PROBLEMAS DE MECÁNICA DE SÓLIDOS:

IB - Grados de libertad de la fuerza.

BV -Valor de la fuerza.

La entrada tanto de IB como BV es terminada cuando se encuentra un valor cero 0 para IB.

ENTRADA PARA VALORES NODALES PRESCRITOS .

PARA PROBLEMAS DE CAMPO:

IB - Número de nodo.

BV -Valores conocidos de ϕ (phi).

PARA PROBLEMAS DE MECÁNICA DE SÓLIDOS:

IB -Grados de libertad de los desplazamientos conocidos.

BV -El valor del desplazamiento.

La entrada tanto de IB como BV es terminada cuando se encuentra un valor cero 0 para IB.

APÉNDICE B

LISTADO EN FORTRAN DE PROGRAMA "TOR.EXE":

```
$DEBUG
INCLUDE 'FGRAPH.FI'
IMPLICIT REAL*8 (A-H,O-Z)
INCLUDE 'FGRAPH.FD'
PARAMETER (NRMAX=500,NCMAX=500,MAXELM=500,MAXNOD=700,MAXSPV=500
*           MAXSSV=100, MAXCNV=100, MAXNX=100, MAXNY=100)
COMMON/ELMATX/ESM(4,4),EF(4),X(4),Y(4),KL
COMMON/MATL/DXE,DYE,PE,QE
COMMON/HCV/IDBC(50,2),DBC(50,2),NDBC
COMMON/AV/A(19850),JGF,JGSM,NP,NBW
COMMON/TLE/TITLE(20)
COMMON/IPO/IN,IO
DIMENSION GLXY(MAXNOD,2),PX(MAXNX),PY(MAXNY)
DIMENSION NEL(MAXELM,9),NMTL(MAXELM),XC(MAXNOD),YC(MAXNOD)
DIMENSION NS(4),PHI(4),GDX(4),GDY(4)
DIMENSION DX(5),DY(5),P(5),Q(5),GRDC(5,2)
DIMENSION B(3),C(3),ICK(MAXELM),TITLE1(20),TITLE2(20),TITLE3(20)
DATA GRDC/-1.,-1.,1.,-1.,-1.,1.,1.,-1.,-1./
DATA IN/60/,IO/61/,KT/62/,IEE/0/,VOI/0/
WRITE(*,*)'60=datos(.DAT)/ 61=resul.(.RES)/ 62=gráfica(.SCR)'
OPEN(IN,FILE=' ')
OPEN(IO,FILE=' ')
OPEN(KT,FILE=' ')
READ(IN,3) TITLE1
READ(IN,3) TITLE2
READ(IN,3) TITLE3
READ(IN,3) TITLE
READ(IN,*) NP,NE,NCOEF,NDBC,ITYP,IPLVL,MESH
WRITE(IO,5) TITLE1
WRITE(IO,5) TITLE2
WRITE(IO,5) TITLE3
IF(NE.GT.10) IPLVL=0
IF(IPLVL.GT.1) IPLVL=0
C
C          COMPARACIÓN DE NP,NE,NDBC Y ITYP CON LOS VALORES EN
C          LAS DIMENSIONES DE LAS SENTENCIAS.
C
ISTOP=0
C
C          COMPARACIÓN DE NP
C
IF(NP.LE.700) GO TO 600
WRITE(IO,10)
ISTOP=1
C
C          COMPARACIÓN DE NE
C
600 IF(NE.LE.500) GO TO 601
WRITE(IO,2)
WRITE(*,2)
ISTOP=1
C
C          COMPARACIÓN DE NDBC
C
601 IF(NDBC.LE.50) GO TO 602
WRITE(IO,47)
WRITE(*,47)
ISTOP=1
```

C C COMPARACIÓN DE ITYP
C
602 IF(ITYP.LE.5) GO TO 603
WRITE(IO,101)
ISTOP=1
C
C COMPARACIÓN DE NCOEF
C
603 IF(NCOEF.LE.5) GO TO 109
WRITE(IO,604)
WRITE(*,604)
ISTOP=1
109 IF(ISTOP.EQ.1) STOP
C
C LECTURA DE LOS COEFICIENTES DE LAS ECUACIONES Y DE
C LAS COORDENADAS NODALES Y DATOS NODALES DEL ELEMENTO
C SI NO SE PIDE GENERACION DE MALLA MESH=0
C
READ(IN,*) (DX(I),BY(I),P(I),Q(I),I=1,NCOEF)
C
C LECTURA DE DATOS PARA LA GENERACION DE MALLAS
C
IF(MESH.NE.0) THEN
READ(IN,*) IELTYP,NPE
IF(NPE.LE.4) THEN
IEL=1
ELSE
IEL=2
ENDIF
ENDIF
IF(MESH.NE.1) THEN
IF(MESH.EQ.0) THEN
C
C LA MALLA NO PUEDE SER GENERADA POR EL PROGRAMA, LEE LOS DATOS
C DE LA MALLA EN LAS SIGUIENTES SENTENCIAS
C
READ(IN,*) (XC(I),I=1,NP)
READ(IN,*) (YC(I),I=1,NP)
NID=0
DO 9 KK=1,NE
READ(IN,*) N,NMTL(KK),(NEL(N,I),I=1,4)
IF((N-1).NE.NID) THEN
WRITE(IO,17) N
WRITE(*,17) N
ENDIF
9 NID=N
ELSE
C
C CUANDO LA MALLA SE GENERA PARA PROBLEMAS CON GEOMETRÍAS
C MAS COMPLICADAS LLAMAR MSH2DGENERAL(EL CUAL LEE LOS DATOS PERTINENTES)
C
CALL MSH2DG(NEM,NNM,NEL,MAXELM,MAXNOD,GLXY)
ENDIF
ELSE
C
C CUANDO LA MALLA ES GENERADA PARA DOMINIOS RECTANGULARES LLAMA A LA
C SUBRUTINA MSH2DRECTANGULAR EL CUAL REQUIERE LOS SIGUIENTES DATOS
C
CALL MSH2DR(IEL,IELTYP,NX,NY,NPE,NNM,NEM,NEL,PX,PY,X0,Y0,
* GLXY,MAXELM,MAXNOD,MAXNX,MAXNY)
ENDIF

```
IF(MESH.NE.0) THEN
NP=NNM
NE=NEM
DO 201 I=1,NP
XC(I)=GLXY(I,1)
YC(I)=GLXY(I,2)
DO 202 I=1,NE
NMTL(I)=1
202 CONTINUE
201 CONTINUE
ENDIF
C
C SALIDA DE TÍTULO Y PARÁMETROS.
C
C WRITE(IO,4) TITLE,NP,NE,ITYP,IPLVL,MESH
C
C SALIDA DE LOS COEFICIENTES DE LAS ECUACIONES.
C
C WRITE(IO,48)
C WRITE(IO,16) I,DX(I),DY(I),P(I),Q(I),I=1,NCOEF
C
C SALIDA DE LAS COORDENADAS NODALES
C
C WRITE(IO,11)
C WRITE(IO,12) (I,XC(I),YC(I),I=1,NP)
C WRITE(7,12) (I,XC(I),YC(I),I=1,NP)
C
C SALIDA DE LOS DATOS NODALES DEL ELEMENTO.
C
C WRITE(IO,8) TITLE
DO 19 N=1,NE
IF(NEL(N,4).EQ.0) WRITE(IO,7) N,NMTL(N),(NEL(N,I),I=1,3)
19 IF(NEL(N,4).NE.0) WRITE(IO,7) N,NMTL(N),(NEL(N,I),I=1,4)

C
C LLAMA A LA SUBRUTINA DE GRAFICACIÓN ANTES DE REVISAR VALORES,
C Y HACER CUALQUIER OTRO CÁLCULO, MAS QUE EL DE GENERACIÓN DE MALLA.
C
C CALL GRAFICA(NEL, XC, YC, NP, NE, MAXELM, MAXNOD)
C
C LECTURA Y ESCRITURA DE LOS DATOS SOBRE CONDICIONES DE FRONTERA.
C
C IF(NDBC.EQ.0) GO TO 72
C WRITE(IO,49)
C DO 45 I=1,NDBC
C READ(IN,*) IDBC(I,1),IDBC(I,2),DBC(I,1),DBC(I,2)
45 WRITE(IO,71) IDBC(I,1),IDBC(I,2),DBC(I,1),DBC(I,2)

C
C ANÁLISIS DEL NÚMERO DE NODOS.
C
C INICIALIZACIÓN DE UN VECTOR DE COMPARACIÓN.
C
C 72 DO 500 I=1,NP
500 ICK(I)=0
C
C COMPARACIÓN PARA VER SI ALGÚN NODO EXcede EL NÚMERO NP.
C
C DO 501 I=1,NE
KL=4
IF(NEL(I,4).EQ.0) KL=3
DO 502 J=1,KL
K=NEL(I,J)
ICK(K)=1
502 IF(K.GT.NP) WRITE(IO,503) J,I,NP
501 CONTINUE
```

```

C      COMPARACIÓN PARA VER SI LOS NÚMEROS DE NODOS HASTA NP ESTAN INCLUIDOS
C
C      DO 505 I=1,NP
C      IF(ICK(I).EQ.0) THEN
C      WRITE(IO,506) I
C      WRITE(*,506) I
505    ENDIF
C
C      CREACIÓN E INICIALIZACIÓN DEL VECTOR A .
C
C      CÁLCULO DEL ANCHO DE BANDA.
C
C      INBW=0
C      NBW=0
C      DO20KK=1,NE
C      KL=4
C      IF(NEL(KK,4).EQ.0) KL=3
C      DO 25 I=1,KL
25      NS(I)=NEL(KK,I)
      LK=KL-1
      DO21I=1,LK
      IJ=IJ+1
      DO21J=IJ,KL
      NB=IABS(NS(I)-NS(J))
      IF(NB.EQ.0) THEN
      WRITE(IO,26) KK
      WRITE(*,26) KK
      ENDIF
      IF(NB.LE.NBW) GO TO 21
      INBW=KK
      NBW=NB
21      CONTINUE
20      CONTINUE
      NBW=NBW+1
      WRITE(IO,27) NBW,INBW
C
C      CÁLCULO DE INDICADORES E INICIALIZACIÓN DEL VECTOR COLUMNA A( ).
C
C      JGF=NP
C      JGSM=JGF+NP
C      JEND=JGSM+NP*NBW
C      write(*,*) 'JEND=' , JEND
C      IF(JEND.GT.19850) GO TO 22
      DO 24 I=1,JEND
24      A(I)=0.0
      GO TO 30
22      WRITE(IO,23)
      WRITE(*,23)
      GOTO 1000
C
C      GENERACIÓN DEL SISTEMA DE ECUACIONES .
C
30      DO 32 KK=1,NE
      KL=4
      IF(NEL(KK,4).EQ.0) KL=3
C
C      RECUPERACIÓN DE LAS COORDENADAS Y NÚMERO DE LOS NODOS.
C
      DO 31 I=1,KL
      NS(I)=NEL(KK,I)
      J=NS(I)
      X(I)=XC(J)
      X(I)=YC(J)
31      Y(I)=YC(J)

```

C
C COEFICIENTES DE LOS ELEMENTOS.
C
II=NMTL(KK)
DXE=DX(II)
DYE=DY(II)
PE=P(II)
QE=Q(II)

C
C CÁLCULO DE LA MATRIZ DE RIGIDEZ DE ELEMENTO Y VECTOR DE FUERZA.
C
CALL ELSTMF(KK,IPLVL)
C
C PROCEDIMIENTO DIRECTO DE RIGIDEZ.
C
DO33I=1, KL
II=NS(I)
A(JGF+II)=A(JGF+II)+EF(I)
DO34J=1, KL
JJ=NS(J)+1-II
IF(JJ.LE.0) GO TO 34
J1=JGSM+(JJ-1)*NP+II-(JJ-1)*(JJ-2)/2
A(J1)=A(J1)+ESM(I,0)
34 CONTINUE
33 CONTINUE
32 CONTINUE

C
C MODIFICACIÓN Y SOLUCIÓN DEL SISTEMA DE ECUACIONES Y
C SALIDA DE LOS VALORES NODALES CALCULADOS.

C
WRITE(IO,62) TITLE
CALL MODIFY(IFE)
CALL DCMPBD
CALL SLVBD

C
C SALIDA DE LOS VALORES CALCULADOS.

C
WRITE(IO,65)
WRITE(IO,66) (I,A(I), I=1,NP)

C
C EVALUACIÓN DEL VOLUMEN BAJO LA PHI SUPERFICIE Y LOS GRADIENTES
C DE LOS ELEMENTOS

C
C COMENZANDO EL CICLO EN LOS ELEMENTOS.

C
ILINE=0
DO83KK=1,NE
IF(ILINE.GT.0) GO TO 110

C
C SALIDA DE LOS ENCABEZADOS DE GRADIENTE.

C
WRITE(IO,43) TITLE
IF(ITYP.EQ.1) WRITE(IO,44)
IF(ITYP.NE.1.AND.ITYP.NE.5) WRITE(IO,147)
IF(ITYP.EQ.5) WRITE(IO,146)

C
C INCREMENTO DE LA LÍNEA DE CONTEO.

110 KL=4
IF(NEL(KK,4).EQ.0) KL=3
IF(KL.EQ.4) ILINE=ILINE+4
IF(KL.EQ.3) ILINE=ILINE+2
IF(ILINE.GT.50) ILINE=0

Tesis de Maestría

122

C
C RECUPERACIÓN DE LAS COORDENADAS NODALES , EL NÚMERO DE NODO
C Y LOS VALORES NODALES DE PHI
C

SP=0.0
DO40I=1, KL
NS(I)=NEL(KK,I)
J=NS(I)
X(I)=XC(J)
Y(I)=YC(J)
PHI(I)=A(J)
40 SP=SP+PHI(I)

C
C COEFICIENTES DE LOS ELEMENTOS PARA LOS VALORES GRADIENTES.
C

II=NMTL(KK)
DXE=DX(II)
DYE=DY(II)

C
C EVALUACIÓN DEL GRADIENTE DE LOS ELEMENTOS.
C

IF(KL.EQ.4) GO TO 51

C
C ELEMENTO TRIANGULAR.
C

B(1)=Y(2)-Y(3)
B(2)=Y(3)-Y(1)
B(3)=Y(1)-Y(2)
C(1)=X(3)-X(2)
C(2)=X(1)-X(3)
C(3)=X(2)-X(1)
AR2=X(2)*Y(3)+X(3)*Y(1)+X(1)*Y(2)-X(2)*Y(1)-X(3)*Y(2)-X(1)*Y(3)
GRADX=(B(1)*PHI(1)+B(2)*PHI(2)+B(3)*PHI(3))/AR2
GRADY=(C(1)*PHI(1)+C(2)*PHI(2)+C(3)*PHI(3))/AR2

GRADX=DXE*GRADX*GRDC(ITYP,1)
GRADY=DYE*GRADY*GRDC(ITYP,2)

C
C SALIDA PARA TORSIÓN Y FLUJO DE CORRIENTES.
C

IF(ITYP.LE.2) WRITE(IO,52) KK,GRADY,GRADX

C
C SALIDA PARA EL FLUJO POTENCIAL, SUBTERRANEO Y TRASFERENCIA DE CALOR.
C

IF(ITYP.GE.3) WRITE(IO,52) KK,GRADX,GRADY
IF (ABS(GMX).LT.ABS(GRADX)) THEN
GMX=GRADX
KMAX=KK
ENDIF
IF (ABS(GMY).LT.ABS(GRADY)) THEN
GMY=GRADY
KMAY=KK
ENDIF

C
C CÁLCULO DEL VOLUMEN BAJO LA SUPERFICIE PHI DEL ELEMENTO.
C

VOL=VOL+SP*AR2/6.0
GOTO 83

C
C ELEMENTO RECTANGULAR .
C
 51 AA=Y(4)-Y(1)
 BB=X(2)-X(1)
 AR=AA*BB
 GDX(1)=(PHI(2)-PHI(1))/BB
 GDX(2)=(-PHI(1)+PHI(2)+PHI(3)-PHI(4))/(2.*BB)
 GDX(3)=(PHI(3)-PHI(4))/BB
 GDY(1)=(PHI(4)-PHI(1))/AA
 GDY(2)=(-PHI(1)-PHI(2)+PHI(3)+PHI(4))/(2.*AA)
 GDY(3)=(PHI(3)-PHI(2))/AA
 DO 82 I=1,3
 GDX(I)=DXE*GDX(I)*GRDC(ITYP,1)
 82 GDY(I)=DYE*GDY(I)*GRDC(ITYP,2)
 DO 777 I=1,3
 IF (ABS(GMX).LT.ABS(GDX(I))) THEN
 GMX=GDX(I)
 KMAX=KK
 ENDIF
 IF (ABS(GMY).LT.ABS(GDY(I))) THEN
 GMY=GDY(I)
 KMAY=KK
 ENDIF
 777 CONTINUE
 IF (ITYP.GE.3) GO TO 85
 C
C SALIDA PARA TORSIÓN Y FLUJO DE CORRIENTES.
C
 WRITE (IO,53) KK,NS(1),GDY(1),GDX(1)
 WRITE (IO,54) GDY(2),GDX(2)
 WRITE (IO,55) NS(3),GDY(3),GDX(3)
 GOTO 86
 C
C SALIDA PARA FLUJO POTENCIAL, SUBTERRANEO Y TRASFERENCIA DE CALOR.
C
 85 WRITE (IO,53) KK,NS(1),GDX(1),GDY(1)
 WRITE (IO,54) GDX(2),GDY(2)
 WRITE (IO,55) NS(3),GDX(3),GDY(3)
 C
C CÁLCULO DEL VOLUMEN BAJO EL ELEMENTO.
C
 86 VOL=VOL+SP*AR/4.0
 83 CONTINUE
 C
 WRITE (*,*) 'KMAX,GMX,KMAY,GM=' , KMAX,GMX,KMAY,GMY
 C
C SALIDA DEL VALOR INTEGRAL.
C
 VOL=VOL*2
 IF (ITYP.EQ.1) WRITE (IO,56) VOL
 C
C SALIDA DE LOS VALORES COORDENADOS, HACIA UN ARCHIVO (.SCR),
C PARA GRAFICAR EN AutoCAD.
C
 DO 200 N=1,NE
 WRITE (KT,213)
 DO 100 I=1,4
 KX=NEL(N,I)
 IF (KX.EQ.0) GO TO 100
 IF ((XC(KX).LT.1.).AND.(YC(KX).LT.1.)) THEN
 WRITE (KT,212) XC(KX),YC(KX)
 GO TO 100
 ENDIF

```

IF((XC(KX).GE.10.).AND.(YC(KX).GE.10.)) THEN
    WRITE(KT,218)XC(KX),YC(KX)
    GO TO 100
ENDIF
IF ((XC(KX).GE.1.).AND.(XC(KX).LT.10.)) THEN
    IF((YC(KX).GE.1.).AND.(YC(KX).LT.10.))WRITE(KT,215)XC(KX),YC(KX)
    IF (YC(KX).LT.1.) WRITE(KT,216)XC(KX),YC(KX)
    IF (YC(KX).GE.10.) WRITE(KT,222)XC(KX),YC(KX)
GO TO 100
ENDIF
IF ((XC(KX).GE.10.).AND.(YC(KX).LT.1.)) WRITE(KT,219)XC(KX),YC(KX)
IF ((XC(KX).LT.1.).AND.(YC(KX).GE.10.)) WRITE(KT,220)XC(KX),YC(KX)
    IF ((YC(KX).GE.1.).AND.(YC(KX).LT.10.)) THEN
        IF (XC(KX).LT.1.) WRITE(KT,217)XC(KX),YC(KX)
        IF (XC(KX).GE.10.) WRITE(KT,221)XC(KX),YC(KX)
GO TO 100
ENDIF
100   CONTINUE
WRITE(KT,214)
200   CONTINUE

C
C      LLAMADO A LA SUBRUTINA GRAFICA, LA CUAL GRAFICA LOS ELEMENTOS
C      DEL PROBLEMA.(LA SUBRUTINA SE PUEDE LLAMAR AL PRINCIPIO O AQUÍ,
C      SÓLO QUE AQUÍ, CUALQUIER ERROR INPEDIRÍA VER LA GRÁFICA).
C
C      CALL GRAFICA(NEL,XC,YC,NP,NE,KMAX,GMX,KMAY,GMY,VOL,
C                  ,MAXELM,MAXNOD)
C
C      SALIDA EN LA PANTALLA DE DATOS MAXIMOS EN LA MALLA.
C
C      WRITE(*,111)
C      WRITE(*,112)      KMAX,GMX,KMAY,GMY,VOL
C      WRITE(IO,111)
C      WRITE(IO,112)      KMAX,GMX,KMAY,GMY,VOL
C
C      REGRESA AL MODO NORMAL DE MONITOR
C
1000  CONTINUE
READ (*,*)           ! Wait for ENTER key to be pressed
dummy = setvideomode( $DEFAULTMODE )
STOP

```

```

2 FORMAT(10X,30HEL No DE ELEMENTOS EXcede 500/
*          10X,16HINPUT TERMINA      )
3 FORMAT(20A4)
4 FORMAT(1H1/10X,20A4/10X,5HNP = ,I5/10X,5HNE = ,I5
*          /10X,8HITYP = ,I2/10X,8HIPLVL = ,I2
*          /10X,8HMESH = ,I2)
5 FORMAT(10X,20A4)
7 FORMAT(15X,I3,5X,I3,2X,4I4)
8 FORMAT(1H1//10X,20A4//10X,22HDATOS DE LOS ELEMENTOS/15X,
*          3HNEL,4X,4HNMTL,4X,12H NÚMERO NODO)
10 FORMAT(10X,30HEL NÚMERO DE NODOS EXcede 700/
*          10X,16HINPUT TERMINA      )

```

11 FORMAT(//10X,19HCOORDENADAS NODALES/10X,
* 4HNODO,5X,1HX,14X,1HY)
12 FORMAT(10X,I4,2E15.5)
16 FORMAT(14X,I2,4E15.5)
17 FORMAT(10X,8HELEMENTO,I4,18HNO TIENE SECUENCIA)
23 FORMAT(10X,30HDIMENSION DE UN VECTOR EXCDE)
26 FORMAT(/10X,8HELEMENTO,I3,18HTENEMOS 2 NODOS /
* 10X,25HCON EL MISMO NÚMERO NODO)
27 FORMAT(//10X,21HEL ANCHO DE BANDA ES ,I4,15H EN EL ELEMENTO,I4)
43 FORMAT(1H1//10X,20A4)
44 FORMAT(//10X,8HELEMENTO,4X,8HPOSICIÓN,7X,7HTAU(ZX),
* 8X,7HTAU(ZY))
47 FORMAT(10X,35HDATOS DE LAS CONDICIONES DE FRONTERA/
* 25HDIMENSIONES EXCEDEN DE 50/10X,
* 15HINPUT TERMINA
48 FORMAT(//10X,26HCOEFICIENTES DE ECUACIONES/10X,
* 8HMATERIAL /13X,3HSET,8X,2HDX,13X,2HDY,
* 13X,1HP,14K,1HQ)
49 FORMAT(//10X,34HDERIVATIVE BOUNDARY CONDITION DATA /
* 15X,8HELEMENT,4X,4HLADO,7X,2HML,13X,2HSL)
52 FORMAT(/13X,I3,5X,6HCENTRO,2X,2E15.5)
53 FORMAT(/13X,I3,5X,4HNODO ,I4,2E15.5)
54 FORMAT(21X,6HCENTRO,2X,2E15.5)
55 FORMAT(21X,4HNODO ,I4,2E15.5)
56 FORMAT(//10X,30HVOL.BAJO(PHI) PARA LA SECCIÓN=,E15.5 //)
62 FORMAT(1H1//10X,20A4)
65 FORMAT(//10X,21HCANTIDADES CALCULADAS/
* 12X,22HVALORES NODALES DE PHI)
66 FORMAT(12X,I3,E14.5,3X,I3,E14.5,3X,I3,E14.5)
71 FORMAT(15X,I4,9X,I1,2E15.5)
101 FORMAT(10X,14HITYP EXCDE 5 /10X,
* 15HINPUT TERMINADO)
111 FORMAT(6X,8HELEMENTO,3X,10HTAU(ZY)MAX,4X,8HELEMENTO,3X,
* 10HTAU(ZX)MAX,7X,8HVOL(PHI))
112 FORMAT(6X,I5,5X,E10.4,5X,I5,5X,E10.4,5X,E10.4)
147 FORMAT(//10X,8HELEMENTO,4X,8HPOSICIÓN,8X,6HVEL X
* 10X,6HVEL Y)
146 FORMAT(//10X,7HELEMENT,4X,8HPOSICIÓN,10X,4HQ X
* 11X,4HQ Y)
212 FORMAT(F6.5,' ',F6.5)
213 FORMAT('PLINE')
214 FORMAT('CLOSE')
215 FORMAT(F6.4,' ',F6.4)
216 FORMAT(F6.4,' ',F6.5)
217 FORMAT(F6.5,' ',F6.4)
218 FORMAT(F7.4,' ',F7.4)
219 FORMAT(F7.4,' ',F6.5)
220 FORMAT(F6.5,' ',F7.4)
221 FORMAT(F7.4,' ',F6.4)
222 FORMAT(F6.4,' ',F7.4)
503 FORMAT(/10X,4HNODO,I4,11HDE ELEMENTO,I4,
* 13HEXCEDE NP = ,I4)
506 FORMAT(/10X,4HNODO,I4,15H DOES NOT EXIT)
604 FORMAT(10X,15HNCOEF EXCDE 5/10X,
* 15HINPUT TERMINADO)
END

```

SUBROUTINE ELSTMF(KK,IPLVL)
IMPLICIT REAL*8 (A-H,O-Z)
COMMON/ELMATX/ESM(4,4),EF(4),X(4),Y(4),KL
COMMON/MATL/DXE,DYE,PE,QE
COMMON/HCV/IDBC(50,2),DBC(50,2),NDBC
DIMENSION ES(4,4),ET(4,4),EG(4,4)
DIMENSION B(3),C(3)
C      REAL LG
DATA ES/2.,-2.,-1.,1.,-2.,2.,1.,-1.,-1.,1.,2.,-2.,1.,-1.,-2.,2./
DATA ET/2.,1.,-1.,-2.,1.,2.,-2.,-1.,-1.,-2.,2.,1.,-2.,-1.,1.,2./
DATA EG/4.,2.,1.,2.,2.,4.,2.,1.,2.,4.,2.,2.,1.,2.,4./
IO=61
IF(KL.EQ.4) GO TO 2
C
C ELEMENTOS LINEALES TRIANGULARES SIN LAS CONDICIONES
C DE FRONTERA
C
B(1)=Y(2)-Y(3)
B(2)=Y(3)-Y(1)
B(3)=Y(1)-Y(2)
C(1)=X(3)-X(2)
C(2)=X(1)-X(3)
C(3)=X(2)-X(1)
AR2=X(2)*Y(3)+X(3)*Y(1)+X(1)*Y(2)-X(2)*Y(1)
*   -X(3)*Y(2)-X(1)*Y(3)
IF(ABS(AR2).LT.0.0001) GO TO 5
DO 1I=1,3
EF(I)=QE*AR2/6
DO 1J=1,3
A=1.0
IF(I.EQ.J) A=2.0
1 ESM(I,J)=((DXE*B(I)*B(J)+DYE*C(I)*C(J))/(AR2*2.))+*
*   A*PE*AR2/24.
IF(NDBC.EQ.0) GOTO 7
GO TO 4
C
C ELEMENTOS RECTANGULARES BILINEALES SIN LAS CONDICIONES
C DE FRONTERA.
C
2 AA=Y(4)-Y(1)
BB=X(2)-X(1)
AR=AA*BB
IF(ABS(AR).LT.0.0001) GO TO 5
DO 3 I=1,4
EF(I)=QE*AR/4.
DO 3 J=1,4
3 ESM(I,J)=DXE*AA*ES(I,J)/(6.*BB)+DYE*BB*ET(I,J)/(6.*AA)+*
*   PE*AR*EG(I,J)/36.
4 IF(NDBC.EQ.0) GO TO 7
C
C CONDICIONES DE FRONTERA
C
DO 11I=1,NDBC
IF(IDBC(I,1).NE.KK) GO TO 11
J=IDBC(I,2)
K=J+1
IF(J.EQ.KL) K=1
EF(J)=EF(J)+DBC(I,2)/2.
EF(K)=EF(K)+DBC(I,2)/2.
ESM(J,J)=ESM(J,J)+DBC(I,1)/3.
ESM(J,K)=ESM(J,K)+DBC(I,1)/6.
ESM(K,J)=ESM(J,K)
ESM(K,K)=ESM(K,K)+DBC(I,1)/3.
11 CONTINUE

```

C C SALIDA DE LAS MATRICES DE ELEMENTOS
C C
7 IF(IPLVL.EQ.0) RETURN
WRITE(IO,8) KK
DO 9 I=1,KL
9 WRITE(IO,10) EF(I),(ESM(I,J),J=1,KL)
RETURN
C C
C C DIAGNÓSTICO DE LAS SALIDAS.
C C
5 WRITE(IO,6) KK
WRITE(*,6) KK
6 FORMAT(//10X,19HEL AREA DEL ELEM,I4,
* 20H ES MENOR QUE 0.0001/
* 10X,41HLOS NÚMEROS DE NODOS ESTAN EN DESORDEN /
* 10X,33HO LOS NODOS FORMAN UNA LÍNEA /
* 10X,20HEJECUCIÓN TERMINADA)
8 FORMAT(/10X,8HELEMENTO,I4/10X,16HVECTOR DE FUERZA 10X,
* 17HMATRIZ DE RIGIDEZ)
10 FORMAT(10X,E12.5,10X,4E13.6)
STOP
END

SUBROUTINE MODIFY(IFE).
IMPLICIT REAL*8 (A-H,O-Z)
COMMON/AV/A(19850),JGF,JGSM,NP,NBW
DATA IN/60/,IO/61/
C C ENTRADA DE LOS VALORES NODALES DE FUERZA
C C PARA PROBLEMAS DE CAMPO.
C C
NIW=0
202 READ(IN,*) IB
IF(IB.LE.0) GO TO 216
IF(NIW.EQ.0.AND.IFE.EQ.0) WRITE(IO,200)
IF(NIW.EQ.0.AND.IFE.EQ.1) WRITE(IO,201)
NIW=1
READ(IN,*) BV
A(JGF+IB)=A(JGF+IB)+BV
WRITE(IO,203) IB,BV
GO TO 202
C C ENTRADA DE LOS VALORES NODALES PRESCRITOS,
C C PARA PROBLEMAS DE CAMPO.
C C
216 NIW=0
209 READ(IN,*) IB
IF(IB.LE.0) RETURN
IF(NIW.EQ.0.AND.IFE.EQ.0) WRITE(IO,212)
IF(NIW.EQ.0.AND.IFE.EQ.1) WRITE(IO,208)
NIW=1
READ(IN,*) BV
C C MODIFICACIÓN DE LA MATRIZ GLOBAL DE RIGIDEZ Y EL VECTOR GLOBAL
C C DE FUERZAS USANDO EL MÉTODO DE ELIMINACIÓN DE COLUMNAS Y RENGLONES.
C C
K=IB-1
DO 211 J=2,NBW
M=IB+J-1
IF(M.GT.NP) GO TO 210

```

IJ=JGSM+ (J-1)*NP+IB- (J-1)* (J-2) /2
A(JGF+M)=A(JGF+M)-A(IJ)*BV
A(IJ)=0.0
210 IF(K.LE.0) GO TO 211
KJ=JGSM+ (J-1)*NP+K- (J-1)* (J-2) /2
A(JGF+K)=A(JGF+K)-A(KJ)*BV
A(KJ)=0.0
K=K-1
211 CONTINUE
A(JGF+IB)=A(JGSM+IB)*BV
221 CONTINUE
WRITE(IO,203) IB,BV
GO TO 209

200 FORMAT(//10X,22HSOURCE AND SINK VALUES)
201 FORMAT(//10X,31HFUERZAS CONCENTRADAS Y MOMENTOS)
203 FORMAT(10X,I3,E15.5)
208 FORMAT(//10X,25HVALORES CONOC. DE DESPLAZ)
212 FORMAT(//10X,32HVALORES NODALES CONOCIDOS DE PHI)
END

```

SUBROUTINE DCMPBD
 IMPLICIT REAL*8 (A-H,O-Z)
 COMMON/AV/A(19850), JGF, JGSM, NP, NBW
 IO=61

C
 C
 C
 C
 C
 DESCOMPOSICIÓN DE UNA MATRIZ DE BANDA EN UNA FORMA
 TRIANGULAR SUPERIOR USANDO ELIMINACIÓN GAUSSIANA.

NP1=NP-1
 DO 226 I=1,NP1
 MJ=I+NBW-1
 IF(MJ.GT.NP) MJ=NP
 NJ=I+1
 MK=NBW
 IF((NP-I+1).LT.NBW) MK=NP-I+1
 ND=0
 DO 225 J=NJ,MJ
 MK=MK-1
 ND=ND+1
 NL=ND+1
 DO 225 K=1,MK
 NK=ND+K
 JK=JGSM+ (K-1)*NP+J- (K-1)* (K-2) /2
 INL=JGSM+ (NL-1)*NP+I- (NL-1)* (NL-2) /2
 INK=JGSM+ (NK-1)*NP+I- (NK-1)* (NK-2) /2
 II=JGSM+I

C
 C
 C
 C
 ASEGURANDO QUE NO EXISTA DIVISIÓN ENTRE 0

C
 C
 IF(A(II).LE.0.0) A(II)=1

225 A(JK)=A(JK)-A(INL)*A(INK)/A(II)
 226 CONTINUE
 RETURN
 END

```

SUBROUTINE SLVBD
IMPLICIT REAL*8 (A-H,O-Z)
COMMON/AV/A(19850),JGF,JGSM,NP,NBW
NP1=NP-1
C
C DESCOMPOSICIÓN DEL VECTOR GLOBAL DE FUERZA.
C
DO 250 I=1,NP1
MJ=I+NBW-1
IF (MJ.GT.NP) MJ=NP
NJ=I+1
L=1
DO 250 J=NJ,MJ
L=L+1
IL=JGSM+(L-1)*NP+I-(L-1)*(L-2)/2
250 A(JGF+J)=A(JGF+J)-A(IL)*A(JGF+I)/A(JGSM+I)
C
C SUSTITUCIÓN RETRÓGRADA (HACIA ATRÁS) PARA LA DETERMINACIÓN DE
C LOS VALORES NODALES.
C
A(NP)=A(JGF+NP)/A(JGSM+NP)
DO 252 K=1,NP1
I=NP-K
MJ=NBW
IF ((I+NBW-1).GT.NP) MJ=NP-I+1
SUM=0.0
DO 251 J=2,MJ
N=I+J-1
IJ=JGSM+(J-1)*NP+I-(J-1)*(J-2)/2
251 SUM=SUM+A(IJ)*A(N)
252 A(I)=(A(JGF+I)-SUM)/A(JGSM+I)
RETURN
END

SUBROUTINE GRAFICA(NEL,XC,YC,np,ne,maxelm,maxnod)
IMPLICIT REAL*8 (A-H,O-Z)
C
C SUBRUTINA QUE CONTROLA DATOS QUE GRAFICAN ELEMENTOS F.
C
LOGICAL fourcolors
EXTERNAL fourcolors

COMMON/IPO/IN,IO
DIMENSION NEL(MAXELM,9),XC(MAXNOD),YC(MAXNOD)

XCMAX=0
YXMAX=0
DO 57 K=1,np
IF (XCMAX.LT.XC(K)) XCMAX=XC(K)
57 IF (YCMAX.LT.YC(K)) YCMAX=YC(K)
IF( fourcolors() ) THEN
CALL VENTANA(NEL,XC,YC,NE,XCMAX,YCMAX,maxelm,maxnod)
ELSE
WRITE(*,*) ' ESTE PROGRAMA REQUIERE UN CGA, EGA, O',
*           ' VGA graphics card.'
END IF
END

```

```
LOGICAL FUNCTION fourcolors()
C
C   FOURCOLORS - Function QUE ESSCOGE EL MODO GRAFICO.
C
C   INCLUDE  'FGRAPH.FD'
C   INTEGER*2           dummy
C   RECORD /videoconfig/ screen
C   COMMON              screen
C
C   ESCOGE EL MÁXIMO NÚMERO DISPONIBLE DE COLORES.
C
C   CALL getvideoconfig( screen )
C     SELECT CASE( screen.adapter )
C       CASE( $CGA, $OCGA )
C         dummy = setvideomode( $MRES4COLOR )
C       CASE( $EGA, $OEGA )
C         dummy = setvideomode( $ERESCOLOR )
C       CASE( $VGA, $OVGA )
C
C         dummy = setvideomode( $VRES16COLOR )
C       CASE DEFAULT
C         dummy = 0
C     END SELECT
C   CALL getvideoconfig( screen )
C     fourcolors = .TRUE.
C     IF( dummy .EQ. 0 ) fourcolors = .FALSE.
C   END
C
SUBROUTINE VENTANA(NEL, XC, YC, NE, XCMAX, YCMAX, MAXELM, MAXNOD)
IMPLICIT REAL*8 (A-H,O-Z)
C
C   THREEGRAPHS - subroutine QUE DESPLIEGA LA GRAFICA.
C
INCLUDE  'FGRAPH.FD'
INTEGER*2    dummy, halfx, halfy
INTEGER*2    xwidth, yheight, cols, rows
CHARACTER*8   str
RECORD /videoconfig/ screen
RECORD /rccoord/   curpos
COMMON        screen
DIMENSION NEL(MAXELM,9), XC(MAXNOD), YC(MAXNOD)
COMMON/IPO/IN,IO
CALL clearscreen( $GCLEARSCREEN )
  xwidth = screen.numxpixels
  yheight = screen.numypixels
  cols   = screen.numtextcols
  rows   = screen.numtextrows
  halfx  = xwidth / 2
  halfy  = (yheight / rows) * (rows / 2)
PARX= XCMAX+(XCMAX/5)
PARY= YCMAX+(YCMAX/5)
C
C   window
C
CALL setviewport( 0, 0, (xwidth-1), (yheight-1) )
CALL settextwindow( 1, 1, rows , cols )
```

Tesis de Maestría

131

```
CALL settextposition( 2,5, curpos )
    dummy = settextcolor( 15 )
    WRITE (str, '(I2)')
    CALL outtext( '*' INSTITUTO DE INGENIERIA *      * UNIVERSIDAD
*          VERACRUZANA * '// str )
    dummy = setwindow(.TRUE.,-PARX/5,-PARY/5, PARX, PARY)
    dummy = rectangle( $GBORDER, 10, 10, (xwidth-10), (yheight-10) )

C
    CALL MALLA(NEL,XC,YC,NE,XCMAX,MAXELM,MAXNOD)
    dummy = rectangle( $GBORDER, 0, 0, (xwidth-1), (yheight-1) )
C     READ (*,*)           ! Wait for ENTER key to be pressed
C     dummy = setvideomode( $DEFAULTMODE )
END

SUBROUTINE MALLA(NEL,XC,YC,NE,XCMAX,MAXELM,MAXNOD)
IMPLICIT REAL*8 (A-H,O-Z)
C
C     GRIDSHAPE - ESTA SUBRUTINA GRAFICA LOS DATOS.
C
INCLUDE 'FGRAPH.FD'
INTEGER*2           dummy, i
CHARACTER*8          str
RECORD /videoconfig/ screen
RECORD /wxycoord/ wxy
RECORD /rccoord/ rccoord
RECORD /kycoord/ kycoord
COMMON /screen/ screen
DIMENSION NEL(MAXELM,9), XC(MAXNOD), YC(MAXNOD)
COMMON/IPO/IN,IO

C
C     CICLO PARA IMPRIMIR MALLA Y RESULTADOS EN PANTALLA.
C
C     CICLO QUE IMPRIME EN LA PANTALLA EL NÚMERO DE ELEMENTO
IF(NE.GE.10) GOTO 6
DO 5 N=1,NE
    KXC=NEL(N,1)
    KYC=NEL(N,2)
    KZC=NEL(N,3)
    CX=XC(KXC)+(XC(KYC)-XC(KXC))/2.
    CY=YC(KXC)+(YC(KZC)-YC(KXC))/6.
    CALL getviewcoord_w( CX , CY , xy )
    jzx=xy.xcoord
    jzy=xy.ycoord
    colc= INT2(jzx*80./639.)
    rowc= INT2(jzy*30./479.)
    CALL settextposition( rowc,colc, rccoord )
    dummy = settextcolor( 15 )
    WRITE (str, '(I2)') N
    CALL outtext( '#',// str )
5     READ (*,*)           ! Wait for ENTER key to be pressed
6     CONTINUE

C
C     CICLO QUE IMPRIME EN LA PANTALLA EL NÚMERO DE NODO
C     Y LOS ELEMENTOS DE LA MALLA .
C
DO 20 N=1,NE
IF(NE.GT.10) GOTO 8
    READ(*,*)           ! WAIT FOR ENTER
8     continue

DO 20 N=1,NE
IF(NE.GT.10) GOTO 8
    READ(*,*)           ! WAIT FOR ENTER
8     continue
```

Instituto de Ingeniería
Universidad de Zaragoza

```

DO 10 I=1, 4
KX=NEL(N,I)
KY=NEL(N,I+1)
IF (KX.EQ.0) KX=NEL(N,1)
X=XC(KX)
Y=YC(KX)
IF (KY.EQ.0) KY=NEL(N,1)
X2=XC(KY)
Y2=YC(KY)
Z=XCMAX/100
DUMMY = SETCOLOR( 14 )
CALL MOVETO_W( X , Y , WXY )
DUMMY = SETCOLOR( 15 )
DUMMY = ELLIPSE_W( SGFILLINTERIOR , X-Z , Y-Z , X+Z , Y+Z )
IF (NE.GT.60) GOTO 800
CALL GETVIEWCOORD_W( X , Y , XY )
ZX=XY.XCOORD
ZY=XY.YCOORD
COL= INT2(ZX*80./639.)
ROW= INT2(ZY*30./479.)
CALL SETTEXTPOSITION( ROW,COL, CURPOS )
KX=KX
IF (KX.GT.15) KX=12
DUMMY = SETTEXTCOLOR( KX )
WRITE (STR, '(I3)' ) KX
CALL CUTTEXT( 'NOD' // STR )
800
NJ=N
IF (N.GT.15) NJ=2
DUMMY = SETCOLOR( NJ )
DUMMY = LINETO_W( X2 , Y2 )
10 CONTINUE
20 CONTINUE
13 FORMAT('ZX, ZY = ',10X,2E15.5)
DUMMY = SETCOLOR( 2 )
C
C SALIDA EN LA PANTALLA DE DATOS MAXIMOS EN LA MALLA
C (SÓLO SI SE PIDE GRÁFICA AL FINAL DE PROGRAMA PRINCIPAL)
C
CALL SETTEXTPOSITION( 27,4, CURPOS )
C
C WRITE(*,1)
C WRITE(*,2) KMAX, GMX, KMAY, GMY, VOL
C WRITE(IO,1)
C WRITE(IO,2) KMAX, GMX, KMAY, GMY, VOL
1 format(6x,8HELEMENTO,3X,9HTAU(X)MAX,4X,8HELEMENTO,3X,9HTAU(Y)MAX,
C *
C 7X,6HTORQUE)
2 format(6x,I5,5X,E10.4,5X,I5,5X,E10.4,5X,E10.4)
C
END

```

SUBROUTINE CNCTVT (NELEM, NODES, MAXELEM, MAXNOD, GLXY)

```

C -----
C GENERA ARREGLO DE CONECTIVIDAD NODAL, PARA UN ESPECÍFICO TIPO DE MALLA
C
C NEL1 = PRIMER ELEMENTO EN EL RENGLÓN DEL ELEMENTO
C NELL = ÚLTIMO ELEMENTO EN EL RENGLÓN DEL ELEMENTO
C IELINC = INCREMENTO DEL ELEMENTO AL SIGUIENTE EN EL RENGLÓN

```

C NODINC = INCREMENTO NODAL DE UN NODO AL SIGUIENTE
C NPE = NÚMERO DE NODOS POR ELEMENTO
C NODE(I)= NÚMERO GLOBAL DE NODO CORRESPONDIENTE A LOS NODOS LOCALES DEL
C PRIMER ELEMENTO EN EL RENGLÓN
C
C
IMPLICIT REAL*8 (A-H,O-Z)
COMMON/IPO/IN,IO
DIMENSION NODES(MAXELM,9), GLXY(MAXNOD,2), NODE(9)
C
C LEE DATOS DEL ELEMENTO
C
READ(IN,*) NRECEL
DO 30 IREC=1,NRECEL
READ(IN,*) NELL,IELINC,NODINC,NPE,(NODE(I),I=1,NPE)
C WRITE(*,*) NELL,IELINC,NODINC,NPE,(NODE(I),I=1,NPE)
IF (IELINC.LE.0) IELINC= 1
IF (NODIC.LE.0) NODIC= 1
IF (NELL.LE.NELL) NELL= NELL
IF (NELL.GT.NELEM) THEN
WRITE(6,60)
STOP
ELSE
NINC=-1
DO 20 N=NELL,NELL,IELINC
NINC=NINC+1
DO 10 M=1,NPE
10 NODES(N,M)=NODE(M)+NINC*NODINC
20 CONTINUE
ENDIF
30 CONTINUE
DO 50 N=1,NELEM
SUMX=0.0
SUMY=0.0
NEN=NPE
IF (NEN.NE.4) THEN
DO 40 M=5,NEN
MM=NODES(N,M)
IF (M.NE.9 .OR. M.NE.6) THEN
M4=NODES(N,M-4)
M3=NODES(N,M-3)
IF (M.EQ.8) M3=NODES(N,1)
IF (GLXY(MM,1).EQ.1.E20)
* GLXY(MM,1)=.5*(GLXY(M4,1)+GLXY(M3,1))
* IF (GLXY(MM,2).EQ.1.E20)
* GLXY(MM,2)=.5*(GLXY(M4,2)+GLXY(M3,2))
IF (NEN.NE.8) THEN
SUMX=SUMX+GLXY(M4,1)
SUMY=SUMY+GLXY(M4,2)
ENDIF
ELSE
IF (GLXY(MM,1).EQ.1.E20) GLXY(MM,1)=.25*SUMX
IF (GLXY(MM,2).EQ.1.E20) GLXY(MM,2)=.25*SUMY
ENDIF
40 CONTINUE
ENDIF
50 CONTINUE
60 FORMAT(//,'MSG from cnctvt:EL NÚMERO DE ELEMENTOS EXcede EL MAX.')
RETURN
END

Tesis de Maestría

134

SUBROUTINE MSH2DG (NELEM,NNODE,NODES,MAXELM,MAXNOD,GLXY)
C
C -----
C GENERA PUNTOS DE COORDENADAS NODALES PARA ESPECÍFICOS TIPOS DE MALLAS
C
C NOD1 = PRIMER NÚMERO DE NODO EN EL SEGMENTO DE LÍNEA
C NODL = ÚLTIMO NÚMERO DE NODO EN EL SEGMENTO DE LÍNEA
C NODINC = INCREMENTO NODAL DE UN NODO AL SIGUIENTE A LO LARGO DE LA LÍNEA
C X1,Y1 = COORDENADAS GLOBALES DEL PRIMER NODO EN LA LÍNEA
C XL,YL = COORDENADAS GLOBALES DEL ÚLTIMO NODO EN LA LÍNEA
C RATIO = LA RELACIÓN 1 DEL PRIMER ELEMENTO AL ÚLTIMO ELEMENTO
C -----
C
IMPLICIT REAL*8 (A-H,O-Z)
COMMON/IPO/IN,IO
DIMENSION GLXY(MAXNOD,2)
READ(IN,*) NELEM,NNODE
DO 10 I=1,NNODE
GLXY(I,1)=1.E20
10 GLXY(I,2)=1.E20
C
C LEER EL NÚMERO DE LOS REGISTROS (SEGMENTOS DE LÍNEA) Y DATOS EN CADA LÍNEA
C
READ(IN,*) NRECL
DO 30 IREC=1,NRECL
READ(IN,*) NOD1,NODL,NODINC,X1,Y1,XL,YL,RATIO
IF(NODL.LT.NOD1) NODL = NOD1
IF(NODL.NE.NOD1) THEN
IF(NODINC.LE.0) NODINC = 1
IF(RATIO.LE.0.0) RATIO = 1.0
NODIF = (NODL-NOD1)/NODINC
XL1=XL-X1
YL1=YL-Y1
GLXY(NOD1,1)= X1
GLXY(NOD1,2)= Y1
ALNGTH=DSQRT (XL1*XL1+YL1*YL1)
ALINC=(2.0*ALNGTH/NODIF)*RATIO/(RATIO+1.0)
ALRAT=ALINC/RATIO
IF(NODIF.NE.1) DEL=(ALINC-ALRAT)/(NODIF-1)
IF(NODIF.EQ.1) DEL=0.0
SUM=0.0
I=-1
DO 20 N=1,NODIF
I=I+1
SUM=SUM+ALINC-I*DEL
NI= (NOD1+N) *(NODINC)
GLXY(NI,1)=X1+XL1*SUM/ALNGTH
GLXY(NI,2)=Y1+YL1*SUM/ALNGTH
20 CONTINUE
ENDIF
30 CONTINUE
CALL CNCTVT (NELEM,NODES,MAXELM,MAXNOD,GLXY)
RETURN
END

```

SUBROUTINE MSH2DR(IEL,IELTYP,NX,NY,NPE,NNM,NEM,NOD,DX,DY,X0,Y0,
* GLXY,MAXNEM,MAXNNM,MAXNX,MAXNY)
C -----
C LA SUBRUTINA GENERA ARREGLOS [NOD] Y [GLXY] PARA DOMINIOS RECTANGULARES
C EL DOMINIO ES SUBDIVIDIDO EN NX SUBDIVISIONES A LO LARGO DE LA DIRECCIÓN-X
C Y NY EN LA DIRECCIÓN-Y . LAS SUBDIVISIONES DEFINEN ELEMENTOS RECTANGULARES
C DEL TIPO REQUERIDO. PARA UNA MALLA DE ELEMENTOS TRIANGULARES , LA
C SUBDIVISIÓN DEFINEN DOS ELEMENTOS LINEALES CON SU DIAGONAL INCLINADA
C A LA DERECHA.
C -----
C
IMPLICIT REAL*8 (A-H,O-Z)
DIMENSION NOD(MAXNEM,9),GLXY(MAXNNM,2),DX(MAXNX),DY(MAXNY)
COMMON/IPO/IN,IO
READ(IN,*) NX,NY
READ(IN,*) X0,(DX(I),I=1,NX)
READ(IN,*) Y0,(DY(I),I=1,NY)
NEX1 = NX+1
NEY1 = NY+1
NXX = IEL*NX
NYY = IEL*NY
NXX1 = NXX +
NYY1 = NYY +
NEM = NX*NY
IF(IELTYP.EQ.0)NEM=2*NX*NY
NNM=NXX1*NYY1
IF(NPE.EQ.8)NNM=NXX1*NYY1-NX*NY
IF(IELTYP.EQ.0) THEN
C
C GENERA EL ARREGLO [NOD] :
C
ELEMENTOS TRIANGULARES
C
NX2=2*NX
NY2=2*NY
NOD(1,1) =1
NOD(1,2) = IEL+
NOD(1,3) = IEL*NXX1+IEL+
IF(NPE.GT.3) THEN
    NOD(1,4)=2
    NOD(1,5) = NXX1 + 3
    NOD(1,6) = NXX1 + 2
ENDIF
NOD(2,1) = 1
NOD(2,2) = NOD(1,3)
NOD(2,3) = IEL*NXX1+1
IF(NPE.GT.3) THEN
    NOD(2,4) = NOD(1,6)
    NOD(2,5) = NOD(1,3) - 1
    NOD(2,6) = NOD(2,4) - 1
ENDIF
K=3
DO 60 IY=1,NY
L=IY*NX2
M=(IY-1)*NX2
IF(NX.GT.1) THEN
    DO 30 N=K,L,2
    DO 20 I=1,NPE
        NOD(N,I) = NOD (N-2,I) + IEL
20      NOD(N+1,I)= NOD (N-1,I) + IEL
30      CONTINUE
ENDIF
IF(IY.LT.NY) THEN

```

Tesis de Maestría

136

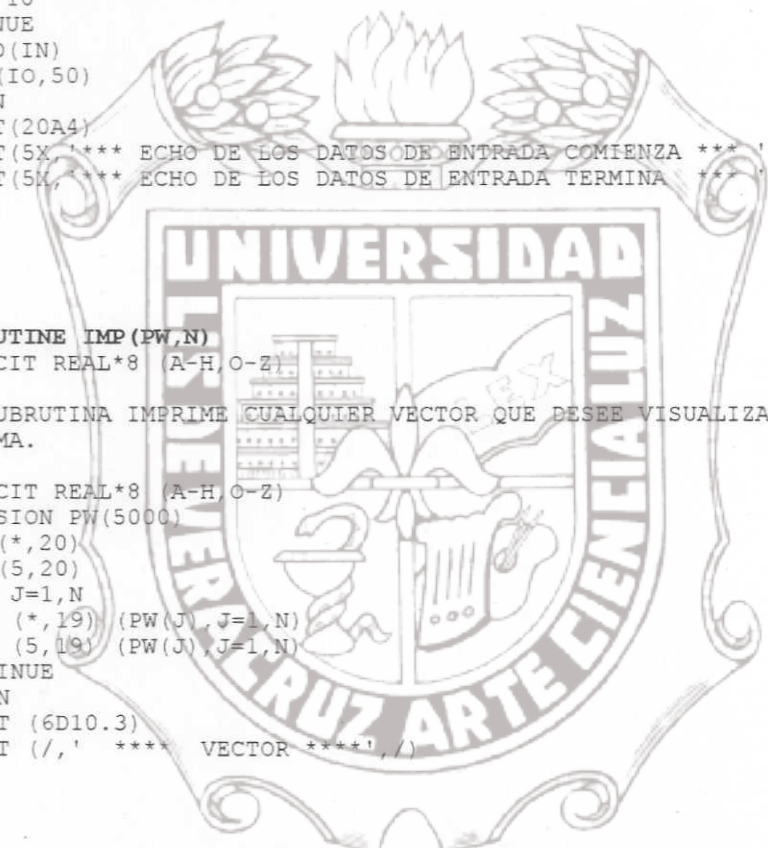
```
DO 40 I=1,NPE
    NOD(L+1,I) = NOD(M+1,I)+IEL*NXX1
40    NOD(L+2,I) = NOD(M+2,I)+IEL*NXX1
    ENDIF
60 K=L+3
    ELSE
C
C ELEMENTOS RECTANGULARES
C
    K0=0
    IF(NPE.EQ.9) K0=1
    NOD(1,1)=1
    NOD(1,2)=IEL + 1
    NOD(1,3)=NXX1+(IEL-1)*NEX1+IEL+1
    IF(NPE.EQ.9) NOD(1,3)=4*NX+5
    NOD(1,4)= NOD(1,3) - IEL
    IF(NPE.GT.4) THEN
        NOD(1,5) = 2
        NOD(1,6) = NXX1 + (NPE-6)
        NOD(1,7) = NOD(1,3) - 1
        NOD(1,8) = NXX1 + 1
        IF(NPE.EQ.9) THEN
            NOD(1,9)=NXX1+2
        ENDIF
    ENDIF
    IF(NY.GT.1) THEN
        M=1
        DO 110 N=2,NY
        L=(N-1)*NX+1
        DO 100 I=1,NPE
100    NOD(L,I)=NOD(M,I)+NXX1+(IEL-1)*NEX1+K0*NX
110    M=L
    ENDIF
    IF(NX.GT.1) THEN
        DO 140 NI=2,NX
        DO 120 I=1,NPE
        K1=IEL
        IF(I.EQ.6.OR.I.EQ.8) K1=I+K0
120    NOD(NI,I)=NOD(NI-1,I)+K1
        M=NI
        DO 140 NJ=2,NY
        L=(NJ-1)*NX+NI
        DO 130 J=1,NPE
130    NOD(L,J) = NOD(M,J)+NXX1+(IEL-1)*NEX1+K0*NX
140    M=L
    ENDIF
ENDIF
C
C GENERACIÓN DE LAS COORDENADAS GLOBALES DEL NODO , [GLXY]
C
    DX(NEX1)=0.0
    DY(NEY1)=0.0
    XC=X0
    YC=Y0
    IF(NPE.EQ.8) THEN
        DO 180 NI=1,NEY1
        I=(NXX1+NEX1)*(NI-1)+1
        J=2*NI-1
        GLXY(I,1)=XC
        GLXY(I,2)=YC
        DO 150 NJ=1,NX
        DELX=0.5*DX(NJ)
        I=I+1
        GLXY(I,1)=GLXY(I-1,1)+DELX
        GLXY(I,2)= YC
        I=I+1
        GLXY(I,1)=GLXY(I-1,1)+DELX
```

```
GLXY(I, 2)=YC
150 CONTINUE
    IF(NI.LE.NY) THEN
        I=I+1
        YC=YC+.5*DY(NI)
        GLXY(I, 1)=XC
        GLXY(I, 2)=YC
        DO 160 II=1,NX
        I=I+1
        GLXY(I, 1)=GLXY(I-1, 1)+DX(II)
160    GLXY(I, 2)=YC
    ENDIF
180    YC=YC+.5*DY(NI)
    ELSE
        YC=Y0
        DO 200 NI=1,NEY1
        XC=X0
        I=NXX1*IEL+(NI-1)
        DO 190 NJ=1,NEX1
        I=I+1
        GLXY(I, 1)=XC
        GLXY(I, 2)=YC
        IF(NJ.LT.NEX1) THEN
            IF(IEL.EQ.2) THEN
                I=I+1
                XC=XC + 0.5*DX(NJ)
                GLXY(I, 1)=XC
                GLXY(I, 2)=YC
            ENDIF
        ENDIF
        XC = XC + DX(NJ)/IEL
        XC = X0
        IF(IEL.EQ.2) THEN
            YC=YC+.5*DY(NI)
            DO 195 NJ=1, NEX1
            I=I+1
            GLXY(I, 1)=XC
            GLXY(I, 2)=YC
            IF(NJ.LT.NEX1) THEN
                I=I+1
                XC=XC+.5*DX(NJ)
                GLXY(I, 1)=XC
                GLXY(I, 2)=YC
            ENDIF
            XC=XC+.5*DX(NJ)
        ENDIF
200    YC=YC+DY(NI)/IEL
    ENDIF
    RETURN
END
```

Tesis de Maestría

138

SUBROUTINE ECHO
IMPLICIT REAL*8 (A-H,O-Z)
C
C ESTA SUBRUTINA ESCRIBE LOS DATOS DE ENTRADA EN EL ARCHIVO DE SALIDA.
C
COMMON/IPO/IN,IO
DIMENSION AA(20)
WRITE(IO,40)
10 CONTINUE
READ(IN,30,END=20) AA
WRITE(IO,30) AA
GO TO 10
20 CONTINUE
REWIND(IN)
WRITE(IO,50)
RETURN
30 FORMAT(20A4)
40 FORMAT(5X,'**** ECHO DE LOS DATOS DE ENTRADA COMIENZA ***',/)
50 FORMAT(5X,'**** ECHO DE LOS DATOS DE ENTRADA TERMINA ***',/)
END



SUBROUTINE IMP(PW,N)
IMPLICIT REAL*8 (A-H,O-Z)
C
C ESTA SUBRUTINA IMPRIME CUALQUIER VECTOR QUE DESEE VISUALIZAR DEL
C PROGRAMA.

C
C IMPLICIT REAL*8 (A-H,O-Z)
DIMENSION PW(5000)
WRITE(*,20)
WRITE(5,20)
C DO 5 J=1,N
WRITE (*,19) (PW(J),J=1,N)
WRITE (5,19) (PW(J),J=1,N)
C 5 CONTINUE
RETURN
19 FORMAT (6D10.3)
20 FORMAT (/, ' **** VECTOR ****',/)
END

SUBROUTINE IMPM(SK,N)
IMPLICIT REAL*8 (A-H,O-Z)
C
C ESTA SUBRUTINA IMPRIME CUALQUIER MATRIZ QUE DESEE VISUALIZAR DEL
C PROGRAMA.

C
C IMPLICIT REAL*8 (A-H,O-Z)
DIMENSION SK(50,50)
WRITE(*,20)
WRITE(5,20)
DO 17 I=1,6
WRITE (*,19) ((SK(I,J)),J=1,N)
WRITE (5,19) ((SK(I,J)),J=1,N)
17 CONTINUE
RETURN
19 FORMAT (6D10.3)
20 FORMAT (/, ' **** MATRIZ ****',/)
END

BIBLIOGRAFÍA .

- BATHE KLAUS-JÜRGEN, WILSON EDWARD L., " NUMERICAL METHODS IN THE FINITE ANALYSIS ", PRENTICE-HALL, 1976.
- BRAINERD, GOLDBERG, ADAMS, "PROGRAMMER'S GUIDE TO FORTRAN 90", McGRAW-HILL , 1990.
- COOK ROBERT D., " CONCEPTS AND APPLICATIONS OF FINITE ELEMENT ANALYSIS ", SECOND EDITION , WILEY & SONS, INC. 1981.
- DE BUEN OSCAR, "ESTRUCTURAS DE ACERO, COMPORTAMIENTO Y DISEÑO", LIMUSA ,1980.
- ELSGOLTZ L., " ECUACIONES DIFERENCIALES Y CÁLCULO VARIACIONAL", SEGUNDA EDICION, EDITORIAL MIR, 1977.
- GALLAGHER RICHARD H., "FINITE ELEMENT ANALYSIS", PRENTICE-HALL, 1975.
- HAMMOND H., ROGERS B., CRITTENDERN B., " INTRODUCCIÓN AL FORTRAN 77 Y LA PC ", McGRAW-HILL , 1990.
- HILDEBRAND FRANCIS B., "METHODS OF APPLIED MATHEMATICS", SECOND EDITION, PRENTICE-HALL, 1965.
- KAPLAN WILFRED, "CÁLCULO AVANZADO", COMPAÑÍA EDITORIAL CONTINENTAL, 1973.
- KENT DOROTHY, "AUTOCAD REFERENCE GUIDE", SECOND EDITION, NEW RIDERS PUBLISHING, 1991.
- LÓPEZ FERNÁNDEZ J., BARTOLOMÉ LARRINAGA J.C., "AUTOCAD AVANZADO", McGRAW-HILL , 1989.
- MALVERN LAWRENCE E. , "INTRODUCTION TO THE MECHANICS OF A CONTINUOUS MEDIUM", PRENTICE-HALL, 1969.
- PARK R. y PAULAY T., "ESTRUCTURAS DE CONCRETO REFORZADO " , LIMUSA, 1991.

- PEÑA PARDO BONIFACIO C. A. "APUNTES DE ELEMENTO FINITO ", 1993.
- PEÑA PARDO BONIFACIO C. A. "APUNTES DE MECÁNICA DE SÓLIDOS", 1993.
- POPOV EGOR P., " INTRODUCCIÓN A LA MECÁNICA DE SÓLIDOS ", LIMUSA 1990.
- PRZEMIENIECKI, J.S. "THEORY OF MATRIX STRUCTURAL ANALYSIS" McGRAW-HILL, 1968.
- REDDY, JOHN N. "AN INTRODUCTION TO THE FINITE ELEMENT METHOD ", SECOND EDITION, McGRAW-HILL, 1984.
- SEGERLIND, LARRY J. "APPLIED FINITE ELEMENT ANALYSIS", SECOND EDITION , WILEY & SONS, INC.
- SOKOLNIKOFF, IVAN STEPHEN. "MATHEMATICAL THEORY OF ELASTICITY", SECOND EDITION 1956, McGRAW-HILL, REPRINT 1987.
- "THE MICROSOFT FORTRAN", MANUALES DE USUARIO, MICROSOFT 1991.
- TIMOSHENKO STEPHEN P. y GERE JAMES M., " MECÁNICA DE MATERIALES ". A.I.D. 1979.
- TIMOSHENKO S. y GOODIER J. N., " TEORÍA DE LA ELASTICIDAD ", SEGUNDA EDICIÓN EN ESPAÑOL, URMO, S.A. EDICIONES, 1975.
- TIMOSHENKO STEPHEN P., "RESISTENCIA DE MATERIALES", ESPASA-CALPE. S.A. SEGUNDA EDICIÓN EN ESPAÑOL 1976.
- ZIENKIEWICZ O. C. , TAYLOR R. L. , " THE FINITE ELEMENT METHOD ", VOLUME 1, FOURTH EDITION , McGRAW-HILL, 1989.
- ZILL DENNIS G.. " ECUACIONES DIFERENCIALES CON APLICACIONES", SEGUNDA EDICIÓN, EDITORIAL IBEROAMERICA, 1988.